

2/10

# DİKİLİ SICAK VE SOĞUK SU KAYNAKLARININ HİDROJEOLojİK İNCELENMESİ

Dokuz Eylül Üniversitesi

Fen Bilimleri Enstitüsü

Yüksek Lisans Tezi

Uygulamalı Jeoloji Anabilim Dalı

T.C. YÜKSEKÖĞRETİM KURULU  
DOĞUMANTASYON MERKEZİ

Tuğbanur ÖZEN

119576

Ağustos, 2002

İZMİR

119576

## **Yüksek Lisans Tezi Sınav Sonuç Formu**

**TUĞBANUR ÖZEN** tarafından **DOÇ. DR. GÜLTEKİN TARCAN** yönetiminde hazırlanan "**DİKLİ SICAK VE SOĞUK SU KAYNAKLARININ HİDROJEOLOJİK İNCELENMESİ**" başlıklı tez tarafımızdan okunmuş, kapsamı ve niteliği açısından bir Yüksek Lisans tezi olarak kabul edilmiştir.

  
Doç. Dr. Gültekin TARCAN

Yönetici

  
Doç. Dr. Coşkun SARI

  
Prof. Dr. Şevki FILİZ

Jüri Üyesi

Jüri Üyesi

**T.C. YÜKSEKÖĞRETİM KURULU  
DOKÜMANASYON MERKEZİ**



Prof. Dr. Cahit Helvacı

Müdür

Fen Bilimleri Enstitüsü

---

## **ABSTRACT**

---

This study contains hydrogeological and hydrogeochemical assessment of the Dikili-Kaynarca (İzmir) fields. In the study area, the oldest Yuntağ Volkanic-I is consists of andesite which are altered, biotit. Thertiary Yuntağ Volkanic-I is the reservoir of the geothermal systems the rock is covered by Demirtaş pyroclastics, which consist of felsic pyroclastics rocks, dasit lava and ignimbrite. Yuntağ Volkanic-II made up of pyroxene andesites. The youngest Yuntağ Volkanic-III that consists of Dikili hornlend andesite is dome-shaped volcanoes type. From the point of view hydrogeology, alluvium is the other important unit, among the geological formation in the study area.

Thermal waters are of meteoric origin and since they have hardly any tritium, they are considered to be more than 50 years old. The water types of thermal waters are Na-HCO<sub>3</sub>-SO<sub>4</sub> in Dikili Spas and Na-SO<sub>4</sub>-HCO<sub>3</sub> in Kaynarca-Thermal waters in the study area represent cycled geothermal system. Meteoric water infiltrate under the crust along the tectonic lines and faults. According to the graben tectonics this meteoric waters are heated by the rising magma and convection heat currents make it comes to the surface along the tectonic lines, due to density difference in the liquids. According to hydrogeological investigations, made by different researchers and isotopical data the recharge area of the reservoir is located in Kozak Region. Depend on the recharge area, the first discharge is started in Kaynarca then continued in Dikili sources.

Outlet water temperatures in the study area vary between 30-100°C. Reservoir temperatures obtained by the different geothermometer methods show 100-120°C in Dikili geothermal area and 130-150°C in Kaynarca. This results showed thing enthalphy fluids about 150°C and increases towards Kaynarca thermal springs.

Geothermal energy, which is new clean and renewable energy source, must be used in our country as lack of energy still goes on. Dikili-Kaynarca Geothermal Fields should be used for the purposes of heating, greenhouses and thermal tourism and applied balneological.

Keywords: Dikili, thermal waters, hydrogeology, geothermal, hydrogeochemistry.

---

## ÖZET

---

Bu çalışma Dikili-Kaynarca jeotermal alanlarında yapılan hidrojeolojik ve hidrojeokimyasal çalışmaları kapsamaktadır. İnceleme alanı içerisinde temelde Tersiyer yaşı Yuntağ Volcaniti-I bulunur. Bu birim hazne kaya özelliğindedir. Yuntağ Volcaniti-I'ı Demirtaş Piroklastikleri üstler. Bunlar geçirimsiz olduklarından jeotermal alanların örtü kayasını oluşturur. Bunların üzerine gelen Yuntağ Volkaniti-III'e ait dom yapılı volkanizma şeklinde görülen Dikili biotit-hornblend andezit birimi ısıtıcı kaya özelliğindedir. İnceleme alanı içerisinde akifer olma özelliği taşıyan önemli bir birim de alüvyondur.

İnceleme alanındaki sular devirli sistem özelliği taşırlar. Derinlere süzülerek inen meteorik sular kondüksiyon yoluyla ısınıp graben ve tektonik zonlarda geçirgenlik ve tektoniğin arttığı seviyelerde toplanarak Jeotermal rezervuarı oluştururlar.

Ceşitli araştırmacılar tarafından yapılmış olan hidrojeolojik etüdler ve izotoplara yapılan araştırmalara göre rezervuarın beslenme alanı sahanın kuzeyinde bulunan Kozak bölgesidir. İnceleme alanındaki sıcak sular iki ayrı hidrokimyasal fasiyeste olup, Dikili İlçalarında  $\text{Na}^+ - \text{HCO}_3^- - \text{SO}_4^{2-}$ , Kaynarca'da  $\text{Na}^+ - \text{SO}_4^{2-} - \text{HCO}_3^-$  su tipindedirler. Tümü meteorik kökenli ve hemen hemen hiç trityum içermeyen en az 50 yıllık sulardır.

İnceleme alanındaki sıcak suların yüzeye çıkış sıcaklıkları 30-100°C arasında değişmektedir. Uygulanan çeşitli jeotermometre yöntemleri ile hesaplanan hazne kaya sıcaklıklarını Dikili Jeotermal sahası için 100-120°C, Kaynarca Jeotermal alanı için 130-150°C arasında değişmektedir. Bu verilere dayanarak bölgede Kaynarca'ya

doğru artan (yaklaşık 150°C) yüksek entalpili bir Jeotermal rezervuardan söz edebiliriz.

Bölgemin ılıman iklim özellikleri ve turistik potansiyeli gözönüne alındığında; başta düşük entalpili bir kaynaklar olmak üzere sıcak suların kullanımları başta konut ısıtmacılığının yanısıra sera ısıtmacılığı, balneoterapik ve kaplıca turizmine yönelik amaçlar için kullanımı yaygınlaştırılmalıdır.

Anahtar kelimeler: Dikili, termal sular, jeotermal, hidrojeoloji, hidrojeokimya.

---

## **TEŞEKKÜR**

---

Bu tezin tasarılanıp hazırlanmasında bilgi, tecrübe ve desteklerini benden esirgemeyen çok değerli hocalarım Doç. Dr. Gültekin TARCAN'a ve Prof. Dr. Şevki FİLİZ'e teşekkür ederim.

Tezimin her aşamasında bilgi ve tecrübelerini benimle paylaşmaktan çekinmeyen benden esirgemeyen Jeoloji Mühendisleri Dr. Tuncer EŞDER ve Dr. Servet YILMAZER'e, tezimin hazırlanmasına katkılarından dolayı Araş. Gör. Cem KINCAL'a, Onur ŞİMŞEK'e ve Füsun Servin TUT'a teşekkürü bir borç bilirim.

Tüm yaşamı boyunca bana maddi ve manevi hiçbir yardımı esirgemeyen ve beni her konuda destekleyen sevgili AİLEME sonsuz teşekkürler...

Tuğbanur ÖZEN

---

## **İÇİNDEKİLER**

---

Sayfa No

İÇİNDEKİLER.....	ix
ŞEKİLLER LİSTESİ.....	xii
TABLOLAR LİSTESİ.....	xiii

### **Bölüm 1 GİRİŞ**

1.1. Çalışma Alanının Yeri.....	1
1.2. Çalışmanın Amacı.....	1
1.3. Uygulanan Yöntemler .....	3
1.4. İklim .....	3
1.5. Coğrafi Özellikler.....	4
1.6. Dikili (İzmir) İlçesinin Tarihçesi .....	4

### **Bölüm 2 JEOLOJİ**

2.1. Stratigrafi .....	7
2.1.1. Yuntağ Volkaniti – I .....	7
2.1.2. Demirtaş Piroklastikleri .....	7
2.1.3. Yuntağ Volkaniti – II.....	10
2.1.4. Yuntağ Volkaniti – III.....	11
2.1.4.1. Dikili Biotit – Hornblend Andezit .....	11
2.1.5. Alüvyon .....	11

2.2. Yapısal Jeoloji.....	11
2.3. Volkanizma.....	12

### Bölüm 3

#### **SONDAJ ÇALIŞMALARI ..... 14**

### Bölüm 4

#### **HİDROJEOLOJİ**

4.1. Kayaların Hidrojeolojik Özellikleri .....	21
4.1.1. Yuntağ Volkaniti – I .....	21
4.1.2. Demirtaş Piroklastikleri .....	21
4.1.3. Yuntağ Volkaniti – II .....	21
4.1.4. Yuntağ Volkaniti – III .....	22
4.1.4.1. Dikili Biotit – Hornblend Andezit .....	22
4.1.5. Alüvyon.....	22
4.2. Dikili – Bergama Jeotermal Alanları.....	22
4.2.1. Dikili – Bergama Jeotermal Alanlarının Oluşumu .....	22
4.2.2. Dikili – Kaynarca Jeotermal Alanlarının Tanıtımı .....	23
4.2.2.1. Dikili Jeotermal Alanı .....	23
4.2.2.2. Kaynarca Jeotermal Alanı .....	25

### Bölüm 5

#### **HİDROJEOKİMYA**

5.1. Temel Jeokimyasal Hesaplamalar .....	27
-İyonlaşma Gücü (I) .....	30
-İyon Etkinliği (AC) .....	30
-İyon Etkinlik Katsayısı (F) .....	31
5.2. Doğal İzotoplarda ( $^{18}\text{O}$ , $^2\text{H}$ , $^3\text{H}$ ) Suyun Yaşı ve İzlediği Yolun Araştırılması.....	32
5.2.1. Tritium .....	32

5.2.2. $^{18}\text{O}$ ve $\text{D}(\text{H})$ Kararlı İzotopları.....	33
5.3. Suların Mineral Doygunluk Özelliklerinin İncelenmesi .....	38
5.4. Sıcak Suların Hazne Kaya Sıcaklıklarının Tahmini.....	50
5.4.1. Kimyasal Jeotermometreler .....	51
5.4.1.1. Niteliksel (Kalitatif) Kimyasal Jeotermometre Değerlendirmeleri .....	51
-SiO <sub>2</sub> .....	51
-Klorür .....	51
-B, NH <sub>4</sub> , H <sub>2</sub> S, Hg, Cl, Na, K, Li, Rb, Cs, As .....	52
-Na/Ka Oranı .....	52
-Traverten Çökelmeleri .....	52
-Cl/(HCO <sub>3</sub> +CO <sub>3</sub> ) .....	52
-Mg ve Mg/Ca Oranı.....	52
-Cl/SO <sub>4</sub> Oranı.....	52
-Cl/F Oranı .....	52
-H <sub>2</sub> /Diğer Gazlar (Buhar Dışında) Oranı.....	52
5.4.1.2. Sayısal (Kantitatif) Kimyasal Jeotermometre Değerlendirmeleri .....	53
5.4.1.2.1. Çözünürlüğe Bağlı Jeotermometreler.....	53
-Silis Jeotermometresi.....	53
5.4.1.2.2. İyon Değişimine Bağlı Jeotermometreler .....	56
-Na/Ka Jeotermometresi.....	56
-Na – Ka – Ca Jeotermometresi.....	56
-Magnezyum Düzeltmeli Na-K-Ca Jeotermometresi .....	57
5.4.1.2.3. İyon Etkinliğine Bağlı Jeotermometreler .....	58
-İyon Etkinliğine Bağlı Kalsedon Jeotermometresi.....	58
5.5. Birleşik (Kombine) Jeotermometre Uygulamaları.....	61
5.6. Mineral Denge – Sıcaklık Diagramı Jeotermometresi .....	63
5.7. Suların Sınıflandırılması.....	73
5.7.1. Suların İçerdikleri Anyon ve Katyon Miktarına Göre Sınıflandırılması....	73
5.7.2. Hidrokimyasal Fasiyes Kavramı .....	73
5.7.3. Piper (Üçgen) Diyagramı İle Suların Sınıflandırılması.....	75

5.7.4. Suların Elektriksel İletkenliği .....	76
5.8.1. Suların İçme Özellikleri.....	82
5.8.2. Sulama Sularının Özellikleri.....	82
5.8.2.1. Suların Sodyum Adsorbsiyon Oranı (SAR) .....	83
5.8.2.2. Sulama Sularının Wilcox'a Göre Sınıflaması .....	87
5.8.3. ABD Tuzluluk Laboratuvarı Diyagramı.....	90
-Genel Tuzluluk Özellikleri.....	92
-Genel Sodyum Tehlikesi Özellikleri.....	92

## **Bölüm 6**

### **JEOTERMAL ENERJİNİN KULLANIM ALANLARI**

6.1. Jeotermal Enerjinin Dünyada ve Türkiyedeki Kullanım Alanları.....	95
-Elektrik Üretimi .....	97
-Konut Isıtması .....	97
-Sera Isıtması .....	98
-Endüstriyel Uygulamalar .....	98
-Termal Turizm ve Balneolojik Uygulamalar .....	98
6.2. Jeotermal Enerjinin Dikili (İzmir) İlçesinde Kullanımı .....	98

## **Bölüm 7**

### **SONUÇLAR.....101**

## **Bölüm 8**

### **KAYNAKLAR .....**104

### **EK Inceleme Alanındaki Su Örneklerinin Watch 2.1 Bilgisayar Programı İle Hazırlanan Jeokimyasal Hesaplamaları**

---

## ŞEKİLLER LİSTESİ

---

Sayfa No

Şekil 1.1. Çalışma alanının yerbeldir haritası .....	2
Şekil 2.1. İnceleme alanının jeolojik haritası ve su noktalarının yeri.....	8
Şekil 2.2. Dikili-Kaynarca jeotermal sahasının genelleştirilmiş stratigrafik kesiti.....	9
Şekil 3.1. Kaynarca jeotermal alanı ve kuyu lokasyonları.....	16
Şekil 3.2. İnceleme alanı içerisindeki kuyuların litoloji ve sıcaklık kesiti .....	17
Şekil 3.3. Kaynarca-1 kuyusunun bitirme logu.....	19
Şekil 4.1. Dikili-Bergama jeotermal alanlarının oluşumunu gösteren şematik kesit	24
Şekil 4.2. Dikili İhicaları ve çevresinden bir görünüm.....	24
Şekil 4.3. Kaynarca jeotermal alanındaki sıcak su çıkışlarının dağılımı ve sıcak su gölleri .....	26
Şekil 5.1. Yağış suları ve doğal sularda $^{18}\text{O}$ ve D( $^2\text{H}$ ) ilişkileri.....	37
Şekil 5.2. Mineral Denge-Sıcaklık Diyagramı Jeotermometresi.....	62
Şekil 5.3. İnceleme alanındaki suların mineral denge-sıcaklık diyagramları .....	64
Şekil 5.4. İnceleme alanındaki suların Schoeller yarı logaritmik diyagramındaki yerleri .....	74
Şekil 5.5. İnceleme alanındaki suların Piper Üçgen Diyagramındaki görünümü ....	76
Şekil 5.6. Schoeller içilebilirlik diyagramı .....	84
Şekil 5.7. Sulama sularının Wilcox'a göre sınıflaması .....	91
Şekil 5.8. İnceleme alanındaki suların ABD tuzluluk Diyagramındaki yeri .....	93

## TABLALAR LİSTESİ

### Sayfa No

Tablo 3.1 1977 yılında açılan gradyan kuyularına ait özet bilgiler .....	14
Tablo 3.2 1987 yılında açılan gradyan kuyularına ait özet bilgiler .....	15
Tablo 3.3. Kaynarca-1 (K-1) kuyusunda geçen formasyonlar ve bu formasyonlarda ölçülen gradyanlar .....	18
Tablo 5.1 Çalışma alanında kullanılan mevcut su analizleri.....	28
Tablo 5.2 İnceleme alanı içerisindeki sıcak suların O <sup>18</sup> , H <sup>2</sup> ve H <sup>3</sup> izotop analizleri.	35
Tablo 5.3 İnceleme alanına ait su örneklerinde çökel ürünü olarak rastlanabilecek bazı minerallerin belirtilen sıcaklıklardaki doygunluk indeksleri .....	41
Tablo 5.4 Sayısal (niceliksel) değerlendirmede bazı kimyasal jeotermometre eşitlikleri.....	55
Tablo 5.5 Dikili İlıcaları su örneklerine ait jeotermometre sonuçları .....	59
Tablo 5.6 Kaynarca Jeotermal alanına ait su örneklerinin jeotermometre sonuçları	60
Tablo 5.7 Suların elektriksel iletkenliğe göre sınıflaması.....	77
Tablo 5.8. Suların elektriksel iletkenlik değerlerine göre sınıflandırılması.....	78
Tablo 5.9 Çeşitli sertliklerin birbirlerine dönüşüm değerleri.....	80
Tablo 5.10 Suların Fransız sertliğine göre sınıflaması .....	80
Tablo 5.11 İnceleme alanındaki suların Fransız sertliğine sınıflaması.....	81
Tablo 5.12 %SAR'a göre sulama sularının sınıflaması.....	85
Tablo 5.13 İnceleme alanındaki suların SAR'a göre sınıflaması .....	86
Tablo 5.14 Sulama sularının Wilcox'a göre sınıflaması.....	87
Tablo 5.15 Sulama sularının Wilcox sınıflamasında bor miktarına göre sınıflaması	88
Tablo 5.16 Sulama sularının %Na, rCl, rSO <sub>4</sub> ve EC, B değerleri .....	89
Tablo 6.1 Jeotermal akışkanın sıcaklıklarına göre kullanım alanlarını belirten Lindall diyagramı.....	96

---

## Bölüm 1

### GİRİŞ

---

#### 1.1 Çalışma Alanını Yeri

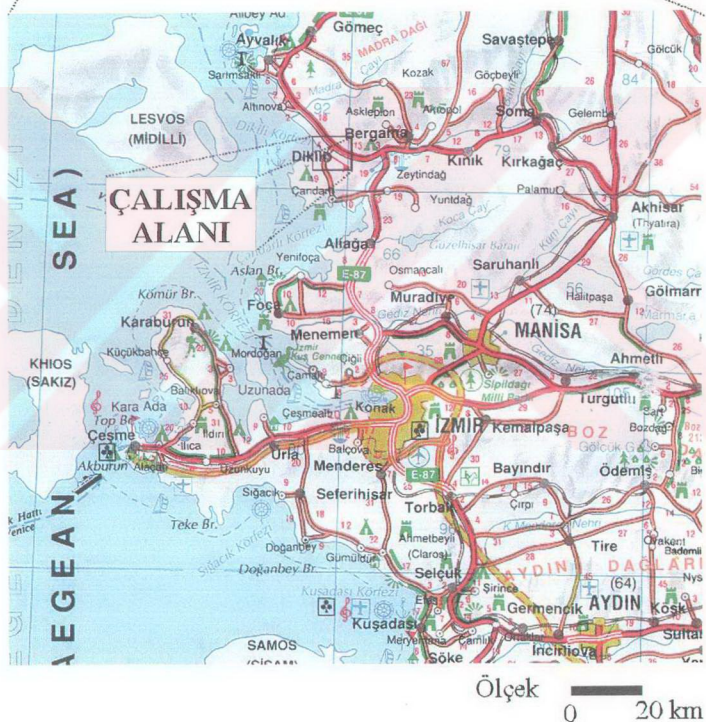
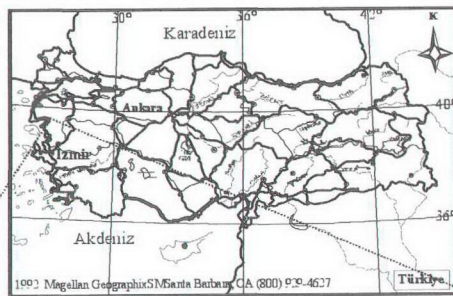
Batı Anadolu'da İzmir ili'ne yaklaşık 100 km uzaklıktaki inceleme alanı J17-c3 paftasında  $43^{\circ}20000$ - $43^{\circ}25000$  kuzey paralelleri ile  $489.000$ - $500.000$  doğu meridyenleri arasında yaklaşık  $55 \text{ km}^2$ 'lik bir alanı kapsar (Şekil 1.1).

#### 1.2 Çalışmanın Amacı

Bu çalışma Dokuz Eylül Üniversitesi Fen Bilimleri Enstitüsü, Uygulamalı Jeoloji Ana Bilim Dalı'nda Yüksek Lisans tezi olarak hazırlanmıştır. Bu çalışmada, Dikili-Kaynarca jeotermal alanındaki termal suların hidrojeolojik özellikleri ve mevcut kimyasal analizleri derlenerek hidrojeokimyasal değerlendirilmesi amaçlanmıştır.

Yapılan çalışmalarda inceleme alanında bulunan sıcak ve soğuk suların geçmiş yıllarda yapılmış su analizlerinden en yeni olanları kullanılarak sonuçlar daha önce yapılmış çalışmalarla karşılaştırılmıştır. Çalışmada yeraltı suyu taşıyan birimlerin hidrojeolojik özellikleri incelenmiştir. Alandaki sıcak su noktalarının hazne kaya sıcaklıklarını, yapılan jeotermometre hesapları ile kalitatif ve kantitatif olarak değerlendirilmiş ayrıca çeşitli yöntemlerle tahmin edilmiştir.

Mevcut kimyasal analizlerin ışığında inceleme alanı içerisinde yer alan suların kimyasal özellikleri, suların kökenleri, tarımsal, içilebilirlik ve çeşitli alanlarda



**Şekil 1.1 Çalışma alanının yerländirme haritası.**

kullanılabilme özellikleri saptanmıştır. Bunlara ek olarak jeotermal enerjinin Dikili ilçesinde kullanım alanlarından bahsedilmiş, yeni öneriler getirilmiştir.

### 1.3 Uygulanan Yöntemler

Bu çalışmada, inceleme alanı içerisindeki sıcak ve soğuk suların geçmiş yıllarda yapılmış su analizlerinden en yeni kimyasal analiz sonuçları Hidrowin-95 (Calmbach, 1995) ve Watch 2.1 (Arnórsson ve diğ., 1982 ve Bjarnason, 1994) bilgisayar programlarına aktarılmıştır. Bu programlar yardımıyla çalışma alanındaki sıcak ve soğuk suların jeokimyasal özellikleri araştırılmıştır. Watch 2.1 bilgisayar programı, bir kimyasal denge ve türleştirmeye programı olup, bilhassa yüksek sıcaklıklı alanlar için oldukça kullanışlıdır. Hem su hem buhar örneklerinin aynı anda girilebileceği seçenekler mevcuttur. Bazı temel jeotermometre hesaplarını yaptığı gibi, kimyasal türleştirmeye, mineral dengeleri ve akifer kimyası hesaplamalarını akifer sıcaklığında ve aynı anda 10 değişik sıcaklıkta yapabilmekte ve ayrıca kaynama sıcaklığında buhar ayrılma varsayımlına ve kondüktif soğuma varsayımlarına göre de ayrı ayrı yapılmaktadır. Watch türleştirmeye programı bilgisayar DOS ortamında çalışan bir programdır. Watch 2.1 bilgisayar programıyla inceleme alanındaki sıcak suların 100°C'de kaynama sıcaklığı varsayımlına göre her 25°C'de bir olmak üzere 8 ayrı sıcaklıklı akifer kimyası hesaplamaları elde edilmiştir. Her bir su örneği için belirtilen sıcaklıklarda çökel oluşturabilecek minerallerin doygunluk indeksini hesaplamaları ayrı ayrı değerlendirilerek her bir örneğin mineral denge-sıcaklık diyagramları oluşturulmuş ve hazne kaya sıcaklıklarının belirlenmesine yönelik tahminlerde bulunulmuştur. Excell, Word ve Corel paket programları da tezin yazımı ile şekil ve grafiklerin çiziminde kullanılmıştır.

### 1.4 İklim

Bölgede tipik Akdeniz iklimi özelliklerini taşıyan kişileri bol yağışlı ve yumuşak, yazıları kurak ve oldukça sıcak bir iklim sürmektedir.

Yazın yağışlar yok denecek kadar azdır. Kuraklık dönemi Haziran ayından Ekim ayına kadar 4 ay sürer. Buna karşılık yağışlar kışın oldukça fazla olup Ocak ayında aylık yağış 150 mm'ye kadar çıkmaktadır. En sıcak ay Temmuz ( $26.9^{\circ}\text{C}$ ), en soğuk ay Ocak'tır ( $7.9^{\circ}\text{C}$ ). Nemlilik yazın biraz azalmakla birlikte (%59) yıl boyunca değişiklik göstermemektedir (yıllık ortalama %69). Bölgenin yıllık ortalama sıcaklığı  $16.9^{\circ}\text{C}$ 'dir.

### **1.5 Coğrafi Özellikler**

Dikili jeotermal kaynaklarının bulunduğu alanın büyük bir bölümü ova şeklinde olup tepeler ani yükseltileri oluşturmaktadır. Güneyde Davulga Tepe, Kızıl Tepe, Pamuk Tepe, Pamuk Tepe, Evrenşen Tepe, Dikili'nin doğusunda yer alan Uçar Tepe, Horoz Tepe ve Katrancı tepe ile kuzeydeki Bozbayır Tepe'dir. Diğer yükseltiler, Çambayır Tepe, Kargin Tepe, Alateke Tepe, Kum Tepe, Bayram Tepe, Küçük Pamuk Tepe ve Balıca Tepe'dir.

İnceleme alanı içerisinde büyük debili akarsu yoktur. Daha çok mevsimsel akışı dereler gözlenir.

### **1.6 Dikili (İzmir) İlçesinin Tarihçesi**

Ege Bölgesi'nde İzmir İli'ne bağlı ilçe ve ilçe merkezi kasabadır. Yüzölçümü 541 km<sup>2</sup> dir. Kuzyede Balıkesir ili, doğuda Bergama ilçesi, güney ve batıda da Ege Denizi ile çevrilidir.

İzmir ili'nin kuzey kesiminde, Dikili Körfezi'ni çevreleyen ve daha güneyde Çandarlı Körfezi'ne kadar uzanan engebeli bir alanda yer alır. İlçenin kuzey kesimini Madra dağlarının batı uzantıları engebelerdir; güney kısmı oldukça düzdür. Ege Bölgesi'nin önemli akarsularından biri olan Bakırçay, güneyde ilçe sınırlarının hemen dışından Ege Denizi'ne dökültür.

İlçe halkın temel geçim kaynağı tarımdır. Yetiştirilen başlıca ürünler buğday, bakla, pamuk ve patatestir. Ege Bölgesi'nin geleneksel ürünler olan zeytin ve tütün

çok yetiştirilir. İklim koşullarının elverişli olmasından dolayı turfanda sebzecilik gelişmiştir. Balıkçılık ve son yıllarda hızla gelişen turizm, özellikle kıyı kesiminde öne çıkan ekonomik etkinliklerdir. Çandarlı yöresinde üç yerde, toplam rezervi 7 milyon tona varan perlit yatakları saptanmıştır. Dikili, Bademli ve Nebiler kaplıcalarından da çok amaçlı olarak yararlanılmaktadır.

Dikili'nin yerleşim tarihi çok eskilere uzanır. İ.O. 5-4 yüzyıllara ait antik Aterneus kenti ilçe sınırları içindedir. Kent kalıntıları bugünkü Bergama-Dikili Karayolu üzerindeki Ağılkale'de, 177 m. Yüksekliğindeki Kaletepe'nin üstündedir. Ayrıca ilçeye bağlı Çandarlı Bucağı'nda yapılan kazılarda da İ.O. 10. yüzyılda kurulduğu sanılan bir antik kent ortaya çıkarılmıştır (Özüdoğru, 1998).

Şemseddin Sami Kamustü'l-Alam'da Dikili'yi Aydın vilayeti İzmir sancağına bağlı Bergama Kazası'nın bir nahiyesi olarak tanımlar. Dikili 13 Haziran 1919'da Yunan işgaline uğramış, 14 Eylül 1922'de kurtarılmıştır. 1928'de ilçe haline getirilmiştir (Özüdoğru, 1998).

İlçe Merkezi Dikili Kasabası, küçük bir kıyı yerleşimi ve canlı bir gümrük kapısıdır. İzmir'e gelen yabancı turistlerin önemli bir bölümü Dikili'den giriş yapar. Dikili'den girenlerin hemen hemen hepsi Bergama (Pergamon) Asklepieion'u ile Akropolisi'ni gezip dönen günübirlilik turistlerdir. Ama kasabada iç turizm daha ağırlıkta olup Dikili, yakın çevresindeki Bergama ve Soma gibi yerleşimlerin sayfiyesi niteliğindedir. Kasaba ve çevresindeki kıyılarda çok sayıda konut, site ve çeşitli turistik tesisler inşa edilmiştir. Bir çok sayfiyesi olmasının yanı sıra Dikili öteden beri kaplıca konusunda da ilgi görmektedir (Özüdoğru, 1998).

Ege kıyılarını izleyen Çanakkale-İzmir karayolu, Dikili'nin batısından geçer. Eylül 1939'da büyük bir depremde tümüyle yıkılan yerler yeniden inşa edilmiştir.

Dikili Körfezi: Ege Bölgesi'nde Edremit Körfezi'nden daha güneyde yer alan körfezdir. Geniş bir yay biçimindedir. Adını, kıyısındaki kasabadan almaktadır. Körfezin kuzey kıyılarını Madra Çayı, güney kıyılarını ise volkanik yapılı Karadağ kütlesinin petekleri oluşturur. Dikili Körfezi, daha güneyindeki Çandarlı Körfezi'nden de bu volkanik yapılı kütle ile ayrılır. Karşısında Midilli Adası bulunmaktadır. Kıyılarda zeytin ağaçları yoğundur. Dikili Körfezi kıyılarının önemli bir kesimi yaz turizmine açılmaya başlamıştır. Dikili'den güneyde kalan kısımda Bademli, Dikili ile Madra Çayı deltası arasında kalan kesimde ise Kabakum ve Makaron yöreleri turizm bakımından gelişmekte olan yerlerdir.

---

## Bölüm 2

# **JEOLOJİ**

---

### **2.1 Stratigrafi**

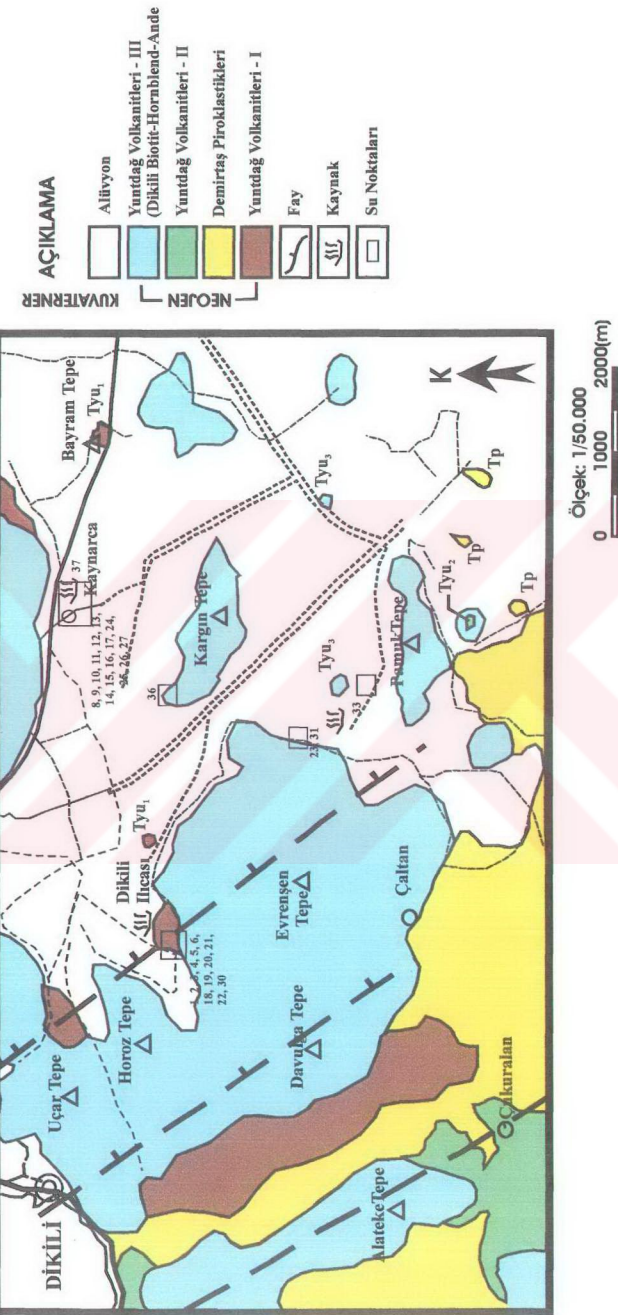
İnceleme alanında gözlenen Yuntağ volkanitleri üçe ayrılmıştır.  $Tyu_1$ ,  $Tyu_2$ ,  $Tyu_3$ . Bu volkanik kayaların yaşı Akyürek ve Sosyal (1978) tarafından Miyosen-Pliyosen olarak tahmin adılmıştır. İnceleme alanı içerisinde en yaşlı birim Tersiyer yaşlı Yuntağ volkaniti-I ( $Tyu_1$ ) dir. Bunun üzerine sırasıyla Tersiyer yaşlı Demirtaş piroklastikleri, Yuntağ Volkaniti-II ( $Tyu_2$ ), Yuntağ Volkaniti-III ( $Tyu_3$ ) ve Kuvaterner yaşı alüvyon gelir (Şekil 2.1 ve 2.2). Bu bölüm MTA-JICA (1987)'den derlenerek hazırlanmıştır.

#### **2.1.1 Yuntağ Volkaniti -I**

Çalışma alanında Dikili İlçeleri ve İlçelerin kuzeybatı kısımlarında yüzeyler. Coğunlukla hornblend andezit ve biyotit hornblend andezit türündedir. Bazen aynı kökenli tüf breşi içerir. Coğunlukla hidrotermal alterasyon etkisindedir ve açık griden koyu-yeşilimsi griye değişen renklerde alterasyon gözlenir (Şekil 2.3). Bu kayalardaki bazı çatlaklar silis minerali, kalsit ve jips dolguludur. Bundan başka silisifiye alterasyon zonları ve killeşmiş zonlara sıkça rastlanır. Yuntağ volkaniti-I'in maksimum kahnlığı 1500 m'dir. Bu kayalar tektonizmanın etkisinde magmanın yeryüzüne yükselmesi sonucu oluşmuştur.

#### **2.1.2 Demirtaş Piroklastikleri**

İnceleme alanında Dikili İlçesi'nin güneybatısında çok küçük bir bölgede görülmektedir. Bu kayalar, Yuntağ Volkaniti-I'in üzerini örter. Kahnlıkları 100 m'den azdır.



**Sekil 2.1 İnceleme alanının jeolojik haritası ve su noktalarının yeri  
(MTA-JICA, 1987 & Jeckelman, 1996))**

SENOZOYİK TERSIYER	PLİYOSEN	MIYOSEN	LİTOLOJİ	AÇIKLAMA	JEOTERMAL AKTİVİTE						
			Yundağ Volkanitleri - 3 Demirtaş Piroklastikler Danırıçılı Piroklastikler Yunuslu Volkanitleri - 1	Yundağ Volkanit Tys. Tp	Yundağ Volkanit Tys. Tp	GRUP Q (A)	SLİME	Alüvyon Diskordans	Dikili Biotit - Hornblend Andezit		
									Piroksen Andezit		
									Demirtaş Piroklastikler Felsik Piroklastik kayalar Dasit lavları İgnimbrit		
									(Altere Andezit) Biotit Kırık Zon (Sıcak Su Rezervuarı)		
										Yundağ Volkanizması - 1 Felsik Volkanizma Yundağ Volkanizması - 3	
											Ölçeksziz

Şekil 2.2 Dikili-Kaynarca jeotermal sahanının genelleştirilmiş stratigrafik kesiti (MTA-JICA, 1987'den derlenmiştir).



Şekil 2.3 İnceleme alanındaki Yundağ Volkaniti-I'den bir görünüm

Kaynarca civarındaki depresyon zonunda çok ince çökeller olarak gözlenir. Dikili ilicasının güneyinde bir zayıf alterasyon zonu şeklinde bulunur. Demirtaş piroklastikleri altere olmamış felsik piroklastikler, dasit lav, andezit, ignimbrit ve volkanik çakıllar içerir. Yuntağ Volkaniti II nin bazaltları ve andezitleri tarafından doğrudan örtülmektedir. Bu kayalar Yuntağ volkaniti-I ve III'den kolayca ayırt edilebildiği için bölgenin jeolojik yapısını ve jeolojik gelişimini açıklayan bir anahtar tabaka görevi görürler (Şekil 2.4).



**Şekil 2.4 İnceleme alanındaki Demirtaş piroklastiklerinden bir görünüm.**

### **2.1.3 Yuntağ Volkaniti-II**

Dikili'nin güneydoğusunda küçük bir bölgede gözlenir. Bunlar Demirtaş piroklastikleri üzerinde uzanır ve Yuntağ volkaniti-III tarafından örtülürler.

Bu kayalar koyu-kompak bazalt ve piroksen andezit lav içerirler. Çok küçük birkaç hidrotermal damar gözlenebilir.

### **2.1.4 Yuntağ Volkaniti-III**

Petrografi ve stratigrafik özelliklerine göre altı gruba ayrılmıştır. İnceleme alanı içerisinde bunlardan Dikili Biotit-Hornblend Andezit birimini görmekteyiz (MTA-JICA, 1986).

#### **2.1.4.1 Dikili Biotit- Hornblend Andezit**

Çalışma alanında yaygın biçimde bulunur. Dikili İlicası çevresinde doğrudan Demirtaş piroklastiklerinin üzerine uzanırlar. Dom yapıları volkanından oluşur (Şekil 4.2). Bu birimin bulunduğu alanın topoğrafyası lav domuyla, lav akışının bir karışımıdır. Sıkça gözlenen hidrotermal damarlar boyunca zayıf ve orta dereceli alterasyonlar gözlenir. Kuvars ve kalsit dolgulu damarlar belirli bir yön boyunca uzanmazlar. Bu damarlar jeotermal aktivitenin Dikili lavı sonrası olduğunu gösterir (MTA-JICA, 1986).

### **2.1.5 Alüvyon**

Tüm birimlerin üzerine uyumsuz olarak gelmektedir. Kum, çakıl, kil boyutunda kırıntılı malzemeler içerir. Bunlar inceleme alanının ovalık kesimini oluştururlar.

## **2.2 Yapısal Jeoloji**

Batı Anadolu plakasının doğudan batıya hareket etmesi sonucunda Batı Anadolu'da Miyosen ve Pliyosen zamanında açılma ve gerilme hareketleri sonucu oluşan grabenler ile tektonik zonlarda önemli jeotermal sistemler meydana gelmekte olup, Dikili-Kaynarca jeotermal alanları da bu graben sistemi içinde yer alan önemli bir sahadır.

Kaynarca jeotermal alanında KB-GD, KD-GB doğrultulu faylanmalar hakimdir (Şekil 2.1). Gravite çalışmaları sonucunda grabeni oluşturan kuzeydeki fayın Kaynarca'nın bulunduğu yerden geçerek D-B doğrultusunda uzandığı, aynı şekilde grabenin güneyini sınırlayan fayın da Kargin Tepe kuzeyinden geçtiği belirlenmiştir (MTA-JICA, 1986).

Yapılan araştırmalara göre bir graben üzerinde bulunan Kaynarca jeotermal kaynaklarının yüzeylenmesi faylanmalar boyunca olmaktadır. Grabeni oluşturan ana faylar alüvyonla örtülmüştür. Bunun dışında volkanikler içinde etkin faylar da görülmektedir (MTA-JICA, 1987).

MTA-JICA (1987) tarafından tektonik zonda aktif fayların belirlenmesi için jeokimyasal çalışmalar yapılmıştır. Bunlar; sıcaklık, gaz ölçümleri ( $\text{CO}_2$ ), hidrotermal alterasyon ve izotoplar ile yapılan araştırmalardır. Jeolojik, jeofizik jeokimyasal çalışmalar sonucunda; Kaynarca yöresi belirlenmiş ayrıca Kaynarca jeotermal alındakı kaynakların bulunduğu sahada yaklaşık D-B uzanımlı ve grabeni oluşturan yüzey gravite fayının GB-KD, KD-GB doğrultulu faylarla kesildiği saptanmıştır (MTA-JICA, 1987).

### **2.3 Volkanizma**

Bölgede çeşitli zamanlarda oluşmuş volkanizma dört gruba ayrılmaktadır. Bunlar:

1. Miyosen yaşılı andezitik volkanizma ( $\text{Tyu}_1$ )
2. Pliyosen yaşılı andezitik volkanizma ( $\text{Tyu}_2$ )
3. Pliyosen yaşılı mafik volkanizma ( $T_p$ )
4. Pliyosen-Pleyistosen yaşılı riyodasitik volkanizma ( $\text{Tyu}_3$ )

Miyosende andezitik volkanizma faaliyetinin bir merkezi Kozak Masifi'nin kuzeybatısında olan maksimum kalınlığı 1.500 metre olan hornblend andezitlerdir. Bunlar Kaynarca etrafında yeraltında kalınca gözlenmektedir. Yaygın hidrotermal alterasyona maruz kalmışlardır. Bölgenin güneybatı kısmında depresyon zonu içinde çamur ve tuf birikmiştir. Çalışma alanında gözlenmeyen Soma formasyonu ile piroklastik kayaların kalınlığı güneye doğru yavaş yavaş artar. Bununla beraber bu birikim doğu ve kuzeydoğuda azdır. Gerçekte sedimentlerin birikmemiş olduğu düşünülmektedir (MTA-JICA, 1987).

Pliyosen boyunca Soma formasyonunun sedimentasyonu ve felsik volkanizma bölgenin kuzeyinde oluşmaya başlamıştır. Bu aktivite büyük boyutlu tuf ve tuf breşi

püskürmeleriyle karakterize edilir. Dasit ve ignimbirit içerir. Volkanizmanın bir merkezi Dikili'nin güneydoğusunda yer alan Demirtaş'ta tabakalar şeklinde olup maksimum kalınlığı 300 metredir (MTA-JICA, 1987).

Bölge içerisinde bu olayları takiben bir yükselti oluşmuştur. Bazalt, piroksen, andezit gibi mafik magma felsik volkanizma üzerine akmıştır. Genç Pliyosende Yuntağ Volkanitleri-III olarak tanımlanan andezitik volkanizma oluşmuştur. Bu volkanizma Dikili grabeni içinde dom şekilli bir yapı sunar. Eş zamanda DKD-BGB yönlü bir ova Dikili-Bergama arasında oluşmuştur (MTA-JICA, 1987).

---

### Bölüm 3

## SONDAJ ÇALIŞMALARI

---

Dikili – Bergama jeotermal alanında ilk jeoloji ve jeofizik etütlerden sonra bu sahada 1977 yılında MTA tarafından Dikili-Bergama jeotermal alanlarının jeotermal gradyanlarını anlamak için on adet sıç derinlikli sondaj kuyusu açılmıştır. Derinlikleri 50-80 m arasında değişen bu sondajlar çok geniş bir alana yayılmıştır.

1977 yılında MTA tarafından açılan gradyan kuyularında elde edilen sıcaklıklar gradyan dağılımına göre, Kaynarca yöresi grabeninin jeotermal enerji açısından ısıtmaya yönelik olarak önemli bir saha olabileceği belirlenmiştir. Bu kuyulardan çalışma alanında kalan üç kuyuya ait bilgiler Tablo 2.1'de verilmiştir.

**Tablo 3.1 1977 yılında açılan gradyan kuyularına ait özet bilgiler  
(Yılmazer&Can, 1978).**

KuyuNo	Tarih	Derinlik (m)	Alüv.Kalınlığı (m)	Sıcaklık (°C)	Ort.Gradyan (°C/m)
DG-6	19-07-1977	71.5	8	25,9	0,34/10
DG-7	28-07-1977	58.5	5	29.5	-
DG-8	18-08-1977	58.5	2	26.5	0,22/10

Dikili-Bergama jeotermal alanı, jeotermal enerji bakımından ümit verici olması nedeniyle Türk-Japon işbirliği ile jeotermal geliştirme programı dahilinde ön etüde alındı. Bu çalışma Haziran 1986'da başlatılarak üç aşama halinde sürdürülmüştür (MTA-JICA, 1987).

İlk aşamada, 80.000 km<sup>2</sup> lik bir alan Landstad uydusu fotoğrafları, 1500 km<sup>2</sup> lik bir alan hava fotoğrafları ile taranıp, 2200 km<sup>2</sup> nin prospektiyonu yapılmıştır. Jeokimya ön etüdlerine toplam 106 numunede kimyasal, izotop, toprak ve gaz analizleri gerçekleştirildi. İlk aşama çalışmaları 24/6/1986'da başlayıp 13/8/1987'da tamamlanmıştır.

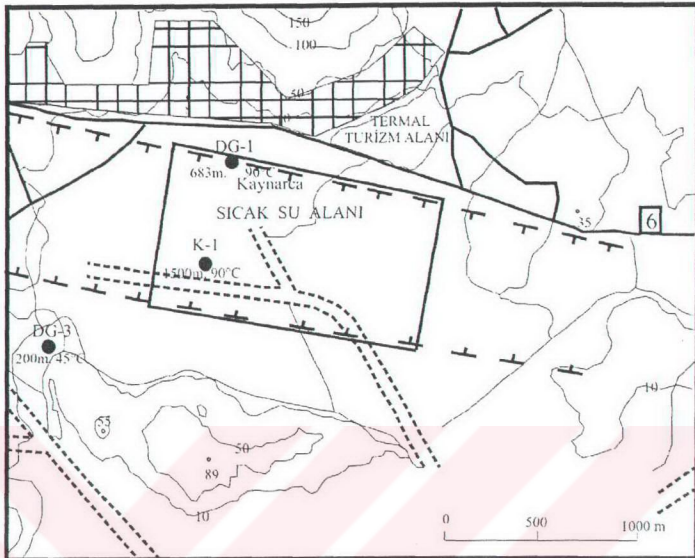
İkinci aşamada, saha 274 km<sup>2</sup> ye indirgenmiştir. 82 numunede jeolojik, 79 numunede hidrotermal alterasyon, 76 su numunesinde kimyasal ve izotop analizi, 302 numunede toprak-gaz, 302 numunede toprak analizleri yapılmıştır. 300 noktada bir metre derinlikte ısı ölçümlü alındı. 81 km<sup>2</sup> lik bir alanda 693 istasyon ile gravite çalışması gerçekleştirildi. Bu çalışmalar 25.8.1986'da başlayıp 8.12.1986'da tamamlanmıştır (MTA-JICA, 1986).

Üçüncü ve son aşamada ise 424 km<sup>2</sup> lik alanın detay jeolojisi ile birlikte üç adet toplam derinliği 1083 m. olan gradyan kuyuları açılmıştır (Tablo 3.2, Şekil 3.1). Bu son aşama çalışmaları 1/6/1987'de başlayıp 2/8/87 tarihinde bitirilmiştir.

Bu kuyulardan alınan numunelerin, 21 adetinden ince kesit, 65 adetinden X-Ray, 7 adetinden sıvı kapanım, 71 adetinden kimyasal analiz yapılmıştır.

**Tablo 3.2 1987 yılında açılan gradyan kuyularına ait özet bilgiler  
(MTA-JICA, 1987).**

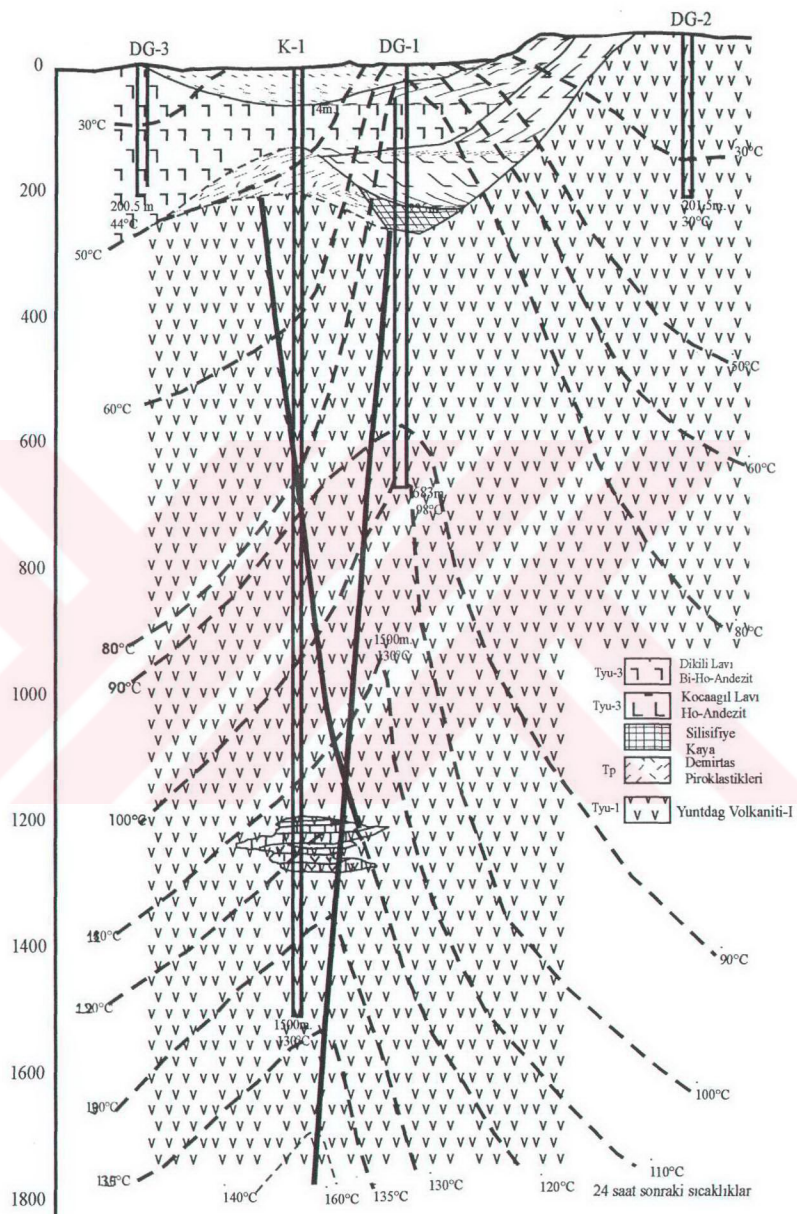
KuyuNo	Tarih	Derinlik (m)	Alfüv.Kalınlığı (m)	Sıcaklık (°C)	Ort.Gradyan (°C/m)
DG-1	1987	683	20	98	0,47/10
DG-2	1987	201,5	5	30	0,1/10
DG-3	1987	200,5	2	45	1/10



**Şekil 3.1 Kaynarca jeotermal alanı ve kuyu lokasyonları ( Yılmazer & Gevrek, 1990)**

İnceleme alanı içerisinde yer alan DG-1, DG-2 ve DG-3 kuyularının Şekil 3.2'de kuyular arası litoloji ve sıcaklık kesiti gösterilmiştir. Bu kuyularda sıcaklık yönünden yörenedeki en aktif bölgenin Kaynarca alanı olduğu görülmektedir .

Jeotermometrelerle yapılan rezervuar sıcaklık hesapları ve yapılan diğer araştırmalar sonunda daha derinde, daha yüksek sıcaklıkta elektrik üretim amaçlı akışkanın var olup olmadığını saptamak için MTA tarafından 1989 yılında Kaynarca jeotermal alanında 1500 m. derinliğinde Kaynarca-1 (K-1) buhar araştırma kuyusu açılmıştır (Şekil 3.2 ve 3.3, Yılmazer & Gevrek, 1990) (Tablo 3.3).



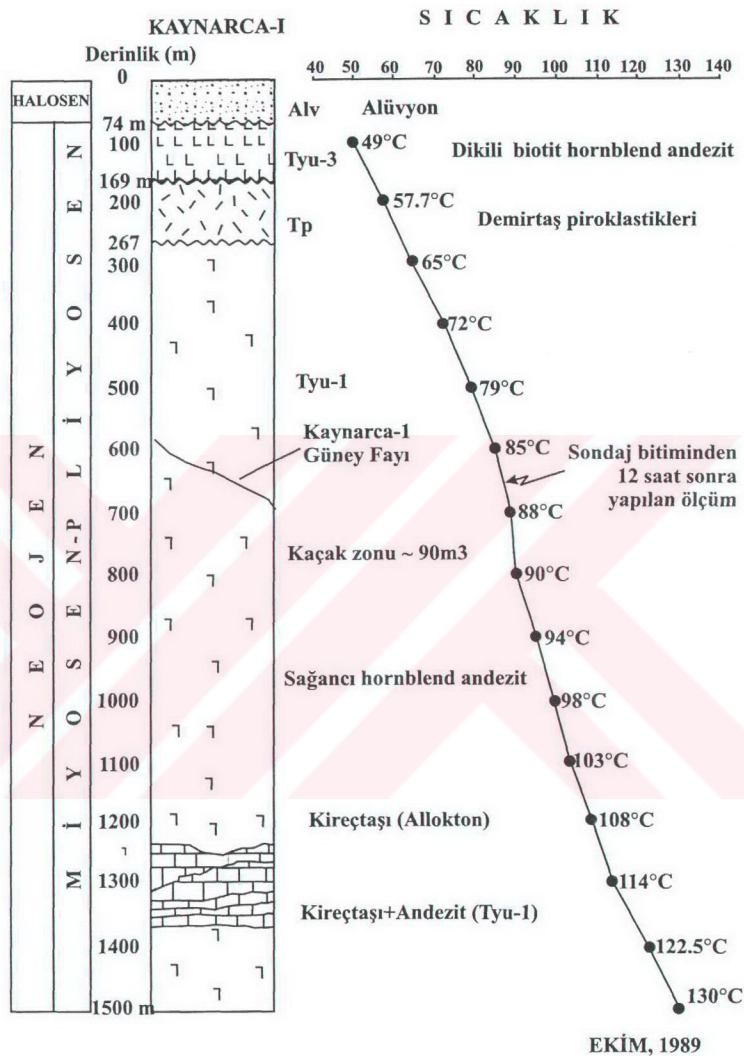
**Şekil 3.2 İnceleme alanı içerisindeki kuyuların litoloji ve sıcaklık kesiti ( Yılmazer & Gevrek, 1990)**

**Tablo 3.3 Kaynarca-1 (K-1) kuyusunda geçen formasyonlar ve bu formasyonlarda ölçülen gradyanlar (Yılmazer&Gevrek, 1990).**

Derinlik(m)	Formasyon	Gradyan(°C/10m)
0 - 74	Alüvyon	
74 - 167	Demirtaş piroklastitleri	0.2°C/10
167 - 267	Biyotit-hornblend andezitleri	0.6°C/10
267 -1262	Biyotit-hornblend andezitleri	0.75°C/10
1262 -1325	Volkanik katkılı kireçtaşı	0.94°C/10
1325 -1500	Andezit (Tyu-1) kesilmiştir	0.82°C/10

Sondaj sırasında 600-700 m'ler arasında I. hazne varlığı saptanmıştır ayrıca 90 m<sup>3</sup>'luk bir çamur kaçağı olmuştur. Bu zonda bol çatlaklı, yaygın alterasyon görülmektedir. Piroklastik kayaçlar çökme yaptığı için bu zon test edilmenden Casing (Kapalı boru) arkasına alınmıştır. Bu nedenle üretim yapılamadığı için 600-700 m'ler arasındaki akışkan ile ilgili yeterli bilgi sağlanamamıştır. Bu zonda yapılan kuyu içi ölçümllerine göre 80-88 °C'lik bir sıcaklık belirlenmiştir. 750-1500 m'ler arasında ise ortalama gradyan 17.5 m olarak hesaplanmıştır. Sondajla ilgili bilgiler Şekil 3.3'de kuyu bitirme logunda verilmiştir. K-1 kuyusu tabanında 130°C sıcaklık ölçülmüştür. K-1 kuyusu amaçlanan 200°C sıcaklığı erişememiştir (Yılmazer&Gevrek, 1990).

Sonuç olarak, yapılan K-1 sondajında düşünülen ve hesaplanan sonuçlara ulaşılammamıştır. Yapılan sondajda 700 m'den sonra gradyan ile gözeneklilik ve geçirgenlik azalmaktadır. Bu nedenle sondaj daha fazla ilerletilmenden 1500 m.'de durdurulmuştur. Sondajla, sahanın 1500 m'lik kesiminin stratigrafik durumu aydınlatılmış olup, Kaynarca ile Kargin Tepe arasında büyük atılımlı bir fayın bulunmadığı belirlenmiştir (Yılmazer & Gevrek, 1990).



Şekil 3.3 Kaynarca-1 kuyusunun bitirme logu (Yılmazer&Gevrek, 1990).

1993-1994 yıllarında, Dikili Belediyesi tarafından Dikili'nin ısıtılmasına yönelik dört adet sıcak su kuyusu açılmıştır (B-1, B-2, B-3, B-4). Bu kuyularдан B-1 hariç üç tanesinden toplam 130 l/s debiyle 100°C'nin üzerinde sıcaklığı olan su elde edilmiştir. Bu kuyuların derinlikleri 30-45 m. arasında değişmektedir. Sığ derinlikte hem yüksek sıcaklık, hem de yüksek debinin olması önemlidir (Sözlü görüşme, Dr. Servet Yılmazer, Haziran 2002). 1998 yılında MTA ile İzmir-Dikili Belediyesi arasında imzalanan sözleşme gereği bu üç jeotermal kuyunun ikisinde sıcaklık, basınç, ve debi ölçümleri yapılmıştır. Test çalışmalarının amacı, Dikili çevresinde bulunan çok sayıdaki sıcak su sahaları içinde en yüksek sıcaklığa sahip ve sondaj çalışmaları sonucu yüksek debili oldukları gözlenen kuyuların üretim performansları ile sıcaklık, basınç değerlerini incelemek olmuştur. Kuyulardan bir tanesinde (B-2), ana vananın altı tamamen kabuk bağlılarından test yapılamamıştır (Özüdoğru, 1998).

Yapılan bu çalışmalar sonucunda Dikili-Kaynarca jeotermal sahasında mevcut kuyuların akışkan miktarından hareketle bu rezervuarın özellikle şehir ısıtmacılığında yeterli olabilecek düzeyde olduğu belirlenmiştir. Ancak kabuklaşmanın oluşum ve gelişim şartlarından dolayı bu debilerde üretim yapacak rezervuara ulaşmanın 300-400 m derinlige inen kuyularla sağlanabileceği MTA tarafından yapılan testlerle kanıtlanmıştır (Özüdoğru, 1998).

---

## Bölüm 4

# HİDROJEOLOJİ

---

### 4.1 Kayaların Hidrojeolojik Özellikleri

Burada ele alınan kaya birimleri MTA-JICA (1987)'den alınmıştır.

#### 4.1.1 Yuntağ Volkaniti-I

Çalışma alanının yakın çevresini gösteren jeolojik haritada da görülebileceği gibi inceleme alanının en yaşlı birimidir. Yaygın alterasyona uğramış bu kayaların çatıtlarında silis, kalsit ve jips dolguları bulunmaktadır. Tektonik zonlarda ikincil gözeneklilik ve geçirgenlik arttığı için bu kayalar rezervuar özelliğini kazanmışlardır.

#### 4.1.2 Demirtaş Piroklastikleri

Genellikle Dikili'nin güney doğusundaki Demirtaş yöresinde yaygın olarak gözlenen bu birim altere olmamış dasit, ignimbirit, felsik piroklastik kayalardan oluşmaktadır. Düşük porozite özelliğine sahip olmaları nedeniyle örtü kaya özelliğindedir.

#### 4.1.3 Yuntağ Volkaniti-II

İnceleme alanı içerisinde çok fazla yaygınlık göstermeyen bu kayalar tektonik hatlar boyunca düşük dereceli rezervuar oluşturabilir.

#### **4.1.4 Yuntağ Volkaniti-III**

Genel olarak 6 ayrı volkanizma ürününden oluşup bunlardan inceleme alanında Dikili biotit-hornblend andezit birimi gözlenmektedir.

##### **4.1.4.1 Dikili Biotit-Hornblend Andezit**

İnceleme alanı içerisindeki yaygın olarak gözlenen bu birim yüzeyde kaldığından dolayı çok fazla sıcak su içermez.

Yuntağ Volkaniti-III ısıtıcı kaya özelliğinde olup, sıcak kaynaklar ve altere zonlar bu birimin etrafında bulunmaktadır.

#### **4.1.5 Alüvyon**

Çalışma alanı içerisinde akifer özelliği taşıyan en önemli birimdir. Yörede sulama sularının büyük bir bölümü alüvyondan temin edilmektedir.

#### **4.2 Dikili-Kaynarca Jeotermal Alanları**

İnceleme alanındaki jeotermal alanları Dikili ve Kaynarca jeotermal alanları olarak iki grupta incelemek mümkündür.

##### **4.2.1 Dikili-Kaynarca Jeotermal Alanlarının Oluşumu**

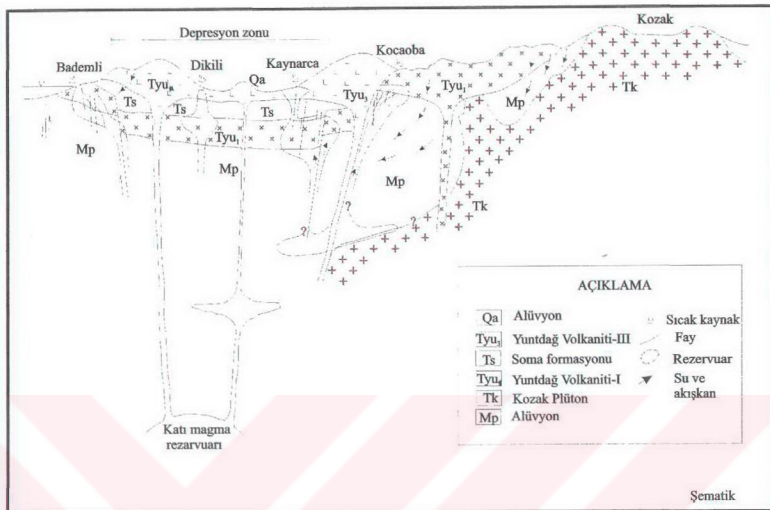
Tektonik hareketlerle oluşan fay zonlarında magmanın yüzeye yaklaşması veya aktivitesini kaybetmemiş magma ısısının kondüksiyon yoluyla yeraltı sularını ısıtması sonucunda jeotermal akışkanlar oluşmakta ve bu akışkanlar gaz ( $\text{CO}_2$ ) ve buhar olarak yüzeye çıkarak jeotermal kaynakları meydana getirmektedir (Yılmazer, 1984).

İnceleme alanında MTA-JICA (1987) tarafından yapılan araştırmaların sonucunda Dikili-Bergama jeotermal alanlarının oluşumunu gösteren bir hidrokimyasal model oluşturulmuştur (Şekil 4.1). Bu modele göre; inceleme alanının kuzeyinde kalan Kozak Plütonu Pre-Tersiyer temel kayaları içerisine sokulum yapmaktadır. Yuntağ Volkaniti-I kuzeybatıda komşu Kozak Masifi'ni kesmektedir. Dikili'yi içine alan depresyon zonunun bir sonucu oluşan düzlik içinde Yuntağ Volkaniti-II ve bunu takiben Yuntağ Volkaniti-III'nin dom yapıtı volkanizması oluşmuştur. Jeotermal aktivite bu genç volkanizmanın çevresindeki sıcak kaynaklarda gözlemlenmiştir. Bölgedeki sıcak sular tektonik hatlar boyunca Kozak Bölgesi'nden yeraltına süzülen meteorik suların derinlerde ısınır, kırık ve faylar boyunca tekrar yüzeylemesi ile oluşan devirli sistem özelliğindedirler. Sıcak sular bu yükseltimleri sırasında belirli oranda soğuk yeraltı suları ile karışabilmektedirler.

#### **4.2.2 Dikili-Kaynarca Jeotermal Alanlarının Tanıtımı**

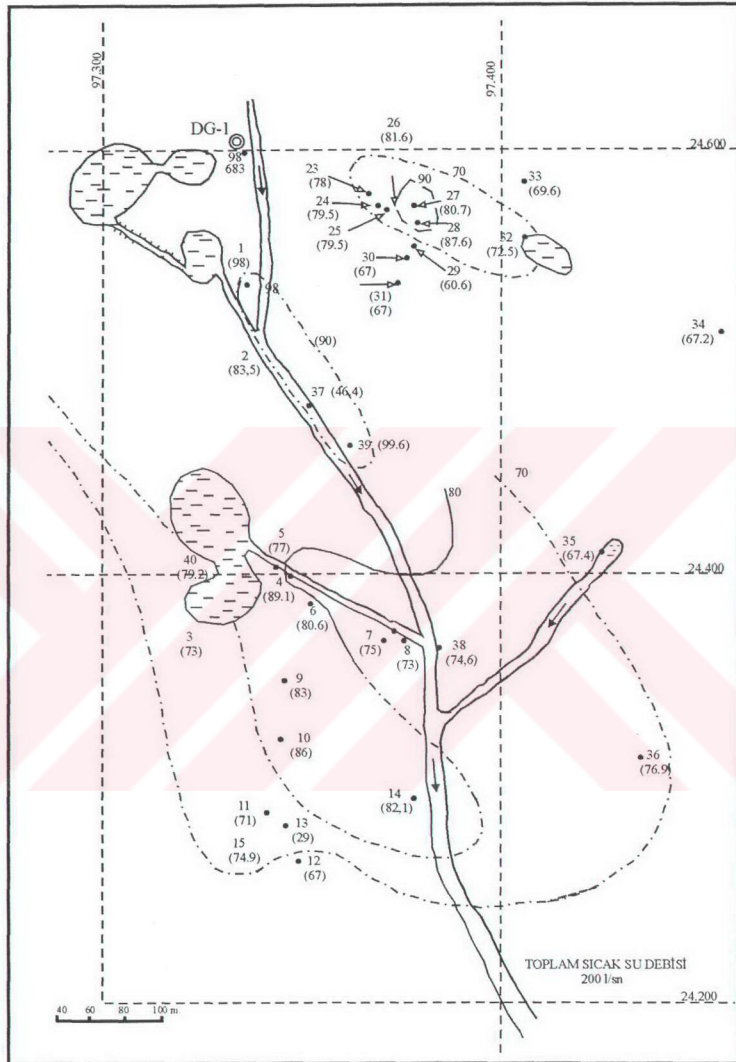
##### **4.2.2.1 Dikili Jeotermal Alanı**

Dikili-Bergama arasında 5'inci km'de ana yoldan 2 km güneyde, toprak bir yol ve tarlalarlardan arazi aracı ile gidilebilen kaynaklar üzerindeki yapılar ilkel bir hamam ve üstü kapalı bir çamur havuzudur (Şekil 4.2). Kür için gelenlerin kalabilecekleri odalar oldukça küçüktür. Asfalta çok yakınmasına rağmen ancak kurak aylarda yararlanılmaktadır. Kaynak sıcaklığı 51°C olup; kaynaklar bikarbonatlı, sodyum sülfatlı, karbondioksitli ve hipetermaldir. Dikili kaynakları D-B yönlü fayın çatılarından gelip alüvyon şeridin üzerinde birkaç yerden yüzeye çıkarlar. Kaynakların yüksek sıcaklıklı olanları, koyu renkli andezitler (Yuntağ Volkaniti-III) arasından çıkarak alüvyonlardan boşalmaktadır (Yılmazer, 1984). Bölgedeki kaynaklar 1939 yılında meydana gelen depremden etkilenmişlerdir. Bu sırada beliren sıcak kaynaklardan bir bölümü, kısa zamanda kaybolmuş, kalanlar ise 1941 yılından bugüne kadar özelliklerini korumuşlardır. Yapılan sondajlarla sıcaklık ve debi artırtılmıştır. Kaynakların çevresi kaplıca uygulamalarının yanı sıra tarımsal uygulamalar için de oldukça idealdir (Yılmazer, 1984).



#### 4.2.2.2 Kaynarca Jeotermal Alanı

Çanakkale yolu, Dikili Kavşağı'nın 4,8 km doğusunda alüvyonal alan içinde yer alır.  $2500\text{ m}^2$  alan üzerinde dört adet sıcak su gölü ile irili ufaklı 80 değişik termal su ve buhar çıkışları vardır (Şekil 4.3). Bu termal suyun oluşumu doğrudan 1939 depreminin bir sonucudur (Jeckelman, 1996). Yalnızca bu alan içerisinde kapsamlı çıkış tahminleri yapılabilir. Dikili'nin ısıtılmasına yönelik yapılan sondajlar da bu alandadır. Bu alandaki doğal sıcak su boşalımının yaklaşık toplam debisi 180-200 l/sn olup ortalama sıcaklığı  $80-100^\circ\text{C}$ 'dir (Yılmazer, 1984). Kaynaklardan çıkan bu akışkanlar oluşturdukları kanallardan akarak Bakırçay'a karışır. Bu çay vasıtıyla da denize akarlar.



Şekil 4.3 Kaynarca jeotermal alanındaki sıcak su çıkışlarının dağılımı ve sıcak su gölleri (Yılmazer&Gevrek, 1990).

---

## Bölüm 5

# HİDROJEOKİMYA

---

### 5.1 Temel Jeokimyasal Hesaplamalar

Bu çalışmada kaynakları verilen mevcut en yeni kimyasal analizlerden 32 sıcak su ve 5 soğuk su noktası olmak üzere toplam 37 su noktası seçilmiştir. Seçilen su noktaları Şekil 2.1'de belirtildiği gibidir. Bu su noktalarının kimyasal özellikleri Tablo 5.1'de verilmiştir. Bu bölümde anlatılan bazı temel jeokimyasal tanımlamalar Şahinci (1991a ve 1991b)'den alınmıştır.

Kimyasal analizlerde, yeraltı sularında en çok bulunan iyonlardan  $\text{Cl}^-$ ,  $(\text{SO}_4)^=$ ,  $(\text{HCO}_3)^-$ ,  $(\text{CO}_3)^=$ ,  $\text{Na}^+$ ,  $\text{K}^+$ ,  $\text{Ca}^{++}$ ,  $\text{Mg}^{++}$  ile  $\text{Si}$ ,  $\text{Li}$ ,  $\text{Al}$  ve  $\text{B}$  değerleri litrede miligram ( $\text{mg/l}$ ) olarak verilmiştir. Ayrıca bu noktaların pH ve elektriksel iletkenlikleri yer almaktadır (Tablo 5.1).

Su içindeki iyonlar, litrede gram veya miligram olarak tanımlanır. Miligram/litre ( $\text{mg/l}$ ) en yaygın olarak kullanılan birimidir. Bu birim: Çözünmüş maddenin bir litrede miligram ( $\text{mg/l}$ ) olarak belirtilmesidir.

Bazı kimyasal incelemelerde iyonların su içindeki ağırlıkları yerine kimyasal tepkimeye giren miktarların saptanması istenir. Kimyasal tepkimelerde iyonların miktarı ( $\text{mek/l}$ ) ve molarite ( $\text{mol/l}$ ) olarak tanımlanabilir.

$$\text{mek/l} = (\text{mg/l}) (P/Z)$$

P: İyonun atom ağırlığı

$$\text{molarite} = (\text{mg/l}) P \cdot 10^{-3}$$

Z : İyon değerliği

Tablo 5.1 Çalışmada kullanılan, inceleme alanı içerisindeki su noktalarının mevcut su analizleri (Örnek numaraları Şekil 2.1 ile aynıdır).

No	Özn.Yer	Ör. Tarihi	T <sub>c</sub>	A <sub>m</sub>	pH	C <sub>red</sub>	Cl <sup>-</sup>	Br <sup>-</sup>	F <sup>-</sup>	SC <sub>g</sub>	HCO <sub>3</sub> <sup>-</sup>	SiO <sub>2</sub>	Al	B	Ca	Mg	K	Na	Su Tipi	Kaynak	
1	Dikili İlçeleri	1987	65	30	7.3	2900	97.7	0.2	5.8	564	1090	99	0.04	12.5	37	1	42	7.4	660	Na-HCO <sub>3</sub> -SO <sub>4</sub>	MTA-JICA,1987
2	Dikili İlçeleri	1987	40	30	7.3	2900	102.5	0.2	5.5	481	1140	109	0.11	11.00	43	5	41	8.6	570	Na-HCO <sub>3</sub> -SO <sub>4</sub>	MTA-JICA,1987
3	Dikili İlçeleri	1987	40	30	7.1	2900	103.4	1.6	5.4	481	1140	101	0.09	10.6	47	2.7	43	6.9	585	Na-HCO <sub>3</sub> -SO <sub>4</sub>	MTA-JICA,1987
4	Dikili İlçeleri	1987	66	30	7.1	2800	87.1	<0.1	4.9	465	1040	99	0.1	10.4	42	1.1	38	6.9	555	Na-HCO <sub>3</sub> -SO <sub>4</sub>	MTA-JICA,1987
5	Dikili İlçeleri	1987	65	30	7.0	2800	88.1	0.2	5.3	473	1060	109	0.09	10.9	50	1.4	38	6.4	545	Na-HCO <sub>3</sub> -SO <sub>4</sub>	MTA-JICA,1987
6	Dikili İlçeleri	1987	73	30	7.2	2600	89	0.2	3.7	477	1040	99	0.11	10.4	46	1.5	62	540	Na-HCO <sub>3</sub> -SO <sub>4</sub>	MTA-JICA,1987	
7	Dikili İlçeleri	1987	34	30	7.4	3600	96.7	<0.1	-	565	1620	109	0.10	11.9	41	0.5	35	8.3	820	Na-HCO <sub>3</sub> -SO <sub>4</sub>	MTA-JICA,1987
18	Dikili İlçeleri	134.9,3	72.1	25	6.2	2560	88.7	-	-	479.8	1034.9	76.8	0.10	-	48.9	0.9	34.6	0.1	570	Na-HCO <sub>3</sub> -SO <sub>4</sub>	Jeckelmann,1996
19	Dikili İlçeleri	134.9,3	42	25	6.7	2670	100.1	-	-	536.9	1159.3	77.9	0.10	-	49.4	0.8	35.7	0.4	493.7	Na-HCO <sub>3</sub> -SO <sub>4</sub>	Jeckelmann,1996
20	Dikili İlçeleri	31.9,9,2	36.2	25	6.4	2540	103.7	-	-	443.3	1006.8	-	0.20	-	46.9	1.7	38.4	0.2	503.1	Na-HCO <sub>3</sub> -SO <sub>4</sub>	Jeckelmann,1996
21	Dikili İlçeleri	5.9,9,2	65	25	6.8	2600	84.3	-	-	431.4	1073.9	-	1.25	-	48.6	1.5	38.9	0.2	552.4	Na-HCO <sub>3</sub> -SO <sub>4</sub>	Jeckelmann,1996
22	Dikili İlçeleri	21.3,9,4	30.1	25	6.6	3030	89.3	1.3	-	436.8	1488.8	140.9	0.05	7.6	141.7	6.8	41.4	0.8	567.8	Na-Ca-HCO <sub>3</sub> -SO <sub>4</sub>	Jeckelmann,1996
23	Eşkepe Yakını	5.8,9,3	32	25	7.9	3200	111.6	0.6	-	579.6	1403.4	94.3	1.25	12.3	53.0	1.2	31.2	0.1	570	Na-HCO <sub>3</sub> -SO <sub>4</sub>	Jeckelmann,1996
30	Dikili İlçeleri	28.7,9,3	18.4	25	7.2	1520	91.4	0.6	-	105.9	482.0	38.5	0.85	0.4	70.6	1.4	1.6	32.2	132.2	Na-Ca-Mg-HCO <sub>3</sub> -C	Jeckelmann,1996
31	Eşkepe Yakını	31.7,9,3	24.3	25	6.7	495	48.4	0.3	-	12.4	158.6	123.2	0.00	0.1	34.6	0.0	7.9	7.6	52.4	Na-Ca-HCO <sub>3</sub> -Cl	Jeckelmann,1996
32	Sülüklik Çeşme	28.7,9,3	24	25	7.2	631	37.2	0.3	-	17.5	298.9	49.2	0.04	0.1	76.6	0.0	7.0	18.2	445.1	Na-Ca-Mg-HCO <sub>3</sub>	Jeckelmann,1996
33	Eşkepe Yakını	5.8,9,3	18	25	7.4	1987	263.7	10.3	-	27.4	1037.3	68.9	1.70	6.5	45.9	4.1	10.0	26.1	445.1	Na-HCO <sub>3</sub> -Cl	Jeckelmann,1996
8	Kaynarca	1987	42	26	8.1	2700	72.8	0.2	7.6	786	598	168	0.11	4.7	33	0.1	36	1.4	570	Na-HCO <sub>3</sub> -SO <sub>4</sub>	MTA-JICA,1987
9	Kaynarca	1987	82	27	7.7	2500	68.9	0.2	7.2	735	586	226	0.13	5.1	32	0.1	36	<0.5	530	Na-HCO <sub>3</sub> -SO <sub>4</sub>	MTA-JICA,1987
10	Kaynarca	1987	48	27	8.0	2700	72.8	0.2	7.4	774	598	193	0.12	5.0	37	0.1	37	3.8	570	Na-HCO <sub>3</sub> -SO <sub>4</sub>	MTA-JICA,1987
11	Kaynarca	1987	53	27	7.7	2500	71.8	<0.1	7.6	753	586	226	0.14	5.0	39	0.1	34	0.5	540	Na-HCO <sub>3</sub> -SO <sub>4</sub>	MTA-JICA,1987
12	Kaynarca	1987	80	27	7.8	2600	70.9	<0.1	7.2	735	598	241	0.13	5.1	44	0.2	33	3.3	530	Na-HCO <sub>3</sub> -SO <sub>4</sub>	MTA-JICA,1987
13	Kaynarca	1987	74	27	7.4	2600	70.9	<0.1	7.4	781	604	215	0.12	5.1	37	1.1	34	0.5	540	Na-HCO <sub>3</sub> -SO <sub>4</sub>	MTA-JICA,1987
14	Kaynarca	1987	99.9	27	8.6	2500	69.9	<0.1	6.8	744	610	203	0.08	5.3	33	0.1	33	0.5	540	Na-HCO <sub>3</sub> -SO <sub>4</sub>	MTA-JICA,1987
15	Kaynarca	1987	46	27	8.4	2600	72.8	<0.1	7.6	743	610	165	0.10	5.3	33	0.1	34	1.0	570	Na-HCO <sub>3</sub> -SO <sub>4</sub>	MTA-JICA,1987
16	Kaynarca	1987	83	27	7.4	2600	69.9	<0.1	6.7	615	543	266	0.11	4.9	21	0.1	33	<0.5	530	Na-HCO <sub>3</sub> -SO <sub>4</sub>	MTA-JICA,1987

Tablo 5.1 devam ediyor...

No	Ören-Yeri	Ön-Tarafı	T	Atm °C	pH FC	Cond μS/ cm	Cl mg/l	F mg/l	Br mg/l	SO <sub>4</sub> mg/l	HCO <sub>3</sub> mg/l	NO <sub>3</sub> mg/l	Al mg/l	B mg/l	Cu mg/l	K mg/l	Fe mg/l	Mg mg/l	Na mg/l	Sa Tipi	Kaynak
17	Kaynarca	1987	76	27	7.4	2700	70.9	<0.1	6.8	482	586	178	0.11	-	36	0.1	<0.5	530	Na-HCO <sub>3</sub> -SO <sub>4</sub>	MTA-JICA, 1987	
24	Kaynarca	1.9.92	88	25	7.4	2530	61.2	-	6.15	561.4	—	0.58	-	34.2	0.6	36.6	2.4	522.8	Na-SO <sub>4</sub> -HCO <sub>3</sub>	Jeckelman, 1996	
25	Kaynarca kuyu	13.4.93	53.1	25	7.6	2307	44.0	-	482	257.5	38.3	0.08	-	64	0.7	16.7	8.6	230.9	Na-SO <sub>4</sub> -HCO <sub>3</sub>	Jeckelman, 1996	
26	Kaynarca	24.7.93	41	25	7.8	2623	67.9	1.3	-	795.7	555.3	193.5	0.01	6.0	42.2	0.1	29.8	3.0	515.1	Na-SO <sub>4</sub> -HCO <sub>3</sub>	Jeckelman, 1996
27	Kaynarca doğuslu	26.7.93	70	25	7.1	2560	65.0	1.3	-	746.9	573.6	98.4	0.02	5.7	40.5	0.0	29.1	2.5	464.5	Na-SO <sub>4</sub> -HCO <sub>3</sub>	Jeckelman, 1996
28	Kaynarca batısı	15.3.94	32.3	25	7.4	1901	245.5	1.5	-	655.8	464.9	240.8	0.31	0.6	238.8	0.0	15.6	63.4	240.8	Ca-Na-SO <sub>4</sub> -HCO <sub>3</sub>	Jeckelman, 1996
34	Kaynarca batısı	28.7.93	19.2	25	7.3	3921	910.3	1.3	-	677.3	634.6	72.3	0.02	0.6	281.9	0.2	30.3	128.7	33.8	Na-Ca-Cl-SO <sub>4</sub> -NO	Jeckelman, 1996
35	Kaynarca	28.7.93	18	25	7.0	1640	69.2	1.5	-	416.4	396.6	148.8	2.09	0.8	107.9	0.2	3.3	60.4	148.8	Na-Ca-SO <sub>4</sub> -HCO <sub>3</sub>	Jeckelman, 1996
36	DG-1 kuyusu	1987	98	25	9	1800	51.2	<0.3	4.2	553	282	363	0.53	1.7	10.8	6.9	32.1	2.3	363	Na-SO <sub>4</sub> -HCO <sub>3</sub>	MTA-JICA, 1987
37	DG-3 kuyusu	187	45	25	7.7	5500	1530	4.7	0.3	131	251	737	4.30	1.0	87.0	3.3	1.0	63.0	737	Na-Ca-Cl	MTA-JICA, 1987

Sudaki anyon ve katyonların mek/l toplamları birbirine eşit olmalıdır. Anyon ve katyonların kimyasal analizlerinde yapılabilecek hatalar aşağıdaki bağıntı ile hesaplanabilir:

$$e = \frac{\text{Toplam katyon miktarı (mek/l)} - \text{Toplam anyon miktarı (mek/l)}}{\text{Toplam iyon miktarı (mek/l)}} \times 100$$

Hata yüzdesinin (*e*) genellikle %5'den küçük olması istenir. Pozitif değer katyon fazlalığına, negatif değer ise anyon fazlalığına karşılık gelir. Analiz yapımı sırasında ortaya çıkan hatalar dışındaki %5'den yüksek hata, suda analizi yapılmamış iyon türlerinden bazlarının yüksek derişimde olabileceği şeklinde yorumlanmalıdır (Ford ve Williams, 1989).

### - İyonlaşma Gücü (I)

Büyükük olarak iyonların her birinin stokiyometrik molaritesinin (*C*) yarısı ile iyon değerliği (*Z*) karesinin çarpımına eşittir (Şahinci, 1991).

$$I = 0,5 ( C_1 Z_1^2 + C_2 Z_2^2 + \dots + C_n Z_n^2 ) = 0,5 C_i Z_i^2$$

### - İyon Etkinliği (AC)

Tuzların suda çözünürlüğünün iyonlar arası kimyasal tepkime hızlarını etkileyen nedenlerden biridir. İyon etkinliği ile bir iyonun tahlil edilen derişimi (*C*) arasında şu bağıntı vardır (Şahinci, 1991):

$$AC = F \times C$$

$$AC = \text{İyon etkinliği (gerçek derişim)}$$

$$F = \text{İyon etkinlik katsayısı}$$

$$C = \text{Görünür derişim (molarite)}$$

### - İyon Etkinlik Katsayısı (F)

İyon etkinlik katsayısı boyutsuzdur ve genellikle birden küçük olduğunda derişim , görünür derişimden küçüktür. Böylece çözeltilerde bulunan iyonlar, derişimlerinden çok etkinlikleri gerçek derişimleri ile tepkimeleri denetler.

İyon etkinlik katsayılarının hesabı için iyonlaşma gücü (molarite olarak) 0,1'den düşük olan sularda Debye–Hückel bağıntısı kullanılır. Bağıntı şöyledir:

$$\text{Log } F = -A Z_i^2 I^{0.5} / 1 + B r_0 Z^{0.5}$$

A ve B sabitleri sıcaklığı bağlı parametreler olup, 25°C ve 1 atm. koşullarında sırasıyla 0,51 ve 0,33 değerine sahiptir. Ancak hesaplamalar kaynak çıkış sıcaklığına göre yapılmalıdır. Hidratlaşma yarıçapı olan  $r_0$  ise  $\text{K}^+$  ve  $\text{Cl}^-$  için 3,  $\text{Na}^+$ , ( $\text{HCO}_3^-$ ) ve ( $\text{SO}_4^{2-}$ ) için 4, ( $\text{CO}_3^{2-}$ ) için 4, 5,  $\text{Ca}^{++}$  için 6 ve  $\text{Mg}^{++}$  için ise 8 olarak alınmıştır.

İyonlaşma gücü 0,1 ile 0,5 arasında olan suların iyon etkinlik katsayısının hesabında ise Davies bağıntısı kullanılır (Filiz ve diğerleri, 1998).

$$\text{Log } F = - A Z_i^2 (I^{0.5} / 1 + I^{0.5} - 0.2 I)$$

I = İyonlaşma gücü

F = İyon etkinlik katsayısı

Z = Değerlik

A = Yukarıda belirtildiği gibi sıcaklığa bağlı sabittir.

Burada tanımlanan, iyonlaşma gücü, iyon etkinliği ve iyon etkinlik katsayısı değerleri her bir örnek için Watch 2.1 ( Arnórsson ve diğ., 1982 ve Bjarnason, 1994) bilgisayar programı ile elde edilen ve Ek-1'de verilen jeokimyasal hesaplamalar içerisinde mevcuttur.

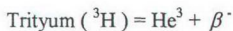
## 5.2 Doğal İzotoplarla ( $^{18}\text{O}$ , $^2\text{H}$ , $^3\text{H}$ ) Suyun Yaşı ve İzlediği yolun Araştırılması

Hidrojeolojik çevrimin çeşitli kesimlerindeki su hareketlerinin incelenmesi için  $^{18}\text{O}$ ,  $^2\text{H}$ ,  $^3\text{H}$ , izotoplari bir izleyici olarak kullanulurlar ve hidrojeolojik sistemlerle ilgili gerek statik ve gerekse dinamik parametrelerin saptanması olanağını sağlarlar.

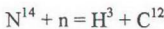
İzotoplar arasında özellikle döteryum ( $^2\text{H}=\text{D}$ ), trityum ( $^3\text{H}=\text{T}$ ) ve  $^{18}\text{O}$ , kaynakların beslenme alanlarının ve kökenlerinin belirlenmesinde su-hazne kayaç ilişkilerinin saptanmasında, suların bağıl yaşlarının ve jeotermal sistemlerin hazne kaya sıcaklıklarının saptanmasında ve sıcak-soğuk su karışımı gibi sorunların çözümünde kullanılmaktadır. Bu çalışmada uygulanan yöntemlerde kullanılan izotop analizleri MTA-JICA (1987) ile Jeckelman (1996) dan ayrıca bazı yorumlar Şahinci (1991a) ve Filiz (1982)'den alınmıştır (Tablo 5.2).

### 5.2.1 Trityum

İzotop hidrojeolojisinde çoğunlukla su molekülünün  $\text{H}^3\text{H}^1\text{O}^{16}$ ,  $\text{H}^1\text{H}^1\text{O}^{18}$  ve  $\text{H}^1\text{H}^1\text{O}^{16}$  türleri kullanılır. Bunlardan  $^3\text{H}$  (trityum) hidrojenin radyoaktif izotopu olup yarılanma yaşı 12,26 yıldır. Eski beta ışınıny yayıldığından kolayca radyoaktif sayaçlarda saptanabilir.



Trityumun doğal ve yapay iki kökeni vardır. Doğal kökeni kozmik ışınlardaki nötronların ( $n$ )  $\text{N}^{14}$  üzerine etkimesiyle oluşur.



Trityumun yapay kökeni nükleer patlamalarıdır. 1952 yılından sonra atmosferde nükleer denemeler sonucu trityum miktarı hızla arımıştır. Yağışlarda doğal trityum miktarı, bölge ve iklim kuşaklarına bağlı olarak 5–20 trityum birimi (UT) arasında

iken nükleer patlamalar sonucu binlerce trityum birimine erişmişlerdir. Bir trityum birimi (UT),  $1 \times 10^{18}$  H<sup>1</sup> atomunun içindeki bir atom trityum miktarıdır.

Radyoaktif izotoplarda parçalanma hızı yan etkilerle değişmez.

$$N_t = N_0 \cdot e^{-at}$$

bağıntısı, çürüme ile zaman arasındaki doğrusal ilişkiye verir. Bağıntıda ;

$N_t = t$  anındaki radyoaktif atom sayısı,

$N_0$  = Başlangıçtaki radyoaktif atom sayısı,

a = Radyoaktif çürüme katsayısı,

t = Zaman olarak verilmiştir.

Bağıntıyı “e” tabanından kurtarıp trityum radyoaktif çürüme katsayısını “a” yerine koyarsak trityum yarı ömrü ,

$$t_{1/2} = \ln 2 / 0,0564 = 12,268 \text{ yıl olarak bulunur.}$$

### 5.2.2 <sup>18</sup>O ve D(<sup>2</sup>H) Kararlı İzotoplari

<sup>18</sup>O ve <sup>2</sup>H (döteryum), su molekülünün duraylı izotoplarındandır. Bunların ölçümleri kütle spektrometresinde yapılmakta ve sonuçlar % 0 $\delta$  ile gösterilmektedir.  $\delta$  değerleri uluslararası başvuru standarı olarak kabul edilmiş olan SMOW (Standart Mean Ocean Water)'a göre verilmektedir. SMOW, Atlas okyanusu sularının çeşitli noktalarından alınmış deniz suyunun bir karışımıdır. 1 $\delta$  yaklaşık olarak 2 ppm <sup>18</sup>O ve 0,3 ppm <sup>2</sup>H'yi karşılamaktadır.  $\delta$ 'nın tanım eşitliği CRAIG tarafından 1961'de geliştirilen bağıntıyla tanımlanır (Filiz, 1982).

$$\delta = (\text{Örneğin izotop oranı} / \text{Standart izotop oranı} - 1) \times 1000$$

Ölçüm duyarlıklarını  $^{18}\text{O}$  için yaklaşık olarak % 0.1  $\delta$ ,  $^2\text{H}$  için % 2  $\delta$ 'dır. Okyanuslar, hidrojeolojik devrin başlangıcını ve sonunu oluşturmaları nedeni ile herhangi bir suyun içerdiği  $^{18}\text{O}$  miktarı okyanus suları ile karşılaştırılır. Eğer suyun deltası -5 ise bu suyun ağır izotoplari, okyanus suları ortalamasına (SMOW)'a göre % 0,5 fakirdir. Tersine delta +5 ise, konu edilen suyun ağır izotoplari (SMOW)'a göre % 0,5 daha zengindir. Yerküresinde doğal sulardaki  $^{18}\text{O}$  miktarı çok değişiktir. Döteryum da benzer özellik gösterir ( Sahrada +150  $\delta^2\text{H}$ , güney kutbu kar sularında -150  $\delta^2\text{H}$  ) (Şahinci, 1991a).

Buharlaşma ve hazne kaya yapısındaki minerallerle akışkan (su) arasındaki kimyasal tepkimelerde H ve O değişimi, suyun ilkel izotop yapısını etkiler. Suyun hafif izotoplari buharlaşma ile ortamdan kolayca ayrılırken, ağır izotoplarsı sıvı fazda geçer ve geride kalan artık buhar, ağır izotoplarda fakirleşir.

Böylece birbirini izleyen aynı bulut kütlesinden gelen yağışlarda, bulutlar yağışlarının bir kısmını yüksek bölgelere bırakıklarından, kita içlerine düşen yağışlar ağır izotoplarda fakirleşir. Şiddetli buharlaşma etkisinde kalan suların ağır izotoplari buharlaşmaya göstermeyen sulara göre daha fazladır. Ağır izotop zenginleşmesi, buharlaşmanın şiddetitle orantılıdır. Bununla birlikte aynı yörede farklı buharlaşma etkisinde kalan sular  $^{18}\text{O}$  döteryum arasında doğrusal bir ilişki gösterirler (Güleç & Mutlu, 2002).

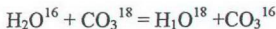
$$\% \delta \text{H}^2 = a \% \delta^{18}\text{O} + b$$

Bağıntıda "a", 3'den büyük, 8'den küçüktür, "b" ise 10'dan küçüktür. Buharlaşma doğrusunun eğimi, yağış doğrusunun eğiminden azdır ve yağış eğrisinin sağında, altında yer alır. Bu iki doğrunun kesim noktası, buharlaşmadan önceki suyun izotop içeriğini tanımlar (Şekil 5.1).

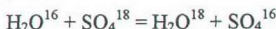
Jeotermal sistemlerin hazne kayalarını oluşturan silikat ve karbonat mineralleri, genellikle  $^{18}\text{O}$ 'ce zengindir. Kimyasal tepkime sonucu, hazne kayadaki sıcak akışkanın  $^{18}\text{O}$  oranı artar.

**Tablo 5.2 İnceleme alanı içerisindeki sıcak suların O<sup>18</sup>, H<sup>2</sup> ve H<sup>3</sup> izotop analizleri (Örnek numaraları Tablo 5.1 ile aynıdır).**

Örnek No	Örnekleme Yeri	$\delta^{18}\text{O}$ $\delta$ (SMOW)	$\delta^D$ $\delta$ (SMOW)	${}^3\text{H}$	Kaynak
1	Dikili İlçeleri	-6.3	-41.5	<0.3	MTA-JICA, 1987
2	Dikili İlçeleri	-5.8	-44.4	<0.3	MTA-JICA, 1987
3	Dikili İlçeleri	-	-	-	MTA-JICA, 1987
4	Dikili İlçeleri	-	-	-	MTA-JICA, 1987
5	Dikili İlçeleri	-	-	-	MTA-JICA, 1987
6	Dikili İlçeleri	-	-	-	MTA-JICA, 1987
7	Dikili İlçeleri	-	-	-	MTA-JICA, 1987
18	Dikili İlçeleri	-6.4	-43.5	0.7	Jeckelman, 1996
19	Dikili İlçeleri	-5.9	-41.5	1.1	Jeckelman, 1996
20	Dikili İlçeleri	-6.4	-45.0	8.7	Jeckelman, 1996
21	Dikili İlçeleri	-6.3	-45.9	0.9	Jeckelman, 1996
22	Dikili İlçeleri	-6.5	-47.1	-	Jeckelman, 1996
23	Dikili İlçeleri	-4.7	-39.0	1.1	Jeckelman, 1996
30	Dikili İlçeleri	-5.2	-31.7	-	Jeckelman, 1996
31	Eşek Tepe yakını	-5.9	-33.8	-	Jeckelman, 1996
32	Sülüklü Çeşme	-5.4	-32.6	-	Jeckelman, 1996
33	Eşek Tepe yakını	-6.2	-46.8	-	Jeckelman, 1996
8	Sülüklü Çeşme	-	-	-	Jeckelman, 1996
9	Eşek Tepe yakını	-6.3	-39.3	1.5	MTA-JICA, 1987
10	Kaynarca	-4.9	-37.4	-	MTA-JICA, 1987
11	Kaynarca	-6.1	-39.3	-	MTA-JICA, 1987
12	Kaynarca	-	-	-	MTA-JICA, 1987
13	Kaynarca	-6.1	-39.3	0.8	MTA-JICA, 1987
14	Kaynarca	-6.4	-43.0	<0.3	MTA-JICA, 1987
15	Kaynarca	-4.8	-37.5	-	MTA-JICA, 1987
16	Kaynarca	-	-	-	MTA-JICA, 1987
17	Kaynarca	-	-	-	MTA-JICA, 1987
24	Kaynarca	-5.9	-41.8	<1.1	Jeckelman, 1996
25	Kaynarca	-6.6	-40.6	0.8	Jeckelman, 1996
26	Kaynarca	-4.8	-38.2	0.8	Jeckelman, 1996
27	Kaynarca, kuyu	-6.2	-36.8	<1.3	Jeckelman, 1996
28	Kaynarca	-5.6	-35.5	7.6	Jeckelman, 1996
34	Kaynarca doğusu	-5.0	-30.7	9.9	Jeckelman, 1996
35	Kaynarca batısı	-5.7	-34.7	-	Jeckelman, 1996
36	DG-1 kuyusu	-5.9	-39.2	<0.8	MTA-JICA, 1987
37	DG-3 kuyusu	-5.4	-35.5	<0.8	MTA-JICA, 1987

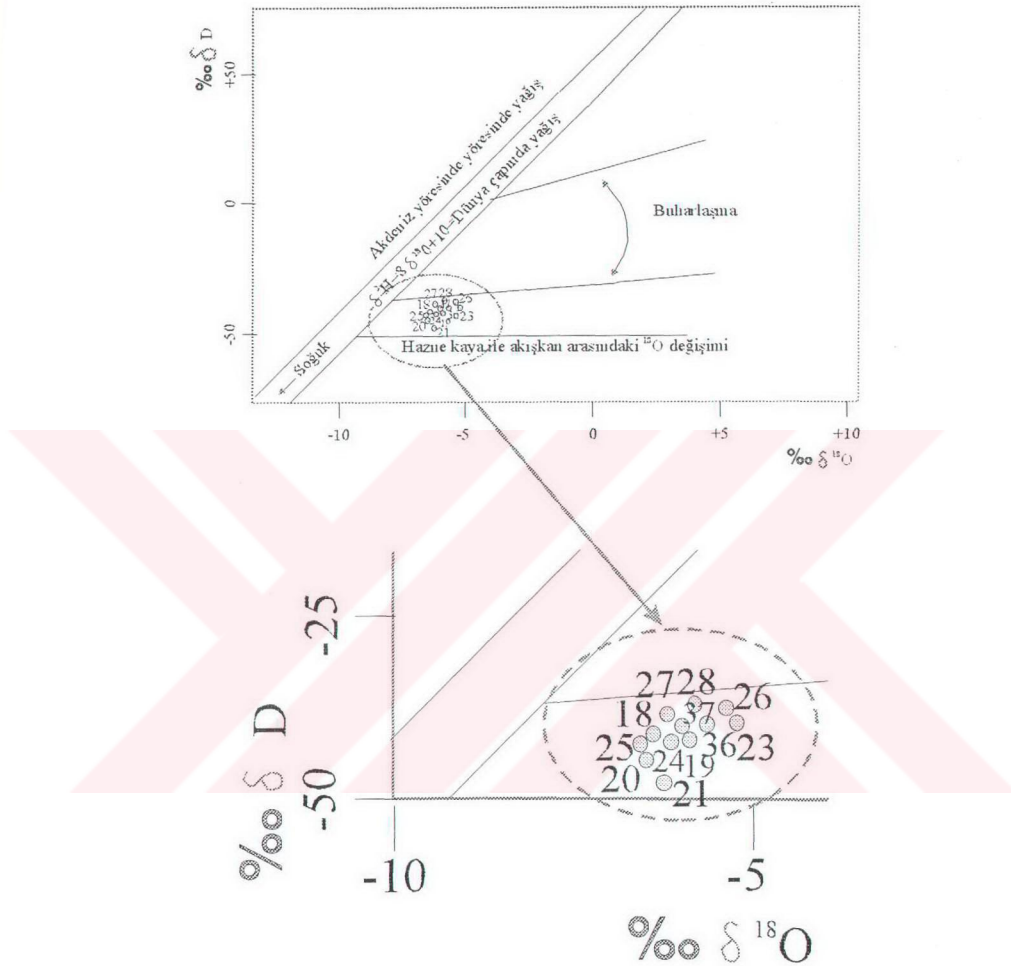


ya da :



Çok yüksek sıcaklıkta kaya - akışkan arasındaki  $^{18}\text{O}$  oranları bire erişir. Buna karşın kayalarda hidrojen mineralleri yok deneyecek kadar az olduğundan, döteryum miktarında fazla bir değişiklik gözlenmez. Böylece  $\delta^{18}\text{O}$  ve  $\delta^2\text{H}$  diyagramları üzerinde termal sular soğuk yeraltı sularının ve yağış sularının sağında yer alır. Ayrıca yatay bir doğru üzerinde hazne kaya içindeki akışkanın ısı alış verişine bağlı  $^{18}\text{O}$  evrimi gözlenebilir (Şekil 5.1). Bu doğrunun yağış suları doğrusunu kestiği nokta ilksel suyun izotop yapısını belirler.

Dikili-Kaynarca jeotermal sistemleri içerisinde yapılan izotop analizleri Tablo 5.2'de kaynakları ile birlikte gösterilmiştir.  $\delta\text{D}-\delta^{18}\text{O}$  diyagramına da yapılan izotop analiz sonuçlarından bir bölüm işlenmiştir. Bu diyagrama göre inceleme alanındaki sıcak sular meteorik suları gösteren eğrilerin yakınlarında yer almaktadırlar. Filiz (1982),  $^{18}\text{O}$  ve  $^2\text{H}$  değerlerine göre yörenedeki tüm sıcak suların meteorik kökenli olduğunu, Kaynarca sularındaki  $^{18}\text{O}$  zenginleşmesinin akışkanın yüksek entalpili bir hazzneden gelebileceğini gösterdiğini ve inceleme alanındaki suların en az 50 yıllık bir çevriminin olduğunu belirtmiştir. MTA-JICA, (1987) tarafından yapılan izotop analiz değerlerine göre Dikili kaynaklarından çıkan akışkanın yaklaşık yaşının 75 yıldan büyük olduğu, Kaynarca kaynaklarından çıkan akışkanın yaklaşık yaşının 6-56 yıl olduğu hesaplanmıştır. Filiz (1982)'nın bulguları MTA-JICA (1987) ve Jeckelman (1996) verileri ile doğrulanmaktadır.



Şekil 5.1 Yağış suları ve doğal sularda  $^{18}\text{O}$  ve D ( $^2\text{H}$ ) ilişkileri.

$\delta \text{D} = 8\delta \text{ } ^{18}\text{O} + 22$  Akdeniz yöresindeki yağış (IAEA, 1981).

$\delta \text{D} = 8\delta \text{ } ^{18}\text{O} + 10$  Dünya çapında yağış (Craig, 1961).

### 5.3 Suların Mineral Doygunluk Özelliklerinin İncelenmesi

Suların mineral doygunlukları su içindeki iyonların ve minerallerin Gibbs serbest enerjileri ( $\Delta G^0$ ) ile iyon etkinliklerinin bilinmesi ile ilişkilidir. Su içindeki kimyasal bir tepkimenin Gibbs serbest enerjisi ( $\Delta G^0$ ) ile tepkimedeki iyon veya bileşiklerin derişimleri arasındaki ilişki aşağıdaki global denklemle yazılabilir.

$$\Delta G^0 = -R \cdot T \ln K \quad (1)$$

Bağıntıdaki; R, gazların sabiti (0,001987 kcal/mol), T, sıcaklık derecesi (Kelvin), ln doğal logaritma ve K, tepkimenin denge sabitidir. (1) bağıntısı hidrojeokimyada oldukça önemli bir yer tutar. Çünkü kimyasal tepkimelerin serbest enerjileri bilinirse kimyasal denge sabitleri, çözünmüş iyonların çökebilme özellikleri, iyon değişimi ve kimyasal bozunum şekilleri önceden tahmin edilebilir. Standart koşullarda kimyasal tepkimelerin standart serbest enerji değişim miktarları tepkime sonu ortaya çıkan maddelerin serbest enerjileri toplamları ( $\Sigma \Delta G^0_{ts}$ ), ile tepkime başlangıcındaki maddelerin toplam serbest enerjileri ( $\Sigma \Delta G^0_{tb}$ ) farkına eşittir (Tarcan, 2002).

$$\Delta G^0 = \Sigma \Delta G^0_{ts} - \Sigma \Delta G^0_{tb} \quad (2)$$

Standart koşullarda herhangi bir kimyasal tepkime şu şekildedir.



Denge sabiti ile tepkime bileşenlerinin derişimleri arasındaki ilişki (3) tepkimeye giren maddelerin iyon etkinlikleri toplamının tepkimeden çıkan maddelerin iyon etkinlikleri tepkimesi dikkate alındığında aşağıdaki şekilde gelişir.

$$K = (aY)^y (aZ)^z / (aB)^b (aC)^c \quad (4)$$

Denklemde a ilgili iyonun etkinliğini (etkin derişimini) tanımlar ve,

$$a = \gamma C \quad (5)$$

ile tanımlanır; Bu denklemde de  $\gamma$  iyon etkinlik katsayısını, C ise molalite olarak iyon derişimini belirtir. (4) no'lu denklem (1) no'lu denklemde yerine konulduğunda

$\Delta G^\circ = -RT \ln [(aY)^y (aZ)^z / (aB)^b (aC)^c]$ , denklemde ilgili parametreler (standart koşullarda) yerine konur ve ondalık logaritmaya çevrilirse;

$$\log K = -\Delta G^\circ / 1,3641 \quad (6)$$

$$\log [(aY)^y (aZ)^z / (aB)^b (aC)^c] = -\Delta G^\circ / 1,3641 \quad (7)$$

denklemi elde edilir. Bu denklemde tepkimeye giren ve çıkan maddelerin dengede olması durumunda eşitliğin her iki yanı birbirine eşittir. Denge durumunun değişmesi ile eşitlik bozularak, tepkimeye girenler veya çıkanlar yönünde değişecektir. Bu yönün tahmin edilmesi mineral doygunluğu hesaplamalarının temelini oluşturmaktadır. Buradan yola çıkılarak doygunluk indeksi ( $D_I$ ) (saturation index = SI) kavramı geliştirilmiştir.

$$D_I = \log [(aY)^y (aZ)^z / (aB)^b (aC)^c] / (-\Delta G^\circ / 1,3641) = \log (Q/K) \quad (8)$$

Yukarıdaki tepkimede büyük parantez içindeki ifade tepkime oranını (Q) belirtir. Tepkime denge sabitine benzer, farkı tepkimenin dengede olmaya bilirliğidir.

Tepkimedeki (3 eşitliğindeki) mineral (katı faz) bileşik olarak yazıldığında (bütün katıların iyon etkinlikleri 1 kabul edilir) denge sabiti  $K = (aY)^y (aZ)^z$  (tepkimededen çıkan maddelerin iyon etkinlikleri toplamı = IAP) olacağından (8) no'lu denklem de şu şekilde gelişecektir

$$D_I = \log [(aY)^y (aZ)^z] / (-\Delta G^\circ / 1,3641) = \log (IAP/K) \quad (9)$$

Özetle SI,  $\log(Q/K)$  veya  $\log(IAP/K)$  şeklinde de gösterilebilen logaritmik bir kavramdan oluşur. Her mineral için özellikle sıcaklık ve kısmen de basınçla değişen değerler içerir. Termodinamik yöntemlerle hesaplanan mineral doygunluk indeksi sonuçları aşağıdaki gibi yorumlanır (Tarcan, 2002).

$SI(Q/K) = 0$  ise su ilgili mineral ile dengededir (doygundur).

$SI(Q/K) > 0$  ise su ilgili mineralle aşırı doygundur (mineral çökeltici özelliktedir).

$SI(Q/K) < 0$  ise su ilgili mineralle doygun değildir (mineral çözündürücü özelliktedir).

Bu çalışmada inceleme alanına ait sıcak suların mineral doygunluk indeksleri Watch-2.1 (Arnórsson ve diğ., 1982 & Bjarnason, 1994) bilgisayar programı yardımıyla termodinamik koşullar dikkate alınarak kuyuların ve kaynakların yalnızca ölçülen sıcaklığı için değil  $25^{\circ}\text{C}$ - $200^{\circ}\text{C}$  arasında  $25^{\circ}\text{C}$ 'de bir artış gösteren sekiz sıcaklık değeri için de hesaplanmıştır. Dikili ve Kaynarca sıcak kaynakları için en çok çökel ürünü olarak rastlanabilecek mineraller Tablo 5.3' de verilmiştir.

Çalışma alanındaki sıcak kaynaklarda tüm mineraller belirli bir sıcaklık derecesine kadar doygunluk üstü (yani akiferdeki su bu mineralleri çökeltici özellikte) değerler vermektedirler. Tablo 5.3'de görüleceği gibi Dikili jeotermal alanındaki sıcak sularda genel olarak kalsit, mikroklin, albit, lomontit, analsim mineralleri  $125^{\circ}\text{C}$  sıcaklığı kadar doygunluk üstü değerler vermektedirler. Kalsedon  $100^{\circ}\text{C}$ 'nin üstündeki sıcaklık değerlerinde doygunluk altı (yani su minerali çözündürücü özellikte) değerler vermektedir. Kuvars minerali  $150^{\circ}\text{C}$ 'ye kadar doygunluk üstü değer verir. Fulerit ve anhidrit mineralleri ise genellikle Dikili jeotermal alanındaki tüm su noktalarında doygunluk altı (su bu mineralleri çözündürücü özellikte) değerler verirler. Kaynarca jeotermal alanındaki su örneklerinin mineral doygunluk değerlerine baktığımızda genellikle  $125^{\circ}\text{C}$ 'ye kadar olan sıcaklık değerlerinde adularya, varyakit, lomontit,  $150^{\circ}\text{C}$ 'ye kadar albit, kalsit, mikroklin, analsim, kalsedon mineralleri doygunluk üstü değerler verirler. Florit

minerali 75°C'nin üstündeki sıcaklıklarda, kuvars minerali ise 150°C'nin üstündeki sıcaklıklarda doygunluk altıdır.

**Tablo 5.3 İnceleme alanına ait su örneklerinde çökel ürünü olarak rastlanabilecek bazı minerallerin belirtilen sıcaklıklardaki doygunluk indeksleri (Örnek numaraları Tablo 5.1 ile aynıdır).**

Örnek No: 1		Örnekleme Yeri: Dikili İlçeleri									
SICAKLIK	Adularia	Laumontite	Wairakite	Albite, low	Calcite	Fluorite	Microcline	Muscovite	Analcime	Chaledony	Quartz
25	3.904	5.590	1.189	4.249	1.982	0.254	5.930	7.953	2.904	0.741	1.091
50	2.231	3.444	-0.234	2.721	1.859	-0.51	4.013	4.958	1.728	0.458	0.793
75	0.883	1.732	-1.308	1.494	1.692	-0.271	2.449	2.693	0.781	0.229	0.529
100	-0.203	0.357	-2.115	0.506	1.207	-0.443	1.173	1.657	0.020	0.042	0.302
125	-2.305	-3.234	-5.196	-1.513	-0.387	-0.644	-1.094	-0.327	-1.799	-0.136	0.088
150	-2.082	-2.315	-3.816	-1.222	-0.29	-0.794	-1.015	0.667	-1.330	-0.299	-0.107
175	-2.406	-2.583	-3.666	-1.486	0.351	-0.927	-1.463	-0.110	-1.445	-0.444	-0.280
200	-2.754	-2.974	-3.674	-1.783	0.752	-1.043	-1.917	-1.110	-1.614	-0.575	-0.433

Örnek No:2		Örnekleme Yeri: Dikili İlçeleri									
SICAKLIK	Adularia	Anhydrite	Laumontite	Albite, low	Calcite	Fluorite	Microcline	Muscovite	Analcime	Chaledony	Quartz
25	4.593	-1.312	6.994	4.884	1.982	0.254	5.930	7.953	2.904	0.741	1.091
50	2.899	-1.123	4.818	3.335	1.859	0.051	4.013	4.958	1.728	0.458	0.793
75	1.511	-0.915	3.037	2.067	1.692	-0.271	2.449	2.693	0.781	0.229	0.529
100	0.372	-0.703	1.570	1.026	1.207	-0.443	1.173	1.657	0.020	0.042	-2.726
125	-2.579	-0.502	-3.692	-1.843	-0.387	-0.644	-1.094	-0.327	-1.799	-0.136	0.088
150	-1.980	-0.304	-2.011	-1.177	-0.029	-0.794	-1.015	0.667	-1.330	-0.299	-0.107
175	-1.944	-0.105	-1.552	-1.369	0.351	-0.927	-1.463	-0.110	-1.445	-0.444	-0.280
200	-2.296	0.099	-1.799	-3.686	0.752	-1.043	-1.917	-1.110	-1.614	-0.575	-0.433

Tablo 5.3 devam ediyor...

Örnek No: 3		Örneklemme Yeri: Dikili İhlcaları									
SİCAKLIK	Adularia	Laumontite	Wairakite	Albite, low	Calcite	Fluorite	Microcline	Analcime	Chaledony	Quartz	
25	4.363	6.612	2.211	4.645	1.979	0.401	6.389	3.271	0.768	1.118	
50	2.682	4.455	0.777	3.108	1.845	0.097	4.464	2.090	0.483	0.818	
75	1.316	2.713	-0.327	1.862	1.668	-0.129	2.882	1.131	0.248	0.548	
100	0.205	1.295	-1.177	0.849	1.208	-0.309	1.581	0.352	0.052	0.312	
125	-2.144	-2.776	-4.738	-1.418	-0.429	-0.524	-0.933	-1.712	-0.128	0.096	
150	-1.789	-1.582	-3.083	-0.995	-0.59	-0.652	-0.722	-1.111	-0.291	-0.099	
175	-2.025	-1.668	-2.751	-1.172	0.330	-0.768	-1.082	-1.139	-0.436	-0.272	
200	-2.355	-2.017	-2.717	-1.451	0.740	-0.875	-1.518	-1.291	-0.567	-0.425	

Örnek No: 4		Örneklemme Yeri: Dikili İhlcaları									
SİCAKLIK	Adularia	Laumontite	Wairakite	Albite, low	Calcite	Fluorite	Microcline	Analcime	Chaledony	Quartz	
25	4.389	6.739	2.338	4.701	1.850	0.400	6.415	3.318	0.778	1.128	
50	2.701	4.573	0.895	3.158	1.697	0.095	4.483	2.132	0.491	0.826	
75	1.319	2.804	-0.236	1.896	1.498	-0.136	2.885	1.162	0.251	0.551	
100	0.182	1.340	-1.132	0.857	0.985	-0.323	1.558	0.364	0.048	0.308	
125	-2.559	-3.512	-5.474	-1.802	-0.605	-0.551	-1.348	-2.088	-0.136	0.088	
150	-2.025	-1.958	-3.459	-1.201	-0.229	-0.680	-0.958	-1.309	-0.299	-0.107	
175	-2.090	-1.698	-2.781	-1.206	0.164	-0.786	-1.147	-1.165	-0.444	-0.280	
200	-2389	-1.985	-2.685	-1.455	0.576	-0.890	-1.552	-1.287	-0.574	-0.432	

Örnek No: 5		Örneklemme Yeri: Dikili İhlcaları									
SİCAKLIK	Adularia	Laumontite	Wairakite	Albite, low	Calcite	Fluorite	Microcline	Analcime	Chaledony	Quartz	
25	4.563	7.044	2.643	4.867	1.798	0.581	6.589	3.409	0.853	1.203	
50	2.853	4.841	1.163	3.303	1.616	0.268	4.635	2.209	0.559	0.894	
75	1.437	3.009	-0.031	2.006	1.403	0.020	3.003	1.215	0.308	0.608	
100	0.259	1.470	-1.002	0.926	0.994	-0.188	1.635	0.390	0.092	0.352	
125	-3.753	-5.912	-7.874	-3.004	-0.817	-0.466	-2.542	-3.328	-0.98	0.126	
150	-2.990	-3.902	-5.403	-2.173	-0.445	-0.618	-1.923	-2.319	-0.261	-0.069	
175	-2.393	-2.323	-3.406	-1.517	-0.054	-0.738	-1.450	-1.514	-0.406	-0.242	
200	-2.404	-2.035	-2.735	-1.478	0.357	-0.838	-1.567	-1.348	-0.536	-0.394	

**Tablo 5.3 devam ediyor...**

Örnek No: 6		Örneklemme Yeri: Dikili İlçeleri										
SİCAKLIK	Adularia	Anhydrite	Laumontite	Wairakite	Albite, low	Calcite	Fluorite	Microlime	Analçimce	Chaledony	Quartz	
25	4.412	-1.291	6.784	2.383	4.689	1.944	0.399	6.438	3.320	0.765	1.115	
50	2.729	-1.097	4.626	0.948	3.152	1.804	0.095	4.511	2.138	0.479	0.814	
75	1.360	-0.880	2.879	-0.161	1.903	1.619	-0.132	2.926	1.177	0.243	0.543	
100	0.242	-0.655	1.450	-1.022	0.883	1.121	-0.312	1.618	0.393	0.046	0.306	
125	-2.133	-0.449	-2.673	-4.635	-1.409	-0.466	-0.534	-0.922	-1.696	-0.136	0.088	
150	-1.767	-0.248	-1.454	-2.955	-0.976	-0.093	-0.656	-0.700	-1.084	-0.299	-0.107	
175	-1.991	-0.46	-1.514	-2.597	-1.140	0.298	-0.766	-1.048	-1.099	-0.444	-0.280	
200	-2.318	0.159	-1.856	-2.556	-1.417	0.709	-0.871	-1.481	-1.248	-0.574	-0.432	

Örnek No: 7		Örneklemme Yeri: Dikili İlçeleri									
SİCAKLIK	Adularia	Laumontite	Wairakite	Albite, low	Calcite	Fluorite	Microcline	Analcime	Chaledony	Quartz	
25	4.174	6.323	1.922	4.692	2.086	-0.143	6.200	3.361	0.726	1.076	
50	2.504	4.172	0.494	3.168	1.999	-0.457	4.286	2.189	0.444	0.779	
75	1.189	2.507	-0.533	1.972	1.893	-0.673	2.755	1.263	0.226	0.526	
100	0.171	1.250	-1.222	1.053	1.598	-0.823	1.547	0.549	0.059	0.319	
125	-1.042	-0.562	-2.524	-0.077	-0.155	-0.990	0.169	-0.401	-0.099	0.125	
150	-1.486	-0.975	-2.476	-0.454	0.205	-1.132	-0.419	-0.599	-0.262	-0.070	
175	-1.954	-1.528	-2.611	-0.861	0.585	-1.264	-1.011	-0.857	-0.407	-0.243	
200	-2.325	-1.963	-2.663	-1.182	0.987	-1.378	-1.488	-1.050	-0.538	-0.396	

Örnek No: 18		Örnekleme Yeri: Dikili İlçeleri											
SİCAKLIK	Adularia	Laumontite	Wairakite	Albite, low	Calcite	Microcline	Muscovite	Analcime	Chaledony	Prehnrite	Quartz	Zoisite	
25	3.094	4.992	0.591	3.394	2.191	5.120	6.584	2.432	0.357	5.446	0.405	2.496	
50	1.411	2.790	-0.888	1.857	2.167	3.193	3.440	1.252	0.070	3.868	0.201	0.871	
75	0.244	1.321	-1.719	0.810	2.141	1.810	1.266	0.426	-0.099	2.680	0.208	-0.189	
100	-0.173	1.008	-1.464	0.492	0.629	1.203	3.572	0.099	-0.052	-0.921	-0.017	-1.898	
125	-1.042	-0.105	-2.067	-0.294	0.985	0.169	1.445	-0.475	-0.241	-0.856	-0.217	-2.036	
150	-1.744	-1.009	-2.510	-0.929	1.353	-0.677	-0.295	-0.926	-0.409	-0.610	-0.396	-1.970	
175	-2.296	-1.711	-2.794	-1.421	1.728	-1.353	-1.696	-1.264	-0.560	-0.181	-0.556	-1.689	
200	-2.715	-2.223	-2.923	-1.788	2.105	-1.878	-2.820	-1.496	-0.698	0.418	0.418	-1.200	

Tablo 5.3 devam ediyor...

Örnek No: 19		Örneklemme Yeri: Dikili İnlâcları										
SICAKLIK	Adularia	Laumontite	Wairakite	Albite, low	Calcite	Microcline	Muscovite	Analcime	Chaledony	Prehnite	Quartz	Zoisite
25	2.883	4.583	0.182	3.180	2.266	4.909	6.106	2.281	0.294	5.204	0.644	2.121
50	1.164	2.308	-1.370	1.607	2.247	2.946	2.883	1.076	-0.004	3.586	0.331	0.433
75	-0.030	0.780	-2.260	0.533	2.249	1.536	0.602	0.233	-0.183	2.405	0.117	-0.659
100	-0.167	0.950	-1.522	0.497	1.169	1.209	2.637	0.106	-0.054	-0.083	0.206	-1.531
125	-1.074	-0.246	-2.208	-0.327	1.489	0.137	0.460	-0.500	-0.249	-0.149	-0.025	-1.805
150	-1.807	-1.215	-2.716	-0.992	1.812	-0.740	-1.282	-0.976	-0.423	-0.28	-0.231	-1.850
175	-2.385	-1.971	-3.054	-1.509	2.134	-1.442	-2.651	-1.331	-0.581	0.269	-0.417	-1.671
200	-2.820	-2.523	-3.223	-1.893	2.449	-1.983	-3.709	-1.576	-0.724	0.731	-0.582	-1.278

Örnek No: 22		Örneklemme Yeri: Dikili İnlâcları										
SICAKLIK	Adularia	Anhydrite	Laumontite	Wairakite	Albite, low	Calcite	Microcline	Analcime	Chaledony	Prehnite	Quartz	Zoisite
25	4.722	-0.737	7.529	3.128	4.974	1.251	6.748	3.360	1.009	3.945	1.359	2.651
50	2.968	-0.576	5.249	1.571	3.365	1.029	4.750	2.126	0.704	2.142	1.039	0.882
75	1.495	-0.400	3.321	0.281	2.010	0.821	3.061	1.087	0.440	0.526	0.740	-0.615
100	0.242	-0.214	1.658	-0.814	0.854	0.554	1.618	0.200	0.210	-1.068	0.470	-1.976
125	-1.156	-0.25	-0.440	-2.402	-0.464	-0.240	0.055	-0.890	0.004	-4.236	0.228	-4.675
150	-2.930	0.124	-3.476	-4.977	-2.175	-1.175	-1.863	-2.419	-0.162	0.030	-0.143	-9.137
175	-2.914	0.316	-3.042	-4.125	-2.103	-0.766	-1.971	-2.198	-0.307	-7.173	-0.143	-7.148
200	-2.909	0.508	-2.718	-3.418	-2.053	-0.339	-2.072	-2.022	-0.437	-5.678	-0.295	-5.393

Örnek No: 23		Örneklemme Yeri: Eşek Tepe yakını										
SICAKLIK	Adularia	Anhydrite	Laumontite	Wairakite	Albite, low	Calcite	Microcline	Analcime	Chaledony	Prehnite	Quartz	Zoisite
25	4.849	-1.360	8.118	3.717	5.417	2.221	6.875	4.211	0.602	7.592	0.952	
50	3.185	-1.188	5.963	2.285	3.899	2.159	4.967	3.042	0.322	6.020	0.657	
75	1.923	-0.957	4.374	1.334	2.756	2.078	3.489	2.152	0.121	4.729	0.421	
100	1.042	-0.658	3.346	0.874	1.975	1.641	2.418	1.529	0.000	3.073	0.260	
125	0.093	-0.434	2.042	0.080	1.108	0.260	1.304	0.841	-0.155	-0.614	0.069	
150	-0.532	-0.247	1.273	-0.228	0.551	0.622	0.535	0.463	-0.319	-0.238	-0.127	
175	-1.040	-0.057	0.641	-0.442	0.102	1.003	-0.097	0.165	-0.465	0.272	-0.301	
200	-1.429	0.138	0.174	-0.526	-0.236	1.405	-0.592	-0.045	-0.597	0.951	-0.455	

Tablo 5.3 devam ediyor...

Örnek No: 8		Örneklemle Yeri: Kaynarca									
SİCAKLIK	Adularia	Laumontite	Wairakite	Albite, low	Calcite	Fluorite	Microcline	Analcime	Chaledony	Quartz	
25	5.053	7.632	3.231	5.403	1.480	0.639	7.079	3.803	0.995	1.345	
50	3.344	5.430	1.752	3.841	1.366	0.320	5.126	2.605	0.701	1.036	
75	1.945	3.630	0.590	2.563	1.263	0.076	3.511	1.624	0.456	0.756	
100	0.806	2.172	-0.300	1.524	1.127	-0.118	2.182	0.830	0.249	0.509	
125	-0.123	0.992	-0.970	0.680	0.807	-0.282	1.088	0.192	0.067	0.291	
150	-1.841	-1.904	-3.405	-0.968	-0.685	-0.485	-0.774	-1.280	-0.096	0.096	
175	-1.611	-1.021	-2.104	-0.674	-0.267	-0.569	-0.668	-0.837	-0.241	-0.077	
200	-1.852	-1.160	-1.860	-0.860	0.165	-0.652	-1.015	-0.895	-0.371	-0.229	

Örnek No: 9		Örneklemle Yeri: Kaynarca									
SİCAKLIK	Adularia	Laumontite	Wairakite	Albite, low	Calcite	Fluorite	Microcline	Analcime	Chaledony	Quartz	
25	5.609	8.409	4.008	5.926	1.458	0.587	7.635	4.166	1.155	1.505	
50	3.885	6.185	2.507	4.350	1.331	0.265	5.667	2.958	0.857	1.192	
75	2.461	4.345	1.305	3.047	1.228	0.014	4.027	1.960	0.604	0.904	
100	1.291	2.837	0.365	1.977	1.122	-0.189	2.667	1.146	0.386	0.646	
125	0.333	1.609	-0.353	1.103	0.962	-0.365	1.544	0.488	0.193	0.417	
150	-0.459	0.594	-0.907	0.381	0.506	-0.523	0.608	-0.046	0.020	0.212	
175	-1.668	-1.392	-2.475	-0.767	-0.509	-0.772	-0.725	-1.041	-0.129	0.035	
200	-1.557	-0.834	-1.534	-0.601	-0.079	-0.850	-0.720	-0.748	-0.260	-0.118	

Örnek No: 10		Örneklemle Yeri: Kaynarca									
SİCAKLIK	Adularia	Laumontite	Wairakite	Albite, low	Calcite	Fluorite	Microcline	Analcime	Chaledony	Quartz	
25	5.320	8.042	3.641	5.657	1.548	0.661	7.346	3.985	1.067	1.417	
50	3.604	5.830	2.152	4.089	1.432	0.341	5.386	2.782	0.772	1.107	
75	2.194	4.013	0.973	2.800	1.332	0.094	3.760	1.794	0.523	0.823	
100	1.041	2.533	0.061	1.747	1.216	-0.103	2.417	0.991	0.311	0.571	
125	0.100	1.333	-0.629	0.891	0.997	-0.272	1.311	0.345	0.124	0.348	
150	-1.988	-2.283	-3.784	-1.128	-0.710	-0.515	-0.921	-1.492	-0.043	0.149	
175	-1.543	-0.977	-2.060	-0.621	-0.295	-0.604	-0.600	-0.835	-0.188	-0.024	
200	-1.682	-0.915	-1.615	-0.704	0.135	-0.686	-0.845	-0.791	-0.319	-0.177	

Tablo 5.3 devam ediyor...

Örnek No: 11		Örnekleme Yeri: Kaynarca									
SICAKLIK	Adularia	Laumontite	Wairakite	Albite, low	Calcite	Fluorite	Microcline	Analcime	Chalcedony	Quartz	
25	5.644	8.608	4.207	5.995	1.450	0.731	7.670	4.225	1.165	1.515	
50	3.918	6.380	2.702	4.415	1.315	0.409	5.700	3.014	0.866	1.201	
75	2.488	4.532	1.492	3.107	1.205	0.157	4.054	2.013	0.611	0.911	
100	1.311	3.014	0.542	2.030	1.095	-0.046	2.687	1.194	0.391	0.651	
125	0.346	1.777	-0.185	1.149	0.932	-0.222	1.557	0.531	0.196	0.420	
150	-0.457	0.746	-0.755	0.416	0.474	-0.380	0.610	-0.011	0.021	0.213	
175	-1.934	-1.772	-2.855	-0.999	-0.534	-0.655	-0.991	-1.273	-0.129	0.035	
200	-1.616	-0.801	-1.501	-0.627	-0.101	-0.730	-0.779	-0.774	-0.260	-0.118	

Örnek No: 12		Örnekleme Yeri: Kaynarca									
SICAKLIK	Adularia	Laumontite	Wairakite	Albite, low	Calcite	Fluorite	Microcline	Analcime	Chalcedony	Quartz	
25	5.636	8.634	4.233	5.992	1.603	0.724	7.662	4.210	1.177	1.527	
50	3.913	6.410	2.732	4.415	1.486	0.403	5.695	3.001	0.878	1.213	
75	2.490	4.574	1.534	3.113	1.394	0.153	4.056	2.004	0.626	0.926	
100	1.323	3.071	0.599	2.046	1.304	-0.049	2.699	1.192	0.409	0.669	
125	0.370	1.853	-0.109	1.177	1.170	-0.222	1.581	0.538	0.217	0.441	
150	-0.409	0.863	-0.638	0.467	0.832	-0.376	0.658	0.015	0.045	0.237	
175	-1.549	-0.972	-2.055	-0.611	-0.351	-0.619	-0.606	-0.908	-0.106	0.058	
200	-1.511	-0.559	-1.259	-0.518	0.079	-0.697	-0.674	-0.688	-0.236	-0.094	

Örnek No: 13		Örnekleme Yeri: Kaynarca									
SICAKLIK	Adularia	Laumontite	Wairakite	Albite, low	Calcite	Fluorite	Microcline	Analcime	Chalcedony	Zoisite	
25	5.549	8.412	4.011	5.901	1.394	0.682	7.575	4.139	1.157	4.106	
50	3.820	6.177	2.499	4.318	1.241	0.358	5.602	2.926	0.857	2.438	
75	2.383	4.316	1.276	3.002	1.112	0.102	3.949	1.919	0.600	1.085	
100	1.196	2.778	0.306	1.916	0.980	-0.108	2.572	1.093	0.377	0.012	
125	0.219	1.517	-0.445	1.023	0.785	-0.290	1.430	0.422	0.179	-0.865	
150	-0.626	0.400	-1.101	0.247	0.172	-0.460	0.441	-0.161	0.001	-2.061	
175	-2.455	-2.836	-3.919	-1.521	-0.645	-0.776	-1.512	-1.776	-0.148	-6.803	
200	-1.882	-1.357	-2.057	-0.893	-0.215	-0.863	-1.045	-1.021	-0.278	-3.314	

Tablo 5.3 devam ediyor...

Örnek No: 14		Örneklemle Yeri: Kaynarca									
SICAKLIK	Adularia	Laumontite	Wairakite	Albite, low	Calcite	Fluorite	Microcline	Analcime	Chaledony	Quartz	
25	5.549	8.412	4.011	5.901	1.394	0.682	7.575	4.139	1.157	1.507	
50	3.820	6.177	2.499	4.318	1.241	0.358	5.602	2.926	0.857	1.192	
75	2.383	4.316	1.276	3.002	1.112	0.102	3.949	1.919	0.600	0.900	
100	1.196	2.778	0.306	1.916	0.980	-0.108	2.572	1.093	0.377	0.637	
125	0.219	1.517	-0.445	1.023	0.785	-0.290	1.430	0.422	0.179	0.403	
150	-0.626	0.400	-1.101	0.247	0.172	-0.460	0.441	-0.161	0.001	0.193	
175	-2.455	-2.836	-3.919	-1.521	-0.645	-0.776	-1.512	-1.776	-0.148	0.016	
200	-1.882	-1.357	-2.057	-0.893	-0.215	-0.863	-1.045	-1.021	-0.278	-0.136	

Örnek No: 15		Örneklemle Yeri: Kaynarca									
SICAKLIK	Adularia	Laumontite	Wairakite	Albite, low	Calcite	Fluorite	Microcline	Analcime	Chaledony	Quartz	
25	4.871	7.273	2.872	5.186	1.674	0.592	6.897	3.644	0.937	1.287	
50	3.168	5.076	1.398	3.629	1.592	0.0271	4.950	2.449	0.645	0.980	
75	1.793	3.312	0.272	2.376	1.518	0.030	3.359	1.485	0.408	0.708	
100	0.696	1.917	-0.555	1.379	1.407	-0.156	2.072	0.720	0.214	0.474	
125	-0.178	0.820	-1.142	0.590	1.095	-0.311	1.033	0.119	0.049	0.273	
150	-1.219	-0.739	-2.240	-0.381	-0.354	-0.472	-0.152	-0.685	-0.103	0.089	
175	-1.499	-0.882	-1.965	-0.597	0.057	-0.567	-0.556	-0.752	-0.248	-0.084	
200	-1.849	-1.243	-1.943	-0.892	0.483	-0.657	-1.012	-0.919	-0.378	-0.236	

Örnek No: 16		Örneklemle Yeri: Kaynarca									
SICAKLIK	Adularia	Laumontite	Wairakite	Albite, low	Calcite	Fluorite	Microcline	Analcime	Chaledony	Quartz	
25	5.824	8.506	4.105	6.147	1.044	0.373	7.850	4.286	1.256	1.606	
50	4.089	6.262	2.584	4.558	0.894	0.047	5.871	3.069	0.954	1.289	
75	2.645	4.392	1.352	3.236	0.778	-0.210	4.211	2.058	0.695	0.995	
100	1.453	2.848	0.376	2.143	0.676	-0.419	2.829	1.228	0.470	0.730	
125	0.472	1.586	-0.376	1.247	0.550	-0.600	1.683	0.555	0.270	0.494	
150	-0.333	0.555	-0.946	0.511	0.300	-0.762	0.734	0.014	0.090	0.282	
175	-2.450	-3.215	-4.298	-1.546	-1.048	-1.157	-1.507	-1.879	-0.069	0.095	
200	-1.784	-1.549	-2.249	-0.825	-0.610	-1.245	-0.947	-1.032	-0.199	-0.057	

Tablo 5.3 devam ediyor...

Örnek No: 17		Örneklemme Yeri: Kaynarca										
SİCAKLIK	Adularia	Laumontite	Wairakite	Albite, low	Calcite	Fluorite	Microcline	Analcime	Chalcedony	Quartz		
25	5.210	7.896	3.495	5.540	1.504	0.585	7.236	3.884	1.051	1.401		
50	3.492	5.681	2.003	3.969	1.366	0.265	5.274	2.680	0.755	1.090		
75	2.074	3.850	0.810	2.672	1.243	0.016	3.640	1.686	0.504	0.804		
100	0.909	2.348	-0.124	1.607	1.093	-0.185	2.285	0.874	0.288	0.548		
125	-0.050	1.118	-0.844	0.732	0.803	-0.359	1.161	0.215	0.096	0.320		
150	-2.467	-3.166	-4.667	-1.616	-0.803	-0.620	-1.400	-1.949	-0.74	0.118		
175	-1.857	-1.531	-2.614	-0.942	-0.390	-0.720	-0.914	-1.126	-0.219	-0.055		
200	-1.859	-1.199	-1.899	-0.889	0.038	-0.802	-1.022	-0.946	-0.349	-0.207		

Örnek No: 25		Örneklemme Yeri: Kaynarca, kuyu										
SİCAKLIK	Adularia	Anhydrite	Laumontite	Albite, low	Calcite	Microcline	Calcite	Muscovite	Analcime	Chalcedony	Prehnite	Quartz
25	2.058	-0.980	4.315	2.346	1.946	4.084	1.946	5.591	1.604	0.137	5.144	0.487
50	0.593	-0.785	2.450	1.028	1.848	2.375	1.848	3.011	0.569	-0.76	3.530	0.259
75	-0.217	-0.495	1.493	0.338	0.674	1.349	0.674	3.799	-0.022	-0.123	0.149	0.177
100	-1.324	-0.255	0.085	-0.669	0.984	0.052	0.984	1.200	-0.774	-0.340	-0.106	-0.080
125	-2.227	-0.012	-1.058	-1.490	1.295	-1.016	1.295	-0.872	-1.379	-0.533	-0.172	-0.309
150	-2.946	0.233	-1.955	-2.140	1.598	-1.879	1.598	-2.472	-1.843	-0.704	-0.055	-0.512
175	-3.500	0.478	-2.626	-1.490	1.890	-3.709	1.890	-2.632	-2.181	-0.854	0.236	-0.690
200	-3.906	0.721	-3.088	-2.985	2.170	-3.069	2.170	-4.564	-2.403	-0.988	0.692	-0.846
												Zoisite

Örnek No: 26		Örneklemme Yeri: Kaynarca										
SİCAKLIK	Adularia	Anhydrite	Wairakite	Albite, low	Calcite	Microcline	Analcime	Chalcedony	Prehnite	Quartz	Zoisite	
25	5.716	-1.024	4.637	6.104	1.496	7.742	4.405	1.095	6.870	1.445	5.408	
50	3.992	-0.847	3.135	4.528	1.363	5.774	3.196	0.796	5.225	1.131	3.756	
75	2.566	-0.651	1.931	3.223	1.247	4.132	2.197	0.543	3.815	0.843	2.423	
100	1.394	-0.445	0.986	2.151	1.114	2.770	1.381	0.324	2.583	0.584	1.363	
125	0.430	-0.238	0.259	1.271	0.880	1.641	0.719	0.130	1.349	0.354	0.462	
150	-0.811	-0.035	-1.194	0.100	-0.840	0.256	-0.264	-0.43	-3.596	0.149	-3.063	
175	-1.122	0.186	-0.983	-0.148	-0.425	-0.179	-0.363	-0.188	-2.628	-0.24	-2.032	
200	-1.393	0.406	-0.805	-0.363	0.005	-0.556	-0.451	-0.318	-1.659	-0.176	-1.068	

Tablo 5.3 devam ediyor...

Örnek No: 27		Örneklemme Yeri: Kaynarca doğusu											
SICAKLIK	Adularia	Anhydrite	Laumontite	Wairakite	Albite, low	Calcite	Microcline	Analcime	Chalcedony	Quartz	Zoisite		
25	4.696	-1.009	6.967	2.566	5.050	0.905	6.722	3.313	1.132	1.482	1.588		
50	2.952	-0.836	4.708	1.030	3.452	0.719	4.734	2.089	0.828	1.163	-0.124		
75	1.496	-0.645	2.816	-0.224	2.117	0.562	3.062	1.068	0.566	0.866	-1.526		
100	0.285	-0.443	1.243	-1.229	1.007	0.398	1.661	0.225	0.337	0.597	-2.662		
125	-0.730	-0.238	-0.081	-2.043	0.075	0.136	0.481	-0.480	0.133	0.357	-3.681		
150	-2.548	-0.059	-3.141	-4.642	-1.675	-1.522	-1.481	-2.034	-0.48	0.144	-8.864		
175	-2.664	0.157	-2.959	-4.042	-1.730	-1.088	-1.721	-1.940	-0.193	-0.029	-7.241		
200	-2.769	0.371	-2.836	-3.536	-1.781	-0.639	-1.932	-1.864	-0.323	-0.181	-5.776		

Örnek No: 28		Örneklemme Yeri: Kaynarca batısı											
SICAKLIK	Adularia	Anhydrite	Laumontite	Na-Montmor.	Sil. amorph.	Microcline	Muscovite	Chalcedony	Quartz				
25	-1.556	-0.459	-3.428	-0.655	-0.082	0.470	0.598	0.790	1.140				
50	-1.641	-0.269	-2.423	1.091	-0.272	0.141	1.474	0.504	0.839				
75	-1.952	-0.059	-2.074	0.423	-0.435	-0.386	1.334	0.259	0.559				
100	-2.397	0.165	-2.164	-1.631	-0.575	-1.021	0.609	0.048	0.308				
125	-2.843	0.396	-2.396	-3.991	-0.698	-1.632	-0.241	-0.138	0.086				
150	-3.238	0.633	-2.647	-6.289	-0.807	-2.171	-1.058	-0.301	-0.109				
175	-3.573	0.874	-2.881	-8.505	-0.903	-2.630	-1.830	-0.446	-0.282				
200	-3.848	1.114	-3.076	-10.682	-0.989	-3.011	-2.577	-0.576	-0.434				

Örnek No: 36		Örneklemme Yeri: DG-1 kuyusu											
SICAKLIK	Anhydrite	Calcite	Fluorite	Sil. amorph.	Chalcedony	Goethite	Quartz						
25	-1.044	1.889	-1.257	-0.131	0.741	2.992	1.091						
50	-0.881	1.800	-1.557	-0.323	0.453	2.914	0.788						
75	-0.699	1.692	-1.777	-0.475	0.219	2.695	0.519						
100	-0.502	1.266	-1.935	-0.593	0.030	1.920	0.290						
125	-0.280	-0.182	-2.079	-0.707	-0.147	-0.642	0.077						
150	-0.041	0.174	-2.081	-0.816	-0.310	0.001	-0.118						
175	0.207	0.532	-2.092	-0.913	-0.456	0.550	-0.292						
200	0.464	0.894	-2.087	-0.999	-0.586	0.295	-0.444						

**Tablo 5.3 devam ediyor...**

Örnek No: 37		Örneklemme Yeri: DG-3 kuyusu						
SICAKLIK	Anhydrite	Calcite	Fluorite	Sil. amorph.	Analçime	Chalcedony	Prehnite	
25	-1.747	0.895	-0.414	-0.907	2.150	-0.035	3.895	
50	-1.515	0.653	-0.663	-1.015	1.163	-0.239	2.128	
75	-1.287	0.759	-0.862	-1.195	0.189	-0.501	1.173	
100	-1.042	0.867	-1.005	-1.338	-0.576	-0.715	0.463	
125	-0.790	0.982	-1.113	-1.452	-1.158	-0.892	0.006	
150	-0.535	1.112	-1.198	-1.549	-1.589	-1.043	-0.197	
175	-0.283	1.265	-1.270	-1.632	-1.894	-1.175	-0.151	
200	-0.033	1.440	-1.334	-1.707	-2.090	-1.294	0.127	

#### 5.4 Sıcak Suların Hazne Kaya Sıcaklılarının Tahmini

Termal kaynak sularının sıcaklıkları genellikle rezervuar sıcaklıklarından daha düşüktür. Sıcak suların yüzeye erişirken soğuk yeraltı suları ile karışmaları, dokanakta bulundukları kayalarla ısı alış verisi, örtü kayanın kalın veya ince oluşu gibi nedenlerden dolayı sıcak suların sıcaklıklarının doğrudan ölçülmesi hazne kayaya kadar inen kuyularla yapılmaktedir. Sondajların pahali ve bazı durumlarda ekonomik olmaması, her zaman hazne kayaya inilememesi durumunda hazne sıcaklığının tahmin edilmesinde kimyasal jeotermometreler, doğal izotop jeotermometreleri, hidrotermal bozunum jeotermometreleri kullanılmaktadır (Mutlu, 1999). Bu çalışmada inceleme alanındaki suların hazne kaya sıcaklıklarını tahmin ederken kimyasal jeotermometre uygulamaları ile birlikte kombine (birleşik) jeotermometre ve mineral denge-sıcaklık diyagramı jeotermometresi uygulamalarından yararlanılmıştır.

#### 5.4.1 Kimyasal Jeotermometreler

Diğer Jeotermometre yöntemlerine göre, kargasal tahlilleri ucuz ve kısa sürede yapıldığından, jeotermal araştırmalarda hazne kaya sıcaklığının tahmininde kargasal jeotermometrelerden daha fazla yararlanılır.

Kargasal jeotermometre değerlendirmeleri niteliksel (kalitatif) ve sayısal (kantitatif) olmak üzere iki bölümde incelenebilir ;

##### 5.4.1.1 Niteliksel (Kalitatif) Kargasal Jeotermometre Değerlendirmeleri

Birçok kalitatif jeotermometreler, uçucu elementlerin sıcak akışkanlarda ve zeminde görelî miktarların, dağılımlarına veya zemin gazlarındaki oranlarına dayanır. Termal akışkanlarda bulunan bazı element, bileşik ve oranların sıcaklık hakkında verdikleri görelî bilgiler aşağıda belirtilmiştir ;

- **SiO<sub>2</sub>** : Hazne kaya sıcaklığı hakkında en iyi bilgi veren silistir ve kuvarsın dengelenmesi yüksek sıcaklıkta gerçekleşir. Yüksek sıcaklıktaki suda, yaklaşık 180°C de başlayan silis çökelmesi, sıcaklığın düşmesi ile hızla artar. Klorürce fakir, asid sular 100°C civarında kayalardaki silikatları bozundurarak amorf silisçe çok zenginleşebilir. 140°C'nin üzerinde, örtü kaya tikama malzemesi olarak genellikle kuvars ve kalseduan izlenir. Opal, kristobalit örtü kaya oluşturmuşsa düşük sıcaklığı belirler. Doğal gayzerlerde, yüzeyde amorf silis veya kristalleşmiş silis çökelleri, hazne kaya sıcaklığının 180°C veya daha fazla olabileceği gösterir.

- **Klorür** : Hazne kaya sıcaklığı 150°C'nin üzerindeki sularda, genellikle 150 ppm' den fazla klorür (kökeni deniz suyu olanlar dışında) ender sıcak su sistemlerinde (200°C'nin üzerinde) ise 40 ppm' in altındadır. Klorür, sıcak su sistemi ile buhar sistemini ayıran en önemli kriterdir. Bir çok klorür tuzları sıcak sularda çözünür ve sıcak sistemlerde bol bulunur. 400°C'de bile klorür tuzlarının uçuculuğu önemlidir. Bu nedenle, düşük basınçlı buhar sistemlerinde klorür azdır, 50 ppm' in üzerinde klorür izlenirse sıcak su sistemini belirler (Şahinci, 1991a).

- **B, NH<sub>4</sub>, H<sub>2</sub>S, Hg, Cl, Na, K, Li, Rb, Cs, As :** Bu gibi element ve bileşiklerin bir veya bir kısmının suda fazla bulunması, hazne kaya sıcaklığının yüksek olabileceğini gösterir.

- **Na/K oranı :** Bu oranın yüksekliği, genellikle hazne kaya sıcaklığının fazla olabileceğini işaret eder. Özellikle bu oran, 20/1 – 8/1 arasında anlamlıdır. Bu oran ile hesaplanan hazne kaya sıcaklığı, suyun keldiği başlangıç derinlik veya yayat uzaklığın sıcaklığını tanımlar. Yüzeydeki sıcak suyun kimyasal tahlillerine göre silis jeotermometresi ile hesaplanan hazne kaya sıcaklık değeri, Na/K ile bulunandan küçük ise, akışkanın hazne kayadan yüzeye gelişinde soğuk sular ile karışmış olabileceği vurgulanır.

- **Traverten Çökelmeleri :** Hazne kaya sıcaklığının düşük olduğunu (100°C civarında) gösterir. Ancak bikarbonatlı sular yeraltıda soğuduktan sonra kireçtaşlarından geçmiş ise, hazne kaya sıcaklığı yüksek olabilir.

- **Cl/(HCO<sub>3</sub> + CO<sub>3</sub>) :** Bu oran yüksek ise hazne kaya sıcaklığı fazla olabilir.

- **Mg ve Mg/Ca Oranı :** Mg<sup>++</sup> miktarı ve Mg/Ca oranı küçük ise hazne kaya sıcaklığı yüksek olabilir.

- **Cl/SO<sub>4</sub> Oranı :** Bu oran yüksek ise hazne kaya sıcaklığı yüksektir.

- **Cl/F Oranı :** Bu değer fazla ise hazne kaya sıcaklığı da yüksek olabilir.

- **H<sub>2</sub>/Diğer Gazlar (Buhar Dışında) Oranı :** Oran yüksek ise hazne kaya sıcaklığı fazladır. Sıcaklığın düşmesi ile hidrojen, diğer gazlara oranla azalır.

#### **5.4.1.2 Sayısal (Kantitatif) Kimyasal Jeotermometre Değerlendirmeleri**

Kantitatif kimyasal jeotermometrelerin kullanılmasında bazı varsayımlar göz önünde bulundurulur. Bunlardan bazıları şunlardır ;

- Sıcak sulardaki kimyasal maddelerin oluşması için gerekli kimyasal tepkimeler, hazne kaya – su arasında gerçekleşmektedir.
- Sıcaklık saptanmasında gerekli maddelerin ortaya çıkması için oluşan kimyasal tepkimeler devamlıdır ve tepkimelerin hammaddesi hazne kayada boldur.
- Hazne kaya sıcaklığında kaya-su arasında kimyasal denge gerçekleşmiştir.
- Hazne kayadan yüzeye erişen sıcak suyun, soğuma sonucunda kimyasal yapısı değişmez veya yeni bir kimyasal denge gerçekleşmez.
- Hazne kayadan gelen sıcak suların, soğuk yeraltı ve yüzey suları ile bir karışımı söz konusu değildir.

Bu varsayımların ilk üçü  $\text{SiO}_2$  ve Na - K - Ca jeotermometreleri için kullanılır. Son iki varsayımlar tam olarak gerçeği yansıtmaaz. Çünkü hazne kayadan yüzeye doğru gelen sıcak suyun soğuması veya soğuk suların karışımı ile kimyasal yapısı değişebilir. Kantitatif kimyasal jeotermometreler çözünürlüğe, iyon değişimine ve iyon etkinliğine bağlı olmak üzere üçer ayırlır ;

#### **5.4.1.2.1 Çözünürlüğe Bağlı Jeotermometreler**

##### **--Silos Jeotermometresi**

Kuvars çözünürlüğüne bağlı jeotermometreler, hazne kaya sıcaklığının saptanmasında geniş ölçüde kullanılmaktadır. Bu jeotermometreler 150–225°C sıcaklıklar arasında iyi sonuç vermektedirler. Daha yüksek sıcaklıklarda hazne kayadan yüzeye doğru hareket eden sıcak akışkanda hızlı silis çökelimi gözlenir. Bu nedenle sıcaklığı 225°C' nin üzerindeki hazne kayalardan gelen sularda gerçek sıcaklığı yansıtmaz.

CT ( $\beta$ -kristobalit) ve amorf silikanın çözünürlüğü 20 ile 250°C arasındaki sıcaklıklarda doğrusal bir uzantı sergiler. Silis fazlarının çözünürlüğünü ortaya koyan bu doğrulara ait denklemler Tablo 5.4'te verilmiştir. 300°C'nin altındaki sıcaklıklarda ve ticari amaçlı sondajlarda ulaşılan derinliklerde, basınçtaki değişimlerin kuvars ve amorf silis çözünürlüğü üzerinde fazla bir etkisi yoktur (Fournier ve Potter, 1982a; Fournier ve Rowe, 1977). 300°C'nin üzerinde ise, basınçta ve toplam çözünmüş madde içeriğindeki (TDS) en ufak değişiklik bile dikkatli bir şekilde değerlendirilmelidir. 180°C'nin üzerindeki sıcaklıklarda erimiş silis, kuvars çözünürlüğü tarafından kontrol edilmektedir (Fournier, 1991). Kuvars jeotermometresi aşağıda verilen varsayımlar göze alınarak kullanılır;

- Rezervuardaki akışkanlar kuvars ile denge halindedir,
- Yukarıya yükselme sırasında, soğuk ve sıcak sular arasında herhangi bir karışım yoktur.
- Yükselen su ya kondüktif olarak soğumakta veya 100°C'de buhar ayrılması ile adiyabatik soğuma (kaynama) gerçekleşmektedir.

Arnórsson (1991), kimyasal jeotermometreler kullanılarak rezervuar sıcaklıklarının belirlenmesinde, çözüctülerin oluşturduğu komplekslerin genellikle ihmali edildiğini ve analitik konsantrasyonların söz konusu sıvı bileşiklerin aktivitelerine eşit kılındığını belirtmektedir. Silis jeotermometrelerinin uygulanmasında, analiz edilmiş silis konsantrasyonun genellikle  $H_4SiO_4$  bileşiginin aktivitesine eşit olduğu varsayıılır. Diğer bir ifadeyle, silis jeotermometresinin esas alındığı kuvars ve kalsedon çözünürlük eğrileri  $H_4SiO_4$  sıvı bileşiği ve söz konusu katılar arasında bir dengenin var olduğuna işaret etmektedir.

**Tablo 5.4 Sayısal (niceliksel) değerlendirmede bazı kimyasal jeotermometre eşitlikleri (tüm derişimler mg/l, \* = mol/l, \*\* = mek/l) (Tarcan, 2002).**

Uygulanan Jeotermometreler	Bağıntılar	Değinilen Belgeler
1.SiO <sub>2</sub> (Amorf silis)	$t= 731 / (4.52 - \log SiO_2) - 273.15$	Fournier, (1977)
2.SiO <sub>2</sub> ( $\alpha$ Kristobalit)	$t= 1000 / (4.78 - \log SiO_2) - 273.15$	Fournier, (1977)
3. SiO <sub>2</sub> ( $\beta$ Kristobalit)	$t= 781 / (4.51 - \log SiO_2) - 273.15$	Fournier, (1977)
4. SiO <sub>2</sub> (Kalsedon)	$t= 1032 / (4.69 - \log SiO_2) - 273.15$	Fournier, (1977)
5. SiO <sub>2</sub> (Kuvars)	$t= 1309 / (5.19 - \log SiO_2) - 273.15$	Fournier, (1977)
6. SiO <sub>2</sub> (Kuvars buhar kaybı)	$t= 1522 / (5.75 - \log SiO_2) - 273.15$	Fournier, (1977)
7.SiO <sub>2</sub> (Kalsedon, cond..soğ.)	$t= 1112 / (4.91 - \log SiO_2) - 273.15$	Arnorsson vd. ,(1983)
8. SiO <sub>2</sub> (Kuvars buhar kaybı)	$t= 1264 / (5.31 - \log SiO_2) - 273.15$	Arnorsson vd., (1983)
9. SiO <sub>2</sub> (Kuvars buhar kaybı)	$t= 1021 / (4.69 - \log SiO_2) - 273.15$	Arnorsson vd., (1983)
10.SiO <sub>2</sub> (Kuvars buhar kaybı)	$t= 1164 / (4.9 - \log SiO_2) - 273.15$	Arnorsson vd., (1983)
11.SiO <sub>2</sub> (Kuvars buhar kaybı)	$t= 1498 / (5.7 - \log SiO_2) - 273.15$	Arnorsson vd., (1983)
12. Na/K	$t= 933 / (0.933 + \log Na/K) - 273.15$	Arnorsson vd., (1983)
13. Na/K	$t= 1319 / (1.699 + \log Na/K) - 273.15$	Arnorsson vd., (1983)
14. Na/K	$t= 777 / (0.70 + \log Na/K) - 273.15$	Arnorsson vd., (1983)
15. Na/K	$t= 856 / (0.857 + \log Na/K) - 273.15$	Truesdell, (1976)
16. Na/K	$t= 1217 / (1.483 + \log Na/K) - 273.15$	Fournier, (1979b)
17. Na/K	$t= 1178 / (1.470 + \log Na/K) - 273.15$	Nieva ve Nieva, (1987)
18. Na/K	$t= 1390 / (1.750 + \log Na/K) - 273.15$	Guggenbach vd., (1983)
17. Na/K* (mol)	$t= 908 / (0.692 + \log Na/K) - 273.15$	Fournier, (1979a)
18. SiO <sub>2</sub> (Kalsedon) * (mol)	$t= 1101 / (0.11 - \log SiO_2) - 273.15$	Arnorrsson vd., (1983)
19. K/Mg	$t= 4410 / (13.95 - \log K^2/Mg) - 273.15$	Guggenbach, (1988)
20. Na-K-Ca * (mol)	$t= 1647 / (\log Na/K + \beta \log \sqrt{a}/Na + 2.24) - 273.15$	Fournier & Truesdell, (1973)
21. Na-K-Ca (R) ** (mek/l) (Magnezyum düzeltmeli)	$R = (Mg/Mg+Ca+K) \times 100$	Fournier & Potter, (1979)
22.Li-Mg	$t= 2200 / (5.470 - \log (Li/Mg^{0.5})) - 273.15$	Kharaka & Mariner, 1989
23.Na-Li	$t= 1590 / (0.779 + \log (Na/Li)) - 273.15$	Kharaka vd., 1982
24.Na-Li (mmol) Cl<0.3 mol/l)	$t= 1000 / (0.389 + \log (Na/Li)) - 273.15$	Fouillac & Michard (1981)
25. Na-Li (mmol) Cl>0.3 mol/l)	$t= 1195 / (0.130 + \log (Na/Li^{0.5})) - 273.15$	Fouillac & Michard (1981)

Arnórsson (1991) bu tür sulardaki silis fraksiyonunun büyük bir bölümünün H<sub>4</sub>SiO<sub>4</sub> şeklinde bulunduğuundan analiz edilen silis konsantrasyonunun H<sub>4</sub>SiO<sub>4</sub> bileşığını temsil etmesi yaklaşımını, pH değeri 9 ile 10 arasında değişen sular için geçersiz olduğunu ve analiz edilmiş silisin ancak rezervuar sıcaklığının 200°C'yi geçtiği durumlarda H<sub>4</sub>SiO<sub>4</sub> bileşığının yerine kullanılabileceğini vurgulamaktadır. 180°C'nin

altındaki sıcaklıklarda çözünmüş silis konsantrasyonun kalsedon tarafından kontrol edilmesi nedeniyle, silis jeotermometrelerinin kullanımı sakıncalı olabilir. Fournier (1977) ve Arnórsson ve diğ. (1983a) farklı kalsedon jeotermometreleri geliştirmiştir (Tablo 5.4).

Fournier (1991), rezervuar sıcaklıkları  $190^{\circ}\text{C}$ 'nin altında bulunduğuanda, sadece kuvars değil kalsedon jeotermometresini de önermiştir.

#### **5.4.1.2.2 İyon Değişimine Bağlı Jeotermometreler**

İyon değişim denge sabitleri sıcaklığın etkisindedir. Suda iyon değişimine uğrayan birçok mineral bulunur ve bunlar jeotermometre olarak kullanılabilir.

##### **-Na / K Jeotermometresi**

Bu jeotermometreler suda fazla miktarda  $\text{Ca}^{++}$  iyonu bulunuyorsa, hazne kaya sıcaklığı hesaplamalarında yüksek değerler verir. Na/K jeotermometrelerinin uygulanacağı sıcak suların pH değeri nötre yakın veya hafif alkali, karbonat çökelmelerinin oluşmaması,  $\log (\sqrt{\text{Ca}} / \text{Na})$  değerinin 0,5'ten az olması koşulları aranmalıdır. Na/K jeotermometreleri, nötr ve alkali, alkali klorürlü,  $180\text{-}350^{\circ}\text{C}$  sıcaklıklıki hazne kayadan gelen sularda iyi sonuçlar vermektedir.

##### **-Na – K – Ca Jeotermometresi**

Özellikle  $\text{Ca}/\text{Na}$  (mol/l) oranının birden büyük olduğu durumlarda Na/K jeotermometre bağıntıları, hazne kaya sıcaklığı hesaplamalarında çok yüksek değerler vermektedir. Bu olumsuz yönü gidermek için Fournier ve Truesdell (1973) tarafından şöyle bir bağıntı önerilmektedir.

$$\begin{aligned} t^{\circ}\text{C} &= \frac{1647}{\log (\text{Na} / \text{K}) + B \log (\sqrt{\text{Ca}} / \text{Na}) + 2,24} - 273,15 \end{aligned}$$

Bağıntıda Na, K, Ca, mol/l olarak alınır. B bir katsayıdır. Eğer  $\log (\sqrt{Ca} / Na)$  değeri (-) ise  $B = 1/3$ , (+) ise  $B = 4/3$  olarak bağıntıya konur. Ayrıca  $B = 4/3$  olarak hesaplanan hazne kaya sıcaklığı  $100^{\circ}C$ ' den fazla ise  $B = 1/3$  alınarak hazne kaya sıcaklığını tekrar hesaplanabilir.

#### **-Magnezyum Düzeltmeli Na – K – Ca Jeotermometresi**

Fournier ve Potter (1979), Na–K–Ca jeotermometre bağıntısında bazı koşullarda düzeltmeler yapılmasını önermişlerdir. Buna göre düzeltme katsayısı ( $R$ ) şu bağıntı ile bulunur ;

$$R = (Mg / Mg + Ca + K) \times 100$$

Bağıntıda iyonlar mek/l olarak ele alınır. Eğer  $R$ , 50' den büyük ise, suların oldukça soğuk bir ortamdan geldiği ve hazne kaya sıcaklığının, kaynakta ölçülen sıcaklığa yakın olduğu düşünülebilir. Bu nedenle Na–K–Ca bağıntısından elde edilen yüksek hazne kaya sıcaklıklarında bağlı düzeltmeler yapılması gereklidir.

Bulunan hazne kaya sıcaklığı  $70^{\circ}C$ 'nin altında ise düzeltme yapılmaz. Tersine hazne kaya sıcaklığı  $70^{\circ}C$ 'den fazla ve 5–50 arasında veya daha yüksek ise aşağıda belirtilen bağıntılardan yararlanarak düzeltme hesaplanabilir ve hazne kaya sıcaklığından çıkarılır.

$$t^{\circ}C = 10,66 - 4,71 R + 325,87 (\log R)^2 - [ 1,032 - 10^5 (\log R)^2 / T ] - [ 1,968 \times 10^7 - (\log R)^2 / T^2 ] + 1,605 \times 10^7 (\log R)^3 / T^2$$

Eğer  $R$ , 0,5 – 5 arasında ise şu bağıntı kullanılır ;

$$t^{\circ}C = - 1,03 + 59,971 (\log R) + 145,05 (\log R)^2 - 36711 (\log R)^2 / T - 1,67 \times 10^7 (\log R) / T^2$$

Bağıntılarda  $t^{\circ}\text{C}$ , magnezyum düzeltme sıcaklığı ( $^{\circ}\text{C}$ ), R, düzeltme katsayısı; T, N-K-Ca jeotermometresinde hesaplanan hazne kaya sıcaklığıdır ( $^{\circ}\text{K}$ ).

#### 5.4.1.2.3 İyon Etkinliğine Bağlı Jeotermometreler

Bu tür jeotermometrelerde sıcak akışkanların kimyasal tahlillerinde bulunan iyon değerleri yerine bu iyonları hesaplanan iyon etkinlikleri kullanılır.

##### -İyon Etkinliğine Bağlı Kalsedon Jeotermometresi

Bu tür jeotermometre genellikle 25–180 $^{\circ}\text{C}$  arasında iyi sonuç vermektedir. Kalseduan jeotermometresi şu bağıntı ile tanımlanır ;

$$t^{\circ}\text{C} = [ 1101 / 0,11 - \log (\text{SiO}_2) ] - 273,15$$

Bağıntıda, silis asitlerinin iyon etkinliği ( $\text{aH}_4\text{SiO}_4$ ) mol/l kullanılır.

Her jeotermometrenin kendine göre avantajları ve dezavantajları bulunmakta ve her biri belirli hidrojeolojik ve hidrojeokimyasal koşullarda geçerlilik göstermektedir. Onun için yapılan tüm jeotermometre uygulamaları bir sentez olarak ele alınarak değerlendirilmelidir. Son 30 yılda birçok empirik kimyasal jeotermometre bağıntısı geliştirilmiştir. Birçok yazar geliştirilmiş olan bu empirik jeotermometrelerin geçerliliğini irdelemişler ve buna ilişkin çeşitli yöntemler geliştirmiştirler. Bu jeotermometrelerin uygulanabilmesi için jeotermometre olarak kullanılan elementlerin kimyasal reaksiyonlarının sıcaklık denetimli olması, yüzeye çıkış sırasında soğuk sularla karışmaması ve yüzeye çıkarken kimyasal yapısında oluşabilecek değişikliklerin ihmali edilebilir boyutlarda olması gerekmektedir (White, 1970).

İnceleme alanına ait seçilmiş sıcak su örneklerinin kimyasal jeotermometre sonuçları Tablo 5.5 ve Tablo 5.6'da verilmiştir. Tablolarda da görüleceği gibi sahadaki sıcak su kaynaklarının hazne kaya sıcaklıklarının hesaplanmasında kuvars jeotermometrelerinin Dikili jeotermal alanı için 120-150 $^{\circ}\text{C}$ , Kaynarca jeotermal alanı için 160-200 $^{\circ}\text{C}$  arasında sıcaklık değerleri verirken katyon jeotermometreleri ise

yağış suyu beslemeli bu sıcak suların soğuk sularla karışması nedeniyle hatalı olarak daha yüksek sıcaklığa işaret ederler. Alandaki tüm bu kimyasal sonuçlar değerlendirildiğinde bazı silis jeotermometrelerinin gerçege en yakın sonuçlar verdiği söylenebilir (Özen&Tarcan, 2002).

**Tablo 5.5 Dikili İlhacılı su örneklerine ait jeotermometre sonuçları  
(Örnek numaraları Tablo 5.1'deki ile aynıdır).**

Jeotermometre Adı	Örnek No												
	18	19	22	23	1	2	3	4	5	6	7	37	
Na-K-Ca-Mg (Fournier&Potter,1979)	100.37	101.02	71.87	91.76	107.37	102.65	115.44	109.73	116.16	117.09	99.63	89.45	
K-Na (Giggenbach,1983)	205.45	205.95	211.81	165.33	198.63	207.31	208.87	203.77	205.07	209.43	172.40	245.90	
K-Na (Fournier,1983)	188.31	188.83	195.07	146.07	181.07	190.28	191.94	186.53	187.90	192.54	153.46	231.63	
K-Na (Arnorsson et al.,1983)	161.35	161.96	169.20	113.50	153.02	163.63	165.56	159.29	160.88	166.25	121.73	212.55	
K-Na (Truesdell,1976)	152.45	153.08	160.66	102.78	143.74	154.83	156.85	150.30	151.96	157.58	111.27	206.42	
K-Na (Tonanni,1980)	157.50	158.17	166.15	105.48	148.35	160.01	162.14	155.24	156.98	162.90	114.34	214.57	
K-Mg (Nieve&Nieve,1987)	175.73	176.25	182.34	134.46	168.66	177.66	179.29	173.99	175.34	179.87	141.68	218.10	
K-Mg (Giggenbach)	99.81	100.58	85.95	93.67	107.92	105.10	109.60	106.07	107.13	109.06	101.18	98.37	
K-Mg (Fournier,1988)	172.84	174.92	137.01	156.57	195.41	187.42	200.24	190.14	193.17	198.68	176.78	168.95	
Na-K-Ca (Fournier&Truesdell,1973)	148.50	149.93	134.31	149.05	172.10	163.23	163.08	159.78	153.82	158.87	157.56	140.15	
Kuvars (Fournier&Potter,1982b)	123.18	123.88	174.52	134.11	136.79	142.23	137.91	136.79	142.23	136.79	142.23	135.14	
Kuvars (Arnorsson,1985)	121.47	122.10	165.30	131.16	133.50	138.20	134.46	133.49	138.20	133.49	138.20	132.05	
Kristobalit	72.33	73.04	124.08	83.31	86.00	91.47	87.12	86.00	91.47	86.00	91.47	84.34	
Kalsedon	94.83	95.60	151.99	106.91	109.87	115.91	111.11	109.87	115.91	109.87	115.91	108.05	
Kalsedon (Arnorsson et al.,1983b)	94.51	95.23	146.88	105.68	108.41	113.96	109.55	108.41	113.96	108.41	113.96	106.73	

**Tablo 5.6 Kaynarca Jeotermal alanına ait su örmeklerinin jeotermometre sonuçları  
(Örnek numaraları Tablo 5.1 ile aynıdır).**

Jeotermometre Adı	Örnek No	25	26	27	28	8	9	10	11	12	13	14	15	16	17	36
Na-K-Ca-Mg (Fournier & Potter, 1979)	-	132,17	136,15	136,15	-	158,97	130,72	-	133,07	-	-	168,49	-	-	-	134,50
K-Na (Giggenbach, 1983)	207,45	192,07	197,64	197,64	199,65	198,10	200,01	197,89	197,12	197,89	195,83	203,73	202,56	201,22	22,68	
K-Na (Fournier, 1983)	190,43	174,17	180,03	180,52	182,15	180,52	182,54	180,29	179,48	180,29	178,11	186,48	185,24	183,82	206,66	
K-Na (Amorsson et al., 1983)	163,80	145,08	151,82	152,34	154,25	152,34	154,70	152,12	151,18	152,12	149,62	159,23	157,81	156,17	182,777	
K-Na (Truesdell, 1976)	155,01	135,48	142,49	145,03	145,03	143,08	145,50	142,80	141,83	142,80	140,20	150,23	148,75	147,03	174,92	
K-Na (Truesdell, 1980)	160,20	139,68	147,03	149,70	149,71	147,65	150,19	147,36	146,34	147,36	144,63	155,17	153,61	151,80	181,20	
K-Na (Niesak & Niesak, 1987)	177,80	161,90	167,64	169,72	169,72	168,12	170,10	167,90	167,10	167,90	165,77	173,91	172,74	171,34	193,68	
K-Mg (Giggenbach)	81,36	110,89	113,35	56,72	56,72	128,36	113,92	143,44	112,63	143,44	142,42	136,40	144,43	144,43	117,23	
K-Mg (Fournier, 1988)	125,85	203,99	211,24	38,87	38,86	258,37	212,94	311,39	209,10	311,39	307,62	283,89	315,11	315,11	222,93	
Na-K-Ca (Fournier & Truesdell, 1973)	100,16	146,74	145,46	68,81	68,80	165,57	163,11	156,30	150,71	158,02	160,31	169,67	178,24	160,04	193,55	
Kuvans (Fournier & Potter, 1982b)	90,25	178,17	177,23	136,47	136,47	168,81	178,12	189,22	193,91	185,66	181,62	167,63	201,29	172,64	66,66	
Kuvans (Amorsson, 1985)	90,63	168,30	167,53	133,21	133,21	160,59	168,26	177,34	181,15	174,43	171,13	159,61	187,12	163,75	66,85	
Kristobalit	36,63	127,79	126,83	85,68	85,68	118,29	127,74	139,07	143,87	135,42	131,30	117,09	151,46	122,17	17,79	
Kaledon	58,99	156,11	155,04	109,52	109,52	144,56	156,06	168,65	173,99	164,60	160,01	144,24	182,46	149,87	34,40	
Kaledon (Amorsson et al., 1983b)	61,07	150,61	149,64	108,08	108,08	141,05	150,56	161,92	166,73	158,27	154,13	139,85	174,31	144,96	37,85	

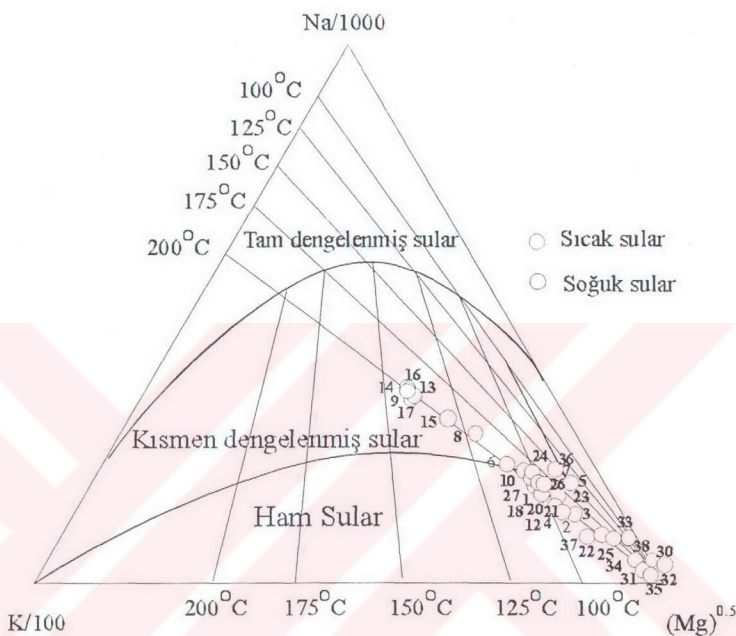
Dikili ve Kaynarca jeotermal sistemi içerisinde açılmış olan K-1 derin kuyusu hazneye inen ve hazne sıcaklığı ölçülmüş kuyudur. Bölüm 3'te belirtildiği gibi bu kuyuda 120-130°C arasında hazne sıcaklığı ölçülmüştür. Bu ölçüm, inceleme alanındaki sıcak sular için kullanılan jeotermometre uygulamalarının geçerliliğinin tartışılması açısından oldukça yararlıdır.

### 5.5 Birleşik (Kombine) Jeotermometre Uygulamaları

(Giggenbach, 1988) tarafından sıcak suların hazne kaya sıcaklıklarının saptanması ve suların ilişkide olduğu kayaçlarla olan denge durumlarının belirlenmesi için geliştirilmiş olan Na-K-Mg birleştirilmiş jeotermometresi ile hem sıcak suların hazne sıcaklığı hızlı olarak yorumlanabilmekte, hem de daha önce belirtilen katyon jeotermometre uygulamalarının geçerliliği sınanmaktadır. (Fournier, 1990) bu diyagram üzerinde bazı revizyonlar yaparak, en güvenilir sonuçların bu üçgen diyagramdan oluşan jeotermometre uygulaması ile alınabileceğini öne sürmektedir. Diyagrama kısaca, su kayaç ilişkisinin dengede olduğu, su kayaç ilişkisinin dengede olmadığı (ham sular), su kayaç ilişkisinin kısmen dengede olduğu sular olmak üzere üç bölümden oluşmaktadır. Diyagramda kısmen olgunlaşmış sularla, olgunlaşmamış suları birbirinden ayıran eğri olgunlaşma indeksinin ( $MI=maturity index$ ),  $MI=2,0$  olduğu eş kimyasal özellikteki noktaların bileşimiyle oluşmuştur (Tarcan, 2002).

Olgunlaşma indeksi,  $MI=0,315 \cdot \text{Log}(K^2/\text{Mg}) \cdot \text{Log}(K/\text{Na})$  bağıntısıyla tanımlanmıştır. Su kayaç ilişkisinin kısmen ve tamamen dengede olduğu (karışmış sular) alanlar ise eş kimyasal özellikteki noktalar ile  $K^+ \cdot Mg^{+2}$  ve  $K^+ \cdot Na^+$  jeotermometre eşitlikleri ile elde edilen eş sıcaklık (izoterm) değerlerinin kesim noktalarının oluşturduğu eğriyle ayrılmıştır. Dolayısıyla diyagram aynı anda hem su-kayaç ilişkisinin denge durumunu, hem de jeotermometre sonucunu gösterebilmektedir. Giggenbach (1988), ham sular bölümne düşen suların katyon jeotermometre sonuçlarına şüpheye bakılması gerektiğini belirtmektedir. Fournier (1990) ise benzer yorumlar yaparak, yaptığı revizyonla kısmen dengelenmiş alan ile tam dengelenmiş alan sınırını biraz daha aşağıya kaydirmıştır (Janik vd, 1992). Bu çalışmada kullanılan bu Na-K-Mg üçgen jeotermometre değerlendirmeleri

sonucunda inceleme alanındaki sular  $200^{\circ}\text{C}$ 'yi gösteren doğru üzerinde yoğunlaşmıştır (Şekil 5.2).



**Şekil 5.2 İnceleme alanındaki suların Na-K-Mg üçgen diyagramındaki yerini belirleyen formül (Örnek numaraları Tablo 5.1 ile aynıdır).**

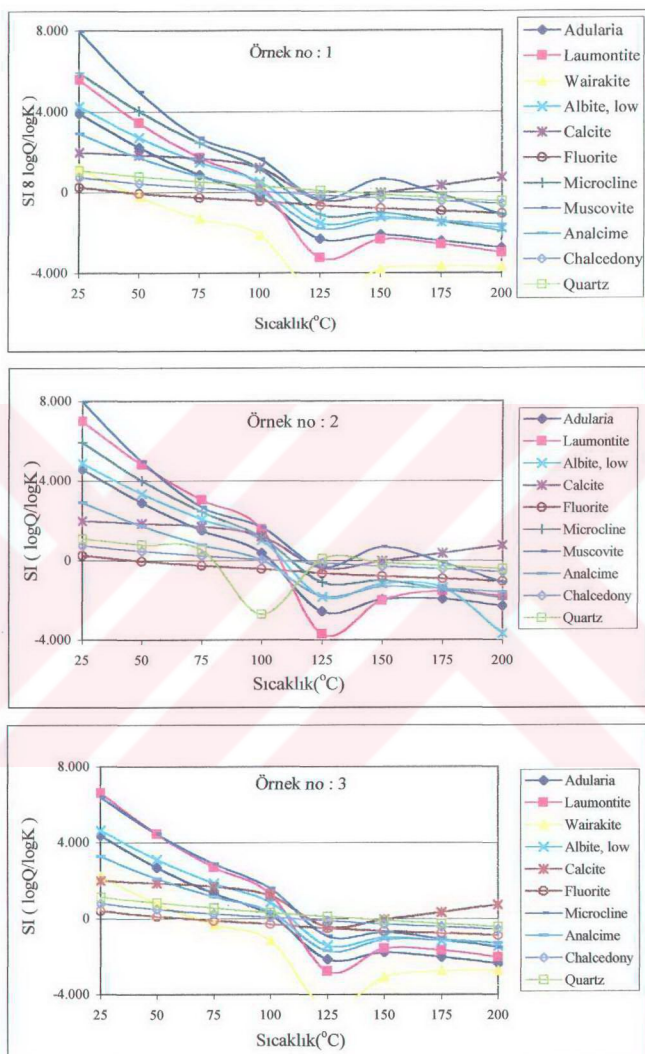
### 5.6 Mineral Denge-Sıcaklık Diyagramı Jeotermometresi

Reed ve Spycher (1984), jeotermal alanlardaki hazne sıcaklığının tahmin edilmesinin en iyi yönteminin "her bir suda sıcaklığın bir fonksiyonu olarak pek çok hidrotermal mineral ile denge durumları arasındaki ilişkilerin değerlendirilmesi olduğunu" belirtirler. Bu yöntem özetle suyun kimyasal analizi sonucunda yukarıda belirtildiği gibi çeşitli mineraller ile bu minerallerin her bir sıcaklık değerinde ayrı ayrı doygunluk indekslerinin hesaplanması ve bu sıcaklık değerleri ile doygunluk

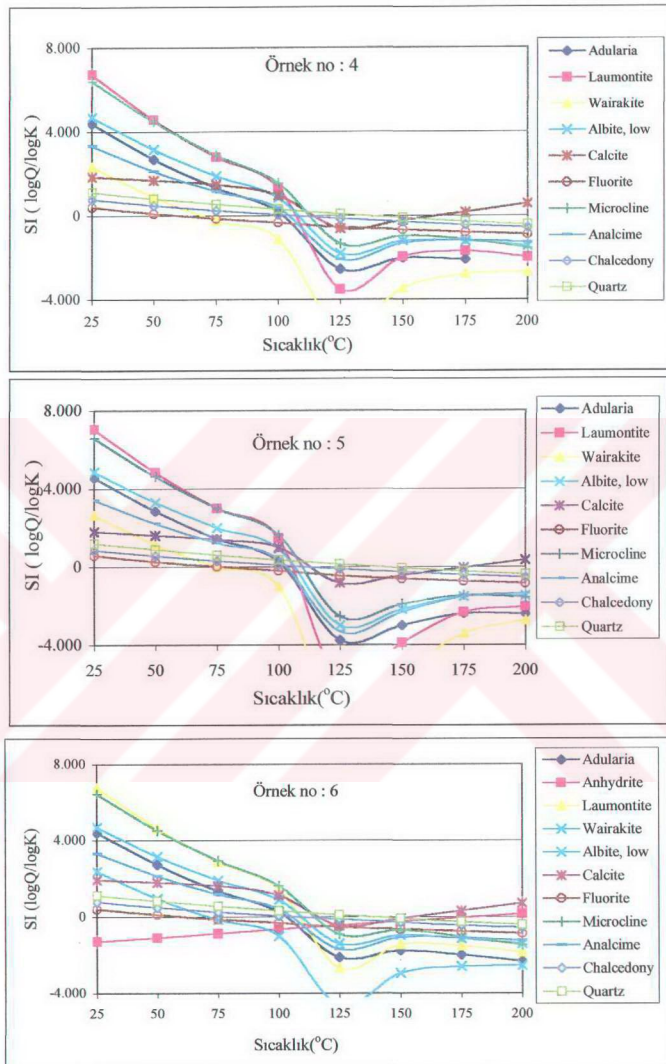
indeksi değerlerinin bire bir doğrularını içeren mineral denge sabitleri sıcaklıkla yakın ilişkili olduğundan, bir grup mineral doğrusu denge doğrusunu ( $SI=0$  doğrusunu) belirli bir sıcaklık değeri civarında kesiyorsa, bu doğruların kesişim yerine karşılık gelen sıcaklık değeri en iyi hazne sıcaklığını vermektedir.

Tablo 5.3'de verilen sıcaklık değerlerine karşılık gelen doygunluk indeksleri değerleri Excell 8.0 bilgisayar paket programına işlenerek, her bir su örneği için Sicaklık-Mineral Denge diyagramları oluşturulmuştur (Şekil 5.3). İnceleme alanındaki sıcak sular tam dengelenmemiş sular olduklarından grafikteki eğriler tam  $SI=0$  doğrusu üzerinde kesişmeyebilirler. Bu diyagramlara baktığımızda genel olarak Dikili jeotermal alanı içerisindeki sıcak suları gösteren grafiklerde eğrilerin yaklaşık denge durumunda kesişikleri yer olan  $100-125^{\circ}\text{C}$  sıcaklık değerleri ile Kaynarca jeotermal alanındaki sıcak sulara ait diyagramlarda görülen  $125-150^{\circ}\text{C}$  sıcaklık değerleri bu alanların hazne sıcaklıkları olarak yorumlanabilir. Denge çizgisinin ( $SI=0$ ) çizgisi altında eğrilerin çakışmaları da farklı sıcaklıklardaki akışkanların yeraltında sular yüzeyleyinceye kadar karıştığını gösterebilir.

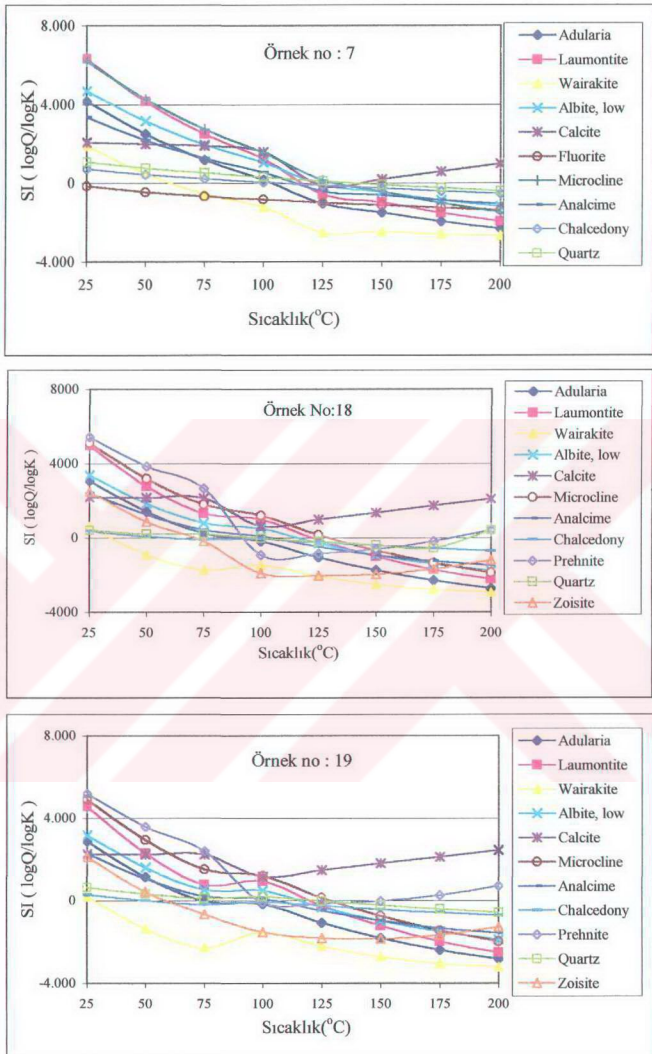
Tüm bu jeotermometre sonuçları bir bütün olarak değerlendirildiğinde, inceleme alanı içerisinde Dikili ilicalarından Kaynarca'ya doğru artan (yaklaşık  $150^{\circ}\text{C}$ ) yüksek entalpili bir jeotermal hazneden söz edilebilir.



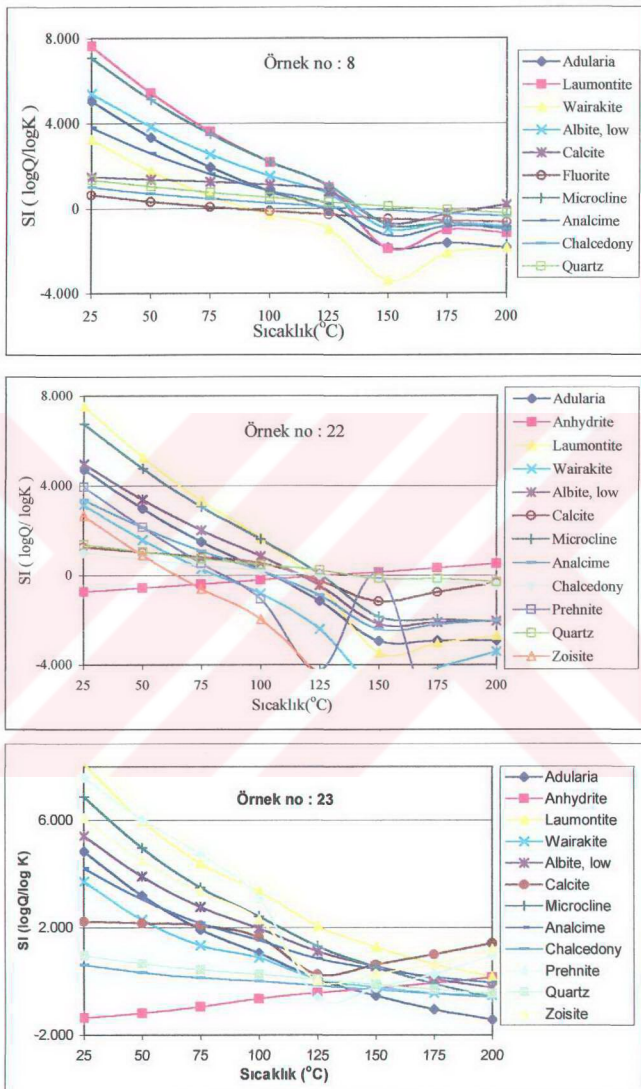
Şekil 5.3 İnceleme alanındaki suların mineral denge-sıcaklığı diyagramları (Örnek numaraları Tablo 5.1 ile aynıdır).



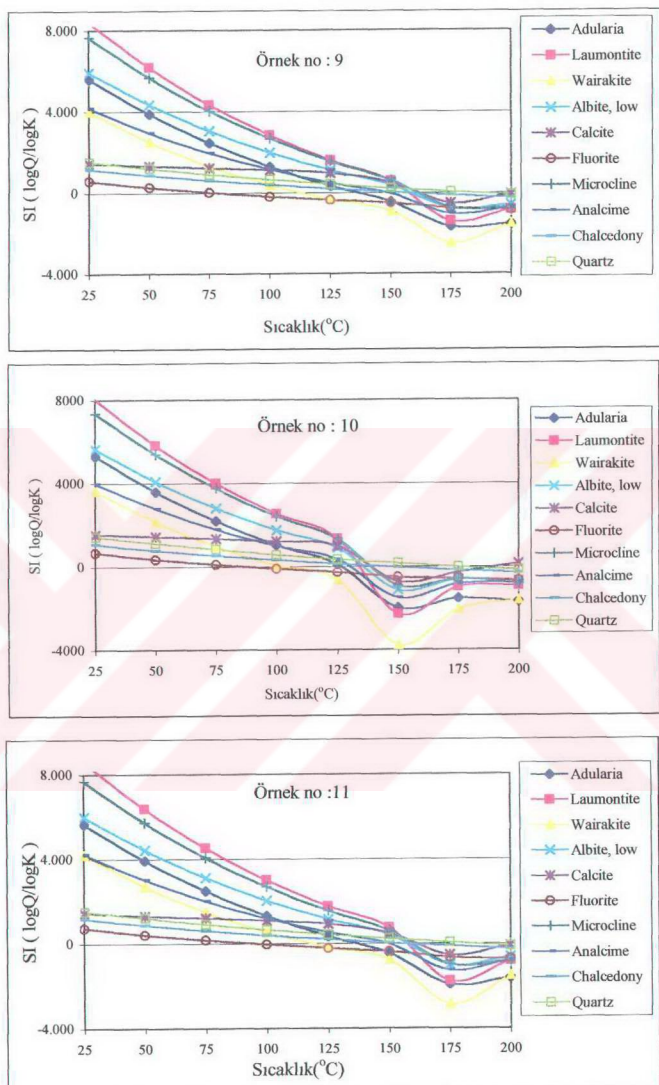
Şekil 5.3 devam ediyor...



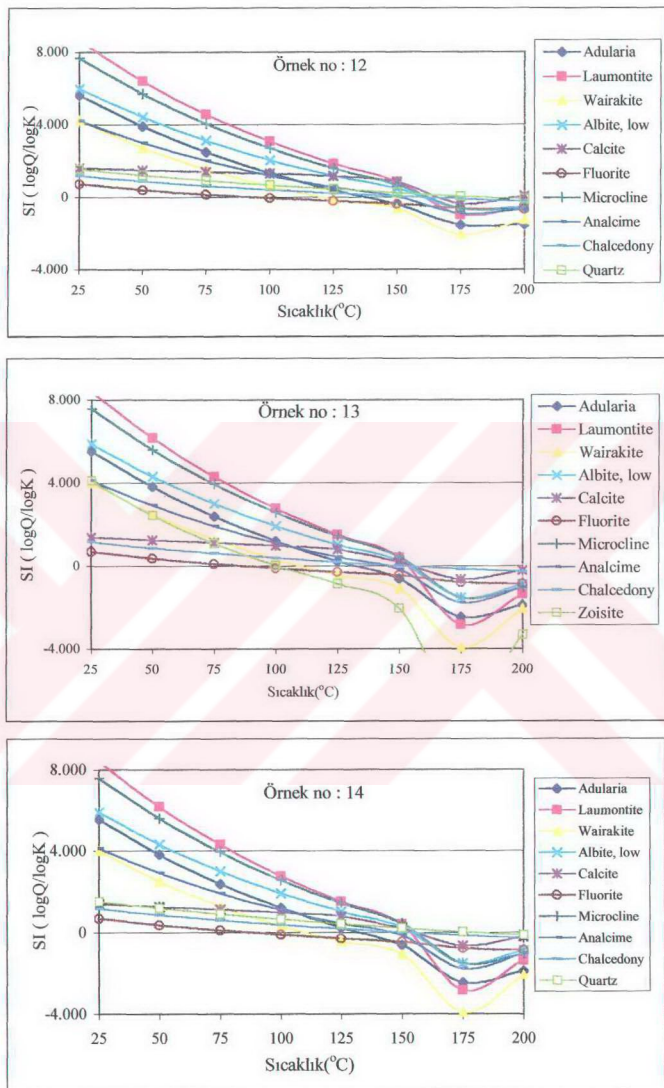
**Şekil 5.3 devam ediyor...**



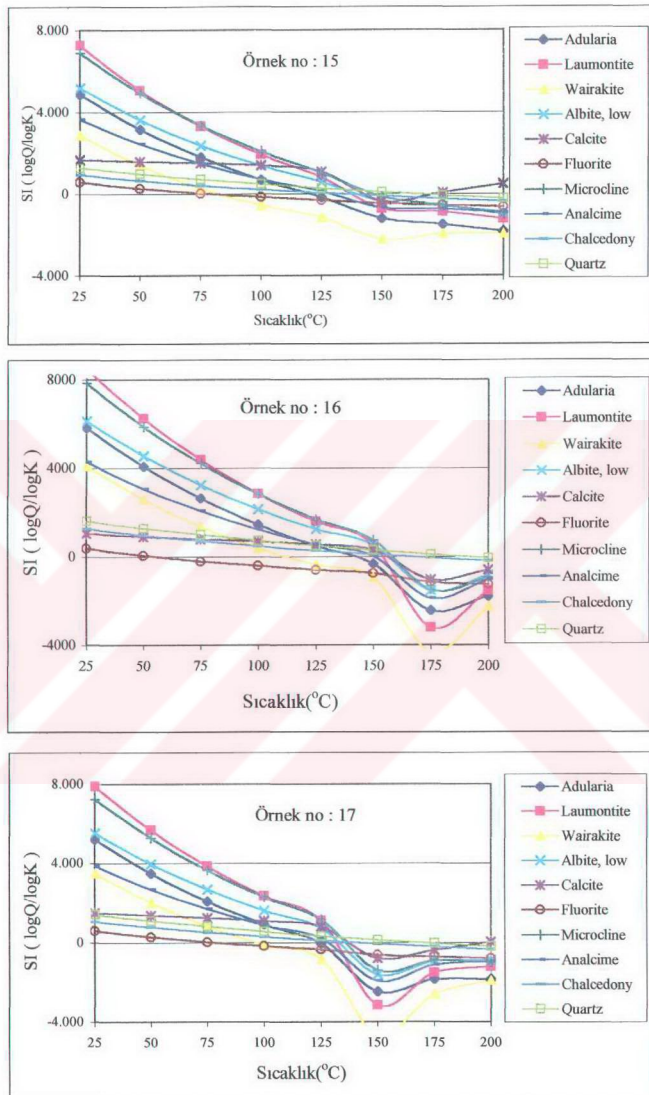
Şekil 5.3 devam ediyor...



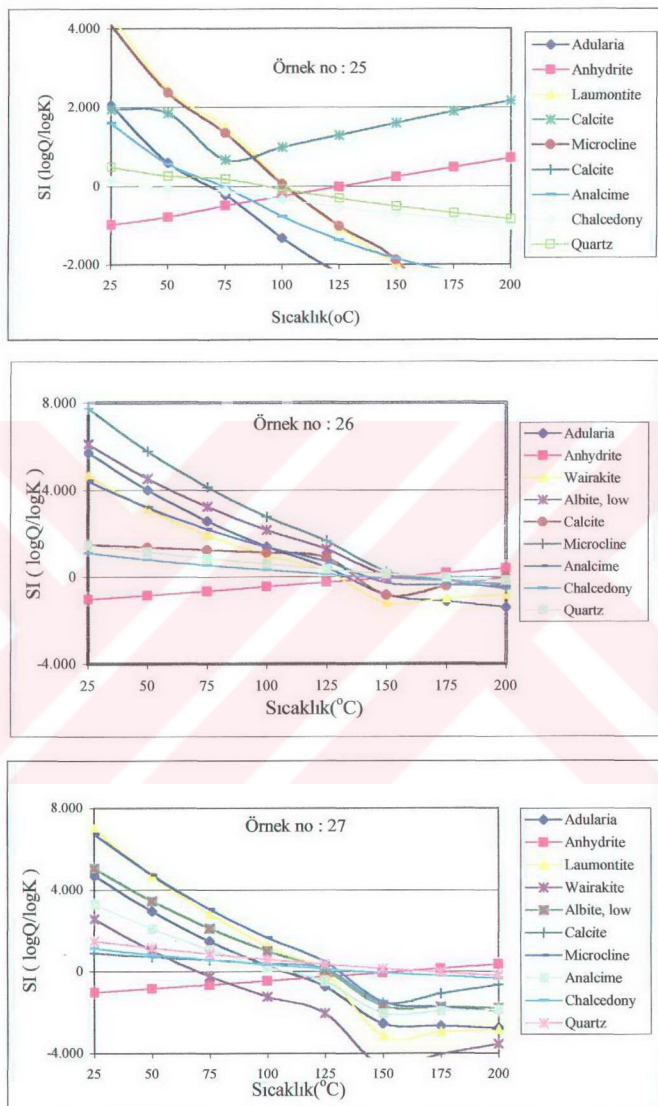
Şekil 5.3 devam ediyor...



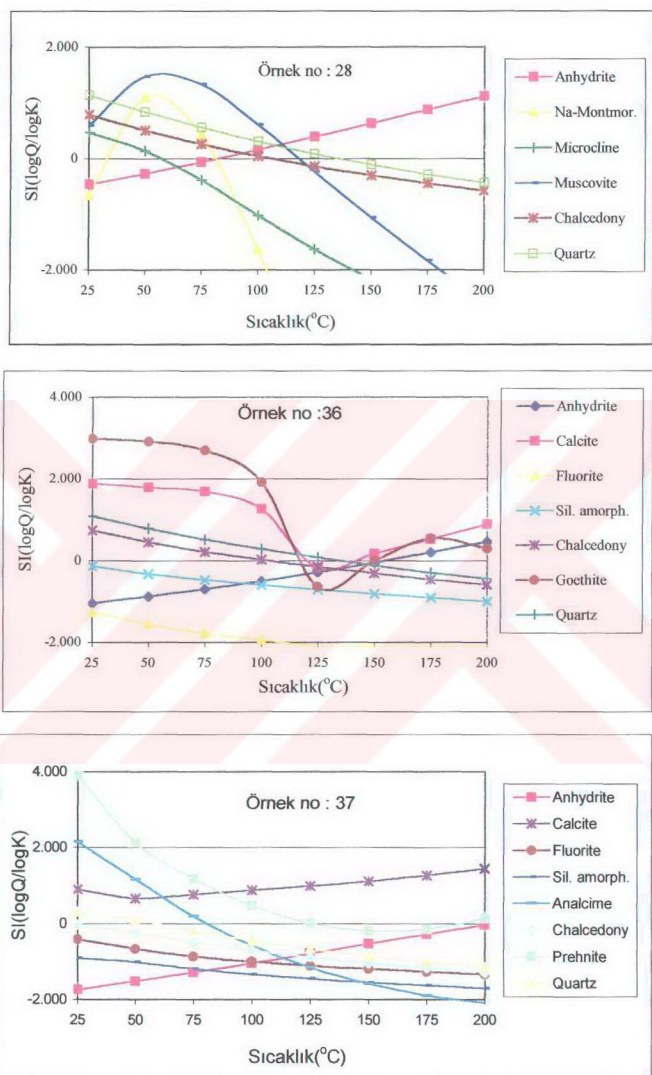
Şekil 5.3 devam ediyor...



Şekil 5.3 devam ediyor...



Şekil 5.3 devam ediyor...



Şekil 5.3 devam ediyor...

## 5.7 Suların Sınıflandırılması

### 5.7.1 Suların İçerdikleri Anyon ve Katyon Miktarına Göre Sınıflandırması

Çalışma alanındaki sular, içerdikleri anyon ve katyon miktarlarına (mek/l) göre şöyle sıralanabilir (Tablo 5.1).

#### Katyonlar



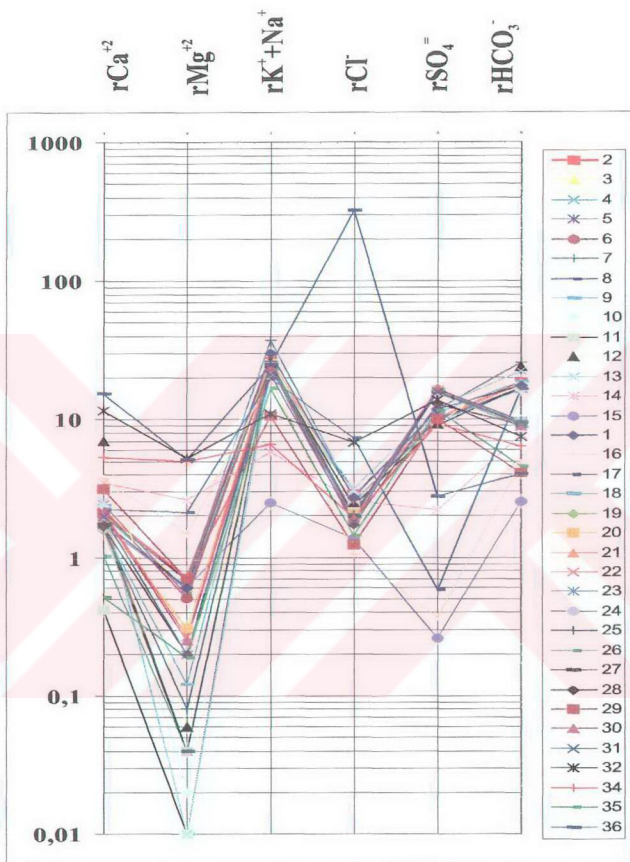
#### Anyonlar



Schoeller yarı logaritmik diyagramında (Şekil 5.4) görüldüğü gibi inceleme alanı içerisindeki suların aynı orijinli oldukları görülmektedir. 36 no'lu Dikili DG-3 kuyusunun ise Cl oranının yüksek olmasından dolayı diğerlerinden biraz farklı bir pik verdiği görülmektedir.

### 5.7.2 Hidrokimyasal Fasiyes Kavramı

Hidrokimyasal fasiyes kavramı ilk olarak suların üçgen diyagramlarındaki izdüşüm yerlerine göre Back, (1966) tarafından geliştirilmiştir. Buna göre suda çözünen başlıca iyonlardan anyon ve katyonlar ayrı ayrı olmak üzere mek/l cinsinden %50'den fazla olan iyonlar hidrokimyasal fasiyes tipini belirtmektedir. Eğer iyonların hiçbirisi %50'yi geçmiyorsa karışık su tipini belirtmektedir. AIH (Uluslararası Hidrojeologlar Birliği) sınıflamasında ise suda çözünmüş başlıca iyonların , anyon ve katyonlar ayrı ayrı olmak üzere yine mek/l olarak % 20'den fazla çözünmüş bulunan iyonlar su tipini belirtmektedir (Başkan&Canik, 1983). Bu

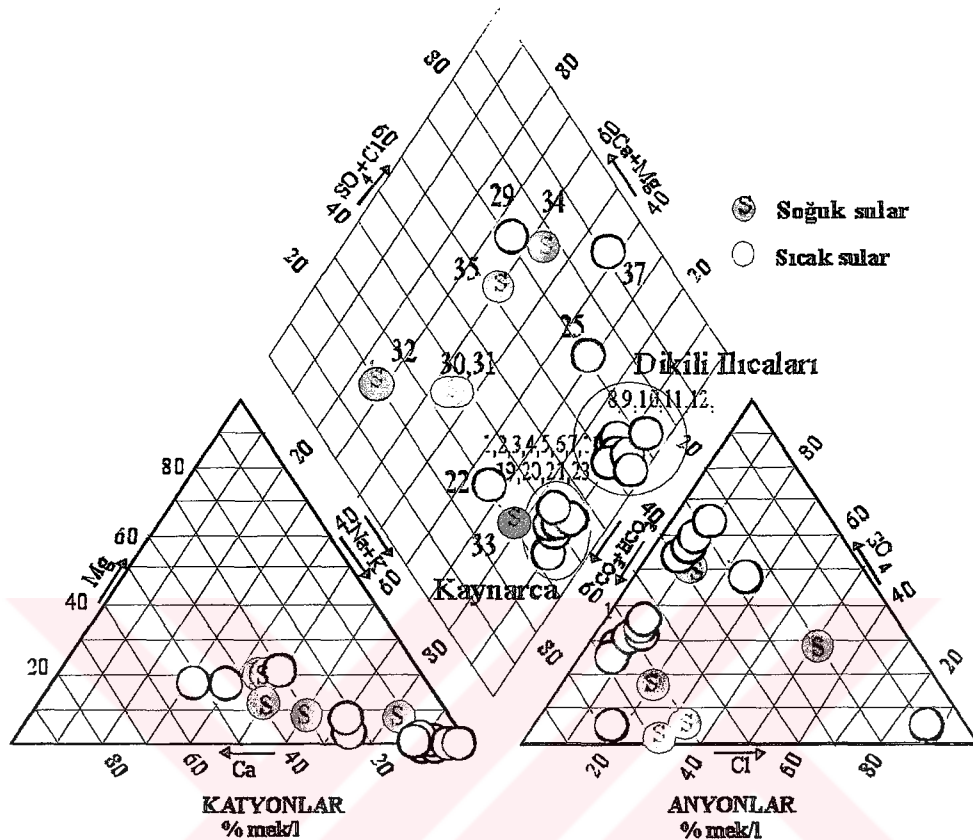


**Şekil 5.4 İnceleme alanındaki suların Schoeller yarı logaritmik diyagramındaki yeri (Örnek numaraları Tablo 5.1 ile aynıdır).**

çalışmada hidrokimyasal fasiyes kavramı AIH sınıflamasına göre uyarlanarak kullanılmıştır. İnceleme alanındaki her bir su noktasına ait hidrokimyasal fasiyes tipleri Tablo 5.1 de görüldüğü gibi Dikili İlîcaları ve sıcak suları genellikle  $\text{Na}-\text{HCO}_3-\text{SO}_4$ , Kaynarca sıcak suları ise  $\text{Na}-\text{SO}_4-\text{HCO}_3$  sular sınıflandırılır. DG-3 kuyusu kimyasal analizleri ise  $\text{Na}-\text{Ca}-\text{Cl}$  su tipinde olup hafif tuzlu su sınıflına girmektedir. Dikili sahasında açılmış olan DG-3 kuyusu kimyasal analizi sonucunda  $\text{Cl}$  miktarının yüksek oluşunu sahanın özellikle batı kesiminde denizden bir beslenmenin mümkün olabileceği şeklinde açıklayabiliriz. Dikili İlîcaları soğuk suları  $\text{Na}-\text{Ca}-\text{Mg}-\text{HCO}_3$ , Kaynarca soğuk suları ise  $\text{Na}-\text{Ca}-\text{SO}_4$  su tipinde olup soğuk sular genellikle maden suyu özelliğindedir.

### 5.7.3 Piper ( Üçgen ) Diyagramı İle Suların Sınıflandırılması

İyonların topluca tek bir diyagramda görüntüleme kolaylığı açısından hidrojeolojide oldukça sık kullanılan diyagamlardan biri Piper (Üçgen) diyagramıdır. Piper diyagramı anyon ve katyonların (% meq/l cinsinden) ayrı ayrı gösterildiği iki ayrı üçgenden ve tüm iyonların ortaklaşa gösterildiği bir dörtgenden oluşmaktadır. Üçgen diyagamlar suların fasiyes tiplerinin görülmesinde, dörtgen ise suların sınıflamasında ve karşılaştırılmasında kolaylık sağlamaktadır. Piper (Üçgen) diyagramında (Şekil 5.5), Dikili İlîcaları sıcak suları genellikle 9 no'lu alana (iyonların hiçbirini % 50'yi geçmeyen, karışık suların bulunduğu alana) düşmektedir. Kaynarca sıcak suları ise çoğunlukla 7 no'lu (karbonat olmayan alkalinitesi% 50'den fazla olan suların bulunduğu) alana düşmektedir. İnceleme alanındaki Dikili İlîcaları sıcak suları  $\text{Na}-\text{HCO}_3-\text{SO}_4$ , Kaynarca sıcak suları ise  $\text{Na}-\text{SO}_4-\text{HCO}_3$  su tipindedirler. Seçilen soğuk su örnekleri ise pek fazla baskın iyon içermeyen karışık su tipindedirler. DG-3 kuyusu sıcak suyu  $\text{Na}-\text{Ca}-\text{Cl}$  su tipinde olup hafif tuzlu su sınıflına girmektedir.



**Şekil 5.5 İnceleme alanındaki suların Piper Üçgen Diyagramındaki Görünümü (Örnek numaraları Şekil 2.1 ve Tablo 5.1 ile aynıdır).**

#### 5.7.4 Suların Elektriksel İletkenliği

Saf su elektriği çok az geçirdiğinden iyi bir yalıtkandır. Ancak, saf suya çok az miktarda karıştırılan mineral çözeltisi, suyun iletkenliğini yükseltir.  $1\text{cm}^3$  suyun elektriksel iletkenliğine “özgül elektriksel iletkenlik” denir. Suyun özgül iletkenliği iyon cinsine, derişime ve sıcaklığına bağlıdır. Elektriksel iletkenlik sıcaklıkla artar ve birbirleriyle karşılaştırmak için, genellikle  $25^\circ\text{C}$  'ye indirgenerek verilir. Suların elektriksel iletkenliği yüksek ise, çürütme özelliği fazladır.  $25^\circ\text{C}$ 'de saf suyun iletkenliği  $0,055$  mikromho/cm'dir. Laboratuvara elde edilen saf suların elektriksel

iletkenlikleri 0,5 ile 5 mikromho/cm; içilecek suların 30–2000; çok tuzlu petrol sularının ise 10000 mikromho'dan fazladır (Şahinci, 1991). Suların elektriksel iletkenliğe bağlı sınıflaması Tablo 5.7'de verilmiştir.

**Tablo 5.7 Suların elektriksel iletkenlige göre sınıflaması (Şahinci, 1991).**

EC	SUYUN SINIFI
< 250	Çok iyi
250 – 750	İyi
750 – 2000	Kullanılabilir
2000 – 3000	Şüpheli
> 3000	Kullanılamaz

İnceleme alanındaki sular elektriksel iletkenlik (EC) değerlerine göre 28, 31, 32 no'lu su noktaları dışında şüpheli veya kullanılamaz sular sınıfındadır (Tablo 5.8).

### 5.7.5 Suların Sertliği

Sertlik, su içinde çözülmüş halde bulunan Ca ve Mg bileşiklerinden ileri gelen bir özelliktedir. Bu bileşiklerin çoğu Ca ve Mg iyonlarının oluşturduğu bikarbonatlar, sülfatlar, klorürler ve nitratlardır. Ca ve Mg bikarbonatlarından ileri gelen sertliğe “geçici sertlik” denir ve ısıtılmakla  $\text{CaCO}_3$  ve  $\text{MgCO}_3$  çökelerek bu sertlik giderilir.

**Tablo 5.8 Suların elektriksel iletkenlik değerlerine göre sınıflandırılması  
(Örnek numaraları Tablo 5.1 ile aynıdır).**

Örnek No	Örnekleme Yeri	EC(µmho/cm)	Suyun Sınıfı
1	Dikili İlçeleri	2900	Şüpheli Sular
2	Dikili İlçeleri	2900	Şüpheli Sular
3	Dikili İlçeleri	2900	Şüpheli Sular
4	Dikili İlçeleri	2800	Şüpheli Sular
5	Dikili İlçeleri	2800	Şüpheli Sular
6	Dikili İlçeleri	2600	Şüpheli Sular
7	Dikili İlçeleri	3600	Şüpheli Sular
18	Dikili İlçeleri	2560	Şüpheli Sular
19	Dikili İlçeleri	2670	Şüpheli Sular
20	Dikili İlçeleri	2540	Şüpheli Sular
21	Dikili İlçeleri	2600	Şüpheli Sular
22	Dikili İlçeleri	3030	Kullanılamaz
23	Eşek Tepe yakını	3200	Kullanılamaz
30	Dikili İlçeleri	1150	Şüpheli Sular
31	Eşek Tepe yakını	495	İyi
32	Sülüklu Çeşme	631	İyi
33	Eşek Tepe yakını	1987	Şüpheli Sular
8	Kaynarca	2700	Şüpheli Sular
9	Kaynarca	2500	Şüpheli Sular
10	Kaynarca	2700	Şüpheli Sular
11	Kaynarca	2500	Şüpheli Sular
12	Kaynarca	2600	Şüpheli Sular
13	Kaynarca	2600	Şüpheli Sular
14	Kaynarca	2500	Şüpheli Sular
15	Kaynarca	2600	Şüpheli Sular
16	Kaynarca	2600	Şüpheli Sular

**Tablo 5.8 devam ediyor...**

17	Kaynarca	2700	Şüpheli Sular
24	Kaynarca	2530	Şüpheli Sular
25	Kaynarca	2307	Şüpheli Sular
26	Kaynarca	2623	Şüpheli Sular
27	Kaynarca doğusu	2560	Şüpheli Sular
28	Kaynarca batısı	1901	Kullanılabilir
34	Kaynarca doğusu	3921	Kullanılamaz
35	Kaynarca batısı	1640	Şüpheli Sular
36	DG-1 kuyusu	1800	Şüpheli Sular
37	DG-3 kuyusu	5500	Kullanılamaz

Suyun ısıtılarak geçici sertliğinin giderilmesinin oldukça pahalı olmasının nedeni ile kimyasal yöntemler uygulanır. Suya amonyak ve sönmüş kireç katıldığında geçici sertlik karbonat tuzları şeklinde çökelir (Şahinci, 1991).

Suda kalıcı sertlik ise Ca ve Mg'un karbonatlarından başka tuzlardan ileri gelir ve ısıtılarak giderilemez. Bu sertliği azaltmak için suya  $\text{Na}_2\text{CO}_3$  konur. Kalıcı ve geçici sertliklerin toplamı ise toplam sertliği oluşturur.

Suların sertliğini gidermek için, sulara ilave edilen boraks ( $\text{Na}_2\text{BO}_3 \cdot 10\text{H}_2\text{O}$ ), trisodyum fosfat ( $\text{Na}_3\text{PO}_4$ ), sodyum metasilikat ( $\text{Na}_2\text{Si}_3\cdot 5\text{H}_2\text{O}$ ) gibi maddeler, bazik özellikleri nedeniyle, sudaki bikarbonat ve karbonat tuzlarını; anyonları ise Ca iyonları ile birleşerek çözünmeyen çökeller meydana getirir. Suların sertliğini ifade etmek için çeşitli yöntemler vardır. Bir Alman sertliği 1000 ml. suda 10 mg. Ca miktarıdır. Bir Fransız sertliği 1000 ml. suda 10 mg  $\text{CaCO}_3$  ve 1 İngiliz sertliği, 700ml. suda 10 mg.  $\text{CaCO}_3$  olarak tanımlanır (Tablo 5.9).

**Tablo 5.9 Çeşitli sertliklerin birbirlerine dönüşüm değerleri.**

	Fransız sertliği	Alman sertliği	İngiliz sertliği
1 Fransız sertliği	1,00	0,56	0,70
1 Alman sertliği	1,79	1,00	1,25
1 İngiliz sertliği	1,43	0,80	1,00

Suların sertliği özel olarak hazırlanmış sabun çözeltileri veya değişik kimyasal yöntemlerle doğrudan saptanır. Ancak bazı bağıntılarla suların sertliği hesap edilebilir.

$$\text{Ca}^{++} \text{ mg / l} \times 0,2497 = \text{Ca sertliği}$$

$$\text{Mg}^{++} \text{ mg / l} \times 0,4115 = \text{Mg sertliği}$$

$$\text{Sertlik bütünü} = \text{Ca sertliği} + \text{Mg sertliği}$$

Bu bağıntı Fransız sertliğini verir. Suların sertliği basit olarak Ca ve Mg iyonlarının mek/l cinsinden toplamı 5 ile çarpmakla Fransız sertliği cinsinden bulunur. Suları sertliklerine göre sınıflamak mümkündür. Suların Fransız sertliğine göre sınıflaması Tablo 5.10'da verilmiştir.

**Tablo 5.10 Suların Fransız sertliğine göre sınıflaması (Şahinci, 1991).**

Fransız sertliği	Suyun sınıfı
0,0 – 7,2	Çok Yumuşak
7,2 – 14,5	Yumuşak
14,5 – 21,5	Az Sert
21,5 – 32,5	Oldukça Sert
32,5 – 54	Sert
54'den fazla	Çok Sert

Bu sınıflamaya göre çalışma alanındaki suların Fransız sertliğine göre sertlik değerleri Tablo 5.11'de verilmiştir.

**Tablo 5.11 İnceleme alanındaki suların Fransız sertliğine göre sınıflaması  
(Örnek numaraları Tablo 5.1 ile aynıdır).**

Örnek No	Örnekleme Yeri	Sertlik	Suyun Sınıfı
1	Dikili İlçeleri	12.28	Yumuşak Su
2	Dikili İlçeleri	14.28	Yumuşak Su
3	Dikili İlçeleri	14.58	Az Sert Su
4	Dikili İlçeleri	13.33	Yumuşak Su
5	Dikili İlçeleri	15.12	Az Sert Su
6	Dikili İlçeleri	14.04	Yumuşak Su
7	Dikili İlçeleri	13.65	Yumuşak Su
18	Dikili İlçeleri	12.27	Yumuşak Su
19	Dikili İlçeleri	12.40	Yumuşak Su
20	Dikili İlçeleri	11.78	Yumuşak Su
21	Dikili İlçeleri	12.20	Yumuşak Su
22	Dikili İlçeleri	35.69	Sert su
23	Eşek Tepe yakını	13.26	Yumuşak Su
30	Dikili İlçeleri	30.89	Oldukça Sert Su
31	Eşek Tepe yakını	11.75	Yumuşak Su
32	Sülüklü Çeşme	26.63	Oldukça Sert Su
33	Kaynarca	22.17	Oldukça Sert Su
8	Kaynarca	8.82	Yumuşak Su
9	Kaynarca	8.20	Yumuşak Su
10	Kaynarca	10.80	Yumuşak Su
11	Kaynarca	9.94	Yumuşak Su
12	Kaynarca	12.34	Yumuşak Su
13	Kaynarca	9.45	Yumuşak Su
14	Kaynarca	8.45	Yumuşak Su

**Tablo 5.11 devam ediyor...**

15	Kaynarca	8.65	Yumuşak Su
16	Kaynarca	5.45	Çok Yumuşak Su
17	Kaynarca	8.75	Yumuşak Su
24	Kaynarca	9.55	Yumuşak Su
25	Kaynarca,kuyu	19.50	Sert Su
26	Kaynarca	11.79	Yumuşak Su
27	Kaynarca, doğusu	11.11	Yumuşak Su
28	Kaynarca	85.72	Çok Sert Su
34	Kaynarca batısı	95.24	Çok Sert Su
35	Kaynarca	51.78	Sert Su
36	DG-1 kuyusu	3.64	Çok Yumuşak Su
37	DG-3 kuyusu	104.08	Çok Sert Su

## 5.8 Suların Kullanım Özellikleri

Doğal suların çok değişik kullanma alanları vardır. Bu kullanma alanları suyun kimyasal ve fiziksel özelliklerine bağlıdır. Bir çok yazar tarafından değişik sınıflamalar yapılmıştır. Bu çalışmada incelenen suların içme ve sulamada kullanılabilirliği araştırılmıştır.

### 5.8.1 Suların İçme Özellikleri

Suların içme özelliklerinin saptanması, iklim koşullarına, su potansiyeline ve jeolojik formasyonlara bağlı olarak ülkeden ülkeye değişir. Genel olarak içme sularının sıcaklığı 7-10°C arasında bulunmaktadır. 5°C alt sınır, 18°C üst sınır kabul edilir (Şahinci, 1991a). İnceleme alanında bulunan içme sularının ortalama sıcaklığı 18°C'dir.

İçme suları renksiz ve kokusuz olmalıdır. İçinde hastalık yapan hiçbir bakterinin bulunmaması gereklidir. Elektriksel iletkenlik (EC), 2200 µmho/cm'yi, toplam sertlik

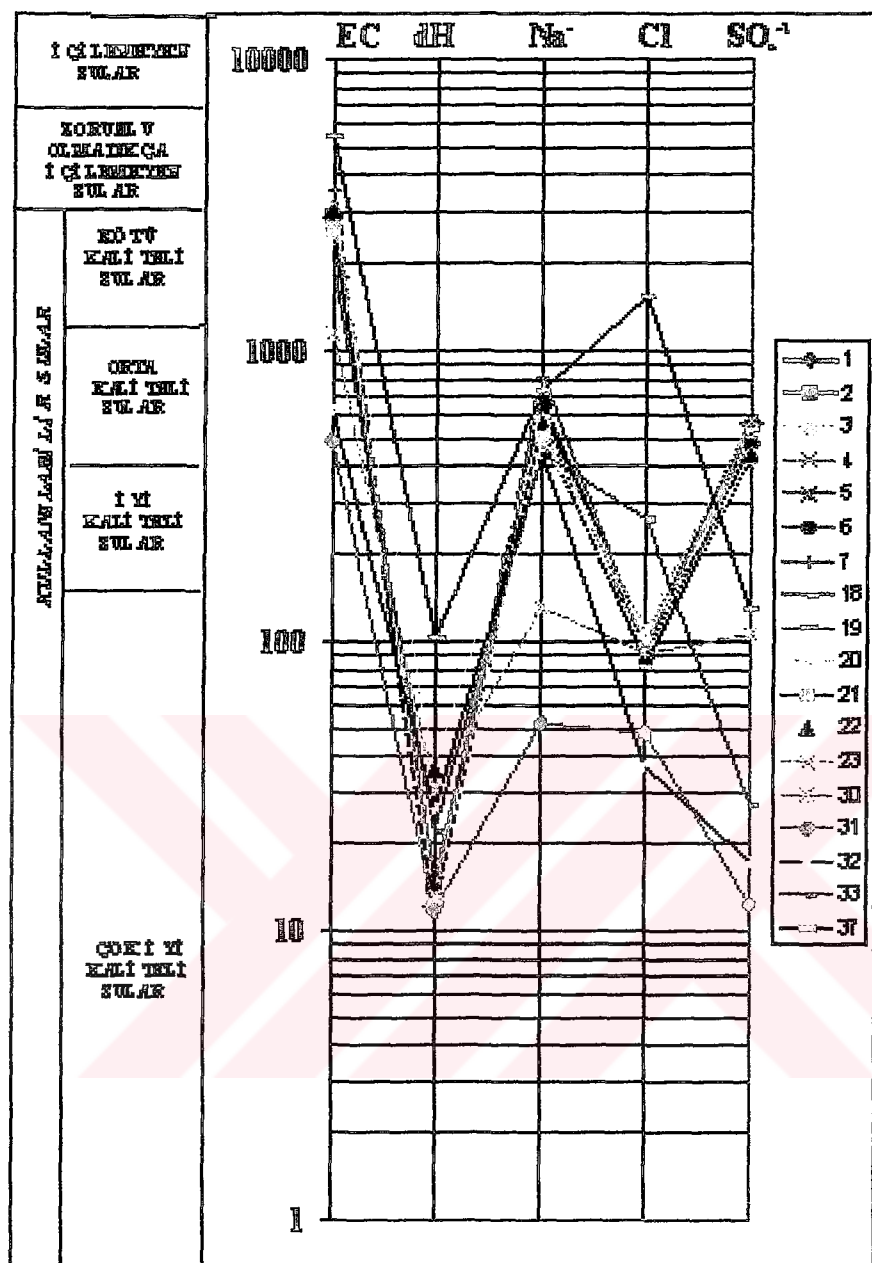
(Fransız) 45'i, buharlaşma kalıtışı 1500 mg/l'yi, klorür miktarı 750 mg/l'yi geçmemelidir. İyi bir içme suyunda toplam iyon miktarı 7,5 mek/l'den daha fazla toplam iyonu bulunan sular ancak zorunlu koşullarda içilebilir. İçme ve kullanma sularının pH'ı 7-8,5 arasında değişir. İçme suları aşındırıcı, çürütücü ve kabuk yapıcı olmamalıdır. Schoeller tarafından geliştirilen ve suyun EC, sertlik(Fr), Na, Cl<sup>-</sup>, (SO<sub>4</sub>)<sup>2-</sup> (mg/l) miktarına göre suyun içilebilirlik diyagramı oldukça yaygındır (Şahinci, 1991a). Şekil 5.5'te inceleme alanında bulunan bazı suların kimyasal analiz sonuçlarına göre içilebilme özelliklerini verilmiştir.

### **5.8.2 Sulama Sularının Özellikleri**

Suda çözünmüş iyon miktarı fazla ise bitkilere ve tarımsal toprağa fiziksel ve kimyasal yollarla etkiyerek verimi düşürür. Bu iyonların fiziksel etkisi, bitki yapısındaki hücrelerde osmotik basıncı azaltarak suların dal ve yapraklara erişmesini engeller. Kimyasal yolla ise bitki metabolizmasını bozarlar. Tuzlu sulardaki sodyum, zemindeki kalsiyum iyonları ile yer değiştirerek toprak geçirgenliğini ve havalandmasını azaltır. Dolayısıyla bitkilerin gelişmesi yavaşlar. Bitkilerin sudaki tuzlara karşı dirençleri farklı olduğundan, sulama için kullanılan suların tuz derişiminin üst sınırını vermek güçtür.

Bitki gelişmesi ile su kalitesi arasındaki ilgi yanında toprağın akaçlaması da önemli yer tutar. Geçirgenliği fazla, akaçlaması iyi tarım topraklarında su, tuzlu da olsa bitkilerin gelişmesini engellemez. Tersine geçirgenliği ve akaçlaması kötü zeminlerde su az tuzlu olsa bile, bitki köklerinde tuz birikimleri oluşarak bitkilerin gelişmesi güçleşir.

Sonuç olarak; bitkilerin gelişmesini su kalitesinden başka toprağın cinsi, geçirgenliği, akaçlaması, iklim koşulları, kullanılan su miktarı, bitki türü, sulama şekilleri ve uygulanan yetiştirmeye yöntemleri gibi özellikleri de etkiler. Sulama sularının kimyasal özelliklerini saptamak için çeşitli yöntemler önerilmiştir.



Şekil 5.6 İnceleme alanındaki suların Schoeller içilebilirlik diyagramı (Örnek numaraları Tablo 5.1 ile aynıdır).

### 5.8.2.1 Suların Sodyum Adsorbsiyon Oranı (SAR)

Sulama sularında sodyum iyonunun fazla olması, toprağın yapısını bozarak geçirgenliğini azaltır. Sulamadan sonra zeminin üst yüzeylerinde sert bir kabuğun oluşmasına neden olur ve bitki köklerinin havalandırması engellenir. Ayrıca bitkiler için zehirli bir ortam taratır. Suların sodyum miktarı % olarak şöyle bulunur (Şahinci, 1991);

$$\% \text{ Na} = 100 (\text{Na} + \text{K}) / (\text{Ca} + \text{Mg} + \text{K} + \text{Na})$$

Yukarıdaki bağıntının farklı biçimde ifadesi şöyledir ;

$$\text{Sodyum Adsorption Ratio ( SAR )} = \text{Na} / [(\text{Ca} + \text{Mg}) / 2]^{1/2}$$

Bağıntılarda iyonlar mek/l alınır.

SAR'a göre sulama suları aşağıda, Tablo 5.12'de verildiği şekilde sınıflanır ;

**Tablo 5.12 % SAR'a göre sulama sularının sınıflaması (Şahinci, 1991).**

SUYUN NİTELİĞİ	SAR(%)
Çok iyi özellikteki sulama suları	<10
İyi özellikteki sulama suları	10 - 18
Orta özellikteki sulama suları	18 - 26
Fena özellikteki sulama suları	>26

İnceleme alanındaki su noktalarının % SAR'a göre sınıflamaları Tablo 5.13'de verilmiştir.

**Tablo 5.13 İnceleme alanındaki suların SAR'a göre sınıflandırması (Örnek numaraları Tablo 5.1 ile aynıdır).**

Örnek No	Örneklemme Yeri	SAR(%)	Suyun Niteliği
1	Dikili İlçeleri	26.40	Fena özellikteki sulama suları
2	Dikili İlçeleri	15.20	İyi özellikteki sulama suları
3	Dikili İlçeleri	21.50	Orta özellikteki sulama suları
4	Dikili İlçeleri	21.20	Orta özellikteki sulama suları
5	Dikili İlçeleri	19.00	Orta özellikteki sulama suları
6	Dikili İlçeleri	20.14	Orta özellikteki sulama suları
7	Dikili İlçeleri	31.10	Fena özellikteki sulama suları
18	Dikili İlçeleri	22.80	Orta özellikteki sulama suları
19	Dikili İlçeleri	19.80	Orta özellikteki sulama suları
20	Dikili İlçeleri	20.20	Orta özellikteki sulama suları
21	Dikili İlçeleri	52.90	Fena özellikteki sulama suları
22	Dikili İlçeleri	13.40	İyi özellikteki sulama suları
23	Eşek Tepe yakını	20.30	Orta özellikteki sulama suları
30	Dikili İlçeleri	3.30	Çok iyi özellikteki sulama suları
31	Eşek Tepe yakını	2.13	Çok iyi özellikteki sulama suları
32	Sülüklü Çeşme	12.24	Orta özellikteki sulama suları
33	Kaynarca	16.95	Orta özellikteki sulama suları
8	Kaynarca	26.97	Fena özellikteki sulama suları
9	Kaynarca	25.63	Orta özellikteki sulama suları
10	Kaynarca	24.35	Orta özellikteki sulama suları
11	Kaynarca	24.00	Orta özellikteki sulama suları
12	Kaynarca	21.20	Orta özellikteki sulama suları
13	Kaynarca	24.75	Orta özellikteki sulama suları
14	Kaynarca	26.10	Fena özellikteki sulama suları
15	Kaynarca	27.26	Fena özellikteki sulama suları
16	Kaynarca	31.34	Fena özellikteki sulama suları
17	Kaynarca	24.55	Orta özellikteki sulama suları

**Tablo 5.9** devan ediyor...

24	Kaynarca	23.71	Orta özellikteki sulama suları
25	Kaynarca,kuyu	7.34	Çok iyi özellikteki sulama suları
26	Kaynarca	20.98	Orta özellikteki sulama suları
27	Kaynarca, doğusu	19.65	Orta özellikteki sulama suları
28	Kaynarca	5.70	Çok iyi özellikteki sulama suları
34	Kaynarca batısı	0.43	Çok iyi özellikteki sulama suları
35	Kaynarca	2.90	Çok iyi özellikteki sulama suları
36	DG-1 kuyusu	26.60	Fena özellikteki sulama suları
37	DG-3 kuyusu	10.13	İyi özellikteki sulama suları

#### 5.8.2.2 Sulama Sularının Wilcox'a Göre Sınıflaması

Wilcox sulama sularının % Na, klorür, sülfat, bor ve elektriksel iletkenliğe karşı duyarlılıklarına göre sınıflar ( Tablo 5.14 ve Tablo 5.15).

**Tablo 5.14** Sulama sularının Wilcox 'a göre sınıflaması (Şahinci, 1991).

SUYUN SINIFI	% Na	rCl <sup>-</sup>	rSO <sub>4</sub> <sup>-2</sup>	EC(µmho/cm)
Çok iyi	< 20	< 4	< 4	< 250
İyi	20 – 40	4 – 7	4 - 7	250 – 750
Kullanılabilir	40 – 60	7 – 12	7 – 12	750 – 2000
Şüpheli	60 – 80	12 – 20	12 – 20	2000 – 3000
Kullanılamaz	>80	>20	>20	>3000

**Tablo 5.15 Sulama sularının Wilcox sınıflamasında bor miktarına göre sınıflaması (Şahinci, 1991).**

Suyun Sınıfı	Suda bulunan Bor (mg/l)		
	Duyarlı bitkiler	Yarı dayanıklı bitkiler	Az dayanıklı bitkiler
Çok iyi	<0.33	<0.67	<1.00
İyi	0.33-0.67	0.67-1.33	1.00-2.00
Kullanılabilir	0.67-1.00	1.33-2.00	2.00-3.00
Şüpheli	1.00-1.25	2.00-2.50	3.00-3.75
Kullanılmaz	>1.25	>2.50	>3.75

Wilcox ayrıca düşey eksende % Na mikteri ve yatay eksende EC miktarını belirten suların sulama amacıyla kullanılmasına ilişkin diyagram geliştirmiştir (Şekil 5.6). Verilen EC yatay eksende bulunarak, bu noktadan yatay eksene bir dik çıkarılır ve % Na'dan çizilen paraleli kestiği nokta suyun özelliğini verir.

İnceleme alanındaki suların % Na, rCl ,rSO<sub>4</sub>, EC ve B değerleri Tablo 5.16'da verilmiştir. Buradaki 'r', mek/l'yi tanımlar. Suların Wilcox diyagramındaki yerleri Şekil 5.6'da gösterilmiştir.

Tablo 5.16'da görüldüğü gibi inceleme alanındaki sıcak suların bor değerleri yüksektir. Özellikle Dikili İlçalarına ait sıcak su noktalarının bor konsantrasyonları yüksek değerler taşımaktadır. Bu nedenle geçmiş yıllarda açılmış ve ileride açılacak sondaj kuyularının kullanımı durumunda jeotermal atık suların çevreye olabilecek olumsuz etkilerinin araştırılması gerekmektedir. Ayrıca bu sıcak sular sulama suyu olarak kullanılmamalıdır.

**Tablo 5.16 Sulama sularının %Na, rCl, rSO<sub>4</sub><sup>2-</sup> ve EC değerleri ( Örnek numaraları Tablo 5.1 ile aynıdır).**

Örnek No	Örnekleme Yeri	%Na	rCl	rSO <sub>4</sub> <sup>2-</sup>	EC ( $\mu\text{mho}/\text{cm}$ )	Bor (mg/l)
1	Dikili İlçeleri	91.54	2.74	11.84	2900	12,5
2	Dikili İlçeleri	90.27	2.87	10.10	2900	10,9
3	Dikili İlçeleri	90.35	2.90	10.10	2900	10,6
4	Dikili İlçeleri	90.62	2.44	9.77	2800	10,4
5	Dikili İlçeleri	89.02	2.47	9.93	2800	10,9
6	Dikili İlçeleri	89.99	1.87	10.02	2600	10,4
7	Dikili İlçeleri	93.22	2.71	11.87	3600	11,9
18	Dikili İlçeleri	91.51	2.48	10.08	2560	-
19	Dikili İlçeleri	90.31	2.80	11.28	2670	-
20	Dikili İlçeleri	90.63	2.90	9.35	2540	-
21	Dikili İlçeleri	98.32	2.36	9.06	2600	-
22	Dikili İlçeleri	112.40	2.50	9.17	3030	7,57
23	Dikili İlçeleri	90.17	3.12	12.17	3200	12,24
30	Dikili İlçeleri	49.00	2.56	2.22	1150	0,36
31	Eşek Tepe yakını	58.80	1.36	0.26	495	0,08
32	Sülüklü Çeşme	79.01	1.04	0.37	631	0,08
33	Eşek Tepe yakını	81.88	7.38	0.58	1987	0,97
8	Sülüklü Çeşme	93.73	2.04	16.51	2700	6,5
9	Kaynarca	93.78	1.93	15.44	2500	4,7
10	Kaynarca	92.44	2.04	16.25	2700	5,1
11	Kaynarca	92.67	2.01	15.81	2500	5,0
12	Kaynarca	90.87	1.99	15.67	2600	5,0
13	Kaynarca	93.02	1.99	15.81	2600	5,1
14	Kaynarca	93.68	1.96	15.44	2500	5,1
15	Kaynarca	93.85	2.04	16.40	2600	5,3
16	Kaynarca	95.69	1.96	15.62	2600	5,3

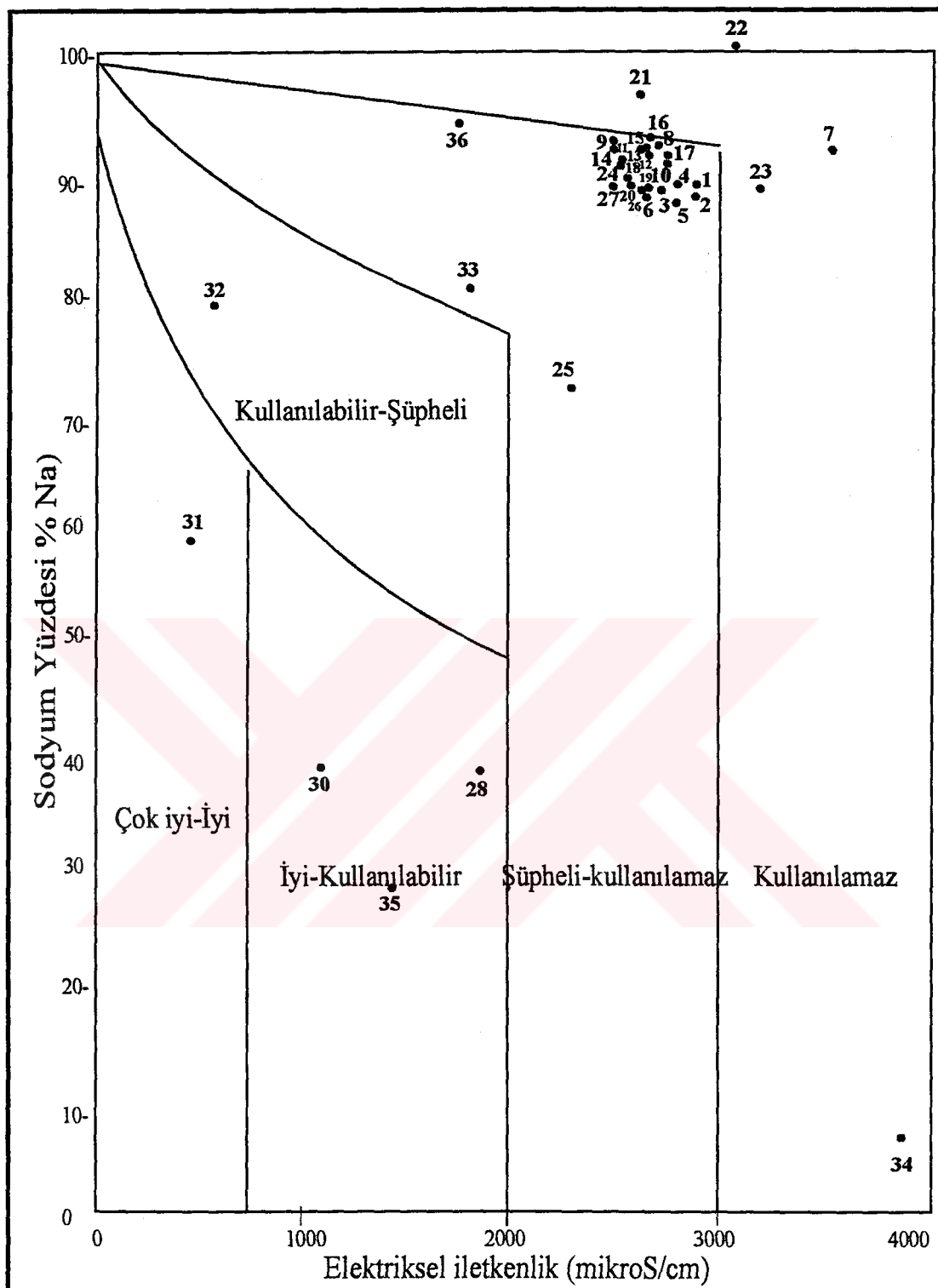
**Tablo 5.16 devam ediyor...**

17	Kaynarca	93.11	1.99	15.60	2700	4,9
24	Kaynarca	92.72	1.71	12.92	2530	-
25	Kaynarca, kuyu	73.39	1.23	10.12	2307	-
26	Kaynarca	90.99	1.90	16.71	2623	5,95
27	Kaynarca doğusu	90.68	1.82	15.69	2560	5,71
28	Kaynarca batısı	39.43	6.88	13.77	1901	0,56
34	Kaynarca batısı	8.55	25.49	14.22	3921	0,64
35	Kaynarca	39.34	1.94	9.17	1640	0,75
36	DG-1 kuyusu	95.95	1.43	11.61	1800	1,7
37	DG-3 kuyusu	62.84	322.84	2.75	5500	3,7

Şekil 5.7'da verilen Wilcox diyagramına göre inceleme alanındaki sulardan 31 no'lu soğuk su noktası çok iyi-iyi sınıfına girmektedir. Dikili İlincasına ait 30 no'lu soğuk su noktası ile Kaynarca'ya ait 28 ve 35 no'lu soğuk su noktaları iyi-kullanılabilir su sınıfına girerler. 32 no'lu Dikili İlincası soğuk su noktası kullanılabılır-şüpheli su sınıfına girmektedir. Dikili İlincasına ait 7, 21, 22, 23 no'lu sıcak su noktaları ve 37 no'lu DG-3 kuyusu ile Kaynarca'ya ait 34 no'lu sıcak su noktası kullanılamaz su sınıfına girmektedirler. Dikili İlincaları ve Kaynarca'ya ait diğer sıcak su noktaları ise şüpheli-kullanılamaz su sınıfına girmektedirler.

### 5.8.3 ABD Tuzluluk Laboratuvarı Diyagramı (USA Salinity Laboratory Diagram)

Bu diyagramda sulama suları 16 sınıfa ayrılmıştır. Düşey eksende SAR değeri, yatay eksende EC değerleri bulunur (Şekil 5.8). Bu diyagramın yorumu şöyledir (Şahinci 1991a):



Şekil 5.7 Sulama sularının Wilcox'a göre sınıflaması (Örnek numaraları Tablo 5.1 ile aynıdır).

**-Genel Tuzluluk Özellikleri :**

**C1** (EC 250  $\mu\text{mho}/\text{cm}$ 'den az), az tuzlu sular: Her toprakta, tüm bitkilerin sulamasında uygundur.

**C2** (EC 250-750  $\mu\text{mho}/\text{cm}$  arası), orta tuzlu sular: Orta ağaçlama özelliğindeki topraklarda, tuzluluk tehlikesi olmadan tüm bitkiler sulanabilir.

**C3** (EC 750-2250  $\mu\text{mho}/\text{cm}$  arası), tuzlu sular: Ağaçlaması kötü olan arazilerde sulamada kullanılmaz. Tuza dayanıklı bitkiler seçilmelidir.

**C4** (EC 2250  $\mu\text{mho}/\text{cm}$ 'den büyük), çok tuzlu sular: Geçirgenliği ve ağaçlaması çok iyi topraklarda, zeminin yıkanmasını sağlamak için bol su verilmelidir.

**-Genel Sodyum Tehlikesi Özellikleri:**

**S1**, az sodyumlu sular: Tüm topraklarda sodium tehlikesi yaratmadan kullanılabilir.

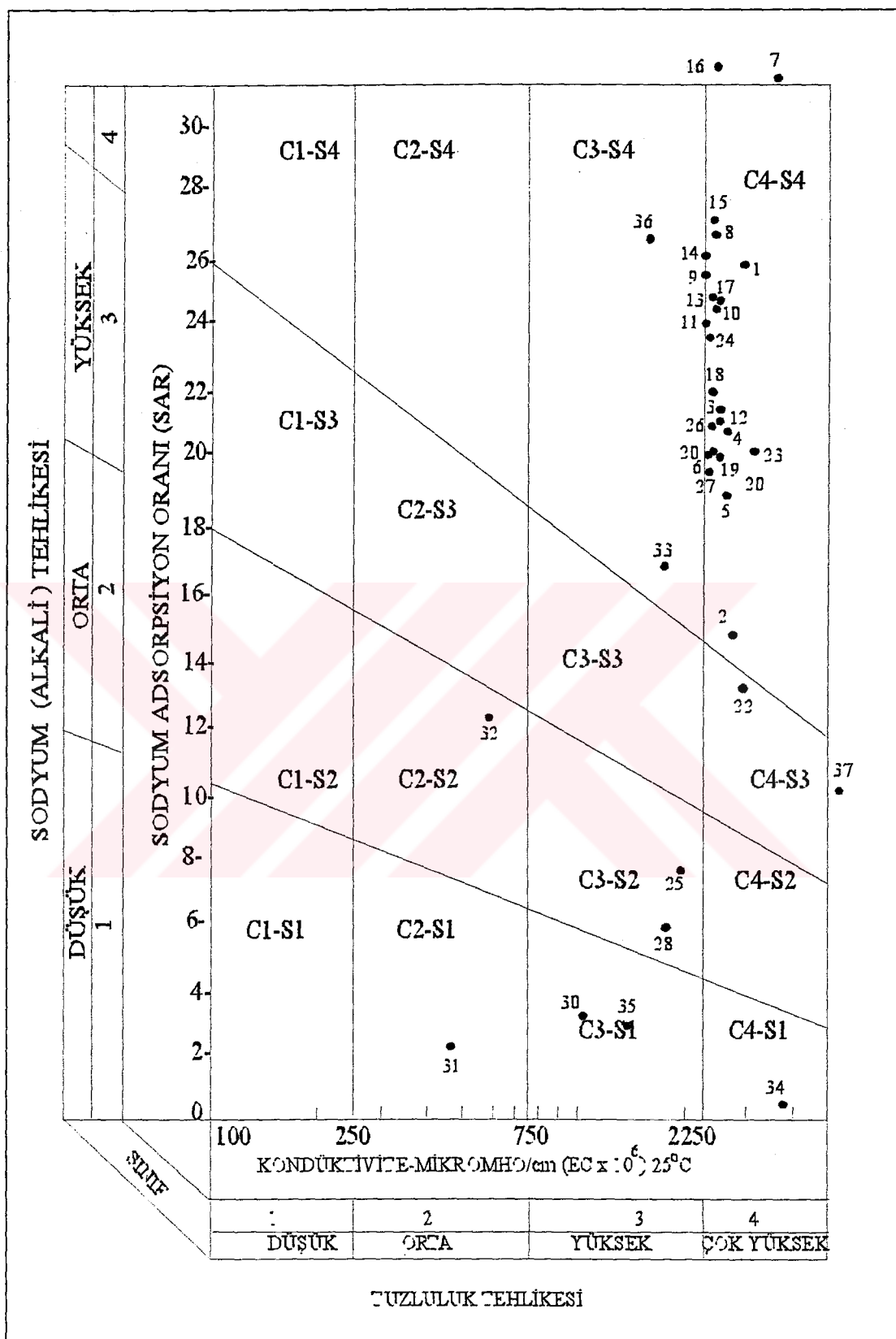
**S2**, orta sodyumlu sular: Geçirgen veya bol jipsli arazilerde kullanılabilir.

**S3**, yüksek sodyumlu sular: Birçok toprak cinsinde sodium tehlikesi yaratabilir.

**S4**, az sodyumlu sular: Genel olarak sular için uygun değildir.

İnceleme alanındaki suların ABD tuzluluk labotatuvarı diyagramındaki yerleri Şekil 5.7'de gösterilmiştir.

İnceleme alanında bulunan sulardan Dikili İllicalarına ait 32 no'lu soğuk su noktası C<sub>2</sub>-S<sub>2</sub> sınıfına, 31 no'lu soğuk su noktası C<sub>2</sub>-S<sub>1</sub> sınıfına, 30 no'lu soğuk su noktası C<sub>3</sub>-S<sub>1</sub> sınıfına, 33 no'lu soğuk su noktası ile 36 no'lu DG-3 kuyusu C<sub>3</sub>-S<sub>4</sub> sınıfına, 22 no'lu sıcak su noktası C<sub>4</sub>-S<sub>3</sub> sınıfına girmektedir. Kaynarca İllicalarına ait



Şekil 5.5 İnceleme alanındaki suların ABD Tuzluluk Diyagramındaki yeri  
(Örnek numaraları Tablo 5.1 ile aynıdır).

25 ve 28 no'lu sıcak su noktaları C<sub>3</sub>-S<sub>2</sub> sınıfına, 35 no'lu soğuk su noktası C<sub>3</sub>-S<sub>1</sub> sınıfına, 34 no'lu soğuk su noktası C<sub>4</sub>-S<sub>1</sub> sınıfına ,37 no'lu DG-1 kuyusu C<sub>4</sub>-S<sub>1</sub> sınıfına girmektedir. 9,11,13,14 no'lu Dikili İlhalarına ait sıcak su noktaları C<sub>3</sub>-S<sub>4</sub> ile C<sub>4</sub>-S<sub>4</sub> sınırında yer almaktadırlar. İnceleme alanına ait diğer sıcak su noktaları ise C<sub>4</sub>-S<sub>4</sub> sınıfına girmektedir.

---

## Bölüm 6

# JEOTERMAL ENERJİNİN KULLANIM ALANLARI

---

### 6.1 Jeotermal Enerjinin Dünyada ve Türkiye'deki Kullanım Alanları

İnsan yaşamında enerji kullanımı önemli bir yer tutmaktadır. Bu bakımdan insanlar yaradılışından bu güne enerjiye her zaman ihtiyaç duymuştur. Sahip olduğu enerji kaynaklarından olanakları ölçüsünde yararlanmış ve bu kaynakları geliştirmek için sürekli arayış içerisinde olmuşlardır. Bir enerji kaynağı olan jeotermal enerji başlangıçta sadece kaplıca amaçlı kullanılırken, günümüzde geniş kullanım olanakları sunan bir enerji türüne dönüşmüştür.

İlk çağlardan beri ilksel amaçlı olarak yararlanılan doğal sıcak su kaynakları ilk defa 1827 yılında İtalya'da asit borik elde etmek amacıyla kullanılmıştır. Daha sonra 1904 yılında Larderello (İtalya) yöresinde yine ilk defa jeotermal buhardan elektrik üretimine başlanmıştır ve ilk defa 1912 yılında gücü 250 KWe (Kilowatt Elektrik) olan turbo jeneratör kurulmuştur. 1930'larda ise bu enerji İzlanda'nın Reykjavik kentinde ısıtma amacıyla kullanılmaya başlanmıştır. 1949 yılında Yeni Zelanda Wairakei sahasında turistik bir otele sıcak su temini amacıyla başlayan sıg sondajlara daha sonra, elektrik elde edilebilme amacıyla devam edilmiş ve 1954 yılında 200Mwe (Megawatt Elektrik) kapasiteli bir santral kurulmuştur. 1960 yılında Amerika'da, 1961 yılında Meksika'da ve 1966'da Japonya'da santraller kurularak jeotermal enerjinin kullanımı dünya çapında yayılmıştır. 1999 yılı verilerine göre dünyadaki elektrik kurulu güç kapasitesi 8274 Mwe ve 2000 yılı verilerine göre doğrudan kullanım ise 11.300 MWt (Megawatt Termal) dir (Akkuş, 2002).

Jeotermal akışkanlarının sıcaklıklarına göre çeşitli kullanım alanları vardır (Tablo 6.1).

**Tablo 6.1 Jeotermal akışkanın sıcaklıklarına göre kullanım alanlarını belirten Lindall diyadramı (Akkuş, 2002).**

Sıcaklık (°C)	Kullanım Alanları
180	Yüksek konsantrasyonlu solüsyonların buharlaştırılması, Amonyum absorbsiyonu ile soğutma
170	Diatomitlerin kurutulmas, ağır su ve hidrojen sülfit eldesi
160	Kereste kurutmacılığı, balık kurutmacılığı
150	Bayer's metodu ile alüminyum eldesi
140	Konservecilik, çiftlik ürünlerinin çabuk kurutulması
130	Şeker endüstrisi, tuz endüstrisi
120	Distilasyonla temiz su elde edilmesi
110	Çimento kurutmacılığı
100	Organik maddeleri kurutma(Deniz yosunu, çimen, sebze) yün yıkama ve kurutma
90	Balık kurutma(stok balık)
80	Yer ve sera ısıtmacılığı
70	Soğutma(Alt sıcaklık limiti)
60	Sera,ahır ve kümes ısıtmacılığı
50	Mantar yetiştirmeye, balneolojik hamamlar
40	Toprak ısıtma
30	Yüzme havuzları, fermantasyonlar, damıtma
20	Balık çiftlikleri

Ülkemizin tektonik açıdan etkili bir zon üzerinde bulunması, jeolojik ve meteorolojik koşullarının da uygun olması, ülkemize jeotermal enerji yönünden oldukça avantajlı bir konum sağlamaktadır. Türkiye jeotermal potansiyel bakımından dünyadaki ülkeler arasında 7. sıradadır. Jeotermal enerjinin kullanımı açısından da ilk 5'e girmektedir. Dünyada kurulu jeotermal elektrik santrali içinde 20.4 MWe kapasitesi ile 14. sırada yer almaktadır. Ülkemiz jeotermal enerji kaynakları daha çok merkezi ısıtmaya ve kaplıca amaçlı kullanıma uygundur (Akkuş, 2002).

Bugün, ülkemizde yaygın olarak bulunan bu enerji kaynağı henüz tam anlamıyla optimum bir şekilde kullanılmamaktadır. Bilindiği gibi jeotermal enerji içerdeği ısı miktarına göre entegre olarak kullanılabilmektedir. Ancak ülkemizde bu kullanım henüz uygulanamamakta ve bir anlamda kaynak israfı yapılmaktadır. Ülkemizde jeotermal enerjinin kullanıldığı alanlar şöyledir:

#### **-Elektrik Üretimi**

20 MWe kurulu güçe sahip Denizli-Kızıldere santrali günümüzde net 12 MWt elektrik üretmektedir. Aydın Germencik'te ise 100 MWe kurulu güçe ulaşmayı hedefleyen santral kurulması için girişimler sürdürülmemektedir. Elektrik üretimine uygun diğer sahalarda geliştirme çalışmalarının yapılması halinde bugünkü değerlendirmelere göre Türkiye'deki toplam elektrik üretimi 2010 yılında yaklaşık 500, 2020 yılında 1000 MWe'ye ulaşabileceğinin beklenmektedir (Şimşek ve diğ., 2001).

#### **- Konut Isıtması**

Ülkemizde bugün için Balıkesir-Gönen'de (20 MWt), Kırşehir'de (19MWt), Kütahya-Simav'da (33MWt), Ankara-Kızılıcahamam'da (17MWt), Nevşehir-Kozaklı'da (10MWt) ve İzmir-Balçova'da (Toplam 125MWt) kapasite ile merkezi sistem, konut ısıtması yapılmaktadır. Salihli, Çeşme, Dikili ve Sındırı'da ise yine merkezi sistem ısıtma için inşaatlar devam etmektedir. Bu sistemlerin dışında ülkemizin birçok yöresinde küçük çaplı bina ve sera ısıtmaları da yapılmaktadır (Akkuş, 2002).

### **-Sera Isıtması**

Balçova, Seferihisar, Afyon-Ömer, Sivas-Sıcak Çermik, Edremit-Havran, Sandıklı-Hüdar, Sındırıgı-Hisaralan, Dikili-Bergama'da uygulanmaktadır.

### **-Endüstriyel Uygulamalar**

Kızıldere'de jeotermal akışından 40.000 ton/yıl karbondioksit üretimi yapılmakta, Gönen'de deri tabaklama, Kızıldere-Sarayköy'de yün ağartmada yararlanılmaktadır.

### **-Termal Turizm ve Balneolojik Uygulamalar**

Balçova, Yalova, Afyon-Ömer-Sandıklı, Gönen, Haymana, Havza ve Bolu'da yapılmış modern tesislerde jeotermal kaynaktan yararlanarak söz konusu hizmetler verilmektedir.

Günümüzde jeotermal enerji, ülke ekonomisine büyük katkı sağlaması yanında olumlu çevresel etkileri nedeniyle gün geçtikçe önem kazanmaktadır. Jeotermal enerjinin kullanımı sonucunda fosil yakıtlarının tüketimi ve bunların kullanımından doğan sera etkisi ve asit yağmuru gazlarının etkisi azaltılmıştır. Jeotermal enerjiye dayalı modern jeotermal santrallerde  $\text{CO}_2$ ,  $\text{NO}_x$ ,  $\text{SO}_x$  atımı çok daha düşük olup özellikle merkezi ısıtma sistemlerinde sıfırdır (Şimşek ve diğ., 2001).

## **6.2 Jeotermal Enerjinin Dikili (İzmir) İlçesinde Kullanımı**

Dikili jeotermal alanları  $130^{\circ}\text{C}$  sıcaklık ile Türkiye'de elektrik üretimine uygun sahalar içerisinde yer almaktadır (Akkuş, 2002). Ancak sahada bugüne kadar elektrik üretimine yönelik bir çalışma yapılamamıştır. Isıtma kullanımı öncelikli bir sahadır. Dikili Bölgesi jeotermal alanında doğal çıkışlı suların toplam görünür ısı potansiyeli 47.000.000 Kcal/h'tır. Diğer taraftan Kaynarca ve öteki alanlarda mevcut kuyulardan 36.000.000 Kcal/h ısı üretimi olabilecektir. Sonuçta Dikili bölgesi

jeotermal alanlarında sondajlarla ve doğal çıkışlı olarak toplam 83.000.000 Kcal/h ısı potansiyeli vardır (Yilmazer, 2001). Bu kadar büyük jeotermal ısı potansiyeli olan bu bölgede, jeotermal enerjiden yararlanma ne yazık ki oldukça azdır.

Dikili jeotermal alanında bulunan sıcak sular önceki çağlardan günümüze kadar kaplıca amaçlı kullanılmıştır. İnceleme alanında bulunan Dikili Kaplicası sıcak suları Bölüm 5'de belirtildiği gibi sodyum bikarbonatlı ve sülfatlı olan çamurlu sularıdır. Sıcak sular etrafında bulunan ve peloid olarak adlandırılan çamurlar birçok ülkede balneolojik uygulamalarda kullanılmaktadır. Eski Yunanca'daki 'Pelos' kelimesinden türetilmiş olan 'Peloid' sözcüğü 'Fiziksel, kimyasal, biyolojik işlevlerle değişime uğrayarak tedavi edici özellikler kazanmış olan jeolojik ve biyolojik kökenli inorganik ve organik maddeler anlamında kullanılmaktadır'. Dikili Kaplicası sıcak çamurlu suları tıbbi tedavide özellikle dış uygulama tarzında değerlendirilebilecek özelliktedirler (Karagülle ve diğ., 1984).

Dikili ilçesinde jeotermal enerjiden bir başka faydalananma olanağı sera ısıtmacılığında kullanılmıştır. Bu amaçla bölgedeki özel arazilerde açılmış sondajlar mevcuttur. Seralarda yetiştirilen ürünler taze ve özellikle kurutularak değişik ülkelere ihrac edilmektedir.

Konut ısıtmacılığına uygun sıcaklıkta jeotermal akışkan içeren bu sahada son günlerde Dikili Belediyesi, Kaynarca jeotermal alanındaki sıcak su kaynaklarını kullanarak Dikili ve çevresini ısıtmaya yönelik proje çalışmaları başlatmıştır. Dikili İlçeleri ve çevresindeki sıcak sular ise termal turizm yönünde kullanılması düşünülmektedir.

Sonuç olarak inceleme alanı içerisindeki jeotermal alanların özellikle konut ısıtmacılığı, sera ısıtmacılığı, endüstride, termal turizm ve balneolojik uygulamalarda kullanımını bölgenin ekonomisine ve çevreye olumlu yönde katkı sağlayacaktır.

Jeotermal enerjinin doğru kullanılabilmesi için sahanın işletilebilir potansiyelinin ortaya çıkarılmasına yönelik gerekli geliştirme çalışmalarının yapılması, yeni

kuyuların açılması önerilmektedir. Üretim aşamasında her jeotermal alan için bir üretim modeli geliştirilmeli ve atık termal sular mutlaka reenjeksiyon kuyularından havzeye geri basılmalıdır.



---

## Bölüm 7

# SONUÇLAR

---

İnceleme alanında gözlenen Miyosen-Pliyosen yaşlı Yuntağ Volkanitleri üçe ayrılmıştır. En yaşlı birim Tersiyer yaşlı Yuntağ Volkaniti-I dir. Bunun üzerine sırasıyla Tersiyer yaşlı Demirtaş Piroklastikleri, Yuntağ Volkaniti-II, Yutdağ Volkaniti-III ve Kuvaterner yaşlı alüvyon gelir.

İnceleme alanı içerisindeki sıcak sular tektonizma ve volkanizmanın etkisindedir. Batı Anadolu plakasının doğudan batıya hareketi sırasında bölgede Miyosen ve Pliyosen zamanında açılma ve gerilme hareketleri sonucu oluşan grabenler ile tektonik zonlarda önemli jeotermal sistemler meydana gelmekte olup, Dikili – Kaynarca jeotermal alanları da bu graben sistemi içinde yer alan sahadır.

İnceleme alanında bulunan Yuntağ Volkaniti-I'de yaygın alterasyon gözlenir. Tektonik zonlarda ikincil gözeneklilik ve geçirgenlik arttığı için bu kayalar rezervuar özelliği kazanmışlardır. Alterasyon gözlenmeyen, düşük porozite özelliğine sahip Demirtaş piroklastikleri örtü kaya özelliğindedir. Çalışma alanı içerisinde yaygın olarak gözlenen Yuntağ Volkaniti-III ısıtıcı kaya özelliğindedir. Akifer özelliği taşıyan alüvyon yöredeki sulama sularının büyük bölümünü temin eder.

Çalışma alanı içinde bulunan jeotermal alanlar, Kozak Bölgesi'nden yeraltına süzülen meteorik suların derinlerde ısınıp, kırık ve faylar boyunca tekrar yüzeylemesi ile oluşan devirli sistem özelliğindedirler. Sıcak sular bu yükseltimleri sırasında belirli oranda soğuk yeraltı suları ile karışabilmektedirler.

İnceleme alanında yapılan önceki çalışmalarla örneklemiş olan en yeni ve ayrıntılı 32 sıcak su ve 5 soğuk su noktası analizleri alınmıştır. Mevcut su analiz değerleri Hydrowin 95 ve Watch 2.1 bilgisayar programlarına aktarılarak değerlendirilmiştir. Watch 2.1 kimyasal türleştirme programı ile her bir su noktasının akifer karakteristikleri ve mineral doygunlukları irdelenmiştir.

Dikili-Kaynarca jeotermal alanları içerisinde yapılan izotop analizleri değerlerine göre yöredeki sıcak suların tümü meteorik kökenli olup bu suların en az 50 yıllık bir çevriminin olduğu hesaplanmıştır. Kaynarca sularındaki  $^{18}\text{O}$  zenginleşmesi akışkanın yüksek entalpili bir havadan gelebileceğini gösterir.

Çalışma alanı içerisindeki Dikili İlicaları sıcak suları genellikle  $\text{Na}-\text{HCO}_3-\text{SO}_4$ , Kaynarca sıcak suları ise  $\text{Na}-\text{SO}_4-\text{HCO}_3$  sular sınıfındadır. Dikili İlicaları soğuk suları  $\text{Na}-\text{Ca}-\text{Mg}-\text{HCO}_3$ , Kaynarca soğuk suları ise  $\text{Na}-\text{Ca}-\text{SO}_4$  su tipinde olup, genellikle maden suyu özellikle dendirler. Dikili sahasında açılmış olan DG-3 kuyusu kimyasal analizinde  $\text{Cl}$  miktarının yüksek oluşu sahanın batı kesiminde denizden bir beslenmenin mümkün olabileceğini gösterir.

İnceleme alanındaki sıcak suların yüzey sıcaklıkları 30–100°C arasında değişmektedir. Çalışma alanındaki suların büyük bir çoğullığında su kayaç ilişkisi dengelenmemiştir. Bu da katyon jeotermometre uygulamalarının geçici olarak değerlendirilmesini gerektirir. Bir kısım sular ise kısmen dengelenmiş olup, 200°C hazne sıcaklığını gösteren doğru üzerinde yer alırlar. Bu dengelenme mineral denge-sıcaklık diyagramlarında da gözükmemektedir. Ancak mineral denge diyagramlarında çoğunlukla mineraller 120-150°C civarında sıfır doğrusunu kesmektedir (yani dengede olmaktadır).

Çeşitli jeotermometre yöntemleri ile hesaplanan hazne kaya sıcaklıkları Dikili için 100-120°C, Kaynarca için 130-150°C olarak hesaplanmıştır. Jeotermometre sonuçları bir bütün olarak değerlendirildiğinde, inceleme alanı içerisinde Dikili İlicalardan Kaynarca'ya doğru artan (yaklaşık 150°C) yüksek entalpili bir jeotermal havadan söz edilebilir.

Schoeller yarı logaritmik diyagramına göre bu alandaki sular benzer kökenlidir. İnceleme alanında bulunan suların sertlikleri yüksektir. Bu sular genellikle şüpheli kullanılamaz su sınıfındadır.

Çalışma alanındaki sular yüksek bor derişimine sahiptir. Bu nedenle bölgedeki suların kullanımı sırasında çevreye olan etkileri araştırılmalıdır. Bu sular tarımsal amaçlı sulama suyu olarak kullanılmamalıdır.

İnceleme alanı içerisindeki jeotermal alanların özellikle konut ısıtmacılığı, sera ısıtmacılığı, endüstride, termal turizm ve balneolojik uygulamalarda kullanımı bölgenin ekonomisine ve çevreye olumlu yönde etki sağlayacaktır.

Jeotermal enerjinin doğru kullanılabilmesi için sahanın işletilebilir potansiyelinin ortaya çıkarılmasına yönelik gerekli geliştirme çalışmalarının yapılması, yeni kuyuların açılması önerilmektedir. Üretim aşamasında her jeotermal alan için bir üretim modeli geliştirilmeli ve atık termal sular mutlaka reenjeksiyon kuyularından hazneye geri basılmalıdır.

---

Bölüm 8  
KAYNAKLAR

---

Akkuş, İ. (2002). Jeotermal Uygulamalar ve MTA. Jeothermal Enerji Araştırma ve Uygulama Merkezi (JENARUM) Yaz Okulu ders notları. İzmir, 1-33

Akyürek, B. & Soysal, Y. (1978). Bergama İzmir Civarının Jeolojisi. MTA, İzmir. Rapor No: 6432.

Arnórsson, S. (1978). Aquifer chemistry of four high temperature geothermal system in Iceland. Geochimica et Cosmochimica Acta, 42, 523-536

Arnórsson, S., Swarsson, H., (1982). The chemistry of waters in Iceland I. Calculation of aqueous speciation from 0°C to 370°C. Geochim. Cosmochim. Acta, 46, 1513-1532.

Arnórsson, S., Gunnlaugsson, E., Swarsson, N. (1983a), The chemistry of geothermometry in geothermal investigations. Geochimica et Cosmochimica Acta, 47, 567-577.

Arnórsson, S. (1983b). The use of mixing models and chemical geothermometers for estimating underground temperatures in geothermal systems. J. Volcanol. Geotherm. Res., V.23, pp.209-335.

Arnórsson, S., Gunnlaugsson, E., (1985). New gas thermometers for geothermal exploration and development. Geothermal Resources Council Trans., 9, 293-298.

Arnórsson, S. (1991). Geochemistry And Geothermal Resources In Iceland; in D'amore, F., Co-ordinator. Application of geochemistry in Geothermal Reservoir Development, UNITAR, U. S. A. , pp.145-196.

Back, W., (1996). Hydrochemical facies and groundwaterflow patterns in northern part of Atlantic Coastal Plain. U.S. Geology Survey Professional paper, 498-A, pp.42.

Başkan M. E.& Canik, B., (1983). IAH Map of mineral and thermal waters of Turkey Aegean Region: MTA, Ankara, rapor No. 189, pp.80

Bjarnason, J.O. (1994). The Speciation Program WATCH,version 2.1.Orkustofnun, Reykjavik, pp.7

Brusse, J.J. (1961). Contribution des Methods Geophysiques a la Peospection des Champs Geothermiques. Proceesings of U.N. Conference on New Sources of Energy, Rome, Italy.

Calmbach, L. (1995). Hydrowin-95 Comuter Programme, Version 3.0 Institut de Mineralogie BFSH2 1015 Lausanne.

Calvi, W.S. (1939). Dikili-Bergama Zelzele Mintikasında Yapılan Tatbikat Raporu. MTA, İzmir. Rapor No: 951.

Canik, B. (1998). Hidrojeoloji. A.Ü. Fen Fak. Ankara, 5, 105-117.

Craig H. ,(1961). Isotopic Variations in Meteoric Waters Science, 133, 1833-1834.

Çetiner, L., Pekatan, R., Çiçekli, K. (2000). Ege Bölgesinde Yer alan Önemli Jeotermal Sahalara Düzenlenen Teknik Gezi Rehberi. MTA, İzmir.

Eşder T. (1989). Kaynarca (Dikili- Bergama) Jeotermal Alanı İçerisinde Yer alan Kadir Çolak'a Ait Arazi ve Çevresinin Hidrojeolojik Etüdü, İzmir.

Filiz, Ş. (1982). Ege Bölgesindeki Önemli Jeotermal Alanların O<sup>18</sup>, H<sup>2</sup>, H<sup>3</sup>, C<sup>13</sup> İzotoplariyla İncelenmesi. Doçentlik Tezi. E.Ü.Y.B.F. (Yayınlanmamış).

Filiz Ş. & Tarcan, G. (1997). Bergama Kleopatra Kaplicasının Hidrojeolojik İncelenmesi. Selçuk Üniversitesi 20. Yıl Jeoloji Sempozyumu, Konya.

Filiz, Ş., Tarcan, G., Gemici, Ü. (2000). Dikili-Bergama (İzmir) Jeotermal Alanlarının Hidrojeolojik İncelenmesi. Türkiye Madencilik Kongresi Bildiri Metinleri Kitabı. MTA, Ankara, 487-508.

Ford, D.C. Williams, P.W.,(1989), Karst Geomorphology and Hydrology. Unwin Hyman Ltd London, pp. 601

Fouillac, C., Michard, G., (1981). Sodium/Lithium ratio in water applied to the geothermometry of geothermal waters. Geothermics, V.10, pp. 55-70.

Fournier, R. O. And Tuesdall, A. (1973). An Empirical Na-K-Ca Geothermometer for Naturel Waters. Geochim. et Geochim Acta, V 37.

Fournier, R.O., Truesdell, A.H., (1974), Geochemical indicators of subsurface temperture-part 2, Estimation of temperture and fraction of hot water mixed with cold water. U.S. Geological survey Journal of Resarch, V.2, no.3, pp. 263-270

Fournier, R.O. (1977) A Review of Chemical and Isotopic Geothermometers for Geothermal Systems In: Proceeding of the Symp. On Geoth. Energy. Centro Scientific Programme, Ankara, pp.133-143

Fournier, R.O. (1979a). A Revised Equation for the Na-K Geothermometer. Geothermal Res. Council Trans., 3, 221-224

- Fournier, R.O., (1979b), Geochemical and hydrological considerations and the use of enthalpy-chloride diagrams in the prediction conditions in hot-spring systems. Journal of Volcanology and Geothermal Research, 5, 1-16.
- Fournier, R. O and Potter R.W. (1979). Magnesium Correction to the Na-K-Ca Chemical Geothermometer. Geochim et Cosmochim Acta, 37, 1255-1275.
- Fourneir, R. O. And Potter R.W. (1982). A Revised and Expanded Silice (Quartz) Geothermometer. Geothermal Research Council Bull. V.11. pp. 9.
- Fourneir, R.O., (1990)., The interpretation of Na-K-Mg relation in geothermal waters. Geoth.Res.Counc. Trans., 14, 1421-1425.
- Fournier, R.O. (1991). Water Geotermometers Applied to Geothermal Energy; in D'amore, F., Co-ordinator. Application of geochemistry in Geothermal Reservoir Development, UNITAR, U. S. A., pp. 37-69..
- Giggenbach, W.F. Gonfiantini, R., Jangi, B.L. & Truesdell, A.H.,( 1983.) Isotopic and Chemical Composition of Parbati Walley Geothermal Discharges, NW Himalaya, Indiana Geothermics, 5, 51-62
- Giggenbach, W.F. (1998). Geothermal Solute Equilibria. Derivation of Na-K-Mg-Ca Geoindicators. Geochimica et Cosmochimica Acta, 52, 2749-2765.
- Güleç, N.&Mutlu, H. (2002). Jeotermal Alanlarda İzotop Jeokimyası. Jeotermal Enerji ve Araştırma ve Uygulama Merkezi (Jenarum) Yaz Okulu ders notları, Izmir, 74-101.
- I.A.E.A.(1981), Stable Isotope Hydrology, deuterium and Oxygen-18 in Water Cycle. Ed. J.R. Gat and R. Gonfiantini-International Atomic Energy Agency Technical Reports, No: 210, Vienno, 339 pp.

I.Ü.T.F. (1971), Türkiye Maden Suları- İstanbul.

Janik, H. C., Goffy, F., Fahlquist, L., Adams, A.I., Roldan, M. A., Chipera, J. S., Trujillo, P. E. & Counce, D., (1992). Hydrogeochemical exploration of geothermal prospects in the Tecuamburro volcano region, Guatemala. Geothermics., 21 (4), 447-481.

Jeckelmann, C. (1998). Genese Lokaler Thermal Wasser Vorkommen in der Region Bergama/W-Türkei, Doktor der Naturwissenschaften der Eidgenössischen Technischen Hochschule, Zurich. (Doktora Tezi, Almanca, İngilizce Özeti).

Karagülle, M. Z., Gürdal, O. H., Yüzbaşıoğlu, N. & Karaçallık, A. (1984). Türkiye'de romatizmal hastalıklarda kaplıca tedavisi kullanımı üzerine anket. Tib. Ekol. Hidro-Klim. Der., 2, 63-70.

Khraka, Y.K., Lico, M.S., Law, L. M. (1982). Chemical thermometers applied to formation waters, Gulf of Mexico and California Basins. Am. Assoc. Petrol. Geol. Bull., 66, 558.

Khraka, Y.K., Gunter, W.D., Aggarwall, P.K., Perkins, E.H., & De Braal, J.D. (1988). Solmineq. 88: A computer Program Code for Geochemical Modelling of water-Rock Iteractions. I.S n: U. Geological Survey Water Investigations Report 88-05.

Khraka, Y.K. & Mariner, R.H. (1989). Chemical Geothermometers and their Application to formation waters from sedimentary basins. In. N. D. Naser & T. H. Mc Culloch (Eds.), Thermal History of Sedimentary Basins; Methods and Case Histories, pp. 99-117. Springer Verlag.

M.T.A.-J.I.C.A., (1986), Pre-Feasibility Study on the Dikili Bergama Geothermal Development Project in the Republic of Turkey. Progress Report I, MTA, Ankara.

MTA-JICA, (1987), Pre-Feasibility Study on the Dikili Bergama Geothermal Development Project in the Republic of Turkey. Progress Report II, Final Report, M.T.A., Ankara.

Muthu, H. (1999). Kimyasal Modellemedeki Temel Prensipler. JENARUM (Jeotermal Enerji Araştırma ve Uygulama Merkezi Yaz Okulu Ders Notları), İzmir, 38-54.

Nieva,D. & Nieva, R.,(1987),Development in Geothermal Energy in Mexico, par 12-A Cationic Composition Geothermometer for Prospection of Geothermal Resources. Heat Recovery Systems and CHP, 7, 243-258.

Öngür, T. (1972). Dikili- Bergama Jeotermal Araştırma Sahasına İlişkin Jeoloji Raporu, M.T.A.

Özen T. & Tarcan, G.,( 2001). Dikili (İzmir) İlicaları, Çevresinin Hidrojeolojik ve Hidrojeokimyasal Açıdan Değerlendirilmesi. 1. Yeraltı Suları ve Çevre Sempozyumu Bildiri Kitabı, İzmir, 351-361.

Özündoğu, S. (1988) Dikili-Kaynarca Jeothermal Sahası Testleri. M.T.A. Raporu İzmir.

Reed, M.,Spycher, N., 1984, Calculation of plt and mineral equilibria in hydrothermal waters with application to geothermometry and stydies of boiling and dilution Geochim-Cosmochim. Acta 48, 1479-1492

Soydars, C. (1991). Batı Anadolu Sıcak Su, Maden Suyu ve İçmelerin Kimyasal Analizleri. M.T.A. Petrol ve Jeotermal Enerji Dairesi Arşivi.

Şahinci, A. (1991a). Jeotermal Sistemler ve Jeokimyasal Özellikleri. D.E.Ü. Müh.-Mim. Yayınları, İzmir, 83-131.

Şahinci, A. (1991b), Doğal Suların Jeokimyası, D.E.Ü. Müh. Mim. Fak. Yayınları, İzmir, 175-244.

Şimşek, Ş., Mertoğlu, O., Koçal, A., Dokuz, İ., Bakır, N., Durak, S., Dilemre, A., Şahin, H., Aklıllı, H., Suludere, Y., Karakaya, C., Tan, E.(2001). "D.P.T. 8. Beş yıllık Kalkınma Planı Jeotermal Enerji Çalışma Grubu Raporu", Ankara.

Tarcan, G., (2002). Jeotermal Su Kimyası. Jeotermal Enerji ve Araştırma ve Uygulama Merkezi (Jenarum) Yaz Okulu ders notları, İzmir, 230-272

Tonanni, F. (1980). Some remarks of the application of geochemical techniques in geothermal exploratin. Proceedings, Adv. Eur. Geoth. Res. Second Symp., Strasbourg, 428-443.

Truesdell, A. H. (1976). Summary of section III geochemical techniques in geothermal exploration. In: Proceedings. II: United Nations Syposium on the Devalopment and Use of Geothermal Resources. San Francisco, 1975, Vol.1, Washington D. C., U. S. Goverment Printing Office, iiiii-xxxxix.

Türkiye Maden Suları. (1975). İstanbul Üniversitesi Tıp Fakültesi Hidroklimatoloji Kürsüsü , Ege Bölgesi, cilt 3, 112-123.

White, D. E. (1970). Geochemistry applied to the discovery evaluation and exploration of geothermal resurces. Proc. U. N. Symp. On the Devalopment and Utilization of Geothermal Resources, pisa, 1970, Geothermics. Spec. Issue, V.2, n.1,pp. 58-80.

Yılmazer, S. & Can, A.R. (1978). Dikili-Bergama Gradyan Sondajları Değerlendirme Raporu. Rapor No: 0534, MTA., İzmir.

Yılmazer, S.(1978). Dikili-Bergama jeotermal alanı, Ayvalık-J 17-c paftasının jeolojisi ve hidrojeoşimisi. M.T.A. Enerji Dairesi, Rapor No: 111

Yılmazer, S. (1982). Kozak (İzmir-Bergama) Çevresinde Sıcak Gerdanlık.  
Yeryuvarı ve İnsan, V.7.

Yılmazer, S. (1984). Dikili- Bergama (İzmir) Geothermal Field of Turkey, Seminar  
 On Utilization of Geothermal Energy for Electric Power Production and Space  
 Heating, Florence (Italy).

Yılmazer, S. (1984). Ege Bölgesindeki Bazı Sıcak Su Kaynaklarının Hidrokimyasal  
 ve Hidrojeolojik İncelemeleri. Yüksek Lisans Tezi, D.E.Ü. Fen Bilimleri  
 Enstitüsü, İzmir.

Yılmazer, S. & Özgüler, M.E (1986). Geological and Geophysical Studies in the  
 Dikili Bergama (İzmir) Geothermal Field of Turkey. MTA, Ankara.

Yılmazer, S. & Gevrek, A.İ. (1990). Dikili (İzmir) Jeotermal Sistemi ve Yöre  
 Sularının Isıtımada Kullanılması, Türkiye 5. Enerji Kongresi Teknik Oturum  
 Tebliğleri, Cilt no:2, Ankara.

Yılmazer, S., Gevrek, A.İ., Aydın, N. (1990). Surface and Subsurface Hydrothermal  
 Alteration Studies of Volcanic Rocks in Dikili Bergama (İzmir) Area. 4nt Earth  
 Sciences Congress on Aegean Regions, 1-61 October, 1990, İzmir, Proceedings,  
 vol.2, pp. 474-484.

Yılmazer, S. (2001). Kıyı Ege ve İzmir İlindeki Jeotermal Kaynakların  
 Değerlendirilmesi. Birinci Yeraltı Suları ve çevre sempozyumu bildiri kitabı,  
 İzmir, 371-381

Yılmazer, S. (6 Haziran 2002). (Sözlü Görüşme).

# EK

İnceleme Alanındaki Su Örneklerinin  
Watch 2.1 Bilgisayar Programı İle Hazırlanan  
Jeokimyasal Hesaplamaları

□

ICELANDIC WATER CHEMISTRY GROUP

Örnæk no 1 dikili Ilicassi

Program WATCH, temporary version / Feb-1997

Steam loss at 100.0 deg.C assumed, before sampling  
Steam loss fraction : .0165

Water sample (mg/kg)	Steam sample Gas (volume %)	Degassing coeff. at sampling : 1.0000	Gas pressures (bar-abs.)
pH/deg.C 7.30/ 30.0	CO2 784.80	Reference temperature deg.C : 108.8 (Chalcedony)	CO2 .157E+02
H2S .01	H2S .00	Sampling pressure bar abs. : 1.0	H2S .406E-04
NH3 .00	NH3 .00	Discharge enthalpy kJ/kg : 456. (Calculated)	NH3 .000E+00
B .00	H2 .00	Discharge kg/s : .0	H2 .000E+00
SiO2 99.00	O2 .00	Steam fraction at collection : .0000	
Na 660.00	CH4 .00	Measured temperature deg.C : 65.0	
K 42.00	N2 .00		
Mg 7.400			
Ca 37.00	Liters gas per kg condensate/deg.C .00/ .0	Condensate (mg/kg) pH/deg.C CO2 .00/ .0	
F 5.800			
Cl 97.70			
SO4 564.00	Total steam (mg/kg) CO2 .00		
Al 040			
Fe 1.000	H2S .00		
TDS 2212.00	NH3 .00		
Ionic strength = .03757			
Ionic balance : Cations (mol.eq.) = .03163524	Anions (mol.eq.) = .03047157	Difference (%) = 3.75	
Deep water components (mg/kg)	Deep steam (mg/kg)		
B .00	CO2 7331.93	CO2 .00	
SiO2 97.37	H2S .05	H2S .00	
Na 649.11	NH3 .00	NH3 .00	
K 41.31	H2 .00	H2 .00	

Mg	7.278	O2	.00	O2	.00	O2	.000E+00
Ca	36.39	CH4	.00	CH4	.00	CH4	.000E+00
F	5.704	N2	.00	N2	.00	N2	.000E+00
Cl	96.09					H2O	.138E+01
SO4	554.69					Total	.171E+02
Al	.0393						
Fe	.983						
TDS	2175.49	Aquifer steam fraction	=	.0000			

Ionic strength = .03547  
 Ionic balance : Cations (mol.eq.) = .03039615  
 Oxidation potential (volts) : Eh H2S= -.185  
 Eh H2= 99.999  
 Eh NH3= 99.999

Chemical geothermometers (degrees C)  
 Quartz 135.8 (Fournier & Potter, GRC Bulletin, pp. 3-12, Nov. 1982)  
 Chalcedony 108.8 (Fournier, Geothermics, vol. 5, pp. 41-50, 1977)  
 Na/K 152.3 (Arnorsson et al., Geochim. Cosmochim. Acta, vol. 47, pp. 567-577, 1983)

Aquifer steam fraction = .0000

1000/T (Kelvin) = 2.62  
 Anions (mol.eq.)=.02924816 Difference (%)= 3.85  
 Eh CH4= 99.999  
 Eh NH3= 99.999

Activity coefficients in deep water

H+	.842	KSO4-	.818	Fe++	.463	FeCl+	.806
OH-	.802	F-	.802	Fe+++	.219	Al+++	.219
H3SiO4-	.806	Cl-	.797	FeOH+	.815	AlOH++	.453
H2SiO4--	.453	Na+	.806	Fe(OH)3-	.815	Al(OH)2+	.818
H2BO3-	.792	K+	.797	Fe(OH)4--	.446	Al(OH)4-	.811
HCO3-	.806	Ca++	.463	Fe(OH)++	.446	AlSO4+	.811
CO3--	.437	Mg++	.494	Fe(OH)2+	.818	Al(SO4)2-	.811
HS-	.802	CaHCO3+	.822	Fe(OH)4-	.818	AlF++	.453
S--	.446	MgHCO3+	.806	FeSO4+	.815	AlF2+	.818
HSO4-	.811	CaOH+	.822	FeCl++	.446	AlF4-	.811
SO4--	.428	MgOH+	.826	FeCl2+	.815	AlF5--	.437
NaSO4-	.818	NH4+	.792	FeCl4-	.806	AlF6---	.15

Örnek no 1

Chemical species in deep water - ppm and log mole

Deep water pH is 5.368



Epidote	-42.891	-51.499	Marcasite	-117.707	-121.189	Talc	15.055
Chrysotile	22.941	13.857	Sil. amorph.	-2.173	-2.791		8.275

örnek no 2 dikili İllıcası

Steam loss at 100.0 deg.C assumed, before sampling.

Steam loss fraction :

	Water sample (mg/kg)	Gas (volume %)	Steam sample	Degassing coeff. at sampling	Reference temperature deg.C	Degassing coeff. at sampling	Reference temperature deg.C
pH/deg.C	7.30 / 30.0						
CO2	820.80	CO2	.00				
H2S	.01	H2S	.00				
NH3	.00	NH3	.00				
B	.00	H2	.00				
SiO2	109.00	O2	.00				
Na	570.00	CH4	.00				
K	41.00	N2	.00				
Mg	8.600						
Ca	43.00						
F	5.500						
Cl	102.50						
SO4	481.00						
Al	.110	Total steam (mg/kg)					
Fe	5.000	CO2	.00				
TDS	2174.00	H2S	.00				
		NH3	.00				

Measured temperature deg.C : 40.0

Liters gas per kg  
condensate/deg.C .00 / .0

	Liters gas per kg condensate/deg.C	Condensate (mg/kg)	PH/deg.C	Condensate (mg/kg)	PH/deg.C
C1	102.50				
SO4	481.00				
Al	.110				
Fe	5.000				
TDS	2174.00				

Ionic strength = .03479

Ionic balance : Cations (mol.eq.) = .02820839

Difference (%) = -4.74

Deep water components (mg/kg)

	Deep steam (mg/kg)	Anions (mol.eq.)	Gas pressures (bar-abs.)
B	.00	CO2	CO2 .274E+02
SiO2	106.10	H2S	H2S .640E-04
Na	554.86	NH3	NH3 .000E+00
K	39.91	H2	H2 .000E+00

Mg	8.372	.02	.00	O2	.02	.000E+00
Ca	41.86	CH4	.00	CH4	.00	.000E+00
F	5.354	N2	.00	N2	.00	.000E+00
C1	99.78			H2O	.165E+01	
SO4	468.22			Total	.290E+02	
Al	.1071					
Fe	4.8672	Aquifer steam fraction =	.0000			
TDS	2116.26					
Ionic strength =	.03221					
Ionic balance :	Cations (mol.eq.) = .026666240	Anions (mol.eq.) = .02798492				
Difference (%) = -4.84						
Oxidation potential (volts) : Eh H2S= -.177	Eh CH4= 99.999	Eh H2= 99.999	Eh NH3= 99.999			

Chemical geothermometers (degrees C)  
 Quartz 140.7 (Fournier & Potter, GRC Bulletin, pp. 3-12, Nov. 1982)  
 Chalcedony 114.2 (Fournier, Geothermics, vol. 5, pp. 41-50, 1977)  
 Na/K 164.3 (Arnorsson et al., Geochim. Cosmochim. Acta, vol. 47, pp. 567-577, 1983)

örnek no 2

#### Activity coefficients in deep water

H+	.845	KSO4-	.821	Fe++	.470	FeCl+	.811
OH-	.806	F-	.806	Fe+++	.225	Al+++	.225
H3SiO4-	.811	Cl-	.802	FeOH+	.818	AlOH++	.460
H2SiO4--	.460	Na+	.811	Fe(OH)3-	.818	Al(OH)2+	.821
H2BO3-	.797	K+	.802	Fe(OH)4--	.453	Al(OH)4-	.815
HCO3-	.811	Ca++	.470	Fe(OH)++	.453	AlSO4+	.815
CO3--	.445	Mg++	.500	Fe(OH)2+	.821	Al(SO4)2-	.815
HS-	.806	CaHCO3+	.826	Fe(OH)4-	.821	AlF++	.460
S--	.453	MgHCO3+	.811	FeSO4+	.818	AlF2+	.821
HSO4-	.815	CaOH+	.826	FeCl++	.453	AlF4-	.815
SO4--	.436	MgOH+	.829	FeCl2+	.818	AlF5---	.445
NaSO4-	.821	NH4+	.797	FeCl4-	.811	AlF6---	.162

Chemical species in deep water - ppm and log mole

Deep water pH is 5.182

.01	-5.109	Mg++	3.20	-3.881	.00	-9.862
.00	-6.776	NaCl	.73	-4.901	.00	-11.549
169.68	-2.753	KCl	.01	-6.724	.06	-6.148
.04	-6.365	NaSO4-	26.56	-3.652	.00	-18.132
.00	-11.886	KSO4-	5.79	-4.368	.00	-17.294
.01	-7.066	CaSO4	22.68	-3.778	.00	-19.498
.00	.000	MgSO4	22.52	-3.728	.00	-22.801
.00	.000	CaCO3	.04	-6.348	.00	-26.635
15766.57	-.595	MgCO3	.00	-7.470	2.55	-4.775
988.89	-1.790	CaHCO3+	41.04	-3.392	.00	-15.173
.02	-6.514	MgHCO3+	2.20	-4.589	.00	-11.891
.07	-5.705	CaOH+	.00	-8.785	.00	-9.821
.00	-7.011	MgOH+	.00	-8.303	.00	-8.346
.00	-17.514	NH4OH	.00	.000	.00	-7.666
.00	-11.677	NH4+	.00	.000	.00	-8.237
2.23	-4.638	Fe++	3.87	-4.160	.00	-11.517
404.88	-2.375	Fe+++	.00	-17.567	.00	-12.093
.26	-4.890	FeOH+	.03	-6.370	.00	-8.293
4.90	-3.589	Fe(OH)2	.00	-10.003	.05	-6.098
99.30	-2.553	Fe(OH)3-	.00	-14.817	.24	-5.540
549.44	-1.622	Fe(OH)4--	.00	-22.102	.03	-6.609
38.23	-3.010	Fe(OH)++	.00	-13.152	.00	-8.676
18.89	-3.327	Fe(OH)2+	.00	-10.461	11.711	

Log solubility products of minerals in deep water

Theor.	Calc.	Theor.	Calc.	Theor.	Calc.
-19.691 Albite, low	-16.010	-18.298	Analcime	-12.847	-15.545
-9.690 -10.521	Chalcedony	-2.733	Anhydrite	-5.812	-6.390
-11.020 Goethite	-4.136	-4.765	Mg-Chlorite	-80.015	-100.774
-26.563 -31.319	Microcline	-17.981	Fluorite		-
-98.356 K-Montmor.	-39.928	-50.456	Magnetite	-28.617	-27.756
			Ca-Montmor.	-83.626	-98.884

Na-Montmor.	-39.984	-49.064	Muscovite	-20.381	-22.604	Prehnite	-36.368	-45.958
Pyrrhotite	-92.714	-100.468	Pyrite	-136.757	-112.693	Quartz	-2.972	-2.753
Wairakite	-24.387	-31.319	Wollastonite	10.405	3.956	Zoisite	-35.611	-47.415
Epidote	-42.463	-50.723	Marcasite	-114.166	-112.693	Talc	14.732	7.533
Chrysotile	22.530	13.039	Sil. amorph.	-2.146	-2.753			

örnek no 3

dikili Ilicasi

Steam loss at 100.0 deg.C assumed, before sampling.		Steam loss fraction		: .0186
Water sample (mg/kg)	Steam sample	Degassing coeff. at sampling		: 1.0000
pH/deg.C	7.30/ 30.0	Gas (volume %)		Reference temperature deg.C : 109.9 (chalcedony)
CO2	820.80	CO2	.00	
H2S	.14	H2S	.00	Sampling pressure bar abs. : 1.0
NH3	.00	NH3	.00	Discharge enthalpy kJ/kg : 461. (Calculated)
B	.00	H2	.00	Discharge kg/s : .0
SiO2	101.00	O2	.00	Steam fraction at collection : .0000
Na	585.00	CH4	.00	
K	43.00	N2	.00	Measured temperature deg.C : 40.0
Mg	6.900	Liters gas per kg condensate/deg.C	.00 / .0	Condensate (mg/kg) pH/deg.C
Ca	47.00			CO2 .00 / .0
F	5.400			H2S .00 / .0
Cl	103.40	Total steam (mg/kg)		NH3 .00 / .0
SO4	481.00	CO2 .00		
Al	.090	H2S .00		
Fe	2.700	NH3 .00		
TDS	2700.00			
Ionic strength = .03516				
Ionic balance : Cations (mol.eq.) = .02890295		Anions (mol.eq.) = .02961551		
Difference (%) = -2.44				
Deep water components (mg/kg)				Gas pressures (bar-abs.)
B	.00	CO2 .00		CO2 .187E+02
SiO2	99.12	H2S .73		H2S .639E-03

Na	574.13	NH3	.00	NH3	.00	NH3	.000E+00
K	42.20	H2	.00	H2	.00	H2	.000E+00
Mg	6.772	O2	.00	O2	.00	O2	.000E+00
Ca	46.13	CH4	.00	CH4	.00	CH4	.000E+00
F	5.300	N2	.00	N2	.00	N2	.000E+00
C1	101.48					H2O	.143E+01
SO4	472.06					Total	.202E+02
Al	.0883						
Fe	2.6498						
TDS	2649.84	Aquifer steam fraction =	.0000				

Ionic strength = .03294  
 Ionic balance : Cations (mol.eq.) = .02760738 Anions (mol.eq.) = .02829827  
 Difference (%) = -2.47

Oxidation potential (volts) : Eh H2S= -.194 Eh CH4= 99.999 Eh H2= 99.999 Eh NH3= 99.999

Chemical geothermometers (degrees C)  
 Quartz 136.8 (Fournier & Potter, GRC Bulletin, pp. 3-12, Nov. 1982)  
 Chalcedony 109.9 (Fournier, Geothermics, vol. 5, pp. 41-50, 1977)  
 Na/K 166.5 (Arnorsson et al., Geochim. Cosmochim. Acta, vol. 47, pp. 567-577, 1983)

Örnek no 3

#### Activity coefficients in deep water

H+	.845	KSO4-	.822	Fe++	.471	FeCl+	.811
OH-	.807	F-	.807	Fe+++	.226	Al+++	.226
H3SiO4-	.811	Cl-	.802	FeOH+	.819	AlOH++	.461
H2SiO4--	.461	Na+	.811	Fe(OH)3-	.819	Al(OH)2+	.822
H2BO3-	.798	K+	.802	Fe(OH)4--	.455	Al(OH)4-	.815
HCO3-	.811	Ca++	.471	Fe(OH)++	.455	AlSO4+	.815
CO3--	.446	Mg++	.502	Fe(OH)2+	.822	Al(SO4)2-	.815
HS-	.807	CaHCO3+	.826	Fe(OH)4-	.822	AlF++	.461
S--	.455	MgHCO3+	.811	FeSO4+	.819	AlF2+	.822

	Theor.	Calc.	Theor.	Calc.	Theor.	Calc.
HSO4-	v	.815	CaOH+	.826	FeCl4+	.815
SO4--		.437	MgOH+	.830	FeCl2+	.446
NaSO4-		.822	NH4+	.798	FeCl4-	.163
H+		.01	-5.246	Mg++	-3.958	
OH-		.00	-6.699	NaCl	.72	-4.911
H4SiO4		158.50	-2.783	KCl	.01	-6.719
H3SiO4-		.05	-6.281	NaSO4-	26.61	-3.651
H2SiO4--		.00	-11.676	KSO4-	5.90	-4.360
NaH3SiO4		.01	-6.968	CaSO4	24.77	-3.740
H3BO3		.00	.000	MgSO4	17.74	-3.832
H2BO3-		.00	.000	CaCO3	.06	-6.189
H2CO3		11048.56	-.749	MgCO3	.00	-7.429
HCO3-		995.51	-1.787	CaHCO3+	43.05	-3.371
CO3--		.03	-6.363	MgHCO3+	1.79	-4.679
H2S		.69	-4.696	CaOH+	.00	-8.669
HS-		.05	-5.865	MgOH+	.00	-8.325
S--		.00	-16.274	NH4OH	.00	.000
H2SO4		.00	-12.047	NH4+	.00	.000
HSO4-		1.45	-4.827	Fe++	2.11	-4.423
SO4--		412.47	-2.367	Fe+++	.00	-18.146
HF		.17	-5.062	FeOH+	.02	-6.576
F-		4.96	-3.583	Fe(OH)2	.00	-10.165
Cl-		101.02	-2.545	Fe(OH)3-	.00	-14.957
Na+		568.71	-1.607	Fe(OH)4--	.00	-22.152
K+		40.49	-2.985	Fe(OH)++	.00	-13.681
Ca++		21.74	-3.266	Fe(OH)2+	.00	-10.959
Chemical species in deep water - ppm and log mole						
Deep water pH is 5.319						
Fe(OH)3					.00	-10.298
Fe(OH)4-					.00	-11.892
FeCl+					.03	-6.451
FeCl2					.00	-18.743
FeCl++					.00	-17.950
FeCl2+					.00	-20.149
FeCl3					.00	-23.462
FeCl4-					.00	-27.315
FeSO4					1.37	-5.044
FeSO4+					.00	-15.823
Al+++					.00	-11.897
AlOH++					.00	-9.778
Al(OH)2+					.00	-8.242
Al(OH)3					.00	-7.491
Al(OH)4-					.00	-7.972
AlSO4+					.00	-11.548
Al(SO4)2-					.00	-12.133
AlF++					.00	-8.336
AlF2+					.04	-6.171
AlF3					.20	-5.629
AlF4-					.02	-6.705
AlF5--					.00	-8.770
AlF6---					.00	-11.788

Log solubility products of minerals in deep water

Adularia	-16.850	-19.490	Albite, low	-16.146	-18.107	Analcime	-12.947	-15.324
Anhydrite	-5.749	-6.319	Calcite	-9.613	-10.306	Chalcedony	-2.764	2.783
Mg-Chlorite	-80.082	-100.093	Fluorite	-10.528	-10.945	Goethite	-4.300	-5.186
Laumontite	-26.739	-30.846	Microcline	-18.158	-19.490	Magnetite	-28.944	-28.704
Ca-Montmor.	-83.296	-96.167	K-Montmor.	-40.413	-49.368	Mg-Montmor.	-84.491	-96.832
Na-Montmor.	-40.456	-47.985	Muscovite	-20.598	-22.029	Prehnite	-36.478	-45.239
94.844	-94.604	Pyrite	-139.814	-101.064	Quartz	-3.010	-2.783	Wairakite
Wollastonite	10.527	4.262	Zoisite	-35.683	-46.508	Epidote	-42.803	-50.425
116.976	-101.064	Talc	14.988	8.008				Marcasite
Chrysotile	22.856	13.573	Sil. amorph.	-2.167	-2.783			-
örnek no 4 dikili Ilıcası								
Steam loss at 100.0 deg.C assumed, before sampling								
Steam loss fraction	:	.0165	Steam sample		Degassing coeff. at sampling	:	1.0000	
Water sample (mg/kg)			Gas (volume %)		Reference temperature			
pH/deg.C	7.10 /	30.0			deg.C :	108.8 (Chalcedony)		
CO2	748.80	CO2	.00					
H2S	.01	H2S	.00		Sampling pressure	bar abs. :	1.0	
NH3	.00	NH3	.00		Discharge enthalpy	kJ/kg :	456. (Calculated)	
B	.00	H2	.00		Discharge	kg/s :	.0	
SiO2	99.00	O2	.00		Steam fraction at collection	:	.0000	
Na	555.00	CH4	.00					
K	38.00	N2	.00		Measured temperature	deg.C :	66.0	
Mg	6.900							
Ca	42.00	Liters gas per kg						
F	5.400	condensate/deg.C	.00 /	.0	Condensate (mg/kg)			
C1	87.10				pH/deg.C	.00 /	.0	
SO4	465.00	Total steam (mg/kg)			CO2	.00		
Al	.100	CO2	.00		H2S	.00		
Fe	1.100	H2S	.00		NH3	.00		
TDS	1952.00	NH3	.00		Na	.00		

Ionic strength = .03255

Ionic balance : Cations (mol.eq.) = .02723663 Anions (mol.eq.) = .02659845  
 Difference (%) = 2.37

	Deep water components (mg/kg)	Deep steam (mg/kg)	Gas pressures (bar-abs.)
B	.00	CO2 9951.42	.00 CO2 .221E+02
SiO2	97.36	H2S .06	H2S .562E-04
Na	545.83	NH3 .00	NH3 .000E+00
K	37.37	H2 .00	H2 .000E+00
Mg	6.786	O2 .00	O2 .000E+00
Ca	41.31	CH4 .00	CH4 .000E+00
F	5.311	N2 .00	N2 .000E+00
Cl	85.66		H2O .138E+01
SO4	457.32		Total .235E+02
Al	.983		
Fe	1.0818	Aquifer steam fraction = .0000	
TDS	1919.75		

Ionic strength = .03058  
 Ionic balance : Cations (mol.eq.) = .02609204 Anions (mol.eq.) = .02546022  
 Difference (%) = 2.45  
 Oxidation potential (volts) : Eh H2S= -.170 Eh CH4= 99.999 Eh H2= 99.999 Eh NH3= 99.999

Chemical geothermometers (degrees C)  
 Quartz 135.8 (Fournier & Potter, GRC Bulletin, pp. 3-12, Nov. 1982)  
 Chalcedony 108.8 (Fournier, Geothermics, vol. 5, pp. 41-50, 1977)  
 Na/K 159.7 (Arnorsson et al., Geochim. Cosmochim. Acta, vol. 47, pp. 567-577, 1983)

Örnek no 4

Activity coefficients in deep water

H+	.849	KSO4-	.827 Fe++	.482 FeCl+
OH-	.813	F-	.813 Fe+++	.235 Al+++
H3SiO4-	.817	Cl-	.808 FeOH+	.472 AlOH++

Chemical species in deep water - ppm and log mole		Deep water pH is 5.181	
H2SiO4--	.472	Na+	.817
H2BO3-	.804	K+	.808
HCO3-	.817	Ca++	.482
CO3--	.458	Mg++	.511
HS-	.813	CaHCO3+	.831
S--	.466	MgHCO3+	.817
HSO4-	.821	CaOH+	.831
SO4--	.449	MgOH+	.834
NaSO4-	.827	NH4+	.804
		FeCl4-	.817
		AlF6---	.173
		Al(OH)2+	.827
		Al(OH)4--	.821
		AlSO4+	.821
		Al(SO4)2-	.821
		AlF++	.472
		AlF2+	.827
		AlF4-	.821
		AlF5--	.458
		AlF6---	.0
		Fe(OH)3-	.824
		Fe(OH)4--	.466
		FeSO4+	.824
		FeCl1++	.466
		FeCl12+	.824
		FeCl4-	.458
		FeCl6---	.173
		Fe(OH)3	.0
		Fe(OH)4-	.0
		FeCl1+	.0
		FeCl12	.0
		FeCl1++	.0
		FeCl12+	.0
		FeCl13	.0
		FeCl14-	.0
		FeSO4	.57
		FeSO4+	.0
		Al1+++	.0
		AlOH++	.0
		Al(OH)2+	.0
		Al(OH)3	.0
		AlF++	.0
		AlF2+	.0
		AlF3	.22
		AlF4-	.02
		AlF5--	.0

Ca++ 20.48 -3.292 Fe(OH)2+ .00 -11.367 AlF6--- .00 -11.771

### Log solubility products of minerals in deep water

	Theor.	Calc.	Theor.	Calc.	Theor.	Calc.	Theor.	Calc.
Adularia	-16.890	-20.101	Albite, low	-16.182	-18.688	Analcime	-12.974	-15.897
Anhydrite	-5.733	-6.336	Calcite	-9.593	-10.515	Chalcedony	-2.772	-2.791 Mg-Chlorite -
80.102	-102.347	Fluorite	-10.529	-10.967	Goethite	-4.342	-5.744	
Laumontite	-26.785	-31.970	Microcline	-18.205	-20.101	Magnetite	-29.028	-30.507
Ca-Montmor.	-83.532	-102.052	K-Montmor.	-40.542	-52.351	Mg-Montmor.	-84.722	-102.686
Na-Montmor.	-40.582	-50.938	Muscovite	-20.655	-23.410	Prehnite	-36.509	-46.678
Pyrrhotite	-95.392	-108.853	Pyrite	-140.604	-121.019	Quartz	-3.019	-2.791
Wairakite	-24.500	-31.970	Wollastonite	10.559	3.963	Zoisite	-35.703	-48.333
Epidote	-42.891	-52.422	Marcasite	-117.701	-121.019	Talc	15.054	7.195
Chrysotile	22.941	12.776	Sil. amorph.	-2.173	-2.791			

örnek no 5

dikili İlicası

Steam loss at 100.0 deg.C assumed, before sampling.

Water sample (mg/kg) pH/deg.C	7.00/ 30.0	Steam sample Gas (volume %)	Steam loss fraction Degassing coeff. at sampling	deg.C : 100.000
CO2	7.63-20	CO2 .00	Reference temperature deg.C : 114.2 (chalcedony)	: .0266
H2S	.01	H2S .00	Sampling pressure bar abs. :	: 1.0000
NH3	.00	NH3 .00	Discharge enthalpy kJ/kg :	: 1.0 (calculated)
B	.00	H2 .00	Discharge kg/s :	: 0
SiO2	109.00	O2 .00	Steam fraction at collection deg.C : 479.	: .0000
Na	545.00	CH4 .00	Measured temperature deg.C :	: 65.0
K	38.00	N2 .00		
Mg	6.400			
Ca	50.00			
F	5.900			
C1	88.10			
SO4	473.00			
		Liters gas per kg condensate/deg.C .00 / .0	Condensate (mg/kg) pH/deg.C CO2	: .00 / .0
		Total steam (mg/kg)		

Al	.090	CO2	.00	H2S	.00
Fe	1.400	H2S	.00	NH3	.00
TDS	1880.00	NH3	.00	Na	.00

Ionic strength = .03268  
 Ionic balance : Cations (mol.eq.) = .02711766  
 Difference (%) = 2.14

Deep water components (mg/kg)		Deep steam (mg/kg)		Gas pressures (bar-abs.)	
B	.00	CO2	18952.68	CO2	.447E+02
SiO2	106.10	H2S	.11	H2S	.105E-03
Na	530.52	NH3	.00	NH3	.000E+00
K	36.99	H2	.00	H2	.000E+00
Mg	6.230	O2	.00	O2	.000E+00
Ca	48.67	CH4	.00	CH4	.000E+00
F	5.743	N2	.00	N2	.000E+00
Cl	85.76			H2O	.165E+01
SO4	460.43			Total	.463E+02
Al	.0876				
Fe	1.3628				
TDS	1830.04				
Aquifer steam fraction = .0000					
Ionic strength = .03016				1000/T (Kelvin) = 2.58	
Ionic balance : Cations (mol.eq.) = .02560562				Anions (mol.eq.) = .02504454	
Difference (%) = 2.22					
Oxidation potential (volts) : Eh H2S= -.152 Eh CH4= 99.999 Eh H2= 99.999 Eh NH3= 99.999					
Chemical geothermometers (degrees C)					
Quartz	140.7	(Fournier & Potter, GRC Bulletin, pp. 3-12, Nov. 1982)			
Chalcedony	114.2	(Fournier, Geothermics, vol. 5, pp. 41-50, 1977)			
Na/K	161.3	(Arnorsson et al., Geochim. Cosmochim. Acta, vol. 47, pp. 567-577, 1983)			

örnek no 5

Activity coefficients in deep water

	H <sup>+</sup>	.848	KSO <sub>4</sub> <sup>-</sup>	.826	Fe <sup>++</sup>	.478	FeCl <sup>+</sup>	.815	
OH <sup>-</sup>	.811	F <sup>-</sup>	.811	Fe <sup>++</sup>	.232	Al <sup>+++</sup>	.232		
H <sub>3</sub> SiO <sub>4</sub> <sup>-</sup>	.815	Cl <sup>-</sup>	.807	FeOH <sup>+</sup>	.823	AlOH <sup>++</sup>	.469		
H <sub>2</sub> SiO <sub>4</sub> <sup>--</sup>	.469	Na <sup>+</sup>	.815	Fe(OH) <sup>3-</sup>	.823	Al(OH) <sup>2+</sup>	.826		
H <sub>2</sub> BO <sub>3</sub> <sup>-</sup>	.802	K <sup>+</sup>	.807	Fe(OH) <sup>4--</sup>	.463	Al(OH) <sup>4-</sup>	.819		
HCO <sub>3</sub> <sup>-</sup>	.815	Ca <sup>++</sup>	.478	Fe(OH) <sup>++</sup>	.463	AlSO <sub>4</sub> <sup>+</sup>	.819		
CO <sub>3</sub> <sup>--</sup>	.454	Mg <sup>++</sup>	.508	Fe(OH) <sup>2+</sup>	.826	Al(SO <sub>4</sub> ) <sup>2--</sup>	.819		
HS <sup>-</sup>	.811	CaHCO <sub>3</sub> <sup>+</sup>	.830	Fe(OH) <sup>4-</sup>	.826	AlF <sup>++</sup>	.469		
S <sup>--</sup>	.463	MgHCO <sub>3</sub> <sup>+</sup>	.815	FeSO <sub>4</sub> <sup>+</sup>	.823	AlF <sub>2</sub> <sup>+</sup>	.826		
HSO <sub>4</sub> <sup>-</sup>	.819	CaOH <sup>+</sup>	.830	FeCl <sup>++</sup>	.463	AlF <sub>4</sub> <sup>-</sup>	.819		
SO <sub>4</sub> <sup>--</sup>	.446	MgOH <sup>+</sup>	.833	FeCl <sub>2</sub> <sup>+</sup>	.823	AlF <sub>5</sub> <sup>--</sup>	.454		
NaSO <sub>4</sub> <sup>-</sup>	.826	NH <sub>4</sub> <sup>+</sup>	.802	FeCl <sub>4</sub> <sup>-</sup>	.815	AlF <sub>6</sub> <sup>---</sup>	.170		
Chemical species in deep water - ppm and log mole									
	H <sup>+</sup>	.02	-4.828	Mg <sup>++</sup>	2.38	-4.010	Fe(OH) <sup>3</sup>	.00	-10.927
	OH <sup>-</sup>	.00	-7.060	NaCl	.61	-4.981	Fe(OH) <sup>4-</sup>	.00	-12.898
	H <sub>4</sub> SiO <sub>4</sub>	169.70	-2.753	KCl	.01	-6.818	FeCl <sup>+</sup>	.02	-6.758
	H <sub>3</sub> SiO <sub>4</sub> <sup>-</sup>	.02	-6.649	NaSO <sub>4</sub> <sup>-</sup>	25.51	-3.669	FeCl <sub>12</sub>	.00	-18.802
	H <sub>2</sub> SiO <sub>4</sub> <sup>--</sup>	.00	-12.458	KSO <sub>4</sub> <sup>-</sup>	5.39	-4.399	FeCl <sup>++</sup>	.00	-17.585
	NaH <sub>3</sub> SiO <sub>4</sub>	.01	-7.365	CaSO <sub>4</sub>	28.33	-3.682	FeCl <sub>12</sub> <sup>+</sup>	.00	-19.845
	H <sub>3</sub> BO <sub>3</sub>	.00	.000	MgSO <sub>4</sub>	17.08	-3.848	FeCl <sub>13</sub>	.00	-23.209
	H <sub>2</sub> BO <sub>3</sub> <sup>-</sup>	.00	.000	CaCO <sub>3</sub>	.02	-6.603	FeCl <sub>14</sub> <sup>-</sup>	.00	-27.108
	H <sub>2</sub> CO <sub>3</sub>	25829.82	-.380	MgCO <sub>3</sub>	.00	-7.942	FeSO <sub>4</sub>	.73	-5.318
	HCO <sub>3</sub> <sup>-</sup>	841.44	-1.860	CaHCO <sub>3</sub> <sup>+</sup>	43.49	-3.366	FeSO <sub>4</sub> <sup>+</sup>	.00	-15.393
	CO <sub>3</sub> <sup>--</sup>	.01	-6.873	MgHCO <sub>3</sub> <sup>+</sup>	1.41	-4.781	Al <sup>+++</sup>	.00	-12.041
	H <sub>2</sub> S	.11	-5.490	CaOH <sup>+</sup>	.00	-8.974	AlOH <sup>++</sup>	.00	-10.247
	HS <sup>-</sup>	.00	-7.081	MgOH <sup>+</sup>	.00	-8.709	Al(OH) <sup>2+</sup>	.00	-9.048
	S <sup>--</sup>	.00	-17.871	NH <sub>4</sub> OH	.00	.000	Al(OH) <sup>3</sup>	.00	-8.648
	H <sub>2</sub> SO <sub>4</sub>	.00	-11.111	NH <sub>4</sub> <sup>+</sup>	.00	.000	Al(OH) <sup>4-</sup>	.00	-9.503

HSO <sub>4</sub> -	4.27	-4.357	Fe++	1.08	-4.713	.00	-11.654
SO <sub>4</sub> --	397.70	-2.383	Fe+++	.00	-17.800	.00	-12.229
HF	.52	-4.589	FeOH+	.00	-7.200	.00	-8.419
F-	5.08	-3.573	Fe(OH) <sup>2</sup>	.00	-11.113	.04	-6.199
Cl-	85.38	-2.618	Fe(OH)3-	.00	-16.211	.20	-5.621
Na+	525.35	-1.641	Fe(OH)4--	.00	-23.784	.02	-6.674
K+	35.42	-3.043	Fe(OH)++	.00	-13.662	.00	-8.729
Ca++	23.08	-3.240	Fe(OH)2+	.00	-11.247	.00	-11.757

### Log solubility products of minerals in deep water

Theor.	Calc.	Theor.	Calc.	Theor.	Calc.	Theor.	Calc.
Adularia	-16.701	-20.985	Albite, low	-16.009	-19.579	Analcime	-12.847
Anhydrite	-5.812	-6.294	Calcite	-9.690	-10.776	Chalcedony	-2.733
Mg-Chlorite	-80.015	-106.167	Fluorite	-10.527	-10.888	Goethite	-4.136
Laumontite	-26.563	-33.752	Microcline	-17.980	-20.985	Magnetite	-28.616
Ca-Montmor.	-82.411	-112.573	K-Montmor.	-39.927	-57.643	Mg-Montmor.	-83.624
Na-Montmor.	-39.983	-56.237	Muscovite	-20.380	-25.863	Prehnite	-36.367
Pyrrhotite	-92.710	-107.620	Pyrite	-136.751	-117.425	Quartz	-2.972
Wairakite	-24.387	-33.752	Wollastonite	10.404	3.487	Zoisite	-35.611
Epidote	-42.462	-54.691	Marcasite	-114.161	-117.425	Talc	14.731
Chrysotile	22.529	10.981	Sill. Amorph.	-2.146	-2.753		5.475

örnek no 6 dikili İllıcası

Water sample (mg/kg)	Steam sample	Reference temperature deg.C	Degassing coeff. at sampling	Degassing pressure bar abs.	Degassing enthalpy kJ/kg	Degassing enthalpy kg/s
pH/deg.C	7.20 / 30.0	Gas (volume %)				
CO <sub>2</sub>	748.80	CO <sub>2</sub>	.00			
H <sub>2</sub> S	.01	H <sub>2</sub> S	.00	Sampling pressure	1.00	
NH <sub>3</sub>	.00	NH <sub>3</sub>	.00	Discharge enthalpy	456. (Calculated)	
B	.00	H <sub>2</sub>	.00	Discharge		.0

Steam loss at 100.0 deg.C assumed, before sampling.  
Steam loss fraction : 0.165

Degassing coeff. at sampling : 1.0000

Theoretical  
Analcime -16.826  
Chalcedony -2.753  
Goethite -5.830  
Magnetite -30.995  
Mg-Montmor. -113.317  
Prehnite -48.860  
Quartz -2.753  
Zoisite -51.299  
Talc 14.731

Calculated  
Analcime -12.847  
Chalcedony -2.733  
Goethite -4.136  
Magnetite -28.616  
Mg-Montmor. -83.624  
Prehnite -36.367  
Quartz -2.972  
Zoisite -35.611  
Talc 5.475

SiO2	99.00	O2	.00	Steam fraction at collection :	.0000
Na	540.00	CH4	.00		
K	40.00	N2	.00	Measured temperature deg.C :	73.0
Mg	6.200				
Ca	46.00	Liters gas per kg condensate/deg.C	.00 / .0	Condensate (mg/kg) pH/deg.C	.00 / .0
F	5.300			CO2	.00
C1	89.00			H2S	.00
SO4	477.00	Total steam (mg/kg)	.00	NH3	.00
Al	.110	CO2	.00	Na	.00
Fe	1.500	H2S	.00		
TDS	1820.00	NH3	.00		

Ionic strength = .03284  
 Ionic balance : Cations (mol.eq.) = .02676002 Anions (mol.eq.) = .02729505  
 Difference (%) = -1.98

Deep water components (mg/kg)		Deep steam (mg/kg)		Gas pressures (bar-abs.)	
B	.00	CO2	8373.28	CO2	.183E+02
SiO2	97.36	H2S	.06	H2S	.481E-04
Na	531.08	NH3	.00	NH3	.000E+00
K	39.34	H2	.00	H2	.000E+00
Mg	6.098	O2	.00	O2	.000E+00
Ca	45.24	CH4	.00	CH4	.000E+00
F	5.212	N2	.00	N2	.000E+00
C1	87.53			H2O	.138E+01
SO4	469.12			Total	.197E+02
Al	.1082				
Fe	1.4752				
TDS	1789.94				
		Aquifer steam fraction =	.0000		

Ionic strength = .03082  
 Ionic balance : Cations (mol.eq.) = .02560237 Anions (mol.eq.) = .02612100  
 Difference (%) = -2.01

1000/T (Kelvin) = 2.62

Oxidation potential (volts) : Eh H2S= -.178 Eh CH4= 99.999 Eh H2= 99.999 Eh NH3= 99.999

Chemical geothermometers (degrees C)  
 Quartz 135.8 (Fournier & Potter, GRC Bulletin, pp. 3-12, Nov. 1982)  
 Chalcedony 108.8 (Fournier, Geothermics, vol. 5, pp. 41-50, 1977)  
 Na/K 167.3 (Arnorsson et al., Geochim. Cosmochim. Acta, vol. 47, pp. 567-577, 1983)

örnek no 6

#### Activity coefficients in deep water

H+	.849	KSO4-	.827	Fe++	.481
OH-	.812	F-	.812	Fe+++	.234
H3SiO4-	.816	Cl-	.808	AlOH++	.471
H2SiO4--	.471	Na+	.816	Al(OH)2+	.827
H2BO3-	.803	K+	.808	Al(OH)4-	.820
HCO3-	.816	Ca++	.481	AlSO4+	.820
CO3--	.457	Mg++	.510	Al(SO4)2-	.8
HS-	.812	CaHCO3+	.831	AlF++	.471
S--	.465	MgHCO3+	.816	AlF2+	.827
HSO4-	.820	CaOH+	.831	AlF4-	.820
SO4--	.448	MgOH+	.834	AlF5---	.457
NASO4-	.827	NH4+	.803	AlF6----	.172

#### Chemical species in deep water - ppm and log mole

H+	.01	-5.203	Mg++	2.41	-4.004	Fe(OH)3	.00	-10.557
OH-	.00	-6.762	NaCl	.57	-5.012	Fe(OH)4-	.00	-12.211
H4SiO4	155.69	-2.791	KCl	.01	-6.815	FeCl+	.02	-6.775
H3SiO4-	.04	-6.342	NaSO4-	24.86	-3.680	FeCl2	.00	-19.208
H2SiO4--	.00	-11.792	KSO4-	5.55	-4.387	FeCl++	.00	-18.098
NaH3SiO4	.01	-7.058	CaSO4	25.85	-3.722	FeCl2+	.00	-20.351
H3BO3	.00	.000	MgSO4	16.23	-3.870	FeCl3	.00	-23.728
H2BO3-	.00	.000	CaCO3	.05	-6.275	FeCl4-	.00	-27.651

Deep water pH is 5.274

H2CO3	10873.27	-756	MgCO3	.00	-7.565	.79	-5.286
HCO3-	888.75	-1.837	CaHCO3+	38.97	-3.414	.00	-15.892
CO3--	.02	-6.462	MgHCO3+	1.45	-4.771	.00	-11.770
H2S	.05	-5.816	CaOH+	.00	-8.721	.00	-9.713
HS-	.00	-7.034	MgOH+	.00	-8.433	.00	-8.235
S---	.00	-17.505	NH4OH	.00	.000	Al(OH) 3+	.00
H2SO4	.00	-11.975	NH4+	.00	.000	Al(OH) 4-	.00
HSO4-	1.57	-4.791	Fe++	1.17	-4.679	AlSO4+	.00
SO4--	411.87	-2.368	Fe+++	.00	-18.217	Al(SO4) 2-	.00
HF	.18	-5.037	FeOH+	.01	-6.892	AlF++	.00
F-	4.82	-3.595	Fe (OH) 2	.00	-10.548	AlF2+	.06
Cl-	87.17	-2.609	Fe (OH) 3-	.00	-15.417	AlF3	.24
Na+	526.05	-1.641	Fe (OH) 4--	.00	-22.676	AlF4-	.02
K+	37.73	-3.016	Fe (OH) ++	.00	-13.814	AlF5--	.00
Ca++	22.16	-3.257	Fe (OH) 2+	.00	-11.156	AlF6---	.00

### Log solubility products of minerals in deep water

Theor.	Calc.	Theor.	Calc.	Theor.	Calc.	Theor.	Calc.
Adularia	-16.890	-19.650	Albite, low	-16.182	-18.271	Analcime	-12.974
Anhydrite	-5.733	-6.292	Calcite	-9.593	-10.378	Chalcedony	-2.772
Mg-Chlorite	-80.102	-101.014	Fluorite	-10.529	-10.947	Goethite	-4.342
Laumontite	-26.786	-31.079	Microcline	-18.205	-19.650	Magnetite	-29.028
Ca-Montmor.	-83.533	-97.126	K-Montmor.	-40.542	-49.884	Mg-Montmor.	-84.723
Na-Montmor.	-40.582	-48.504	Muscovite	-20.656	-22.287	Prehnite	-36.509
Pyrrhotite	-95.394	-106.861	Pyrite	-140.607	-119.782	Quartz	-3.019
Wairakite	-24.500	-31.079	Wollastonite	10.559	4.182	Zoisite	-35.703
Epidote	-42.891	-51.009	Marcasite	-117.703	-119.782	Talc	15.055
Chrysotile	22.941	13.173	Sil. amorph.	-2.173	-2.791		7.592

## Örnek no 7

dikili İllcası

Steam loss at 100.0 deg.C assumed, before sampling.

Steam loss fraction : .0265

	Water sample (mg/kg)	Steam sample (volume %)	Reference temperature deg.C	Degassing coeff. at sampling deg.C	Sampling pressure bar abs. : kJ/kg : kg/s :	Gas pressures (bar-abs.)
pH/deg.C	7.90/ 30.0	Gas		1.0000		
CO <sub>2</sub>	1166.40	CO <sub>2</sub>	.00			CO <sub>2</sub> .00
H <sub>2</sub> S	.01	H <sub>2</sub> S	.00			H <sub>2</sub> S .00
NH <sub>3</sub>	.00	NH <sub>3</sub>	.00			NH <sub>3</sub> .00
B	.00	H <sub>2</sub>	.00			H <sub>2</sub> .00
SiO <sub>2</sub>	109.00	O <sub>2</sub>	.00			O <sub>2</sub> .00
Na	820.00	CH <sub>4</sub>	.00			CH <sub>4</sub> .00
K	35.00	N <sub>2</sub>	.00			N <sub>2</sub> .00
Mg	8.300				Measured temperature deg.C : 34.0	H <sub>2</sub> O .164E+01
Ca	41.00					
F	3.700					
Cl	96.70					
SO <sub>4</sub>	565.00	Total steam (mg/kg)	.00 / .0	Condensate (mg/kg)		
Al	.100	CO <sub>2</sub>		pH/deg.C		
Fe	.500	H <sub>2</sub> S		CO <sub>2</sub>	.00 / .0	
TDS	2534.00	NH <sub>3</sub>		H <sub>2</sub> S	.00	

	Water sample (mg/kg)	Steam sample (volume %)	Reference temperature deg.C	Degassing coeff. at sampling deg.C	Sampling pressure bar abs. : kJ/kg : kg/s :	Gas pressures (bar-abs.)
CO <sub>2</sub>	.00	CO <sub>2</sub>	.00			CO <sub>2</sub> .00
H <sub>2</sub> S	.03	H <sub>2</sub> S	.00			H <sub>2</sub> S .00
NH <sub>3</sub>	.00	NH <sub>3</sub>	.00			NH <sub>3</sub> .00
B	.00	H <sub>2</sub>	.00			H <sub>2</sub> .00
SiO <sub>2</sub>	.00	O <sub>2</sub>	.00			O <sub>2</sub> .00
Na	.00	CH <sub>4</sub>	.00			CH <sub>4</sub> .00
K	.00	N <sub>2</sub>	.00			N <sub>2</sub> .00
Mg	.00					
Ca	.00					
F	.00					
Cl	.00					

Ionic strength = .04600

Ionic balance : Cations (mol.eq.) = .03851939

Difference (%) = -3.92

Anions (mol.eq.) = .04005797

Deep steam (mg/kg)

	Water components (mg/kg)	Deep steam (mg/kg)
B	.00	CO <sub>2</sub> 6796.91
SiO <sub>2</sub>	106.11	H <sub>2</sub> S .03
Na	798.28	NH <sub>3</sub> .00
K	34.07	H <sub>2</sub> .00
Mg	8.080	O <sub>2</sub> .00
Ca	39.91	CH <sub>4</sub> .00
F	3.602	N <sub>2</sub> .00
Cl	94.14	H <sub>2</sub> O

SO4	550.03	Total	.156E+02
Al	.0974		
Fe	.4868		
TDS	2466.87	Aquifer steam fraction =	.00000

Ionic strength = .04302  
 Ionic balance : Cations (mol.eq.) = .03673779 Anions (mol.eq.) = 1000/T (Kelvin) = 2.58  
 Difference (%) = -3.97  
 Oxidation potential (volts) : Eh H2S= -.218 Eh CH4= 99.999 Eh H2= 99.999 Eh NH3= 99.999

#### Chemical geothermometers (degrees C)

Quartz 140.6 (Fournier & Potter, GRC Bulletin, pp. 3-12, Nov. 1982)  
 Chalcedony 114.1 (Fournier, Geothermics, vol. 5, pp. 41-50, 1977)  
 Na/K 118.3 (Arnorsson et al., Geochim. Cosmochim. Acta, vol. 47, pp. 567-577, 1983)

örnek no 7

#### Activity coefficients in deep water

H+	.830	KSO4-	.803	Fe++	.432	FeCl+	.790
OH-	.784	F-	.784	Fe+++	.195	Al+++	.195
H3SiO4-	.790	Cl-	.779	FeOH+	.799	AlOH++	.421
H2SiO4--	.421	Na+	.790	Fe(OH)3-	.799	Al(OH)2+	.803
H2BO3-	.773	K+	.779	Fe(OH)4--	.414	Al(OH)4-	.795
HCO3-	.790	Ca++	.432	Fe(OH)++	.414	AlSO4+	.795
CO3--	.404	Mg++	.467	Fe(OH)2+	.803	Al(SO4)2-	.795
HS-	.784	CaHCO3+	.808	Fe(OH)4-	.803	AlF++	.421
S--	.414	MgHCO3+	.790	FeSO4+	.799	AlF2+	.803
HSO4-	.795	CaOH+	.808	FeCl++	.414	AlF4-	.795
SO4--	.394	MgOH+	.812	FeCl2+	.799	AlF5--	.404
NaSO4-	.803	NH4+	.773	FeCl4-	.790	AlF6---	.131

Chemical species in deep water - ppm and log mole

Deep water pH is 5.653

H+	.00	-5.572	Mg++	2.98	-3.912	Fe(OH)3	.00	-10.028
OH-	.01	-6.293	NaCl	.94	-4.794	Fe(OH)4-	.00	-11.234
H4SiO4	169.58	-2.753	KCl	.01	-6.845	FeCl+	.01	-7.214
H3SiO4-	.12	-5.883	NaSO4-	40.96	-3.463	FeCl2	.00	-19.250
H2SiO4--	.00	-10.907	KSO4-	5.27	-4.409	FeCl++	.00	-18.870
NaH3SiO4	.04	-6.449	CaSO4	18.48	-3.867	FeCl2+	.00	-21.14
H3BO3	.00	.000	MgSO4	21.08	-3.757	FeCl3	.00	-24.493
H2BO3-	.00	.000	CaCO3	.15	-5.822	FeCl4-	.00	-28.354
H2CO3	7999.76	-.890	MgCO3	.01	-6.884	FeSO4	.25	-5.781
HCO3-	1523.41	-1.603	CaHCO3+	47.61	-3.327	FeSO4+	.00	-16.707
CO3--	.09	-5.825	MgHCO3+	2.95	-4.462	Al+++	.00	-11.654
H2S	.03	-6.085	CaOH+	.00	-8.426	AlOH++	.00	-9.136
HS-	.00	-6.908	MgOH+	.00	-7.884	Al(OH)2+	.00	-7.220
S--	.00	-16.912	NH4OH	.00	.000	Al(OH)3	.06	-6.080
H2SO4	.00	-12.587	NH4+	.00	.000	Al(OH)4-	.06	-6.169
HSO4-	.83	-5.066	Fe++	.38	-5.162	AlSO4+	.00	-11.298
SO4--	482.39	-2.299	Fe+++	.00	-19.081	Al(SO4)2-	.00	-11.843
HF	.06	-5.526	FeOH+	.01	-6.929	AlF++	.00	-8.245
F-	3.44	-3.742	Fe(OH)2	.00	-10.102	AlF2+	.04	-6.243
Cl-	93.56	-2.579	Fe(OH)3-	.00	-14.436	AlF3	.12	-5.861
Na+	789.99	-1.464	Fe(OH)4--	.00	-21.221	AlF4-	.01	-7.085
X+	32.54	-3.080	Fe(OH)++	.00	-14.219	AlF5--	.00	-9.286
Ca++	15.54	-3.411	Fe(OH)2+	.00	-11.087	AlF6----	.00	-12.435

Log solubility products of minerals in deep water

	Theor.	Calc.	Theor.	Calc.	Theor.	Calc.	Theor.	Calc.
Adularia	-16.702	-17.718	Albite, low	-16.011	-16.096	Analcime	-12.848	-13.342
Anhydrite	-5.811	-6.479	Calcite	-9.690	-9.994	Chalcedony	-2.733	-2.753
Mg-Chlorite	-80.016	-93.202	Fluorite	-10.527	-11.471	Goethite	-4.138	-4.931
Laumontite	-26.565	-27.327	Microcline	-17.982	-17.718	Magnetite	-28.619	-28.185
Ca-Montmor.	-82.420	-75.332	K-Montmor.	-39.932	-38.967	Mg-Montmor.	-83.633	-75.799
Na-Montmor.	-39.988	-37.345	Muscovite	-20.382	-17.458	Prehnite	-36.369	-41.147

Pyrrhotite	-92.732	-104.299	Pyrite	-136.783	-120.618	Quartz	-2.972	-2.753
Wairakite	-24.388	-27.327	Wollastonite	10.406	4.777	Zoisite	-35.612	-41.017
Epidote	-42.465	-46.077	Marcasite	-114.190	-120.618	Talc	14.734	10.175
Chrysotile	22.533	15.682	Sil. amorph.	-2.146	-2.753			

## ICELANDIC WATER CHEMISTRY GROUP

Program WATCH, temporary version / Feb-1997

örnek no 8

kaynarca

	Water sample (mg/kg)	Steam sample		
pH/deg.C	8.10/	42.0	Gas (volume %)	Reference temperature
CO2	311.00		CO2	.00
H2S	.01		H2S	.00
NH3	.00		NH3	.00
B	.00		H2	.00
SiO2	168.00		O2	.00
Na	570.00		CH4	.00
K	36.00		N2	.00
Mg	1.400			Measured temperature deg.C : 42.0
Ca	33.00		Liters gas per kg condensate/deg.C	.00/ .0
F	7.600		Condensate (mg/kg) pH/deg.C	.00/ .0
Cl	72.80		CO2	.00
SO4	786.00		Total steam (mg/kg)	
Al	.110		CO2	.00
Fe	.100		H2S	.00
TDS	2004.00		NH3	.00
			Na	.00
Ionic strength =	.03457			
Ionic balance :	Cations (mol.eq.) = .02678371		Anions (mol.eq.) = .02533590	
Difference (%) =	5.56			
Deep water components (mg/kg)		Deep steam (mg/kg)		Gas pressures (bar-abs.)
B	.00	CO2	311.00	CO2 .457E-01
SiO2	168.00	H2S	.01	H2S .609E-06
Na	570.00	NH3	.00	NH3 .000E+00
K	36.00	H2	.00	H2 .000E+00

Mg	1.400	O2	.00	O2	.00	O2	.000E+00
Ca	33.00	CH4	.00	CH4	.00	CH4	.000E+00
F	7.600	N2	.00	N2	.00	N2	.000E+00
Cl	72.80					H2O	.331E+01
SO4	786.00					Total	.336E+01
Al	.1100						
Fe	.1000						
TDS	2004.00	Aquifer steam fraction	= .0000				

Ionic strength = .03287  
 Ionic balance : Cations (mol.eq.) = .02591688  
 Difference (%) = 5.72  
 $1000/T \text{ (Kelvin)} = 2.44$   
 $\text{Anions (mol.eq.)} = .02447510$

Oxidation potential (volts) : Eh H2S= -.440 Eh CH4= 99.999 Eh H2= 99.999 Eh NH3= 99.999

#### Chemical geothermometers (degrees C)

Quartz 161.1 (Fournier & Potter, GRC Bulletin, pp. 3-12, Nov. 1982)  
 Chalcedony 136.9 (Fournier, Geothermics, vol. 5, pp. 41-50, 1977)  
 Na/K 148.4 (Arnorsson et al., Geochim. Cosmochim. Acta, vol. 47, pp. 567-577, 1983)

örnek no 8

#### Activity coefficients in deep water

H+	.834	KSO4-	.809	Fe++	.444	FeCl+	.798
OH-	.793	F-	.793	Fe+++	.201	Al+++	.201
H3SiO4-	.798	Cl-	.788	FeOH+	.806	AlOH++	.434
H2SiO4--	.434	Na+	.798	Fe(OH)3-	.806	Al(OH)2+	.809
H2BO3-	.783	K+	.788	Fe(OH)4--	.427	Al(OH)4-	.802
HCO3-	.798	Ca++	.444	Fe(OH)+	.427	AlSO4+	.802
CO3--	.418	Mg++	.475	Fe(OH)2+	.809	Al(SO4)2-	.802
HS-	.793	CaHCO3+	.814	Fe(OH)4-	.809	AlF++	.434
S--	.427	MgHCO3+	.798	FeSO4+	.806	AlF2+	.809
HSO4-	.802	CaOH+	.814	FeCl++	.427	AlF4-	.802
SO4--	.409	MgOH+	.818	FeCl2+	.806	AlF5--	.418

	NaSO4-	.809	NH4+	.783	FeCl4-	.798	AlF6---	.141
Chemical species in deep water - ppm and log mole								
H+	.00	-7.645	Mg++	.31	-4.901	Fe(OH) 3	.01	-6.934
OH-	1.93	-3.946	NaCl	.72	-4.906	Fe(OH) 4-	.17	-5.853
H4SiO4	238.48	-2.605	KCl	.01	-6.794	FeCl1+	.00	-9.367
H3SiO4-	24.92	-3.582	NaSO4-	58.35	-3.310	FeCl12	.00	-19.917
H2SiO4--	.03	-6.522	KSO4-	11.10	-4.086	FeCl1++	.00	-23.062
NaH3SiO4	6.20	-4.280	CaSO4	36.10	-3.577	FeCl12+	.00	-25.407
H3BO3	.00	.000	MgSO4	5.17	-4.367	FeCl13	.00	-28.768
H2BO3-	.00	.000	CaCO3	6.43	-4.192	FeCl14-	.00	-32.607
H2CO3	23.94	-3.414	MgCO3	.04	-6.275	FeSO4	.00	-7.796
HCO3-	390.85	-2.193	CaHCO3+	17.58	-3.760	FeSO4+	.00	-20.615
CO3--	2.14	-4.448	MgHCO3+	.10	-5.938	Al+++	.00	-20.611
H2S	.00	-7.769	CaOH+	.05	-6.021	AlOH++	.00	-15.544
HS-	.01	-6.558	MgOH+	.02	-6.377	Al(OH) 2+	.00	-11.153
S--	.00	-14.289	NH4OH	.00	.000	Al(OH) 3	.00	-7.602
H2SO4	.00	-15.992	NH4+	.00	.000	Al(OH) 4-	.38	-5.392
HSO4-	.02	-6.630	Fe++	.00	-7.464	AlSO4+	.00	-19.852
SO4--	701.41	-2.137	Fe+++	.00	-23.636	Al(SO4) 2-	.00	-20.121
HF	.00	-7.022	FeOH+	.01	-6.749	AlF++	.00	-16.585
F-	7.60	-3.398	Fe(OH) 2	.00	-7.376	AlFE2+	.00	-14.006
C1-	72.35	-2.690	Fe(OH) 3-	.00	-9.063	AlF3	.00	-13.139
Na+	557.24	-1.615	Fe(OH) 4--	.00	-13.581	AlF4-	.00	-13.944
K+	32.78	-3.077	Fe(OH) ++	.00	-16.229	AlF5--	.00	-15.785
Ca++	12.79	-3.496	Fe(OH) 2+	.00	-10.458	AlF6---	.00	-18.669

Log solubility products of minerals in deep water

Theor.	Calc.	Theor.	Calc.	Theor.	Calc.
Adularia	-15.999	-16.484	Albite, low	-15.371	-15.018
Anhydrite	-6.159	-6.374	Calcite	-10.130	-8.675
Mg-Chlorite	-79.916	-77.285	Fluorite	-10.539	-10.846
Laumontite	-25.763	-25.246	Microcline	-17.138	-16.484

Ca-Montmor.	-78.509	-89.439	K-Montmor.	-37.759	-45.975	Mg-Montmor.	-79.808	-90.814
Na-Montmor.	-37.875	-44.509	Muscovite	-19.413	-19.367	Prehnite	-35.947	-34.583
Pyrrhotite	-81.255	-90.677	Pyrite	-120.623	-126.155	Quartz	-2.783	-2.605
Wairakite	-24.026	-25.246	Wollastonite	9.792	8.994	Zoisite	-35.402	-36.025
Epidote	-40.707	-36.482	Marcasite	-99.268	-126.155	Talc	13.457	20.251
Chrysotile	20.915	25.462	Sil. amorph.	-2.041	-2.605			

Örnek no 9

kaynarca

	Water sample (mg/kg)	Steam sample						
pH/deg.C	7.70/ 82.0	Gas (volume %)	Reference temperature	deg.C :	158.8	(Chalcedony)		
CO2	415.00	CO2	.00	Sampling pressure	bar abs. :	1.0		
H2S	.01	H2S	.00	Discharge enthalpy	kJ/kg :	670. (Calculated)		
NH3	.00	NH3	.00	Discharge	kg/s :	.0		
B	.00	H2	.00	Steam fraction at collection	;	.0000		
SiO2	226.00	O2	.00	Measured temperature	deg.C :	82.0		
Na	530.00	CH4	.00					
K	36.00	N2	.00					
Mg	.500							
Ca	32.00	Liters gas per kg condensate/deg.C	.00/ .0	Condensate (mg/kg)				
F	7.200			pH/deg.C	.00/ .0			
Cl	68.90	Total steam (mg/kg)		CO2	.00			
SO4	735.00			H2S	.00			
Al	.130	CO2	.00	NH3	.00			
Fe	.050	H2S	.00	Na	.00			
TDS	1928.00	NH3	.00					

$$\text{Ionic strength} = .03312$$

$$\text{Ionic balance : Cations (mol.eq.)} = .02470325$$

$$\text{Anions (mol.eq.)} = .02613951$$

$$\text{Difference (\%)} = -5.65$$

Deep water components (mg/kg)                  Deep steam (mg/kg)                  Gas pressures (bar-abs.)

B	.00	CO2	.00	CO2	.907E-01
SiO2	226.00	H2S	.01	H2S	.773E-06
Na	530.00	NH3	.00	NH3	.000E+00
K	36.00	H2	.00	H2	.000E+00
Mg	.500	O2	.00	O2	.000E+00
Ca	32.00	CH4	.00	CH4	.000E+00
F	7.200	N2	.00	N2	.000E+00
Cl	68.90			H2O	.599E+01
SO4	735.00			Total	.608E+01
Al	.1300				
Fe	.0500				
TDS	1928.00	Aquifer steam fraction	= .0000		
Ionic strength =	.03171			1000/T (Kelvin) = 2.32	
Ionic balance :	Cations (mol. eq.) = .02396660	Anions (mol. eq.) = .02540688			
Difference (8) = -5.83					
Oxidation potential (volts) : Eh H2S= -.478 Eh CH4= 99.999 Eh H2= 99.999 Eh NH3= 99.999					
Chemical geothermometers (degrees C)					
Quartz 180.5 (Fournier & Potter, GRC Bulletin, pp. 3-12, Nov. 1982)					
Chalcedony 158.8 (Fournier, Geothermics, vol. 5, pp. 41-50, 1977)					
Na/K 153.7 (Arnorsson et al., Geochim. Cosmochim. Acta, vol. 47, pp. 567-577, 1983)					
örnek no 9					
Activity coefficients in deep water					
H+	.827	KSO4-	.801	Fe++	.426
OH-	.784	F-	.784	Fe+++	.186
H3SiO4-	.789	Cl-	.779	FeOH+	.798
H2SiO4--	.416	Na+	.789	Fe(OH)3-	.798
H2BO3-	.774	K+	.779	Fe(OH)4--	.409
HCO3-	.789	Ca++	.426	Fe(OH)++	.409
CO3--	.400	Mg++	.457	Fe(OH)2+	.801
				Al(SO4)2-	.793
				Al (SO4)2-	.793

	Chemical species in deep water - ppm and log mole										Deep water pH is 7.706										
HS-	.784	CaHCO <sub>3</sub> <sup>+</sup>	.806	Fe(OH) <sub>4</sub> <sup>-</sup>	.801	AlF <sub>4</sub> <sup>++</sup>	.416				Fe(OH) <sub>3</sub>	.01	-7.328								
S--	.409	MgHCO <sub>3</sub> <sup>+</sup>	.789	FeSO <sub>4</sub> <sup>+</sup>	.798	AlF <sub>2</sub> <sup>+</sup>	.801			Fe(OH) <sub>4</sub> <sup>-</sup>	.10	-6.077									
HSO <sub>4</sub> -	.793	CaOH <sup>+</sup>	.806	FeCl <sub>4</sub> <sup>++</sup>	.409	AlF <sub>4</sub> <sup>-</sup>	.793			FeCl <sub>12</sub> <sup>+</sup>	.00	-10.967									
SO <sub>4</sub> --	.391	MgOH <sup>+</sup>	.810	FeCl <sub>12</sub> <sup>+</sup>	.798	AlF <sub>5</sub> <sup>--</sup>	.400			FeCl <sub>4</sub> <sup>-</sup>	.00	-20.178									
NaSO <sub>4</sub> -	.801	NH <sub>4</sub> <sup>+</sup>	.774	FeCl <sub>4</sub> <sup>-</sup>	.789	AlF <sub>6</sub> <sup>---</sup>	.128			FeCl <sub>12</sub> <sup>+</sup>	.00	-24.295									
H <sub>3</sub> SiO <sub>4</sub> -	319.64	-2.478	KCl	.02	-6.689	FeCl <sub>12</sub> <sup>+</sup>	.00			FeCl <sub>12</sub> <sup>+</sup>	.00	-26.657									
H <sub>3</sub> SiO <sub>4</sub> --	34.83	-3.436	NaSO <sub>4</sub> <sup>-</sup>	63.36	-3.274	FeCl <sub>12</sub> <sup>+</sup>	.00			FeCl <sub>3</sub>	.00	-29.967									
H <sub>2</sub> SiO <sub>4</sub> --	.04	-6.408	KSO <sub>4</sub> <sup>-</sup>	13.24	-4.009	FeCl <sub>4</sub> <sup>-</sup>	.00			FeCl <sub>4</sub> <sup>-</sup>	.00	-33.710									
NaH <sub>3</sub> SiO <sub>4</sub>	8.15	-4.161	CaSO <sub>4</sub>	33.15	-3.614	FeSO <sub>4</sub>	.00			FeSO <sub>4</sub>	.00	-9.536									
H <sub>3</sub> BO <sub>3</sub>	.00	.000	MgSO <sub>4</sub>	1.91	-4.800	FeSO <sub>4</sub> <sup>+</sup>	.00			FeSO <sub>4</sub> <sup>+</sup>	.00	-21.884									
H <sub>2</sub> BO <sub>3</sub> -	.00	.000	CaCO <sub>3</sub>	8.26	-4.083	Al <sub>1</sub> <sup>++</sup>	.00			Al <sub>1</sub> <sup>++</sup>	.00	-21.736									
H <sub>2</sub> CO <sub>3</sub>	46.14	-3.129	MgCO <sub>3</sub>	.02	-6.654	AlOH <sub>4</sub> <sup>++</sup>	.00			AlOH <sub>4</sub> <sup>++</sup>	.00	-16.254									
HCO <sub>3</sub> -	507.78	-2.080	CaHCO <sub>3</sub> <sup>+</sup>	24.94	-3.608	Al <sub>1</sub> (OH) <sub>2</sub> <sup>+</sup>	.00			Al <sub>1</sub> (OH) <sub>2</sub> <sup>+</sup>	.00	-11.534									
CO <sub>3</sub> --	2.06	-4.463	MgHCO <sub>3</sub> <sup>+</sup>	.05	-6.275	Al <sub>1</sub> (OH) <sub>3</sub>	.00			Al <sub>1</sub> (OH) <sub>3</sub>	.00	-7.705									
H <sub>2</sub> S	.00	-7.685	CaOH <sup>+</sup>	.08	-5.858	Al <sub>1</sub> (OH) <sub>4</sub> <sup>-</sup>	.00			Al <sub>1</sub> (OH) <sub>4</sub> <sup>-</sup>	.00	-5.319									
HS-	.01	-6.564	MgOH <sup>+</sup>	.01	-6.566	Al <sub>1</sub> SO <sub>4</sub> <sup>+</sup>	.00			Al <sub>1</sub> SO <sub>4</sub> <sup>+</sup>	.00	-20.841									
S--	.00	-14.117	NH <sub>4</sub> OH	.00	.000	Al <sub>1</sub> (SO <sub>4</sub> ) <sub>2</sub> <sup>-</sup>	.00			Al <sub>1</sub> (SO <sub>4</sub> ) <sub>2</sub> <sup>-</sup>	.00	-21.059									
H <sub>2</sub> SO <sub>4</sub>	.00	-15.487	NH <sub>4</sub> <sup>+</sup>	.00	.000	AlF <sub>4</sub> <sup>+</sup>	.00			AlF <sub>4</sub> <sup>+</sup>	.00	-17.467									
HSO <sub>4</sub> -	.04	-6.334	Fe <sup>++</sup>	.00	-9.237	AlF <sub>2</sub> <sup>+</sup>	.00			AlF <sub>2</sub> <sup>+</sup>	.00	-14.693									
SO <sub>4</sub> --	649.52	-2.170	Fe <sup>+++</sup>	.00	-25.282	AlF <sub>3</sub>	.00			AlF <sub>3</sub>	.00	-13.711									
HF	.00	-6.809	FeOH <sup>+</sup>	.00	-8.204	AlF <sub>4</sub> <sup>-</sup>	.00			AlF <sub>4</sub> <sup>-</sup>	.00	-14.458									
F-	7.20	-3.422	Fe(OH) <sub>2</sub>	.00	-8.440	AlF <sub>5</sub> <sup>--</sup>	.00			AlF <sub>5</sub> <sup>--</sup>	.00	-16.286									
Cl-	68.42	-2.714	Fe(OH) <sub>3</sub> <sup>-</sup>	.00	-9.630	AlF <sub>6</sub> <sup>---</sup>	.00			AlF <sub>6</sub> <sup>---</sup>	.00	-19.236									
Na+	515.88	-1.649	Fe(OH) <sub>4</sub> <sup>--</sup>	.00	-14.011																
K+	32.16	-3.085	Fe(OH) <sub>4</sub> <sup>++</sup>	.00	-17.454																
Ca++	8.99	-3.649	Fe(OH) <sub>2</sub> <sup>+</sup>	.00	-11.186																

Log solubility products of minerals in deep water

	Theor.	Calc.	Theor.	Calc.	Theor.	Calc.	Theor.	Calc.
Adularia	-15.465	-16.047	Albite, low	-14.888	-14.606	Analcime	-12.044	-12.128
Anhydrite	-6.509	-6.598	Calcite	-10.586	-8.881	Chalcedony	-2.439	-2.478
Mg-Chlorite	-80.208	-77.922	Fluorite	-10.581	-11.074	Goethite	-2.286	-2.325
Laumontite	-25.198	-24.771	Microcline	-16.486	-16.047	Magnetite	-25.073	-21.955
Ca-Montmor.	-75.917	-88.234	K-Montmor.	-36.273	-45.300	Mg-Montmor.	-77.282	-89.987
Na-Montmor.	-36.438	-43.859	Muscovite	-18.757	-19.190	Prehnite	-35.795	-34.009
Pyrrhotite	-70.110	-92.889	Pyrite	-105.358	-128.763	Quartz	-2.621	-2.478
Wairakite	-23.848	-24.771	Wollastonite	9.263	8.913	Zoisite	-35.459	-35.581
Epidote	-39.207	-36.335	Marcasite	-85.068	-128.763	Talc	12.363	19.003
Chrysotile	19.538	23.960	Sil. amorph.	-1.951	-2.478			

Water sample (mg/kg)			Steam sample			Reference temperature			deg.C : 146.5 (Chalcedony)		
pH/deg.C	8.00/	48.0	Gas (volume 8)								
CO2	369.00		CO2	.00							
H2S	.01		H2S	.00							
NH3	.00		NH3	.00							
B	.00		H2	.00							
SiO2	193.00		O2	.00							
Na	570.00		CH4	.00							
K	37.00		N2	.00							
Mg	3.800		Liters gas per kg								
Ca	37.00		condensate/deg.C								
F	7.400										
C1	72.80										
SO4	774.00		Total steam (mg/kg)								
Al	.120		CO2	.00							
Fe	.050		H2S	.00							
TDS	1988.00		NH3	.00							
			Na	.00							

örnek no 10 kaynarca

Ionic strength = .03504  
 Ionic balance : Cations (mol.eq.) = .02703451 Anions (mol.eq.) = .02620655 Difference (%) = 3.11

	Deep water components (mg/kg)	Deep steam (mg/kg)	Gas pressures (bar-abs.)
B	.00	CO2 369.00	.00 CO2 .631E-01
SiO2	193.00	H2S .01	.660E-06
Na	570.00	NH3 .00	.000E+00
K	37.00	H2 .00	.000E+00
Mg	3.800	O2 .00	.000E+00
Ca	37.00	CH4 .00	.000E+00
F	7.400	N2 .00	.000E+00
Cl	72.80		.434E+01
SO4	774.00		.440E+01
Al	.1200		
Fe	.0500		
TDS	1988.00	Aquifer steam fraction = .0000	

Ionic strength = .03300  
 Ionic balance : Cations (mol.eq.) = .02598331 Anions (mol.eq.) = .02516073 Difference (%) = 3.22

Oxidation potential (volts) : Eh H2S= -.457 Eh CH4= 99.999 Eh H2= 99.999 Eh NH3= 99.999

#### Chemical geothermometers (degrees C)

Quartz 169.7 (Fournier & Potter, GRC Bulletin, pp. 3-12, Nov. 1982)  
 Chalcedony 146.6 (Fournier, Geothermics, vol. 5, pp. 41-50, 1977)  
 Na/K 150.3 (Arnorsson et al., Geochim. Cosmochim. Acta, vol. 47, pp. 567-577, 1983)

Örnek no 10

Activity coefficients in deep water

H+	.830	KSO4-	.804	Fe++	.433	FeCl+	.792
OH-	.787	F-	.787	Fe+++	.192	Al+++	.192
H3SiO4-	.792	Cl-	.783	FeOH+	.801	Al(OH)2+	.423
H2SiO4--	.423	Na+	.792	Fe(OH)3-	.801	Al(OH)4-	.804
H2BO3-	.777	K+	.783	Fe(OH)4--	.416	AlSO4+	.797
HCO3-	.792	Ca++	.433	Fe(OH)++	.416	Al(SO4)2-	.797
CO3--	.407	Mg++	.465	Fe(OH)2+	.804	AlF++	.423
HS-	.787	CaHCO3+	.809	Fe(OH)4-	.804	AlF2+	.804
S--	.416	MgHCO3+	.792	FeSO4+	.801	AlF4-	.797
HSO4-	.797	CaOH+	.809	FeCl++	.416	AlF5---	.407
SO4--	.398	MgOH+	.813	FeCl2+	.801	AlF6---	.133
NaSO4-	.804	NH4+	.777	FeCl4-	.792		

Chemical species in deep water - ppm and log mole

H+	.00	-7.643	Mg++	.77	-4.501	Fe (OH) 3	.01	-7.265
OH-	2.45	-3.842	NaCl	.79	-4.868	Fe (OH) 4-	.10	-6.099
H4SiO4	272.34	-2.548	KCl	.01	-6.727	FeCl+	.00	-10.233
H3SiO4-	29.96	-3.502	NaSO4-	61.87	-3.284	FeCl2	.00	-20.168
H2SiO4--	.03	-6.441	KSO4-	12.21	-4.044	FeCl++	.00	-23.777
NaH3SiO4	7.45	-4.200	CaSO4	38.84	-3.545	FeCl2+	.00	-26.122
H3BO3	.00	.000	MgSO4	14.20	-3.928	FeCl3	.00	-29.451
H2BO3-	.00	.000	CaCO3	8.64	-4.064	FeCl4-	.00	-33.237
H2CO3	32.42	-3.282	MgCO3	.14	-5.783	FeSO4	.00	-8.742
HCO3-	457.21	-2.125	CaHCO3+	24.23	-3.620	FeSO4+	.00	-21.363
CO3--	2.27	-4.423	MgHCO3+	.31	-5.437	Al+++	.00	-21.136
H2S	.00	-7.745	CaOH+	.07	-5.883	AlOH++	.00	-15.879
HS-	.01	-6.560	MgOH+	.06	-5.818	Al (OH) 2+	.00	-11.336
S--	.00	-14.200	NH4OH	.00	.000	Al (OH) 3	.00	-7.654
H2SO4	.00	-15.788	NH4+	.00	.000	Al (OH) 4-	.42	-5.354

Deep water pH is 7.724

HSO4-	.03	-6.512	Fe++	.00	-8.417	AlSO4+	.00	-20.326
SO4--	676.63	-2.152	Fe+++	.00	-24.539	Al (SO4) 2-	.00	-20.578
HF	.00	-6.939	FeOH+	.00	-7.552	AlF++	.00	-17.011
F-	7.40	-3.410	Fe (OH) 2	.00	-7.995	AlF2+	.00	-14.353
Cl-	72.31	-2.690	Fe (OH) 3-	.00	-9.450	AlF3	.00	-13.440
Na+	556.29	-1.616	Fe (OH) 4--	.00	-13.892	AlF4-	.00	-14.223
K+	33.46	-3.068	Fe (OH) ++	.00	-16.941	AlF5--	.00	-16.058
Ca++	12.45	-3.508	Fe (OH) 2+	.00	-10.945	AlF6---	.00	-18.970

### Log solubility products of minerals in deep water

	Theor.	Calc.	Theor.	Calc.	Theor.	Calc.	Theor.	Calc.	Adularia
15.748	-16.270	Albite, low	-15.143	-14.813	Analcime	-12.221	-12.265		
Anhydrite	-6.311	-6.423	Calcite	-10.327	-8.684	Chalcedony	-2.513	-2.548	
Mg-Chlorite	-80.000	-74.284	Fluorite	-10.555	-10.898	Goethite	-2.818	-2.247	
Laumontite	-25.491	-24.967	Microcline	-16.833	-16.270	Magnetite	-26.068	-21.167	
Ca-Montmor.	-77.240	-88.907	K-Montmor.	-37.039	-45.692	Mg-Montmor.	-78.571	-89.870	
Na-Montmor.	-37.178	-44.236	Muscovite	-19.094	-19.284	Prehnite	-35.851	-34.182	
76.367	-93.023	Pyrite	-113.881	-128.813	Quartz	-2.709	-2.548		
Wairakite	-23.928	-24.967	Wollastonite	9.552	9.029	Zoisite	-35.397	-35.689	
Epidote	-40.016	-36.429	Marcasite	-93.009	-128.813	Talc	12.961	21.650	
Chrysotile	20.290	26.746	Sil. amorph.	-2.001	-2.548				

örnek no 11

kaynarca

Water sample (mg/kg)

Steam sample

pH/deg.C	7.70/ 53.0	Gas (volume %)	Reference temperature deg.C :	159.8	(Chalcedony)
CO2	385.00	CO2	.00		
H2S	.01	H2S	.00	Sampling pressure	bar abs. : 1.0
NH3	.00	NH3	.00	Discharge enthalpy	kJ/kg : 675. Calculated
B	.00	H2	.00	Discharge	kg/s : .0

SiO2	226.00	O2	.00	Steam fraction at collection :	.0000
Na	540.00	CH4	.00		
K	34.00	N2	.00	Measured temperature deg.C :	53.0
Mg	.500				
Ca	39.00	Liters gas per kg condensate/deg.C	.00/ .0	Condensate (mg/kg)	.00/ .0
F	7.600			pH/deg.C	.00
C1	71.80	Total steam (mg/kg)		CO2	.00
SO4	753.00	CO2	.00	H2S	.00
Al	.140	H2S	.00	NH3	.00
Fe	.050	NH3	.00	Na	.00
TDS	1994.00				

Ionic strength = .03393  
 Ionic balance : Cations (mol.eq.) = .02558169  
 Difference (%) = -1.51  
 Anions (mol.eq.) = .02597196

Deep water components (mg/kg)			Deep steam (mg/kg)			Gas pressures (bar-abs.)		
B	.00	CO2	385.00	CO2	.00	CO2	.956E-01	
SiO2	226.00	H2S	.01	H2S	.00	H2S	.880E-06	
Na	540.00	NH3	.00	NH3	.00	NH3	.000E+00	
K	34.00	H2	.00	H2	.00	H2	.000E+00	
Mg	.500	O2	.00	O2	.00	O2	.000E+00	
Ca	39.00	CH4	.00	CH4	.00	CH4	.000E+00	
F	7.600	N2	.00	N2	.00	N2	.000E+00	
C1	71.80					H2O	.615E+01	
SO4	753.00					Total	.625E+01	
Al	.1400							
Fe	.0500							
TDS	1994.00							

Ionic strength = .03186  
 Ionic balance : Cations (mol.eq.) = .02449566  
 Anions (mol.eq.) = .02449065  
 $\frac{1000/T \text{ (Kelvin)}}{\text{Difference (\%)}} = \frac{2.31}{-1.60}$

Oxidation potential (volts) : Eh H2S= -.474 Eh CH4= 99.999 Eh H2= 99.999 Eh NH3= 99.999

Chemical geothermometers (degrees C)

Quartz 181.5 (Fournier & Potter, GRC Bulletin, pp. 3-12, Nov. 1982)

Chalcedony 159.8 (Fournier, Geothermics, vol. 5, pp. 41-50, 1977)

Na/K 146.4 (Arnorsson et al., Geochim. Cosmochim. Acta, vol. 47, pp. 567-577, 1983)

örnek no 11

Activity coefficients in deep water

H+	.826	KSO4-	.800	Fe++	.424			
OH-	.783	F-	.783	Fe+++	.184			
H3SiO4-	.788	Cl-	.778	FeOH+	.797	AlOH++		
H2SiO4--	.414	Na+	.788	Fe(OH)3-	.797	Al(OH)2+		
H2BO3-	.773	K+	.778	Fe(OH)4---	.407	Al(OH)4-		
HCO3-	.788	Ca++	.424	Fe(OH)++	.407	AlSO4+		
CO3--	.398	Mg++	.456	Fe(OH)2+	.800	Al( SO4)2-		
HS-	.783	CaHCO3+	.805	Fe(OH)4-	.800	AlF4+		
S--	.407	MgHCO3+	.788	FeSO4+	.797	AlF2+		
HSO4-	.792	CaOH+	.805	FeCl++	.407	AlF4-		
SO4--	.389	MgOH+	.809	FeCl2+	.797	AlF5---		
NaSO4-	.800	NH4+	.773	FeCl4-	.788	AlF6----		
							.127	

Chemical species in deep water - ppm and log mole

H+	.00	-7.567	Mg++	.09	-5.439	Fe (OH) 3	.01	-7.284
OH-	2.77	-3.788	NaCl	.82	-4.851	Fe (OH) 4-	.10	-6.080
H4SiO4	324.01	-2.472	KCl	.02	-6.691	FeCl+	.00	-10.861
H3SiO4-	31.10	-3.485	NaSO4-	66.05	-3.256	FeCl2	.00	-19.991
H2SiO4--	.03	-6.514	KSO4-	12.79	-4.024	FeCl4+	.00	-24.106
NaH3SiO4	7.41	-4.202	CaSO4	42.96	-3.501	FeCl2+	.00	-26.452
H3BO3	.00	.000	MgSO4	1.93	-4.795	FeCl3	.00	-29.741
H2BO3-	.00	.000	CaCO3	8.46	-4.073	FeCl4-	.00	-33.460

H <sub>2</sub> CO <sub>3</sub>	48.58	-3.106	MgCO <sub>3</sub>	.01	-6.755	FeSO <sub>4</sub>	.00	-9.449
HCO <sub>3</sub> -	461.57	-2.121	CaHCO <sub>3</sub> +	29.14	-3.540	FeSO <sub>4</sub> +	.00	-21.710
CO <sub>3</sub> --	1.63	-4.566	MgHCO <sub>3</sub> +	.04	-6.319	Al+++	.00	-21.540
H <sub>2</sub> S	.00	-7.630	CaOH+	.09	-5.798	AlOH++	.00	-16.093
HS-	.01	-6.569	MgOH+	.01	-6.611	Al(OH) <sub>2</sub> +	.00	-11.413
S--	.00	-14.168	NH <sub>4</sub> OH	.00	.000	Al(OH) <sub>3</sub>	.00	-7.626
H <sub>2</sub> SO <sub>4</sub>	.00	-15.346	NH <sub>4</sub> +	.00	.000	Al(OH) <sub>4</sub> -	.49	-5.287
HSO <sub>4</sub> -	.05	-6.257	Fe++	.00	-9.158	AlSO <sub>4</sub> +	.00	-20.632
SO <sub>4</sub> --	658.71	-2.164	Fe+++	.00	-25.132	Al(SO <sub>4</sub> ) <sub>2</sub> -	.00	-20.841
HF	.00	-6.719	FeOH+	.00	-8.165	AlF++	.00	-17.234
F-	7.60	-3.398	Fe(OH) <sub>2</sub>	.00	-8.438	AlF <sub>2</sub> +	.00	-14.426
C1-	71.29	-2.697	Fe(OH) <sub>3</sub> -	.00	-9.660	AlF <sub>3</sub>	.00	-13.414
Na+	525.48	-1.641	Fe(OH) <sub>4</sub> --	.00	-14.089	AlF <sub>4</sub> -	.00	-14.134
K+	30.29	-3.111	Fe(OH) <sub>4</sub> ++	.00	-17.340	AlF <sub>5</sub> --	.00	-15.935
Ca++	11.35	-3.548	Fe(OH) <sub>2</sub> +	.00	-11.103	AlF <sub>6</sub> ---	.00	-18.863

### Log solubility products of minerals in deep water

Theor.	Calc.	Theor.	Calc.	Theor.	Calc.	Theor.	Calc.	Theor.	Calc.
Adularia	-15.442	-16.025	Albite, low	-14.867	-14.549	Analcime	-12.030	-12.077	Anhydrite
6.526	-6.494	Calcite	-10.610	-8.887	Chalcedony	-2.433	-2.472	Mg-Chlorite	-80.232
Fluorite	-10.584	-10.929	Goethite	-2.238	-2.282				-78.250
Laumontite	-25.175	-24.586	Microcline	-16.458	-16.025	Magnetite	-24.985	-21.884	Ca-Montmor.
75.815	-87.006	K-Montmor.	-36.213	-44.763	Mg-Montmor.	-77.183	-88.866		
Na-Montmor.	-36.380	-43.288	Muscovite	-18.730	-19.011	Prehnite	-35.793	-33.823	
Pyrrohotite	-69.558	-92.140	Pyrite	-104.612	-127.486	Quartz	-2.613	-2.472	Wairakite
23.843	-24.586	Wollastonite	9.238	8.907	Zoisite	-35.468	-35.316		
Epidote	-39.140	-36.105	Marcasite	-84.371	-127.486	Talc	12.312	18.669	
Chrysotile	19.475	23.614	Sil. amorph.	-1.947	-2.472				

örnek no 12  
kaynarca

	Water sample (mg/kg)	Steam sample					
pH/deg.C	7.80/ 80.0	Gas (volume 8)	Reference temperature	deg.C : 163.2	(Chalcedony)		
CO2	391.00	CO2 .00					
H2S	.01	H2S .00	sampling pressure	bar abs. :	1.0		
NH3	.00	NH3 .00	Discharge enthalpy	kJ/kg :	689. (calculated)		
B	.00	H2 .00	Discharge	kg/s :	.0		
SiO2	241.00	O2 .00	Steam fraction at collection	:	.0000		
Na	530.00	CH4 .00					
K	33.00	N2 .00	Measured temperature	deg.C :	80.0		
Mg	3.300						
Ca	44.00	Liters gas per kg					
F	7.200	condensate/deg.C .00/ .0	Condensate (mg/kg)	pH/deg.C	.00/ .0		
Cl	70.90	Total steam (mg/kg)	CO2 .00				
SO4	746.00	CO2 .00	H2S .00				
Al	.130	H2S .00	NH3 .00				
Fe	.200	NH3 .00	Na .00				
TDS	2006.00						
Ionic strength =	.03337						
Ionic balance :	Cations (mol.eq.) = .02513072	Anions (mol.eq.) = .02572574	Difference (8) = -2.34				
Deep water components (mg/kg)		Deep steam (mg/kg)		Gas pressures (bar-abs.)			
B	.00	CO2 391.00		CO2 .00			
SiO2	241.00	H2S .01		H2S .00			
Na	530.00	NH3 .00		NH3 .00			
K	33.00	H2 .00		H2 .00			
Mg	3.300	O2 .00		O2 .00			
Ca	44.00	CH4 .00		CH4 .00			

F	7.200	N2	.00
C1	70.90		
SO4	746.00		
Al	.1300		
Fe	.2000		
TDS	2006.00	Aquifer steam fraction =	.0000

Ionic strength = .03148  
 Ionic balance : Cations (mol.eq.) = .02414836  
 Anions (mol.eq.) = .02475708  
 1000/T (Kelvin) = 2.29  
 Difference (%) = -2.49

Oxidation potential (volts) : Eh H2S= -.488 Eh CH4= 99.999 Eh H2= 99.999 Eh NH3= 99.999

Chemical geothermometers (degrees C)  
 Quartz 184.4 (Fournier & Potter, GRC Bulletin, pp. 3-12, Nov. 1982)  
 Chalcedony 163.2 (Fournier, Geothermics, vol. 5, pp. 41-50, 1977)  
 Na/K 145.4 (Arnorsson et al., Geochim. Cosmochim. Acta, vol. 47, pp. 567-577, 1983)

Örnek no 12

Activity coefficients in deep water

H+	.825	KSO4-	.799	Fe++	.422	FeCl+	.787
OH-	.782	F-	.782	Fe+++	.182	Al+++	.182
H3SiO4-	.787	Cl-	.777	FeOH+	.796	AlOH++	.412
H2SiO4--	.412	Na+	.787	Fe(OH) 3-	.796	Al(OH) 2+	.799
H2BO3-	.772	K+	.777	Fe(OH) 4--	.405	Al(OH) 4-	.791
HCO3-	.787	Ca++	.422	Fe(OH) ++	.405	AlSO4+	.791
CO3--	.396	Mg++	.454	Fe(OH) 2+	.799	Al (SO4) 2-	.791
HS-	.782	CaHCO3+	.804	Fe(OH) 4-	.799	AlF++	.412
S--	.405	MgHCO3+	.787	FeSO4+	.796	AlF2+	.799
HSO4-	.791	CaOH+	.804	FeCl++	.405	AlF4-	.791
SO4--	.387	MgOH+	.808	FeCl2+	.796	AlF5--	.396
NaSO4-	.799	NH4+	.772	FeCl4-	.787	AlF6---	.125

Chemical species in deep water - ppm and log mole

				Deep water pH is 7.736
H+	.00	-7.652	Mg++	.57
OH-	3.61	-3.673	NaCl	.82
H4SiO4	337.83	-2.454	KCl	.02
H3SiO4-	39.63	-3.380	NaSO4-	65.50
H2SiO4--	.04	-6.329	KSO4-	12.61
NaH3SiO4	9.30	-4.104	CaSO4	46.97
H3BO3	.00	.000	MgSO4	12.69
H2BO3-	.00	.000	CaCO3	11.80
H2CO3	43.07	-3.158	MgCO3	.12
HCO3-	470.02	-2.113	CaHCO3+	33.63
CO3--	1.93	-4.493	MgHCO3+	.28
H2S	.00	-7.695	CaOH+	.13
HS-	.01	-6.563	MgOH+	.09
S--	.00	-14.049	NH4OH	.00
H2SO4	.00	-15.454	NH4+	.00
H5O4-	.05	-6.307	Fe++	.00
SO4--	640.87	-2.176	Fe+++	.00
HF	.00	-6.795	FeOH+	.00
F-	7.20	-3.422	Fe(OH)2	.00
C1-	70.40	-2.702	Fe(OH)3-	.00
Na+	515.22	-1.650	Fe(OH)4--	.00
K+	29.34	-3.125	Fe(OH)++	.00
Ca++	12.03	-3.523	Fe(OH)2+	.00
			Fe(OH)3-	.02
			Fe(OH)4-	.42
			FeCl+	.00
			FeCl12	.00
			FeCl1+	.00
			FeCl12+	.00
			FeCl13	.00
			FeCl14-	.00
			Fe5O4	.00
			Fe5O4+	.00
			Al+++	.00
			AlOH++	.00
			Al(OH)2+	.00
			Al(OH)3	.00
			Al(OH)4-	.46
			AlSO4+	.00
			Al(SO4)2-	.00
			AlF++	.00
			AlF2+	.00
			AlF3	.00
			AlF4-	.00
			AlF5--	.00
			AlF6----	.00

Log solubility products of minerals in deep water

Theor.	Calc.	Theor.	Calc.	Theor.	Calc.	Theor.	Calc.	Theor.	Calc.
Adularia	-15.372	-16.017	Albite, low	-14.804	-14.536	Analcime	-11.987	-12.082	
Anhydrite	-6.581	-6.485	Calcite	-10.682	-8.792	Chalcedony	-2.413	-2.454	
Mg-Chlorite	-80.310	-73.304	Fluorite	-10.592	-10.954	Goethite	-2.090	-1.787	
25.106 -24.554 Microcline	-16.372	-16.017	Magnetite	-24.710	-20.542	Laumontite	-	-	
K-Montmor.	-36.035	-45.493	Mg-Montmor.	-76.890	-89.490	Ca-Montmor.	-75.513	-88.414	

Na-Montmor.	-36.208	-44.012	Muscovite	-18.652	-19.298	Prehnite	-35.792	-33.556 Pyrrhotite
67.844	-88.526	Pyrite	-102.299	-124.755	Quartz	-2.590	-2.45	-
Wairakite	-23.830	-24.554	Wollastonite	9.162	9.120	Zoisite	-35.499	-35.197
Epidote	-38.938	-35.343	Marcasite	-82.211	-124.755	Talc	12.156	21.681
Chrysotile	19.279	26.589	Sil. amorph.	-1.934	-2.454			

örnek no 13 kaynarca

#### Water sample (mg/kg)

	Water sample (mg/kg)	Steam sample						
pH/deg.C	7.40 / 74.0	Gas (volume 8)	Reference temperature	deg.C : 157.3	(Chalcedony)			
CO2	479.00	CO2	.00					
H2S	.01	H2S	.00	Sampling pressure	bar abs. :	1.0		
NH3	.00	NH3	.00	Discharge enthalpy	kJ/kg :	664.	(Calculated)	
B	.00	H2	.00	Discharge	kg/s :	.0		
SiO2	215.00	O2	.00	Steam fraction at collection	:	.0000		
Na	540.00	CH4	.00					
K	34.00	N2	.00	Measured temperature	deg.C :	74.0		
Mg	.500							
Ca	37.00	Liters gas per kg condensate/deg.C	.00 / .0	Condensate (mg/kg)				
F	7.400	pH/deg.C	.00 / .0					
Cl	70.90	Total steam (mg/kg)						
SO4	753.00	CO2		CO2				
Al	.120	CO2		H2S				
Fe	1.100	H2S		NH3				
TDS	1958.00	NH3		Na				

$$\text{Ionic strength} = .03441 \\ \text{Ionic balance : Cations (mol.eq.)} = .02538169 \\ \text{Anions (mol.eq.)} = .02749523$$

$$\text{Difference (\%)} = -7.99 \\ \text{Deep steam (mg/kg)}$$

Deep water components (mg/kg)

Gas pressures (bar-abs.)

B	.00	CO2	.00
SiO2	215.00	H2S	.00
Na	540.00	NH3	.00
K	34.00	H2	.00
Mg	.500	O2	.00
Ca	37.00	CH4	.00
F	7.400	N2	.00
Cl	70.90		
SO4	753.00		
Al	.1200		
Fe	1.1000		
TDS	1958.00	Aquifer steam fraction =	.0000

Ionic strength = .03280  
 Ionic balance : Cations (mol.eq.) = .02450233 Anions (mol.eq.) = .026667217  
 Difference (%) = -8.48

Oxidation potential (volts) : Eh H2S= -.462 Eh CH4= 99.999 Eh H2= 99.999 Eh NH3= 99.999

#### Chemical geothermometers (degrees C)

Quartz 179.2 (Fournier & Potter, GRC Bulletin, pp. 3-12, Nov. 1982)  
 Chalcedony 157.3 (Fournier, Geothermics, vol. 5, pp. 41-50, 1977)  
 Na/K 146.7 (Arnorsson et al., Geochim. Cosmochim. Acta, vol. 47, pp. 567-577, 1983)

Örnek no 13

#### Activity coefficients in deep water

H+	.826	KSO4-	.799
OH-	.782	F-	.782
H3SiO4-	.787	Cl-	.777
H2SiO4--	.413	Na+	.787
H2BO3-	.772	K+	.777
HCO3-	.787	Ca++	.423

CO2	.135E+00
H2S	.101E-05
NH3	.000E+00
H2	.000E+00
O2	.000E+00
CH4	.000E+00
N2	.000E+00
H2O	.577E+01
Total	.590E+01

Chemical species in deep water - ppm and log mole		Deep water pH is 7.571	
CO3--	.397	Mg++	.455
HS-	.782	CaHCO3+	.804
S--	.406	MgHCO3+	.787
HSO4-	.792	CaOH+	.804
SO4--	.388	MgOH+	.808
NASO4-	.799	NH4+	.772
H+	.00	-7.488	Mg++
OH-	2.20	-3.889	NaCl
H4SiO4	313.68	-2.486	KCl
H3SiO4-	25.11	-3.578	NaSO4-
H2SiO4--	.02	-6.679	KSO4-
NaH3SiO4	5.95	-4.298	CaSO4
H3BO3	.00	.000	MgSO4
H2BO3-	.00	.000	CaCO3
H2CO3	68.71	-2.956	MgCO3
HCO3-	571.18	-2.029	CaHCO3+
CO3--	1.75	-4.535	MgHCO3+
H2S	.00	-7.569	CaOH+
HS-	.01	-6.574	MgOH+
S--	.00	-14.271	NH4OH
H2SO4	.00	-15.247	NH4+
HSO4-	.06	-6.215	Fe++
SO4--	664.24	-2.160	Fe+++
HF	.00	-6.679	FeOH+
F-	7.40	-3.410	Fe(OH)2
Cl-	70.41	-2.702	Fe(OH)3-
	526.12	-1.640	Fe(OH)4--
Na+	30.40	-3.109	Fe(OH)++
K+	10.43	-3.585	Fe(OH)2+
Ca++			Fe(OH)3
			Fe(OH)4-
			FeCl+
			FeCl2+
			FeCl4-
			AlF5--
			AlF6---
			Al (SO4)2-
			AlF++
			AlF2+
			AlF4-
			AlF5--
			AlF6---
			.15
			-5.854
			2.21
			-4.749
			.00
			-9.149
			.00
			-18.438
			.00
			-22.345
			.00
			-24.700
			.00
			-28.005
			.00
			-31.744
			.00
			-7.718
			.00
			-19.942
			.00
			-21.145
			.00
			-15.82
			.00
			-11.269
			.00
			-7.595
			.00
			-5.354
			.42
			.00
			-20.263
			.00
			-20.482
			.00
			-16.887
			.00
			-14.121
			.00
			-13.140
			.00
			-13.881
			.00
			-15.697
			.00
			-18.628

Log solubility products of minerals in deep water

	Theor.	Calc.	Theor.	Calc.	Theor.	Calc.	Theor.	Calc.
Adularia	-15.497	-16.134	Albite, low	-14.916	-14.659	Analcime	-12.064	-12.173
Anhydrite	-6.484	-6.530	Calcite	-10.555	~8.894	Chalcedony	-2.448	-2.486
Mg-Chlorite	-80.177	-79.176	Fluorite	-10.577	-10.991	Goethite	-2.351	.850
Laumontite	-25.230	-24.815	Microcline	-16.526	-16.134	Magnetite	-25.194	-17.481
Ca-Montmor.	-76.061	-87.091	K-Montmor.	-36.357	-44.785	Mg-Montmor.	-77.422	-88.900
Na-Montmor.	-36.519	-43.311	Muscovite	-18.793	-19.054	Prehnite	-35.798	-34.279
Pyrrhotite	-70.867	-80.340	Pyrite	-106.383	-114.913	Quartz	-2.631	-2.486
23.855 -24.815	Wollastonite	9.297	8.698	Zoisite	-35.448	-35.739	Wairakite	-
Epidote	-39.300	-35.129	Marcasite	-86.025	-114.913	Talc	12.433	18.179
Chrysotile	19.627	23.152	Sil. amorph.	-1.957	-2.486			

örnek no 14 kaynarca

Water sample (mg/kg)

Steam sample

pH/deg.C	8.60 / 99.9	Gas (volume %)	Reference temperature	deg.C : 124.9 (Chalcedony)
CO2	348.00	CO2 .00		
H2S	.05	H2S .00		
NH3	.00	NH3 .00		
B	.00	H2 .00	Sampling pressure Discharge enthalpy kg/kg ; 524. kg/s : .0 Steam fraction at collection : .0000	(Calculated)
SiO2	203.00	O2 .00		
Na	540.00	CH4 .00		
X	33.00	N2 .00	Measured temperature	deg.C : 99
Mg	.500		Liters gas per kg condensate/deg.C .00 / .0	Condensate (mg/kg)
Ca	33.00			
F	6.800			
C1	69.90			
SO4	735.00	Total steam (mg/kg) .00	CO2 .00	.00
Al	.080	CO2 .00	H2S .00	.00
Fe	.050	H2S .00	NH3 .00	

TDS	1948.00	NH3	.00	Na	.00
Ionic strength =	.03319				
Ionic balance :	Cations (mol.eq.) = .02450339	Anions (mol.eq.) = .02620693			
Difference (%) = -6.72					

Deep water components (mg/kg)			Deep steam (mg/kg)			Gas pressures (bar-abs.)		
B	.00	CO2	348.00			CO2	.771E-02	
SiO2	203.00	H2S	.05			H2S	.539E-06	
Na	540.00	NH3	.00			NH3	.000E+00	
K	33.00	H2	.00			H2	.000E+00	
Mg	.500	O2	.00			O2	.000E+00	
Ca	33.00	CH4	.00			CH4	.000E+00	
F	6.800	N2	.00			N2	.000E+00	
Cl	69.90					H2O	.231E+01	
SO4	735.00				Total		.232E+01	
Al	.0800							
Fe	.0500							
TDS	1948.00	Aquifer steam fraction = .0000						
Ionic strength =	.03269					1000/T (Kelvin) = 2.51		
Ionic balance :	Cations (mol.eq.) = .02432089	Anions (mol.eq.) = .02602644						
Difference (%) = -6.78								
Oxidation potential (volts) : Eh H2S = -.491	Eh CH4 = 99.999	Eh H2 = 99.999	Eh NH3 = 99.999					
Chemical geothermometers (degrees C)								
Quartz 150.3	(Fournier & Potter, GRC Bulletin, pp. 3-12, Nov. 1982)							
Chalcedony 124.9	(Fournier, Geothermics, vol. 5, pp. 41-50, 1977)							
Na/K 147.1	(Arnorsson et al., Geochim. Cosmochim. Acta, vol. 47, pp. 567-577, 1983)							

Örnek no 14

Activity coefficients in deep water

H+	.840	KSO4-	.816	Fe++	.457
OH-	.800	F-	.800	Fe+++	.213
H3SiO4-	.804	Cl-	.795	FeOH+	.812
H2SiO4--	.447	Na+	.804	Fe (OH) 3-	.812
H2BO3-	.790	K+	.795	Fe (OH) 4--	.440
HCO3-	.804	Ca++	.457	Fe (OH) ++	.440
CO3--	.432	Mg++	.488	Fe (OH) 2+	.816
HS-	.800	CaHCO3+	.820	Fe (OH) 4-	.816
S--	.440	MgHCO3+	.804	FeSO4+	.812
HSO4-	.808	CaOH+	.820	FeCl++	.440
SO4--	.423	MgOH+	.824	FeCl2+	.812
NaSO4-	.816	NH4+	.790	FeCl4-	.804
				AlF6---	.152

Chemical species in deep water - ppm and log mole

H+	.00	-8.383	Mg++	.12	-5.311	Fe (OH) 3	.00	-7.783
OH-	7.51	-3.355	NaCl	.57	-5.009	Fe (OH) 4-	.10	-6.08
H4SiO4	200.09	-2.682	KCl	.01	-6.914	FeCl+	.00	-10.848
H3SiO4-	103.17	-2.965	NaSO4-	46.85	-3.405	FeCl2	.00	-22.226
H2SiO4--	.62	-5.183	KSO4-	8.63	-4.195	FeCl++	.00	-25.646
NaH3SiO4	24.26	-3.687	CaSO4	23.99	-3.754	FeCl2+	.00	-28.006
H3BO3	.00	.000	MgSO4	1.63	-4.869	FeCl3	.00	-31.427
H2BO3-	.00	.000	CaCO3	25.82	-3.588	FeCl4-	.00	-35.352
H2CO3	4.21	-4.169	MgCO3	.10	-5.936	FeSO4	.00	-9.188
HCO3-	440.14	-2.142	CaHCO3+	12.66	-3.902	FeSO4+	.00	-23.176
CO3--	14.50	-3.617	MgHCO3+	.04	-6.336	Al+++	.00	-22.960
H2S	.00	-7.804	CaOH+	.15	-5.573	AlOH++	.00	-17.398
HS-	.05	-5.838	MgOH+	.02	-6.261	Al (OH) 2+	.00	-12.467
S--	.00	-12.952	NH4OH	.00	.000	Al (OH) 3	.00	-8.352
H2SO4	.00	-17.760	NH4+	.00	.000	Al (OH) 4-	.28	-5.529

Deep water pH is 8.459

FeCl+	.804	Al+++	.213	AlOH++	.447	Al (OH) 2+	.816
Al (OH) 4-	.808	AlSO4+	.808	Al (SO4) 2-	.808		
AlF++	.447	AlF2+	.816				
AlF4-	.808	AlF5--	.432				
AlF6---	.152						

$\text{HSO}_4^-$	.00	-7.550	Fe <sup>++</sup>	.00	-8.813	$\text{AlSO}_4^+$	.00	-22.300
$\text{SO}_4^{--}$	672.83	-2.155	Fe <sup>++</sup>	.00	-25.968	$\text{Al}(\text{SO}_4)_2^-$	.00	-22.625
HF	.00	-7.922	FeOH <sup>+</sup>	.00	-7.560	$\text{AlF}_3^+$	.00	-19.113
F <sup>-</sup>	6.80	-3.446	Fe(OH) <sup>2</sup>	.00	-7.692	$\text{AlF}_2^+$	.00	-16.689
Cl <sup>-</sup>	69.55	-2.707	Fe(OH) <sup>3-</sup>	.00	-8.946	$\text{AlF}_3$	.00	-15.936
Na <sup>+</sup>	526.01	-1.641	Fe(OH) <sup>4--</sup>	.00	-12.840	$\text{AlF}_4^-$	.00	-16.830
K <sup>+</sup>	30.50	-3.108	Fe(OH) <sup>++</sup>	.00	-18.065	$\text{AlF}_5^{---}$	.00	-18.737
Ca <sup>++</sup>	10.47	-3.583	Fe(OH) <sup>2+</sup>	.00	-11.842	$\text{AlF}_6^{----}$	.00	-21.649

Log solubility products of minerals in deep water

	Theor.	Calc.	Theor.	Calc.	Theor.	Calc.	Theor.	Calc.	Theor.
16.351	-16.873	Albite,	low	-15.691	-15.401	Analcime	-12.614	-12.719	
Anhydrite	-5.973	-6.452	Calcite	-9.892	-7.905	Chalcedony	-2.656	-2.682	
Mg-Chlorite	-79.915	-75.017	Fluorite	-10.528	-11.010	Goethite	-3.715	-2.719	
Laumontite	-26.158	-25.891	Microcline	-17.562	-16.873	Magnetite	-27.786	-21.494	
Ca-Montmor.	-80.409	-100.185	K-Montmor.	-38.821	-51.339	Mg-Montmor.	-81.665	-101.885	
Na-Montmor.	-38.907	-49.866	Muscovite	-19.886	-21.211	Prehnite	-36.134	-34.037	
Pyrrhotite	-87.338	-96.361	Pyrite	-129.126	-134.434	Quartz	-2.880	-2.682	Wairakite
24.194	-25.891	Wollastonite	10.108	10.314	Zoisite	-35.477	-36.206		
Epidote	-41.620	-36.756	Marcasite	-107.134	-134.434	Talc	14.113	23.162	
Chrysotile	21.745	28.526	Sil. amorph.	-2.095	-2.682				

örnek no 15 kaynarca

Steam sample Water sample (mg/kg)

pH/deg.C	8.40 / 366.00	46.0	Gas (volume)	Reference temperature	deg.C : 131.8	(Chalcedony)
CO <sub>2</sub>			CO <sub>2</sub>	.00		
H <sub>2</sub> S	.01		H <sub>2</sub> S	.00	Sampling pressure	bar abs. : 1.0
NH <sub>3</sub>	.00		NH <sub>3</sub>	.00	Discharge enthalpy	kJ/kg : 554.
B	.00		H <sub>2</sub>	.00	Discharge	k <sub>a/s</sub> : .0

Sio2	165.00	O2	.00	Steam fraction at collection :	.0000
Na	570.00	CH4	.00		
K	39.00	N2	.00	Measured temperature	deg.C : 46.0
Mg	1.000				
Ca	33.00	Liters gas per kg			
F	7.600	condensate/deg.C	.00/		
C1	72.80	pH/deg.C	.00/		
SO4	781.00	Total steam (mg/kg)	.00	Condensate (mg/kg)	
Al	.100	CO2	.00	CO2	.00
Fe	.050	H2S	.00	H2S	.00
TDS	1990.00	NH3	.00	NH3	.00
		Na	.00	Na	.00
Ionic strength =	.03526				
Ionic balance :	Cations (mol.eq.) = .02672652	Anions (mol.eq.) = .02673589			
Difference (%) = -.04					
Deep water components (mg/kg)		Deep steam (mg/kg)		Gas pressures (bar-abs.)	
B	.00	CO2	366.00	CO2	.321E-01
Sio2	165.00	H2S	.01	H2S	.382E-06
Na	570.00	NH3	.00	NH3	.000E+00
K	39.00	H2	.00	H2	.000E+00
Mg	1.000	O2	.00	O2	.000E+00
Ca	33.00	CH4	.00	CH4	.000E+00
F	7.600	N2	.00	N2	.000E+00
C1	72.80			H2O	.285E+01
SO4	781.00			Total	.288E+01
Al	.1000				
Fe	.0500				
TDS	1990.00	Aquifer steam fraction = .0000			
Ionic strength = .03369					
Ionic balance :	Cations (mol.eq.) = .02597205	Anions (mol.eq.) = .025998517			
Difference (%) = -.05					
				1000/T (Kelvin) = 2.47	

Oxidation potential (volts) : Eh H2S= -.448 Eh CH4= 99.999 Eh H2= 99.999 Eh NH3= 99.999

Chemical geothermometers (degrees C)

Quartz 156.5 (Fournier & Potter, GRC Bulletin, pp. 3-12, Nov. 1982)  
 Chalcedony 131.8 (Fournier, Geothermics, vol. 5, pp. 41-50, 1977)  
 Na/K 156.3 (Arnorsson et al., Geochim. Cosmochim. Acta, vol. 47, pp. 567-577, 1983)

örnek no 15

Activity coefficients in deep water

H+	.835	KSO4-	.810	Fe++	.446	FeCl+	.798
OH-	.794	F-	.794	Fe+++	.204	Al+++	.20
H3SiO4-	.798	Cl-	.789	FeOH+	.807	AlOH++	.436
H2SiO4--	.436	Na+	.798	Fe(OH)-3-	.807	Al(OH)2+	.810
H2BO3-	.784	K+	.789	Fe(OH)4--	.429	Al(OH)4-	.803
HCO3-	.798	Ca++	.446	Fe(OH)++	.429	AlSO4+	.803
CO3--	.420	Mg++	.477	Fe(OH)2+	.810	Al(SO4)2-	.803
CaHCO3+	.815	Fe(OH)4-	.810	AlF++	.436	HS-	.794
FeSO4+	.807	AlF2+	.810			MgHCO3+	.798
HSO4-	.803	CaOH+	.815	FeCl++	.429		
SO4--	.411	MgOH+	.819	FeCl2+	.807	AlF4-	.803
NH4+	.784	FeCl4-	.798	AlF5--	.143	AlF5--	.420
						NaSO4-	.810

Chemical species in deep water - ppm and log mole

H+	.00	-7.839	Mg++	.23	-5.025	Fe(OH)3	.00	-7.364
OH-	2.63	-3.811	NaCl	.68	-4.933	Fe(OH)4-	.09	-6.137
H4SiO4	221.54	-2.637	KCl	.01	-6.789	FeCl+	.00	-9.871
H3SiO4-	34.92	-3.435	NaSO4-	55.05	-3.335	FeCl2	.00	-20.764
H2SiO4--	.06	-6.183	KSO4-	11.32	-4.077	FeCl++	.00	-23.862
NaH3SiO4	8.65	-4.135	CaSO4	31.75	-3.632	FeCl2+	.00	-26.210
H3BO3	.00	.000	MgSO4	3.56	-4.529	FeCl3	.00	-29.592
H2BO3-	.00	.000	CaCO3	10.42	-3.982	FeCl4-	.00	-33.460
H2CO3	17.06	-3.561	MgCO3	.06	-6.146	FeSO4	.00	-8.266

Deep water pH is 7.918

	Theor.	Calc.	Theor.	Calc.	Theor.	Calc.	Theor.	Calc.
HCO <sub>3</sub> <sup>-</sup>	469.01	-2.114	CaHCO <sub>3</sub> + MgHCO <sub>3</sub> +	18.08 .08	-3.748 -.00	.00	-21.411	
CO <sub>3</sub> --	4.23	-4.152	CaOH+	.08 .07	-6.003 -5.932	.00	-21.113	Al+++
H <sub>2</sub> S	.00	-7.964	MgOH+	.02	-6.398	.00	-15.957	AlOH++
HS-	.01	-6.549	NH <sub>4</sub> OH	.00	.000	.00	-11.458	Al(OH) <sup>2+</sup>
S---	.00	-14.133	NH <sub>4</sub> +	.00	.000	.00	-7.786	Al(OH) 3
H <sub>2</sub> SO <sub>4</sub>	.00	-16.501	Fe++	.00	-7.917	.00	-5.433	Al(OH) 4-
HSO <sub>4</sub> -	.01	-6.897	Fe+++	.00	-24.333	.00	-20.397	AlSO <sub>4</sub> +
SO <sub>4</sub> --	703.28	-2.135	FeOH+	.01	-7.094	.00	-20.685	Al(SO <sub>4</sub> ) <sup>2-</sup>
HF	.00	-7.267	Fe(OH) 2	.00	-7.629	.00	-17.148	AlF++
F-	7.60	-3.398	Fe(OH) 3-	.00	-9.249	.00	-14.619	AlF2+
Cl-	72.38	-2.690	Fe(OH) 4--	.00	-13.617	.00	-13.782	AlF3
Na+	557.42	-1.615	Fe(OH) ++	.00	-16.837	.00	-14.605	AlF4-
K+	35.72	-3.039	Fe(OH) 2+	.00	-10.995	.00	-16.452	AlF5--
Ca++	12.27	-3.514					-19.324	AlF6----

### Log solubility products of minerals in deep water

Adularia	-16.144	-16.583	Albite, low	-15.503	-15.153	Analcime	-12.478	-12.51
Anhydrite	-6.078	-6.387	Calcite	-10.027	-8.394	Chalcedony	-2.609	-2.637
Mg-Chlorite	-79.901	-76.992	Fluorite	-10.534	-10.861	Goethite	-3.435	-2.317
Laumontite	-25.924	-25.471	Microcline	-17.314	-16.583	Magnetite	-27.245	-20.724
Ca-Montmor.	-79.276	-92.346	K-Montmor.	-38.190	-47.383	Mg-Montmor.	-80.558	-93.828
Na-Montmor.	-38.294	-45.954	Muscovite	-19.605	-19.816	Prehnite	-36.018	-34.521
Pyrrhotite	-83.859	-95.515	Pyrite	-124.246	-132.700	Quartz	-2.824	-2.637
Wairakite	-24.092	-25.471	Wollastonite	9.924	9.333	Zoisite	-35.424	-36.138
Epidote	-41.091	-36.838	Marcasite	-102.623	-132.700	Talc	13.733	20.917
Chrysotile	21.263	26.192	Sil. amorph.	-2.064	-2.637			

örnek no 16

kaynarca

Water sample (mg/kg)

Steam sample

PH/deg.C	7.40/	83.0	Gas (volume %)	Reference temperature	deg.C :	173.8 (Chalcedony)
CO2	403.00	CO2	.00	Sampling pressure	bar abs. :	1.0
H2S	.01	H2S	.00	Discharge enthalpy	kJ/kg :	736. (calculated)
NH3	.00	NH3	.00	Discharge	kg/s :	.0
B	.00	H2	.00	Steam fraction at collection	:	.0000
SiO2	266.00	O2	.00			
Na	520.00	CH4	.00			
K	35.00	N2	.00			
				Measured temperature	deg.C :	83.0

$$\text{Ionic strength} = .03252$$

Ionic balance : Cation Difference (8) = -7.74

	Deep water components (mg/kg)	steam (mg/kg)	Gas pressures (bar-abs.)
B	.00	CO2	.137E+00
SiO2	266.00	H2S	.110E-05
Na	520.00	NH3	.000E+00
K	35.00	H2	.000E+00
Mg	.500	O2	.000E+00
Ca	21.00	CH4	.000E+00
F	6.700	N2	.000E+00
Cl	69.90		.868E+01
SO4	744.00		.882E+01
Total			

Al

.1100  
Fe .1000  
TDS 1920.00

Aquifer steam fraction = .0000

Ionic strength = .03107  
Ionic balance : Cations (mol.eq.) = .02313648  
Difference (8) = -8.01

Oxidation potential (volts) : Eh H2S= -.495 Eh CH4= 99.999 Eh H2= 99.999 Eh NH3= 99.999

#### Chemical geothermometers (degrees C)

Quartz 193.8 (Fournier & Potter, GRC Bulletin, pp. 3-12, Nov. 1982)  
Chalcedony 173.8 (Fournier, Geothermics, vol. 5, pp. 41-50, 1977)  
Na/K 151.0 (Arnorsson et al., Geochim. Cosmochim. Acta, vol. 47, pp. 567-577, 1983)

örnek no 16

#### Activity coefficients in deep water

H+	.821	KSO4-	.795	Fe++	.413	FeCl+	.782
OH-	.777	F-	.777	Fe+++	.174	Al+++	.174
H3SiO4-	.782	Cl-	.772	FeOH+	.791	AlOH++	.403
H2SiO4--	.403	Na+	.782	Fe (OH) 3-	.791	Al (OH) 2+	.795
H2BO3-	.767	K+	.772	Fe (OH) 4--	.396	Al (OH) 4-	.787
HCO3-	.782	Ca++	.413	Fe (OH) ++	.396	AlSO4+	.787
CO3--	.387	Mg++	.445	Fe (OH) 2+	.795	Al (SO4) 2-	.787
HS-	.777	CaHCO3+	.800	Fe (OH) 4-	.795	AlF++	.403
S--	.396	MgHCO3+	.782	FeSO4+	.791	AlF2+	.795
HSO4-	.787	CaOH+	.800	FeCl++	.396	AlF4-	.787
SO4--	.378	MgOH+	.804	FeCl2+	.791	AlF5--	.387
NaSO4-	.795	NH4+	.767	FeCl4-	.782	AlF6----	.119

Chemical species in deep water - ppm and log mole

Deep water pH is 7.615

	Theor.	Calc.	Theor.	Calc.	Theor.	Calc.
H+	.00	-7.529	Mg++	.08	-5.503	.01
OH-	3.36	-3.705	NaCl	.85	-4.837	.21
H4SiO4	384.75	-2.398	KCl	.02	-6.609	-5.771
H3SiO4-	33.94	-3.448	NaSO4-	73.51	-3.209	-11.357
H2SiO4--	.03	-6.542	KSO4-	15.39	-3.944	-19.695
NaH3SSiO4	7.89	-4.175	CaSO4	24.10	-3.752	-24.327
H3BO3	.00	.000	MgSO4	1.98	-4.783	-26.678
H2BO3-	.00	.000	CaCO3	4.52	-4.345	-29.932
H2CO3	70.17	-2.946	MgCO3	.01	-6.814	-33.590
HCO3-	475.04	-2.109	CaHCO3+	17.59	-3.760	-10.002
CO3--	1.26	-4.677	MgHCO3+	.04	-6.315	-21.932
H2S	.00	-7.535	CaOH+	.06	-5.988	-22.288
HS-	.01	-6.578	MgOH+	.01	-6.486	-16.598
S--	.00	-14.096	NH4OH	.00	.000	-11.737
H2SO4	.00	-14.963	NH4+	.00	.000	-7.804
HSO4-	.09	-6.022	Fe++	.00	-9.757	-5.391
SO4--	655.08	-2.166	Fe+++	.00	-25.627	-21.266
HF	.01	-6.597	FeOH+	.00	-8.600	-21.418
F-	6.70	-3.453	Fe(OH)2	.00	-8.662	-17.848
Cl-	69.37	-2.708	Fe(OH)3-	.00	-9.609	-14.940
Na+	503.93	-1.659	Fe(OH)4--	.00	-13.998	-13.885
K+	30.54	-3.107	Fe(OH)++	.00	-17.585	-14.600
Ca++	5.08	-3.897	Fe(OH)2+	.00	-11.053	-16.430
						-19.439
						.00
						-35.821
						-34.375

### Log solubility products of minerals in deep water

	Theor.	Calc.	Theor.	Calc.	Theor.	Calc.
Adularia	-15.168	-15.908	Albite, low	-14.620	-14.454	-12.057
Anhydrite	-6.758	-6.870	Calcite	-10.919	-9.371	-2.398
Mg-Chlorite	-80.614	-77.975	Fluorite	-10.623	-11.406	-2.353
Laumontite	-24.913	-24.863	Microcline	-16.116	-15.908	-1.604
Ca-Montmor.	-74.675	-88.192	K-Montmor.	-35.531	-45.175	-23.817
Na-Montmor.	-35.724	-43.722	Muscovite	-18.433	-19.270	-76.077
						-89.766
						-35.821
						-34.375

Pyrrhotite	-62.305	-89.305	Pyrite	-94.875	-124.437	Quartz	-2.519	-2.398
Wairakite	-23.811	-24.863	Wollastonite	8.926	8.551	Zoisite	-35.634	-36.056
Epidote	-38.341	-36.431	Marcasite	-75.260	-124.437	Talc	11.669	18.532
Chrysotile	18.669	23.328	Sill. amorph.	-1.894	-2.398			

örnek no 17 kaynarca

#### Water sample (mg/kg)

	Water sample (mg/kg)	Steam sample						
pH/deg.C	7.60/	76.0	Gas (volume %)	.00	Reference temperature	deg.C :	142.5	(Chalcedony)
CO2	421.00	CO2			Sampling pressure	bar abs. :	1.0	
H2S	.01	H2S	.00		Discharge enthalpy	kJ/kg :	600.	(calculated)
NH3	.00	NH3	.00		Discharge	kg/s :	.0	
B	.00	H2	.00		Steam fraction at collection	:	.0000	
SiO2	178.00	O2	.00					
Na	530.00	CH4	.00					
K	35.00	N2	.00	Measured temperature	deg.C :	76.		
Mg	.500							
Ca	36.00							
F	6.800							
Cl	70.90							
SO4	743.00							
Al	.110							
Fe	.500							
TDS	1934.00							

Liters gas per kg  
condensate/deg.C .00/ .0 Condensate (mg/kg)

pH/deg.C	.00/ .0	
Total steam (mg/kg)	.00	
CO2	CO2	.00
H2S	H2S	.00
NH3	NH3	.00
	Na	.00

Ionic strength = .03345  
Ionic balance : Cations (mol.eq.) = .02489609 Anions (mol.eq.) = .02628943  
Difference (%) = -5.44

Deep water components (mg/kg) Deep steam (mg/kg) Gas pressures (bar-abs.)

B	.00	CO2	.00
SiO2	178.00	H2S	.00
Na	530.00	NH3	.00
K	35.00	H2	.00
Mg	.500	O2	.00
Ca	36.00	CH4	.00
F	6.800	N2	.00
Cl	70.90		
SO4	743.00		
Al	.1100		
Fe	.5000		
TDS	1934.00	Aquifer steam fraction = .0000	

Ionic strength = .03220  
 Ionic balance : Cations (mol.eq.) = .02422780  
 Difference (%) = -5.68  
 Anions (mol.eq.) = .02564485

Oxidation potential (volts) : Eh H2S= -.441 Eh CH4= 99.999 Eh H2= 99.999 Eh NH3= 99.999

Chemical geothermometers (degrees C)  
 Quartz 166.1 (Fournier & Potter, GRC Bulletin, pp. 3-12, Nov. 1982)  
 Chalcedony 142.6 (Fournier, Geothermics, vol. 5, pp. 41-50, 1977)  
 Na/K 152.3 (Arnorsson et al., Geochim. Cosmochim. Acta, vol. 47, pp. 567-577, 1983)

Örnek no 17  
 Activity coefficients in deep water

H+	.833	KSO4-	.808	Fe++	.441	FeCl+	.796
OH-	.792	F-	.792	Fe+++	.198	Al+++	.198
H3SiO4-	.796	Cl-	.787	FeOH+	.805	AlOH++	.431
H2SiO4--	.431	Na+	.796	Fe(OH)3-	.805	Al(OH)2+	.808
H2BO3-	.782	K+	.787	Fe(OH)4--	.424	Al(OH)4-	.801
HCO3-	.796	Ca++	.441	Fe(OH)++	.424	AlSO4+	.801
CO3--	.415	Mg++	.472	Fe(OH)2+	.808	Al(SO4)2-	.80

Chemical species in deep water - ppm and log mole		Deep water pH is 7.629	
HS-	.792	CaHCO3+	.813
S--	.424	MgHCO3+	.796
HSO4-	.801	CaOH+	.813
SO4--	.406	MgOH+	.816
NaSO4-	.808	NH4+	.782
H+	.00	-7.550	Mg++
OH-	1.78	-3.980	NaCl
H4SiO4	257.90	-2.571	KCl
H3SiO4-	22.34	-3.629	NaSO4-
H2SiO4--	.02	-6.664	KSO4-
NaH3SiO4	5.19	-4.357	CaSO4
H3BO3	.00	.000	MgSO4
H2BO3-	.00	.000	CaCO3
H2CO3	43.11	-3.158	MgCO3
HCO3-	519.30	-2.070	CaHCO3+
CO3--	2.15	-4.446	MgHCO3+
H2S	.00	-7.667	CaOH+
HS-	.01	-6.566	MgOH+
S--	.00	-14.340	NH4OH
H2SO4	.00	-15.694	NH4+
HSO4-	.03	-6.478	Fe++
SO4--	663.96	-2.160	Fe+++
HF	.00	-6.919	FeOH+
F-	6.80	-3.446	Fe(OH)2
Cl-	70.47	-2.702	Fe(OH)3-
Na+	518.13	-1.647	Fe(OH)4--
K+	31.82	-3.089	Fe(OH)++
Ca++	12.32	-3.512	Fe(OH)2+
		Fe(OH)4-	.808
		FeSO4+	.805
		FeCl++	.424
		FeCl4-	.801
		FeCl5--	.415
		FeCl6---	.139
		Fe(OH)3	.07
		Fe(OH)4-	.90
		FeCl+	.00
		FeCl2	.00
		FeCl++	.00
		FeCl12+	.00
		FeCl12+	.00
		FeCl3	.00
		FeCl4-	.00
		FeSO4	.01
		FeSO4+	.00
		Al+++	.00
		AlOH++	.00
		Al(OH)2+	.00
		Al(OH)3	.00
		Al(OH)4-	.38
		AlSO4+	.00
		Al(SO4)2-	.00
		AlF++	.00
		AlF2+	.00
		AlF3	.00
		AlF4-	.00
		AlF5--	.00
		AlF6---	.00
			.18.743

Log solubility products of minerals in deep water

	Theor.	Calc.	Theor.	Calc.	Theor.	Calc.	Theor.	Calc.
Adularia	-15.849	-16.397	Albite, low	-15.235	-14.949	Analcime	-12.286	-12.378
Anhydrite	-6.247	-6.420	Calcite	-10.244	-8.696	Chalcedony	-2.539	-2.571
Mg-Chlorite	-79.956	-79.787	Fluorite	-10.548	-10.964	Goethite	-2.988	-1.150
Laumontite	-25.599	-25.132	Microcline	-16.957	-16.397	Magnetite	-26.390	-17.711
Ca-Montmor.	-77.743	-88.310	K-Montmor.	-37.325	-45.415	Mg-Montmor.	-79.060	-90.131
Na-Montmor.	-37.455	-43.967	Muscovite	-19.221	-19.213	Prehnite	-35.885	-34.591
Pyrrhotite	-78.405	-83.808	Pyrite	-116.682	-118.586	Quartz	-2.740	-2.571
Wairakite	-23.965	-25.132	Wollastonite	9.651	8.819	Zoisite	-35.393	-35.999
Epidote	-40.299	-35.741	Marcasite	-95.612	-118.586	Talc	13.165	18.423
Chrysotile	20.546	23.566	Sill. amorph.	-2.017	-2.571			



Al .1020  
Fe .8793  
TDS .00 Aquifer steam fraction = .0000  
Ionic strength = .02962  
 $1000/T \text{ (Kelvin)} = 2.72$

Ionic balance : Cations (mol.eq.) = .02443695 Anions (mol.eq.) = .02416387 Difference (%) = 1.12

Oxidation potential (volts) : Eh H2S= 99.999 Eh CH4= 99.999 Eh H2= 99.999 Eh NH3= 99.999

Chemical geothermometers (degrees C)		162.4	(Arnorsson et al., 1982)
Mineral	Temperature		
Quartz	123.2	(Fournier & Potter, GRC Bulletin, pp. 3-12, Nov. 1982)	
Chalcedony	94.9	(Fournier, Geothermics, vol. 5, pp. 41-50, 1977) Na/K	
Geochim. Cosmochim. Acta, vol. 47, pp. 567-577, 1983)			

Örnek no 18

## Activity coefficients in deep water

H <sup>+</sup>	Chemical species in deep water -	ppm and log mole	Deep water pH is	6.773
K <sup>+</sup>	KSO <sub>4</sub> -	.835	Fe++	.499
OH-	F-	.821	Fe+++	.252
H <sub>3</sub> SiO <sub>4</sub> -	Cl-	.817	FeOH+	.832
H <sub>2</sub> SiO <sub>4</sub> --	Na+	.825	Fe(OH)3-	.832
H <sub>2</sub> BO <sub>3</sub> -	K+	.817	Fe(OH)4--	.484
HCO <sub>3</sub> -	Ca++	.499	Fe(OH)++	.484
CO <sub>3</sub> --	Mg++	.528	Fe(OH)2+	.835
HS-	CaHCO <sub>3</sub> +	.839	Fe(OH)4-	.835
S--	MgHCO <sub>3</sub> +	.825	FeSO <sub>4</sub> +	.832
H <sub>2</sub> SO <sub>4</sub> -	CaOH+	.839	FeCl++	.484
SO <sub>4</sub> --	MgOH+	.842	FeCl <sub>2</sub> +	.832
Na <sub>2</sub> SO <sub>4</sub> -	NH4+	.813	FeCl <sub>4</sub> -	.825
			AlF <sub>6</sub> ---	.189
H <sup>+</sup>	Chemical species in deep water -	ppm and log mole		
			Fe(OH)3-	.00
			Fe(OH)4-	.00
			FeCl+	.01
			FeCl <sub>2</sub>	.00
			FeCl <sub>3</sub>	.00
			FeCl <sub>4</sub>	.00
			FeSO <sub>4</sub>	.43

HCO3-	764.93	-1.902	CaHCO3+	31.28	-3.510		.00	.000
CO3--	.58	-5.014	MgHCO3+	1.88	-4.658	Al+++	.00	-14.250
H2S	.00	.000	CaOH+	.00	-7.397	AlOHH+	.00	-10.982
HS-	.00	.000	MgOH+	.00	-6.993	Al(OH)2+	.00	-8.247
S--	.00	.000	NH4OH	.00	.000	Al(OH)3	.04	-6.276
H2SO4	.00	-15.294	NH4+	.00	.000	Al(OH)4-	.31	-5.489
HSO4-	.03	-6.459	Fe++	.65	-4.936	AlSO4+	.00	-13.948
SO4--	425.72	-2.353	Fe+++	.00	.000	Al(SO4)2-	.00	-14.547
HF	.00	.000	FeOH+	.09	-5.914	AlF++	.00	.000
Cl-	89.29	-2.599	Fe(OH)3-	.00	-12.155	AlF3	.00	.000
Na+	494.16	-1.668	Fe(OH)4--	.00	-18.098	AlF4-	.00	.000
K+	33.66	-3.065	Fe(OH)++	.00	.000	AlF5--	.00	.000
Ca++	28.01	-3.156	Fe(OH)2+	.00	.000	AlF6---	.00	.000

### Log solubility products of minerals in deep water

	Theor.	Calc.		Theor.	Calc.		Theor.	Calc.
Adularia	-17.427	-17.402	Albite, low	-16.672	-16.000		-13.338	-13.107
Anhydrite	-5.535	-6.141	Calcite	-9.352	-8.794	Analcite	-2.882	-2.893
Mg-Chlorite	-80.451	-84.679	Fluorite	-10.546	99.999	Chalcedony	-4.863	99.999
Laumontite	-27.429	-26.169	Microcline	-18.840	-17.402	Goethite	-30.092	99.999
Ca-Montmor.	-86.837	-78.271	K-Montmor.	-42.343	-40.559	Magnetite	-87.961	-78.877
Na-Montmor.	-42.338	-39.158	Muscovite	-21.463	-17.407	Mg-Montmor.	-36.956	-37.869
Pyrrhotite	-102.361	99.999	Pyrite	-150.764	99.999	Prehnite	-3.150	-2.893
Wairakite	-24.847	-26.169	Wollastonite	10.984	7.196	Quartz	-36.025	-37.872
Epidote	-44.018	99.999	Marcasite	-127.005	99.999	Zoisite		
Chrysotile	24.075	22.664	Sil. amorph.	-2.245	-2.893	Talc	15.941	16.878

Örnek no 19  
dikili lıncaları  
Water sample (mg/kg)  
pH/deg.C  
(Chalcedony)

CO2	836.23	CO2	.00
H2S	.00	H2S	.00
NH3	.00	NH3	.00
B	.00	H2	.00

Sampling pressure  
bar abs. : 1.0  
Discharge enthalpy  
J/kg : 397. Calculated)  
Discharge  
kg/s : .0

Reference temperature deg.C : 94.7

SiO <sub>2</sub>	77.87	O <sub>2</sub>	.00	Steam fraction at collection	: -0.0098		
Na	505.08	CH <sub>4</sub>	1.17				
K	35.65	N <sub>2</sub>	98.83	Measured temperature	deg.C : 38.4		
Mg	9.000						
Ca	49.44	Liters gas per kg condensate/deg.C	.01/25.0	Condensate (mg/kg)			
F	.000			pH/deg.C	.00 / .0		
Cl	100.05	Total steam (mg/kg)		CO <sub>2</sub>	.00		
SO <sub>4</sub>	536.93	CO <sub>2</sub>	5.40	H <sub>2</sub> S	.00		
Al	.095	H <sub>2</sub> S	.39	NH <sub>3</sub>	.00		
Fe	.759	NH <sub>3</sub>	.00	Na	.00		
TDS	.00						
Ionic strength =	•03456						
Ionic balance :	Cations (mol.eq.) = .02542181	Anions (mol.eq.) = .03059350	Difference (%) = -18.47				
Deep water components (mg/kg)		Deep steam (mg/kg)		Gas pressures (bar-abs.)			
B	.00	844.41	CO <sub>2</sub>	CO <sub>2</sub>	.176E+00		
SiO <sub>2</sub>	78.64	CO <sub>2</sub>	H <sub>2</sub> S	H <sub>2</sub> S	-4.91E-06		
Na	510.05	H <sub>2</sub> S	NH <sub>3</sub>	NH <sub>3</sub>	.000E+00		
K	36.00	NH <sub>3</sub>	H <sub>2</sub>	H <sub>2</sub>	.000E+00		
Mg	9.089	H <sub>2</sub>	O <sub>2</sub>	O <sub>2</sub>	.000E+00		
Ca	49.93	O <sub>2</sub>	CH <sub>4</sub>	CH <sub>4</sub>	-3.88E-04		
F	.000	CH <sub>4</sub>	N <sub>2</sub>	N <sub>2</sub>	-6.15E-02		
Cl	101.04	N <sub>2</sub>	-0.07	H <sub>2</sub> O	.837E+00		
SO <sub>4</sub>	542.22			Total	.101E+01		
Al	.0959						
Fe	.7665						
TDS	.00	Aquifer steam fraction = .0000					
Ionic strength =	•03332			1000/T (Kelvin) = 2.72			
Ionic balance :	Cations (mol.eq.) = .02484739	Anions (mol.eq.) = .03007441	Difference (%) = -19.03				
Oxidation potential (volts) :	Eh H <sub>2</sub> S= 99.999	Eh CH <sub>4</sub> = 99.999	Eh H <sub>2</sub> = 99.999	Eh NH <sub>3</sub> = 99.999			
Chemical geothermometers (degrees C)							
Quartz	123.1	(Fournier & Potter, GRC Bulletin, pp. 3-12, Nov. 1982)					
Chalcedony	94.7	(Fournier, Geothermics, vol. 5, pp. 41-50, 1977)					
Na/K	162.7	(Arnorsson et al., Geochim. Cosmochim. Acta, vol. 47, pp. 567-577, 1983)					

Örnek no 19 Activity coefficients in deep water

H+																			
OH-	•850	KSO4-	•828	Fe++	•484	FeCl+	•817	Al+++	•239	Al++	•239	Al+++	•475	AlOHH+	•475	Al(OH)2+	•828	Al(OH)4-	•821
H3SiO4-	•813	F-	•813	Fe+++	•239	FeOH+	•809	AlOHH+	•825	Al(OH)4-	•468	Al(OH)4-	•821	AlSO4+	•821	Al(SO4)2-	•821	Al(SO4)2-	•821
H2SiO4--	•817	Cl-	•813	Fe(OH)3-	•825	Al(OH)2+	•817	Fe(OH)3-	•825	Al(OH)4-	•468	Al(OH)4-	•821	AlF4+	•821	AlF4+	•821	AlF4-	•821
H2BO3-	•475	Na+	•809	Fe(OH)4---	•468	AlF2+	•809	Fe(OH)4---	•468	AlF2+	•825	AlF2+	•821	AlF5---	•821	AlF5---	•821	AlF5---	•821
HC03-	•804	K+	•817	Fe(OH)++	•468	AlF4-	•484	Fe(OH)++	•468	AlF4-	•825	AlF4-	•821	AlF5---	•821	AlF5---	•821	AlF5---	•821
CO3--	•817	Ca++	•484	Fe(OH)2+	•514	AlF5---	•514	Fe(OH)2+	•828	AlF5---	•825	AlF5---	•821	AlF6---	•821	AlF6---	•821	AlF6---	•821
HS-	•460	Mg++	•460	Fe(OH)4-	•832	AlF6+	•813	CaHCO3+	•832	AlF6+	•828	AlF6+	•821	AlF6---	•821	AlF6---	•821	AlF6---	•821
S--	•813	CaHCO3+	•813	FeSO4+	•832	AlF6+	•468	MgHCO3+	•832	AlF6+	•825	AlF6+	•821	AlF6-	•821	AlF6-	•821	AlF6-	•821
H2O4-	•804	CaOH+	•821	FeCl++	•832	AlF4-	•821	CaOH+	•832	FeCl++	•468	AlF4-	•821	AlF5-	•821	AlF5-	•821	AlF5-	•821
SO4--	•460	MgOH+	•451	FeCl12+	•835	AlF5---	•451	MgOH+	•835	FeCl12+	•825	AlF5---	•460	AlF5---	•460	AlF5---	•460	AlF5---	•460
NaSO4-	•828	NH4+	•828	FeCl14-	•804	AlF6---	•828	NH4+	•804	FeCl14-	•817	AlF6---	•175	AlF6---	•175	AlF6---	•175	AlF6---	•175
Chemical species in deep water - ppm and log mole																			
H+	•00	-7.182	Mg++	3.78	-3.808	Fe(OH)3	•00	.000	.000	Fe(OH)3	•00	.000	.000	Fe(OH)4-	•000	.000	.000	Fe(OH)4-	•000
OH-	•17	-5.002	NaCl	•47	-5.093	FeCl+	•01	-6.880	.00	FeCl+	•00	-7.262	-7.262	FeCl1+	•00	-7.262	-7.262	FeCl1+	•00
H4SiO4	122.67	-2.894	KCl	•01	-6.880	FeCl12	•00	-3.703	.00	FeCl12	•00	-20.734	-20.734	FeCl12	•00	-20.734	-20.734	FeCl12	•00
H3SiO4-	2.61	-4.562	NaSO4-	23.58	-3.703	FeCl14-	•00	-4.439	.00	FeCl14-	•00	-0.000	-0.000	FeCl14-	•00	-0.000	-0.000	FeCl14-	•00
H2SiO4--	•00	-8.087	KSO4-	4.92	-4.439	FeCl14+	•00	-3.695	.00	FeCl14+	•00	-0.000	-0.000	FeCl14+	•00	-0.000	-0.000	FeCl14+	•00
NaH3SiO4	•60	-5.295	CaSO4	27.47	-3.695	FeCl15+	•00	-3.729	.00	FeCl15	•00	-0.000	-0.000	FeCl15	•00	-0.000	-0.000	FeCl15	•00
H3BO3	•00	•000	MgSO4	22.49	-3.729	FeCl16	•00	-4.324	.00	FeCl16	•00	-0.000	-0.000	FeCl16	•00	-0.000	-0.000	FeCl16	•00
H2BO3-	•00	•000	Caco3	4.75	-4.324	FeCl17-	•00	-5.407	.00	FeCl17-	•00	-5.645	-5.645	FeCl17-	•00	-5.645	-5.645	FeCl17-	•00
H2CO3	115.75	-2.729	MgCO3	.33	-5.407	FeSO4	•34	-3.695	.00	FeSO4	•00	-0.000	-0.000	FeSO4	•00	-0.000	-0.000	FeSO4	•00
HCO3-	1027.50	-1.774	CaHCO3+	36.72	-3.440	FeSO4+	•00	-3.440	.00	FeSO4+	•00	-16.118	-16.118	FeSO4+	•00	-16.118	-16.118	FeSO4+	•00
CO3--	2.41	-4.396	MgHCO3+	2.33	-4.564	Al+++	•00	-4.564	.00	Al+++	•00	-12.383	-12.383	Al+++	•00	-12.383	-12.383	Al+++	•00
H2S	•00	•000	CaoH+	•01	-6.974	AlOHH+	•01	-6.974	.00	AlOHH+	•00	-9.184	-9.184	AlOHH+	•00	-9.184	-9.184	AlOHH+	•00
HS-	•00	•000	MgOH+	•01	-6.548	Al(OH)2+	•01	-6.548	.00	Al(OH)2+	•00	-6.740	-6.740	Al(OH)2+	•01	-6.740	-6.740	Al(OH)2+	•01
S--	•00	•000	NH4OH	•00	•000	Al(OH)3-	•00	•000	.00	Al(OH)3-	•00	-3.547	-3.547	Al(OH)3-	•00	-3.547	-3.547	Al(OH)3-	•00
H2SO4	•00	-16.217	NH4+	•00	•000	Al(OH)4-	•00	•000	.00	Al(OH)4-	•00	-15.799	-15.799	Al(OH)4-	•00	-15.799	-15.799	Al(OH)4-	•00
HSO4-	•01	-6.898	Fe++	•49	-5.060	AlSO4+	•00	•000	.00	AlSO4+	•00	-16.360	-16.360	AlSO4+	•00	-16.360	-16.360	AlSO4+	•00
SO4--	482.14	-2.299	Fe+++	•00	•000	Fe(OH)2	•00	•000	.00	Fe(OH)2	•00	-7.574	-7.574	Fe(OH)2	•00	-7.574	-7.574	Fe(OH)2	•00
AlF2+	•00	•000	F-	•00	•000	AlF3-	•00	•000	.00	AlF3-	•00	•000	•000	AlF3-	•00	•000	•000	AlF3-	•00

Na+	505.20	-1.658	Fe(OH)4--	.00	-16.321	AlF4-	.00	.000
K+	34.57	-3.053	Fe(OH)++	.00	.000	AlF5---	.00	.000
Ca++	25.38	-3.198	Fe(OH)2+	.00	.000	AlF6----	.00	.000
Log solubility products of minerals in deep water								
Adularia	-17.433	-17.385	Albite, low	-16.678	-15.985	Theor.	Calc.	Calc.
Anhydrite	-5.533	-6.159	Calcite	-9.349	-8.247	Analcime	-13.342	-13.091
Mg-Chlorite	-80.456	-81.016	Fluorite	-10.546	99.999	Chalcedony	-2.883	-2.894
Laumontite	-27.437	-26.205	Microcline	-18.848	-17.385	Goethite	-4.869	99.999
Ca-Montmor.	-86.878	-83.887	K-Montmor.	-42.365	-43.333	Magnetite	-30.104	99.999
Na-Montmor.	-42.359	-41.933	Muscovite	-21.473	-18.317	Mg-Montmor.	-88.001	-84.471
Pyrrohotite	-102.441	99.999	Pyrite	-150.880	99.999	Prehnite	-36.962	-37.007
Wairakite	-24.851	-26.205	Wollastonite	10.989	8.097	Quartz	-3.151	-2.894
Epidote	-44.031	99.999	Marcasite	-127.112	99.999	Zoisite	-36.029	-37.473
Chrysotile	24.088	25.433	Sil. amorph.	-2.246	-2.894	Talc	15.952	19.645
Örnek no 22								
dikili çamur						Steam loss at 100.0 deg.C assumed, before sampling.		
Water sample (mg/kg)	6.30/ 25.0	Steam sample Gas (volume %)				Steam loss fraction	: 0.547	
pH/deg.C	1071.93	CO2	.00			Degassing coeff. at sampling	: 1.0000	
CO2		H2S	.00			Reference temperature deg.C	: 129.1	(Chalcedony
H2S		NH3	.00			Sampling pressure bar abs. :		
NH3		B	7.57	H2	.00	Discharge enthalpy kJ/kg :	542.	(Calculated)
				O2	.00	Discharge kg/s :	0	
		SiO2	140.86	CH4	.00	Steam fraction at collection :	.0000	
		Na	525.98	N2	.00	Measured temperature deg.C :	29.1	
		K	41.35			Liters gas per kg condensate/deg.C	.00 / .0	
		Mg	35.690			Condensate (mg/kg) pH/deg.C	.00 / .0	
		Ca	141.72			CO2	.00	
		F	.000			H2S	.00	
C1	89.26					NH3	.00	
SO4	436.80	Total steam (mg/kg)				Na	.00	
Al	.047	CO2	.00					
Fe	6.746	H2S	.00					
TDS	.00	NH3	.00					

Ionic strength =	.03565	Cations (mol.eq.) =	.03268330	Anions (mol.eq.) =	.02227901	Difference (%) = 37.86
Ionic balance :		Deep water components (mg/kg)		Deep steam (mg/kg)		Gas pressures (bar-abs.)
B	7.16	CO2	159685.30	CO2	.00	CO2 .392E+03
SiO2	133.16	H2S	.00	H2S	.00	H2S .000E+00
Na	497.23	NH3	.00	NH3	.00	NH3 .000E+00
K	39.09	H2	.00	H2	.00	H2 .000E+00
Mg	33.739	O2	.00	O2	.00	O2 .000E+00
Ca	133.97	CH4	.00	CH4	.00	CH4 .000E+00
F	.000	N2	.00	N2	.00	N2 .000E+00
Cl	84.38			H2O	.263E+01	
SO4	412.93			Total	.395E+03	
Al	.0444					
Fe	6.3773					
TDS	.00	Aquifer steam fraction =	.0000			

Ionic strength =	.02848					1000/T (Kelvin) = 2.49
Ionic balance :	Cations (mol.eq.) = .02855242	Anions (mol.eq.) = .01871592	Difference (%) = 41.62			
Oxidation potential (volts) :	Eh H2S= 99.999	Eh CH4= 99.999	Eh NH3= 99.999			

### Chemical geothermometers (degrees C)

Quartz 154.1 (Fournier & Potter, GRC Bulletin, pp. 3-12, Nov. 1982)  
 Chalcedony 129.1 (Fournier, Geothermics, vol. 5, pp. 41-50, 1977)  
 Na/K 173.9 (Arnorsson et al., Geochim. Cosmochim. Acta, vol. 47, pp. 567-577, 1983)

Örnek no 22  
 Activity coefficients in deep water

H+	.845	KSO4-	.822	Fe++	.471	FeCl+	.812
OH-	.808	F-	.808	Fe+++	.224	Al+++	.224
H3SiO4-	.812	Cl-	.804	FeOH+	.819	AlOH++	.462
H2SiO4--	.462	Na+	.812	Fe(OH)3-	.819	Al(OH)2+	.822
H2BO3-	.799	K+	.804	Fe(OH)4---	.455	Al(OH)4-	.816
HCO3-	.812	Ca++	.471	Fe(OH)++	.455	AlSO4+	.816
CO3--	.447	Mg++	.500	Fe(OH)2+	.822	Al(SO4)2-	.816
HS-	.808	CaHCO3+	.826	Fe(OH)4-	.822	AlF++	.462
S--	.455	MgHCO3+	.812	FeSO4+	.819	AlF2+	.822
HSO4-	.816	CaOH+	.826	FeCl+-	.455	AlF4-	.816

		MgOH+	.830	FeCl2+	.819	AlF5--	.447
		NH4+	.799	FeCl4-	.812	AlF6---	.164
Chemical species in deep water - ppm and log mole							
H+	.14	-3.858	Mg++	14.63	-3.221	Fe(OH) 3	.00
OH-	.00	-7.836	NaCl	.70	-4.921	Fe(OH) 4-	.00
H4SiO4	212.99	-2.654	RCl	.01	-6.702	FeCl+	.11
H3SiO4-	.00	-7.454	NaSO4-	17.50	-3.833	FeCl2	.00
H2SiO4--	.00	-14.206	KSO4-	4.30	-4.498	FeCl++	.00
NaH3SiO4	.00	-8.194	CaSO4	61.71	-3.344	FeCl2+	.00
H3BO3	40.93	-3.179	MgSO4	83.84	-3.157	FeCl3	.00
H2BO3-	.00	-8.063	CaCO3	.01	-7.102	FeCl4-	.00
H2CO3	224321.20	.558	MgCO3	.00	-8.169	FeSO4	2.50
HCO3-	651.20	-1.972	CaHCO3+	130.48	-2.889	FeSO4+	.00
CO3--	.00	-8.003	MgHCO3+	7.65	-4.048	Al1++	.00
H2S	.00	.000	CaOH+	.00	-9.229	AlOH++	.01
HS-	.00	.000	MgOH+	.00	-8.614	Al(OH) 2+	.05
S--	.00	.000	NH4OH	.00	.000	Al1(OH) 3	.03
H2SO4	.00	-9.026	NH4+	.00	.000	Al1(OH) 4-	.00
HSO4-	39.68	-3.388	Fe++	5.39	-4.016	AlSO4+	.01
SO4--	244.45	-2.594	Fe+++	.00	.000	Al1(SO4) 2-	.00
HF	.00	.000	FeOH+	.00	-7.208	AlF++	.00
F-	.00	.000	Fe (OH) 2	.00	-11.777	AlF2+	.00
Cl-	83.91	-2.626	Fe (OH) 3-	.00	-17.457	AlF3	.00
Na+	493.58	-1.668	Fe (OH) 4--	.00	-25.852	AlF4-	.00
K+	37.84	-3.014	Fe (OH) ++	.00	.000	AlF5--	.00
Ca++	64.08	-2.796	Fe (OH) 2+	.00	.000	AlF6---	.00
Log solubility products of minerals in deep water							
Theor. Calc.							
Adularia	-16.223	-19.229	Albite, low	-15.575	-17.878	Theor.	Calc.
Anhydrite	-6.037	-6.076	Calcite	-9.974	-11.476	Analcime	Calcedony
Mg-Chlorite	-79.902	-105.314	Fluorite	-10.531	99.999	Goethite	Goethite
Laumontite	-26.013	-30.053	Microcline	-17.409	-19.229	Magnetite	Magnetite
Ca-Montmor.	-79.704	-80.559	K-Montmor.	-38.429	-41.827	Mg-Montmor.	Mg-Montmor.

Na-Montmor.	-38.526	-40.477	Muscovite	-19.711	-19.683	Prehnite	-36.060	-46.380
Pyrrohotite	-85.219	99.999	Pyrite	-126.149	99.999	Quartz	-2.846	-2.654
Wairakite	-24.130	-30.053	Wollastonite	9.995	2.086	Zoisite	-35.441	-46.607
Epidote	-41.296	99.999	Marcasite	-104.383	99.999	Talc	13.880	2.408
Chrysotile	21.449	7.717	Sil. amorph.	-2.076	-2.654			

örnek no 23

dikili lılcıları

Steam loss at 100.0 deg.C assumed, before sampling.  
Steam loss fraction : .0114  
Degassing coeff. at sampling : 1.0000

Water sample (mg/kg)	Steam sample	CO2	.00	Sampling pressure bar abs. : 1.0
H2S	.00	H2S	.00	Discharge enthalpy kJ/kg : 445.
NH3	.00	NH3	.00	
(Calculated)				
B	12.24	H2	.00	Discharge kg/s : .0
SiO2	94.32	O2	.00	Steam fraction at collection : .0000
Na	820.15	CH4	.00	
K	31.18	N2	.00	
Mg	11.480			Measured temperature deg.C : 7.9
Ca	52.99	Liters gas per kg condensate/deg.C	.00 / .0	Condensate (mg/kg) pH/deg.C : .00 / .0
F	.000			
Cl	111.54			
SO4	579.62	Total steam (mg/kg)		CO2 : .00
Al	1.249	CO2		H2S : .00
Fe	1.213	H2S		NH3 : .00
TDS	.00	NH3		Na : .00

Ionic strength = .04527

Ionic balance :	Cations (mol.eq.)	= .03920599	Anions (mol.eq.) = .03703335	Difference (%) = 5.70
Deep water components (mg/kg)			Deep steam (mg/kg)	Gas pressures (bar-abs.)
B	12.10	CO2	CO2 : .00	CO2 : .544E+01
SiO2	93.24	H2S	H2S : .00	H2S : .000E+00
Na	810.76	NH3	NH3 : .00	NH3 : .000E+00
K	30.82	H2	H2 : .00	H2 : .000E+00
Mg	11.349	O2	O2 : .00	O2 : .000E+00
Ca	52.38	CH4	CH4 : .00	CH4 : .000E+00

F	.000	N2	.00	N2	.00	N2	.000E+00
C1	110.26			H2O			.126E+01
SO4	572.99			Total			.669E+01
A1	1.2347						
Fe	1.1991						
TDS	.00	Aquifer steam fraction =	.0000				

Ionic strength = .04269  
 Ionic balance : Cations (mol.eq.) = .03781803 Anions (mol.eq.) = .03565509 Difference (%) = 5.89  
 Oxidation potential (volts) : Eh H2S= 99.999 Eh CH4= 99.999 Eh H2= 99.999 Eh NH3= 99.999

Chemical geothermometers (degrees C)  
 Quartz 133.4 (Fournier & Potter, GRC Bulletin, pp. 3-12, Nov. 1982)  
 Chalcedony 106.1 (Fournier, Geothermics, vol. 5, pp. 41-50, 1977)  
 Na/K 109.8 (Arnorsson et al., Geochim. Cosmochim. Acta, vol. 47, pp. 567-577, 1983)

Ørnek no 23

Activity coefficients in deep water		Activity coefficients in deep water		Activity coefficients in deep water	
H+	.834	KSO4-	.807	Fe++	.442
OH-	.789	F-	.789	Fe+++	.203
H3SiO4-	.794	Cl-	.784	FeOH+	.804
H2SiO4--	.431	Na+	.794	Fe (OH) 3-	.804
H2BO3-	.778	K+	.784	Fe (OH) 4--	.423
HCO3-	.794	Ca++	.442	Fe (OH) ++	.423
CO3--	.413	Mg++	.475	Fe (OH) 2+	.807
HS-	.789	CaHCO3+	.812	Fe (OH) 4-	.807
S--	.423	MgHCO3+	.794	FeSO4+	.804
HSO4-	.799	CaOH+	.812	FeCl1++	.423
SO4--	.404	MgOH+	.816	FeCl12+	.804
NaSO4-	.807	NH4+	.778	FeCl4-	.794
Chemical species in deep water - ppm and log mole					Deep water pH is 5.946
H+	.00	-5.867	Mg++	4.48	-3.735
OH-	.01	-6.117	NaCl	.98	-4.776
H4SiO4	148.91	-2.810	KCl	.01	-6.865
H3SiO4-	.19	-5.694	NaSO4-	39.62	-3.478
H2SiO4--	.00	-10.451	KSO4-	4.50	-4.477

	Water sample (mg/kg)	Steam sample pH/deg.C	Reference temperature CO2	deg.C : .00	Sampling pressure H2S	bar abs. : 1.0
NaH3SiO4	.07	-6.249	CaSO4	26.04	-3.718	.00 .000
H3BO3	69.12	-2.952	MgSO4	28.82	-3.621	.00 .000
H2BO3-	.09	-5.828	CaCO3	.33	-5.478	.00 .000
H2CO3	3278.54	-1.277	MgCO3	.03	-6.505	.62 -5.392
HCO3-	1332.45	-1.661	CaHCO3+	53.09	-3.280	FeSO4+ .00 .000
CO3--	.16	-5.576	MgHCO3+	3.66	-4.368	Al+++.00 -10.740
H2S	.00	.000	CaOH+	.00	-8.104	AlOH+++.00 -8.093
HS-	.00	.000	MgOH+	.00	-7.567	Al(OH)2+.06 -6.020
S--	.00	.000	NH4OH	.00	.000	Al(OH)3 1.52 -4.709
H2SO4	.00	-13.353	NH4+	.00	.000	Al(OH)4- 2.40 -4.598
HSO4-	.34	-5.455	Fe++	.94	-4.773	AlSO4+ .00 -10.419
SO4--	495.71	-2.287	Fe+++	.00	.000	Al(SO4)2- .00 -10.973
HF	.00	.000	FeOH+	.03	-6.392	AlF+++.00 .000
F-	.00	.000	Fe(OH)2	.00	-9.447	AlF2+ .00 .000
Cl-	109.66	-2.510	Fe(OH)3-	.00	-13.707	AlF3 .00 .000
Na+	802.71	-1.457	Fe(OH)4--	.00	-20.295	AlF4- .00 .000
K+	29.52	-3.122	Fe(OH)++	.00	.000	AlF5--- .00 .000
Ca++	23.53	-3.231	Fe(OH)2+	.00	.000	AlF6--- .00 .000
Log solubility products of minerals in deep water						
Theor.	Calc.	Theor.	Calc.	Theor.	Calc.	Theor.
Adularia	-16.989	-16.353	Albite, low	-16.272	-14.682	Analcime -13.041 -11.872
Anhydrite	-5.694	-6.268	Calcite	-9.545	-9.545	Chalcedony -2.793 -2.810
Mg-Chlorite	-80.156	-87.866	Fluorite	-10.531	99.999	Goethite -4.445 99.999
Laumontite	-26.903	-24.216	Microcline	-18.322	-16.353	Magnetite -29.236 99.999
Ca-Montmor.	-84.130	-56.501	K-Montmor.	-40.869	-29.685	Mg-Montmor. -85.308 -56.972
Na-Montmor.	-40.901	-28.014	Muscovite	-20.802	-13.304	Prehnite -36.586 -37.432
Pyrrohotite	-96.748	99.999	Pyrite	-142.563	99.999	Quartz -3.044 -2.810
Wairakite	-24.561	-24.216	Wollastonite	10.639	5.496	Zoisite -35.757 -35.907
Epidote	-43.109	99.999	Marcasite	-119.499	99.999	Talc 15.222 12.264
Chrysotile	23.154	17.884	Sil. amorph.	-2.186	-2.810	

örnek no 25 kaynarca

NH3	.00	NH3	.00	Discharge enthalpy kJ/kg :	257.	(Calculated)
B	.00	H2	.00	Discharge kg/s :	.0	
SiO2	38.24	O2	7.86	Steam fraction at collection	-.0716	
Na	230.89	CH4	.04			
K	16.64	N2	92.10	Measured temperature	deg.C :	53.0
Mg	8.550					
Ca	64.00	Liters gas per kg condensate/deg.C	.01/25.0	Condensate mg/kg)		
F	.000			pH/deg.C	.00 /	.0
C1	44.04	Total steam (mg/kg)		CO2	.00	
SO4	482.08	CO2	4.50	H2S	.00	
Al	.083	H2S	.00	NH3	.00	
Fe	.709	NH3	.00	Na	.00	
TDS	.00					
Ionic strength =	.02038					
Ionic balance :	Cations (mol.eq.) =	.01367474	Anions (mol.eq.) = .01453355		Difference (%) = -6.09	
Deep water components (mg/kg)		198.35	Deep steam (mg/kg)		Gas pressures (bar-abs.)	
B	.00	CO2		CO2	.187E-01	
SiO2	40.98	H2S		H2S	.000E+00	
Na	247.42	NH3		NH3	.000E+00	
K	17.83	H2		H2	.000E+00	
Mg	9.162	O2		O2	-.313E-02	
Ca	68.58	CH4		CH4	-.153E-04	
F	.000	N2		N2	-.696E-01	
C1	47.19			H2O	.214E+00	
SO4	516.60			Total	.160E+00	
Al	.0889					
Fe	.7598					
TDS	.00	Aquifer steam fraction = .0000				
Ionic strength = .02100						
Ionic balance : Cations (mol.eq.) = .01422664						
Oxidation potential (volts) : Eh H2S= 99.999						
		Eh CH4= 99.999				
		Eh H2= 99.999				
		Eh NH3= 99.999				
Chemical geothermometers (degrees C)						
Quartz 92.6 (Fournier & Potter, GRC Bulletin, pp. 3-12, Nov. 1982)						
Chalcedony 61.5 (Fournier, Geothermics, vol. 5, pp. 41-50, 1977)						
Na/K 165.9 (Arnorsson et al., Geochim. Cosmochim. Acta, vol. 47, pp. 567-577, 1983)						

örnek no 25

Activity coefficients in deep water

H+	.880	KSO4-	.865	Fe++	.570	FeCl+	.858
OH-	.855	F-	.855	Fe+++	.322	Al+++	.322
H3SiO4-	.858	Cl-	.852	FeOH+	.863	AlOH++	.563
H2SiO4--	.563	Na+	.858	Fe(OH) 3-	.863	Al (OH) 2+	.865
H2BO3-	.849	K+	.852	Fe(OH) 4--	.558	Al (OH) 4-	.860
HCO3-	.858	Ca++	.570	Fe(OH) ++	.558	AlSO4+	.860
CO3--	.551	Mg++	.593	Fe(OH) 2+	.865	Al (SO4) 2-	.860
HS-	.855	CaHCO3+	.868	Fe(OH) 4-	.865	AlF++	.563
S--	.558	MgHCO3+	.858	FeSO4+	.863	AlF2+	.865
HSO4-	.860	CaOH+	.868	FeCl++	.558	AlF4-	.860
SO4--	.545	MgOH+	.870	FeCl2+	.863	AlF5--	.551
NASO4-	.865	NH4+	.849	FeCl4-	.858	AlF6---	.263

Chemical species in deep water - ppm and log mole

H+	.00	-7. 337	Mg++	5. 12	-3. 677	Deep water pH is 7.393	
OH-	.05	-5. 529	NaCl	.05	-6. 086	Fe (OH) 3	.00
H4SiO4	64. 61	-3. 173	KCl	.00	-7. 676	Fe (OH) 4-	.00
H3SiO4-	.85	-5. 050	NaSO4-	8. 83	-4. 130	FeCl+	.00
H2SiO4--	.00	-8. 719	RSO4-	1. 81	-4. 873	FeCl2	-24. 618
NaH3SiO4	.11	-6. 045	CaSO4	44. 62	-3. 484	FeCl++	.00
H3BO3	.00	.000	MgSO4	18. 94	-3. 803	FeCl2+	.00
H2BO3-	.00	.000	CaCO3	1. 52	-4. 818	FeCl3	.00
H2CO3	18. 29	-3. 530	MgCO3	.10	-5. 924	FeCl4-	.00
HCO3-	249. 46	-2. 388	CaHCO3+	8. 95	-4. 053	FeSO4	.42
CO3--	.67	-4. 950	MgHCO3+	.67	-5. 106	FeSO4+	-5. 554
H2S	.00	.000	CaOH+	.00	-7. 287	Al+++	.00
HS-	.00	.000	MgOH+	.00	-7. 040	Al (OH) 2+	.00
S--	.00	.000	NH4OH	.00	.000	Al (OH) 3	.00
H2SO4	.00	-17. 308	NH4+	.00	.000	Al (OH) 4-	-14. 356
HSO4-	.00	-7. 448	Fe++	.56	-5. 002	AlOH++	.00
SO4--	461. 33	-2. 319	Fe+++	.00	.000	Al (SO4) 2-	-8. 462
HF	.00	.000	FeOH+	.06	-6. 077	AlF++	.03
F-	.00	.000	Fe (OH) 2	.00	-8. 792	AlF2+	-6. 458
C1-	47. 16	-2. 876	Fe (OH) 3-	.00	-13. 026	AlF3	.00

Na+	245.68	-1.971	Fe(OH)4--	.00	-18.941	AlF4-	.00	.000
K+	17.31	-3.354	Fe(OH)++	.00	.000	AlF5--	.00	.000
Ca++	51.29	-2.893	Fe(OH)2+	.00	.000	AlF6----	.00	.000

### Log solubility products of minerals in deep water

	Theor.	Calc.	Theor.	Calc.	Theor.	Calc.	Theor.	Calc.
Adularia	-19.010	-18.537	Albite, low	-18.117	-17.152	Analcime	-14.428	-13.979
Anhydrite	-5.100	-5.719	Calcite	-8.858	-8.346	Chalcedony	-3.180	-3.173
Mg-Chlorite	-82.056	-85.001	Fluorite	-10.664	99.999	Goethite	-6.038	99.999
Laumontite	-29.388	-27.019	Microcline	-20.689	-18.537	Magnetite	-32.644	99.999
Ca-Montmor.	-97.100	-84.121	K-Montmor.	-47.879	-43.916	Mg-Montmor.	-98.030	-84.888
Na-Montmor.	-47.739	-42.530	Muscovite	-23.960	-18.537	Prehnite	-38.540	-38.177
Pyrrhotite	-119.138	99.999	Pyrite	-176.249	99.999	Quartz	-3.500	-3.173
Wairakite	-26.013	-27.019	Wollastonite	12.145	8.476	Zoisite	-37.306	-38.177
Epidote	-46.752	99.999	Marcasite	-150.149	99.999	Talc	18.372	19.954
Chrysotile	27.226	26.299	Sil. amorph.	-2.443	-3.173			

örnek no 26

kaynarca

Water sample (mg/kg)	Steam sample
----------------------	--------------

pH/deg.C	7.80 / 25.0	Gas (volume %)	Reference temperature	deg.C : 148.7	(Chalcedony)
CO2	399.78	CO2	.00	Sampling pressure	bar abs. : 1.0
H2S	.00	H2S	.00	Discharge enthalpy	kJ/kg : 627.
NH3	.00	NH3	.00		
(Calculated)				Discharge	kg/s : .0
B	5.95	H2	.00	Steam fraction at collection	: .0000
SiO2	193.14	O2	.00		
Na	515.06	CH4	.00	Measured temperature	deg.C : 36.5
K	29.79	N2	.00		
Mg	3.030				
Ca	42.24	Liters gas per kg condensate/deg.C	.00 / .0	Condensate (mg/kg)	
F	.000			pH/deg.C	.00 / .0
C1	67.93			CO2	.00
SO4	795.78	Total steam (mg/kg)		H2S	.00
Al	.308	CO2	.00		

Fe .108 H<sub>2</sub>S .00 NH<sub>3</sub> .00  
 TDS .00 NH<sub>3</sub> .00 Na .00  
 Ionic strength = .03465  
 Ionic balance : Cations (mol.eq.) = .02485306 Anions (mol.eq.) = .02673351 Difference (%) = -7.29

Deep water components	(mg/kg)	Deep steam	(mg/kg)	Gas pressures	(bar-abs.)
B	5.40	CO <sub>2</sub>	.00	CO <sub>2</sub>	.287E+02
SiO <sub>2</sub>	175.37	H <sub>2</sub> S	.00	H <sub>2</sub> S	.000E+00
Na	467.67	NH <sub>3</sub>	.00	NH <sub>3</sub>	.000E+00
K	27.05	H <sub>2</sub>	.00	H <sub>2</sub>	.000E+00
Mg	2.751	O <sub>2</sub>	.00	O <sub>2</sub>	.000E+00
Ca	38.35	CH <sub>4</sub>	.00	CH <sub>4</sub>	.000E+00
F	.000	N <sub>2</sub>	.00	N <sub>2</sub>	.000E+00
C <sub>1</sub>	61.68			H <sub>2</sub> O	.460E+01
SO <sub>4</sub>	722.57			Total	.333E+02
Al	.2797				
Fe	.0981				
TDS	.00	Aquifer steam fraction	= .0000		
Ionic strength = .02928					
Ionic balance : Cations (mol.eq.) = .02157220					
Oxidation potential (volts) : Eh H <sub>2</sub> S= 99.999		Anions (mol.eq.) = Eh CH <sub>4</sub> = 99.999			
		Eh H <sub>2</sub> = 99.999			
		Eh NH <sub>3</sub> = 99.999			

Chemical geothermometers (degrees C)  
 Quartz 171.6 (Fournier & Potter, GRC Bulletin, pp. 3-12, Nov. 1982)  
 Chalcedony 148.7 (Fournier, Geothermics, vol. 5, pp. 41-50, 1977)  
 Na/K 139.9 (Arnorsson et al., Geochim. Cosmochim. Acta, vol. 47, pp. 567-577, 1983)

örnek no 26

Activity coefficients in deep water

H <sup>+</sup>	.835	KSO <sub>4</sub> <sup>-</sup>	.811	Fe <sup>++</sup>	.447
OH <sup>-</sup>	.796	F <sup>-</sup>	.796	Fe <sup>+++</sup>	.203
H <sub>3</sub> SiO <sub>4</sub> <sup>-</sup>	.800	Cl <sup>-</sup>	.791	AlOH <sup>++</sup>	.808

FeCl <sup>+</sup>	.800
Al <sup>+++</sup>	.203
AlOH <sup>++</sup>	.437

H2SiO4--	.437	Na+	.800	Fe(OH) 3-	.808	Al(OH) 2+	.811	Al(OH) 4---	.804
H2BO3-	.786	K+	.791	Fe(OH) 4---	.431	Al(OH) 4-	.804	AlSO4+	.804
HC03-	.800	Ca++	.447	Fe(OH) ++	.431	Al(SO4) 2-	.804	AlF++	.437
CO3--	.422	Mg++	.477	Fe(OH) 2+	.811	AlF2+	.811	AlF4-	.437
HS-	.796	CaHCO3+	.816	Fe(OH) 4-	.811	AlF4-	.811	AlF5--	.422
S--	.431	MgHCO3+	.800	FeSO4+	.808	AlF5--	.808	AlF6---	.144
H5O4-	.804	CaOH+	.816	FeCl++	.431	AlF6---	.800		
SO4--	.413	MgOH+	.819	FeCl2+	.808				
NaSO4-	.811	NH4+	.786	FeCl4-	.800				
Chemical species in deep water - ppm and log mole									
H+	.01	-5.031	Mg++	.56	-4.641	Fe(OH) 3	.00	.000	
OH-	.01	-6.440	NaCl	.58	-5.006	Fe(OH) 4-	.00	.000	
H4SiO4	280.44	-2.535	KCl	.01	-6.910	FeCl+	.00	-7.788	
H3SiO4-	.07	-6.105	NaSO4-	50.22	-3.375	FeCl12	.00	-17.647	
H2SiO4--	.00	-11.671	KSO4-	8.86	-4.184	FeCl1++	.00	.000	
NaH3SiO4	.02	-6.878	CaSO4	43.56	-3.495	FeCl12+	.00	.000	
H3BO3	30.90	-3.301	MgSO4	10.52	-4.059	FeCl13	.00	.000	
H2BO3-	.01	-7.003	CaCO3	.03	-6.581	FeCl14-	.00	.000	
H2CO3	14792.89	-623	MgCO3	.00	-8.489	FeSO4	.08	-6.255	
HC03-	483.76	-2.101	CaHCO3+	30.22	-3.524	FeSO4+	.00	.000	
CO3--	.01	-7.037	MgHCO3+	.25	-5.531	Al+++	.00	-10.956	
H2S	.00	.000	CaOH+	.00	-8.416	AlOH++	.00	-8.260	
HS-	.00	.000	MgOH+	.00	-8.527	Al(OH) 2+	.03	-6.285	
S--	.00	.000	NH4OH	.00	.000	Al(OH) 3	.51	-5.183	
H2SO4	.00	-10.525	NH4+	.00	.000	Al(OH) 4-	.31	-5.483	
HSO4-	12.60	-3.887	Fe++	.06	-5.935	AlSO4+	.00	-10.124	
SO4--	624.11	-2.187	Fe+++	.00	.000	Al(SO4) 2-	.00	-10.384	
HF	.00	.000	FeOH+	.00	-7.640	AlF++	.00	.000	
F-	.00	.000	Fe (OH) 2	.00	-10.653	AlF2+	.00	.000	
C1-	61.33	-2.762	Fe (OH) 3-	.00	-14.676	AlF3	.00	.000	
Na+	457.75	-1.701	Fe (OH) 4--	.00	-21.729	AlF4-	.00	.000	
K+	24.48	-3.203	Fe (OH) +	.00	.000	AlF5--	.00	.000	
	13.54	-3.471	Fe (OH) 2+	.00	.000	AlF6---	.00	.000	

Log solubility products of minerals in deep water

	Theor.	Calc.	Theor.	Calc.	Theor.	Calc.	Theor.	Calc.	Theor.	Calc.
Adularia	-15.694	-16.488	Albite, low	-15.095	-14.981	Analcime	-12.187	-12.446	Calcs.	
Anhydrite	-6.346	-6.392	Calcite	-10.373	-11.232	Chalcedony	-2.500	-2.535		
Mg-Chlorite	-80.029	-95.883	Fluorite	-10.559	99.999	Goethite	-2.724	99.999		
Laumontite	-25.434	-25.117	Microcline	-16.768	-16.488	Magnetite	-25.891	99.999		
Ca-Montmor.	-76.980	-59.218	K-Montmor.	-36.890	-31.004	Mg-Montmor.	-78.317	-60.359		
Na-Montmor.	-37.034	-29.496	Muscovite	-19.028	-14.567	Prehnite	-35.836	-39.481		
Pyrrohotite	-75.250	99.999	Pyrite	-112.351	99.999	Quartz	-2.693	-2.535		
Wairakite	-23.910	-25.117	Wollastonite	9.499	3.862	Zoisite	-35.403	-38.520		
Epidote	-39.865	99.999	Marcasite	-91.585	99.999	Talc	12.851	5.627		
Chrysotile	20.152	10.697	Sil. amorph.	-1.991	-2.535					

örnek no 27

kavynarca

Water sample	(mg/kg)	Steam sample	Degassing coeff.	at sampling	: 1.0000
pH/deg.C	6.90 /	Gas (volume %)	Reference temperature	deg.C	: 147.9
CO <sub>2</sub>	412.96	CO <sub>2</sub> .	.00		(Chalcedony)
H <sub>2</sub> S	.00	H <sub>2</sub> S	.00		
NH <sub>3</sub>	.00	NH <sub>3</sub>	.00		
(Calculated)					
B	5.71	H <sub>2</sub>	.00	Sampling pressure	bar abs. : 1.0
SiO <sub>2</sub>	190.49	O <sub>2</sub>	.00	Discharge enthalpy	kJ/kg : 623.
Na	464.48	CH <sub>4</sub>	.00		
K	29.14	N <sub>2</sub>	.00		
Mg	2.450				
Ca	40.45				
F	.000				
C1	65.02				
SO <sub>4</sub>	746.86				
Al	.024				
Fe	.000				
TDS	.00				
		Total steam (mg/kg)		Condensate (mg/kg)	
		CO <sub>2</sub>	.00	pH/deg.C	.00 / .0
		H <sub>2</sub> S	.00	CO <sub>2</sub>	.00
		NH <sub>3</sub>	.00	H <sub>2</sub> S	.00
		Na	.00	NH <sub>3</sub>	.00

	Deep water components (mg/kg)		Deep steam (mg/kg)	
B	5.19	CO2	42816.98	.00
SiO2	173.28	H2S	.00	CO2 H2S
Na	422.53	NH3	.00	NH3
K	26.51	H2	.00	H2
Mg	2.229	O2	.00	O2
Ca	36.80	CH4	.00	CH4
F	.000	N2	.00	N2
C1	59.15			H2O
SO4	679.40			Total
Al	.0218			.119E+03
Fe	.0000			
TDS	.00	Aquifer steam fraction = .0000		

Ionic strength = .02658  
 Ionic balance : Cations (mol.eq.) = .01968251 Anions (mol.eq.) = .02121379 Difference (8) = -7.49  
 Oxidation potential (volts) : Eh H2S= 99.999 Eh CH4= 99.999 Eh H2= 99.999 Eh NH3= 99.999

### Chemical geothermometers (degrees C)

Quartz 170.8 (Fournier & Potter, GRC Bulletin, pp. 3-12, Nov. 1982)  
 Chalcedony 147.9 (Fournier, Geothermics, vol. 5, pp. 41-50, 1977)  
 Na/K 147.8 (Arnarsson et al., Geochim. Cosmochim. Acta, vol. 47, pp. 567-577, 1983)

örnek no 27

	Activity coefficients in deep water		Gas pressures (bar-abs.)
H+	.840	KSO4-	.818 Fe++
OH-	.803	F-	.803 Fe+++
H3SiO4-	.807	Cl-	.799 FeOH+
H2SiO4--	.452	Na+	.807 Fe(OH)3-
H2BO3-	.795	K+	.799 Fe(OH)4--
HCO3-	.807	Ca++	.461 Fe(OH)++
CO3--	.437	Mg++	.490 Fe(OH)2+
HS-	.803	CaHCO3+	.822 Fe(OH)4-
S--	.445	MgHCO3+	.807 FeSO4+
HSO4-	.811	CaOH+	.822 FeCl++
SO4--	.429	MgOH+	.825 FeCl2+
NaSO4-	.818	NH4+	.795 FeCl4-
			.807 AlF6---

Chemical species in deep water - ppm and log mole				
H+	.04	-4.375	Mg++	.48
OH-	.00	-7.111	NaCl	.51
H4SiO4	277.17	-2.540	KCl	.01
H3SiO4-	.02	-6.774	NaSO4-	41.43
H2SiO4--	.00	-13.007	KSO4-	7.97
Nah3SiO4	.00	-7.582	CaSO4	41.15
H3BO3	29.71	-3.318	MgSO4	8.40
H2BO3-	.00	-7.683	CACO3	.01
H2CO3	59892.01	-.015	MgCO3	.00
HCO3-	432.21	-2.150	CaHCO3+	27.68
CO3--	.00	-7.750	MgHCO3+	.20
H2S	.00	.000	CaOH+	.00
HS-	.00	.000	MgOH+	.00
S--	.00	.000	NH4OH	.00
H2SO4	.00	-9.264	NH4+	.00
HSO4-	50.82	-3.281	Fe++	.00
SO4--	554.27	-2.239	Fe+++	.00
HF	.00	.000	FeOH+	.00
F-	.00	.000	Fe(OH)2	.00
Cl-	58.84	-2.780	Fe(OH)3-	.00
Na+	414.33	-1.744	Fe(OH)4--	.00
K+	24.20	-3.208	Fe(OH)++	.00
Ca++	13.71	-3.466	Fe(OH)2+	.00
			AlFe6---	.00

### Log solubility products of minerals in deep water

Theor.	Calc.	Theor.	Calc.	Theor.	Calc.
Adularia	-15.715	-18.253	Albite, low	-15.114	-16.785
Anhydrite	-6.332	-6.409	Calcite	-10.354	-11.912
Mg-Chlorite	-80.017	-105.011	Fluorite	-10.557	99.999
Laumontite	-25.456	-28.618	Microcline	-16.794	-18.253
Ca-Montmor.	-77.083	-75.795	K-Montmor.	-36.949	-39.302
Pyrrhotite	-75.698	99.999	Pyrite	-112.964	99.999
Wairakite	-23.917	-28.618	Wollastonite	9.520	2.558
Epidote	-39.926	99.999	Marcasite	-92.156	99.999
Chrysotile	20.207	6.570	Sil. amorph.	-1.995	-2.540

Deep water pH is 4.450	Deep water pH is 4.450
Fe(OH)3	.00
Fe(OH)4-	.00
FeCl+	.00
FeCl2	.00
FeCl++	.00
FeCl2+	.00
FeCl3	.00
FeCl4-	.00
FeSO4	.00
FeSO4+	.00
Al+++	.00
AlOH++	.00
Al(OH)2+	.01
Al(OH)3	.04
Al(OH)4-	.01
AlSO4+	.00
Al(SO4)2-	.00
AlF++	.00
AlF2+	.00
AlF3	.00
AlF4-	.00
AlF5--	.00
AlF6----	.00

Theor.	Calc.
Analcime	-12.201
Chalcedony	-2.505
Goethite	-2.761
Magnetite	-25.962
Mg-Montmor.	-78.418
Quartz	-2.700
Zoisite	-35.400
Talc	12.895

## ICELANDIC WATER CHEMISTRY GROUP

Program WATCH, temporary version / Feb-1997

örnek no 28	kaynarca	Steam loss	at 100.0 deg.C	assumed,	before	sampling.
Steam sample	:	.0159	Water sample	(mg/kg)		
pH/deg.C :	7.00 /	25.0	Degassing coeff.	at sampling	: 10.000	
CO2	334.76		Gas (volume %)			
H2S	.00		CO	2 .00		
NH3	.00		H2S	.00	Sampling pressure bar abs.	: 1.0
B	.56		NH	3 .00	Discharge enthalpy kJ/kg	: 455.
SiO2	98.43		H2	.00	(Calculated)	
Na	240.81		O2	.00	Discharge kg/s	: .0
K	15.55		CH4	.00	steam fraction at collection	: .0000
Mg	63.420		N2	.00	Measured temperature deg.C	: 28.Mar
Ca	238.78	Liters gas per kg				
F	.000	condensate/deg. C	.00/	.0	Condensate (mg/kg)	
C1	245.53	pH/deg.	C	.00/.0		
SO4	655.78	Total steam (mg/kg)				
CO2	.00					
Al	.009	CO2	.00	H2S	.00	
Fe	.083	H2S	.00	NH3	.00	
TDS	.00	NH3	.00	Na	.00	
Ionic strength =	.03					
Ionic balance:	Cations (mol.eq.)	=	.02512595 Anions (mol.eq.)	=	.02407620 Difference (%)	
Deep water components (mg/kg)			Deepsteam (m	g/kg)	Gas pressures (bar-abs.)	
B.	55	CO2	5329.35	CO2	.00	
SiO2	96.8	H2S	.	H2S	00	
Na	236.97	NH3	.00	NH3	.00	
K	15.30	H2	.00	H2	.00	
Mg	62.409	O2	.00	O2	.00	
Ca2	34.97	CH4	.00	CH4	.00	
F	.000	N2	.00	N2	.00	
C12	41.62	H2O	1,36E+03	SO4	645.33	
Al	.0089	Fe	.0817	TDS	.00	
				Total	. 1,33E	

Aquifer steam fraction = .0000  
 Ionic strength = .029481000/T (Kelvin) = Sub. 62  
 Ionic balance : Cations (mol.eq.) = .02121469 Anions (mol.eq.) = .02018152  
 Oxidation potential (v olts) : Eh H2S= 99.999 Eh CH4=99.999 Eh NH3=99.999 Eh Nis. 99

Chemical geothermometers (degree s C)  
 Quartz 135.6 (Fournier & Potter, GRC Bulletin, pp. 3-12, Nov. 1982)  
 Chalcedony 108.5 (Fournier, Geothermics, vol. 1.5, pp. 41-50, 1977)  
 Na/K 154.4 (Arnorsson et al., Geochim. Cosmochim. Acta, vol. 47, pp. 567- 577, 1983)

örner no 28  
Activity coef ficients in deep water

H+	.851	KSO4-	.829	Fe++	.487	F	eCl+	.819
OH-		.815	F-		.815	Fe++	+	.240
H3SiO4-	.819	Cl-		.811	FeOH	+	.827	Al+++
H2SiO4--	.478	Na+		.819	Fe(O H) 3-		.827	Al(OH) 2+
H2BO3-	.807	K+		.811	Fe(O H) 4--		.471	Al(OH) 4-
HCO3-	.819	Ca++		.487	Fe(O H) ++		.471	AlSO4+
CO3--	.463	Mg++		.516	Fe(O H) 2+		.829	Al(SO4) 2-
HS-	.815	CaHCO 3+		.833	Fe(O H) 4-		.829	AlF++
S--	.471	MgHCO 3+		.819	FeSO 4+		.827	AlF2+
SO4--	.455	MgOH+		.837	FeCl 2+		.827	AlF5---
NaSO4-	.829	NH4+		.807	FeCl 4-		.819	AlF6---
Chemical species in deep water -ppm and Log moleDeep water pH is 5.19								
OH-	.00	-7.023	NaCl	.70	-4.920	Fe(OH) 4-	.00	.000
H4SiO4	154.92	-2.793	KCl	.01	-6.780	FeCl+	.00	-7.588
H3SiO4-	.02	-6.603	NaSO4-	10.40	-4.059	FeCl2	.00	-19.599
H2SiO4--	.00	-12.313	KSO4-	2.03	-4.824	FeCl+	.00	.000
NaH3SiO4	.00	-7.666	CaSO4	164.36	-2.918	FeCl2+	.00	.000
H3BO3	3.15	-4.293	MgSO4	169.26	-2.852	FeCl3	.00	.000
H2BO3-	.00	-8.109	CaCO3	.07	-6.139	FeCl4-	.00	.000
H2CO3	7119.82	-.940	MgCO3	.01	-7.212	FeSO4	.04	-6.564
HC03-	323.31	-2.276	CaHCO3+	95.65	-3.024	FeSO4+	.00	.000
CO3--	.00	-7.160	MgHCO3+	.85	-4.164	Al+++	.00	-10.129

H2S	.00	.000	CaOH+	.00	-8.151	AlOH++	.00	-8.330
HS-	.00	.000	MgOH+	.00	-7.648	Al(OH)2+	.00	-7.107
S--	.00	.000	NH4OH	.00	.000	Al(OH)3	.02	-6.674
H2SO4	.00	-11.499	NH4+	.00	.000	Al(OH)4-	.00	-7.476
HSO4	2.63	-4.568	Fe++	.06	5.936	AlSO4+	.00	-9.788
SO4--	381.82	-2.401	Fe+++	.00	.000	Al(5O4)2	.00	-10.394
HF	.00	.000	FeOH+	.00	-8.405	AlF++	.00	.000
F-	.00	.000	Fe(OH)2	.00	-12.321	AlF2+	.00	.000
Cl-	241.18	-2.167	Fe(OH)3-	.00	-17.456	AlF3	.00	.000
Na+	234.69	-1.991	Fe(OH)4--	.00	-24.978	AlF4-	.00	.000
K+	14.71	-3.425	Fe(OH)++	.00	.000	AlF5--	.00	.000
Ca++	148.64	-2.431	Fe(OH)2+	.00	.000	AlF6----	.00	.000

Log solubility product of minerals in deep water

## ICELANDIC WATER CHEMISTRY GROUP

Program WATCH, temporary version / Feb-1997

Ornek no 36

kaynarca

Water sample (mg/kg)

steam sample

	Water sample (mg/kg)	Steam sample (volume %)	Reference temperature deg.C	deg.C : 28.1 (chalcedony)
pH/deg.C	9.00/ 25.0	Gas	.00	
CO2	121.68	CO2	.00	
H2S	.03	H2S	.00	
NH3	.00	NH3	.00	
B	1.48	H2	.00	
SiO2	21.60	O2	.00	
Na	363.00	CH4	.00	
K	32.10	N2	.00	
Mg	2.290			Measured temperature deg.C : 105.0
Ca	10.80	Liters gas per kg condensate/deg.C	.00/ .0	
F	4.230			Condensate (mg/kg) pH/deg.C
Cl	51.20			.00/ .0
SO4	553.00	Total steam (mg/kg)		
Al	.530	CO2	.00	
Fe	6.900	H2S	.00	
TDS	.00	NH3	.00	
		Na	.00	

Ionic strength = .02270

Ionic balance : Cations (mol.eq.) = .01723989 Anions (mol.eq.) = .01595164 Difference (%) = 7.76

Deep water components (mg/kg)

		Deep steam (mg/kg)	Gas pressures (bar-abs.)
B	1.48	CO2	.00
SiO2	21.60	H2S	.00
Na	363.00	NH3	.00
K	32.10	H2	.00
Mg	2.290	O2	.00
Ca	10.80	CH4	.00

F	4.230	N2	.00
Cl	51.20	N2	.000E+00
SO4	553.00	H2O	.381E-01
Al	.5300	Total	.383E-01
Fe	6.9000		
TDS	.00		

Aquifer steam fraction = .00000  
 Ionic strength = .02267  
 Ionic balance : Cations (mol.eq.) = .01722766 Anions (mol.eq.) = .01594246 Difference (%) = 7.75

Oxidation potential (volts) : Eh H2S= -.327 Eh CH4= 99.999 Eh H2= 99.999 Eh NH3= 99.999  
 Ionic strength = .02267  
 Ionic balance : Cations (mol.eq.) = .01722766 Anions (mol.eq.) = .01594246 Difference (%) = 1000/T (Kelvin) = 3.32

#### Chemical geothermometers (degrees C)

Quartz 60.4 (Fournier & Potter, GRC Bulletin, pp. 3-12, Nov. 1982)  
 Chalcedony 28.1 (Fournier, Geothermics, vol. 5, pp. 41-50, 1977)  
 Na/K 187.3 (Arnorsson et al., Geochim. Cosmochim. Acta, vol. 47, pp. 567-577, 1983)  
 Ørnæk no 36

#### Activity coefficients in deep water

H+	.883	KSO4-	.868	Fe++	.861
OH-	.858	F-	.858	Fe+++	.331
H3SiO4-	.861	Cl-	.855	FeOH+	.866
H2SiO4--	.570	Na+	.861	Fe(OH)3-	.866
H2BO3-	.852	K+	.855	Fe(OH)4--	.565
HCO3-	.861	Ca++	.578	Fe(OH)++	.565
CO3--	.559	Mg++	.600	Fe(OH)2+	.868
HS-	.858	CaHCO3+	.870	Fe(OH)4-	.868
S--	.565	MgHCO3+	.861	FeSO4+	.866
HSO4-	.863	CaOH+	.870	FeCl++	.565
SO4--	.552	MgOH+	.873	FeCl2+	.866
NaSO4-	.868	NH4+	.852	FeCl4-	.861

Chemical species in deep water - ppm and log mole  
 H+ .00 -8.909 Mg++ 1.58 -4.188 Deep water pH is 8.963  
 Fe(OH)3 .00 -9.156

	Log solubility products of minerals in deep water			
	Theor.	Calc.	Theor.	Calc.
OH-	-4.859	-4.859	-6.307	-8.363
H4SiO4	29.43	-3.514	.03	.00
H3SiO4-	4.36	-4.339	-7.587	-7.546
H2SiO4--	.01	-6.873	10.06	-27.789
NaH3SiO4	.87	-5.133	-4.073	.00
H3BO3	5.25	-4.071	2.39	-23.892
H2BO3-	3.16	-4.284	5.58	-26.336
H2CO3	.35	-5.244	MgSO4-	-30.289
HCO3-	156.31	-2.591	CaSO4	.00
CO3--	10.32	-3.764	MgSO4	-35.024
H2S	.00	-8.075	CaCO3	.00
HS-	.03	-6.060	MgCO3	3.24
S---	.00	-13.934	CaHCO3+	-4.671
H2SO4	.00	-21.315	MgHCO3+	.00
H5O4-	.00	-9.374	CaOH+	-21.024
SO4--	534.87	-2.254	MgOH+	-26.336
Hf	.00	-9.478	NH4OH	-30.289
F-	4.23	-3.652	NH4+	-35.024
Cl-	51.18	-2.841	Fe++	1.84
Na+	360.88	-1.804	Fe+++	-4.712
K+	31.41	-3.095	FeOH+	.00
Ca++	8.33	-3.682	Fe(OH)2	-13.831
			Fe(OH)3-	-17.371
			Fe(OH)4--	.00
			AlF2+	-12.115
			AlF3	-16.754
			AlF4-	.00
			AlF5--	-9.473
			AlF6---	-6.632
				-11.843
				-13.118
				-15.301
				-18.216
				-21.211
				-35.385
				-3.51
				-3.49
				-21.21
				-89.47
				-110.833
				-3.51
				-37.78
				-3.51
				-37..63
				26.49



Al 4.2422  
 Fe .9372  
 TDS .00 Aquifer steam fraction = .0000  
 Ionic strength = .05902  
 Ionic balance : Cations (mol.eq.) = .05238084 Anions (mol.eq.) = .04603422  
 Oxidation potential (volts) : Eh H2S= -.208 Eh CH4= 99.999 Eh H2= 99.999 Eh NH3= 99.999  
 1000/T (Kelvin) = 2.63  
 Difference (%) = 12.90

Chemical geothermometers (degrees C)	
Quartz	134.4 (Fournier & Pott)
Chalcedony	107.2 (Fournier, Geoth.)
Na/K	218.7 (Arnorsson et al.)

Bornek no 37

Activity coefficients in deep water		Chemical species in deep water - ppm and log mole		Deep water pH is 5.499	
H+	.818	KSO4-	.785	FeCl+	.769
OH-	.763	F-	.763	Al+++	.172
H3SiO4-	.769	Cl-	.756	AlOH++	.387
H2SiO4--	.387	Na+	.769	Al(OH)2+	.785
H2B03-	.749	K+	.756	Al(OH)4-	.775
HCO3-	.769	Ca++	.400	AlSO4+	.775
CO3--	.368	Mg++	.438	Al(SO4)2-	.775
HS-	.763	CaHCO3+	.791	AlF++	.387
S--	.379	MgHCO3+	.769	AlF2+	.785
HSO4-	.775	CaOH+	.791	AlF4-	.775
SO4--	.357	MgOH+	.796	AlF5--	.368
NaSO4-	.785	NH4+	.749	AlF6----	.106
H+	.0	-5.411	Mg++	-2.661	
OH-	.0	-6.534	NaCl	-3.707	
H4SiO4	151.56	-2.802	KCl	-5.293	
H3SiO4-	.07	-6.113	NaSO4-	4.40	-4.433
H2SiO4--	.00	-11.283	KSO4-	1.60	-4.927
NaH3SiO4	.02	-6.743	CaSO4	34.52	-3.596

H <sub>3</sub> BO <sub>3</sub>	4.17	-4.171	MgSO <sub>4</sub>	39.36	-3.485	FeCl <sub>3</sub>	.00	-20.817
H <sub>2</sub> BO <sub>3</sub> -	.00	-7.476	CaCO <sub>3</sub>	.12	-5.914	FeCl <sub>4</sub> -	.00	-23.516
H <sub>2</sub> CO <sub>3</sub>	873.00	-1.852	MgCO <sub>3</sub>	.01	-6.935	FeSO <sub>4</sub>	.06	-6.404
HCO <sub>3</sub> -	129.36	-2.674	CaHCO <sub>3</sub> +	55.90	-3.257	FeSO <sub>4</sub> +	.00	-17.447
CO <sub>3</sub> --	.01	-7.002	MgHCO <sub>3</sub> +	3.92	-4.338	Al+++	.00	-8.695
H <sub>2</sub> S	.10	-5.525	CaOH+	.00	-7.492	AlOH++	.01	-6.499
HS-	.01	-6.490	MgOH+	.00	-6.944	Al(OH) <sub>2</sub> +	.79	-4.888
S--	.00	-16.692	NH <sub>4</sub> OH	.00	.000	Al(OH) 3	7.46	-4.019
H <sub>2</sub> SO <sub>4</sub>	.00	-13.344	NH <sub>4</sub> +	.00	.000	Al(OH) 4-	4.44	-4.330
HSO <sub>4</sub> -	.12	-5.892	Fe++	.82	-4.834	AlSO <sub>4</sub> +	.00	-9.336
SO <sub>4</sub> --	68.63	-3.146	Fe+++	.00	-18.751	Al(SO <sub>4</sub> ) <sub>2</sub> -	.00	-10.799
HF	.00	-6.676	FeOH+	.01	-6.910	AlF++	.01	-6.614
F-	.21	-4.966	Fe (OH) 2	.00	-10.401	AlF <sub>2</sub> +	.08	-5.936
Cl-	1502.23	-1.373	Fe (OH) 3-	.00	-15.067	AlF <sub>3</sub>	.01	-6.835
Na+	721.72	-1.503	Fe (OH) 4--	.00	-22.054	AlF <sub>4</sub> -	.00	-9.305
K+	85.17	-2.662	Fe (OH) ++	.00	-14.203	AlF <sub>5</sub> --	.00	-12.716
Ca++	276.42	-2.161	Fe (OH) 2+	.00	-11.428	AlF <sub>6</sub> --	.00	-17.031

### Log solubility products of minerals in deep water

Theor.	Calc.	Theor.	Calc.	Theor.	Calc.	Theor.	Calc.	Theor.	Calc.
Adularia	-16.950	-15.631	Albite, low	-16.236	-14.464	Analcime	-13.014	-11.662	
Anhydrite	-5.709	-6.154	Calcite	-9.564	-9.996	Chalcedony	-2.785	-2.802	
Mg-Chlorite	-80.134	-85.596	Fluorite	-10.530	-12.727	Goethite	-4.405	-5.534	
Lamontite	-26.856	-22.650	Microcline	-18.276	-15.631	Magnetite	-29.154	-29.602	
Ca-Montmor.	-83.893	-46.562	K-Montmor.	-40.739	-24.785	Mg-Montmor.	-85.075	-47.022	
Na-Montmor.	-40.774	-23.618	Muscovite	-20.744	-11.209	Prennrite	-36.555	-35.710	
Pyrrhotite	-96.216	-103.698	Pyrite	-141.793	-117.428	Quartz	-3.034	-2.802	
Wairakite	-24.537	-22.650	Wollastonite	10.608	5.636	Zoisite	-35.735	-33.499	
Epidote	-43.023	-41.243	Marcasite	-118.792	-117.428	Talc	15.156	12.726	
Chrysotile	23.070	18.330	Sil. amorph.	-2.181	-2.802				